

การศึกษาโครงสร้างจุลภาคของเหล็กคาร์บอนตัวที่เชื่อมด้วยความเสียดทาน

สุรสิงห์ อารยางกูร



ฝ่ายหอสมุด มหาวิทยาลัยอุบลราชธานี

ได้รับอภินันทนาการจาก

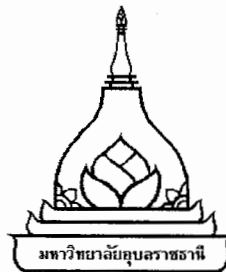
งานบริหารบัณฑิตศึกษา

กองบริการการศึกษา ม.อุบลฯ (๙ ธค.๕๒)

วิทยานิพนธ์นี้เป็นส่วนหนึ่งของการศึกษาตามหลักสูตรปริญญาวิศวกรรมศาสตรมหาบัณฑิต
สาขาวิชาวิศวกรรมเครื่องกล คณะวิศวกรรมศาสตร์
มหาวิทยาลัยอุบลราชธานี

พ.ศ. 2551

ลิขิตที่เป็นของมหาวิทยาลัยอุบลราชธานี

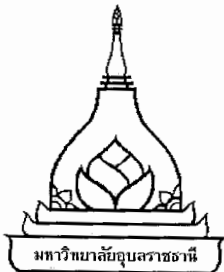


**THE STUDY ON MICRO-STRUCTURE OF LOW CARBON STEEL RODS
WELDED BY FRICTION WELDING**

SURASING ARAYANGKUN

**A THESIS SUBMITTED IN PARTIAL FULFILLMENT OF THE REQUIREMENTS
FOR THE DEGREE OF MASTER ENGINEERING
MEJOR IN MECHANICAL ENGINEERING
FACULTY OF ENGINEERING
UBON RAJATHANEE UNIVERSITY
YEAR 2008**

COPYRIGHT OF UBON RAJATHANEE UNIVERSITY



ใบรับรองวิทยานิพนธ์
มหาวิทยาลัยอุบลราชธานี
ปริญญาวิศวกรรมศาสตร์บัณฑิต
สาขาวิชาวิศวกรรมเครื่องกล คณะวิศวกรรมศาสตร์

เรื่อง การศึกษาโครงสร้างจุลภาคของเหล็กคาร์บอนดำที่เชื่อมด้วยความเสียดทาน

ผู้วิจัย นายสุรศิษฐ์ อารยางกูร

ได้พิจารณาเห็นชอบโดย

อาจารย์ที่ปรึกษา

(ผู้ช่วยศาสตราจารย์ ดร.ชวิติ อินวงศ์พิทักษ์)

กรรมการ

(ผู้ช่วยศาสตราจารย์ ดร.บรรชา บุศคลาดี)

กรรมการ

(ผู้ช่วยศาสตราจารย์ ดร.เกียรติพิ่ง ตั้งใจจิต)

คณบดี

(รองศาสตราจารย์ ดร.สถาพร โภคาก)

มหาวิทยาลัยอุบลราชธานี รับรองแล้ว

(ผู้ช่วยศาสตราจารย์ ดร.อุทิศ อินทร์ประสิทธิ์)

รองอธิการบดีฝ่ายวิชาการ

ปฏิบัติราชการแทนอธิการบดี มหาวิทยาลัยอุบลราชธานี

ปีการศึกษา 2551

กิตติกรรมประกาศ

วิทยานิพนธ์ฉบับนี้สำเร็จลุล่วงได้ด้วยความกรุณาอย่างยิ่งจากท่าน ผู้ช่วยศาสตราจารย์ ดร. ชวลิต ถินวงศ์พิทักษ์ อารย์ที่ปรึกษาวิทยานิพนธ์ ที่เคยให้คำปรึกษา คำแนะนำ และให้ความรู้ ในเชิงวิชาการอันเป็นแนวทางในการทำวิจัยและแก้ไขข้อบกพร่องต่างๆ ปลูกฝังให้ผู้วิจัยมีความมานะพยายามและรักการทำวิจัย สนับสนุน ให้โอกาส ให้กำลังใจและเป็นแบบอย่างที่ดีแก่ผู้วิจัยมาโดยตลอด รวมถึงการให้ความเอาใจใส่คุณและช่วยตรวจสอบการดำเนินงานการทำวิทยานิพนธ์ อย่างสม่ำเสมอ ผู้วิจัยรู้สึกทราบซึ้งในความกรุณาและขอบพระคุณเป็นอย่างสูง ไว้ ณ โอกาสนี้

ขอขอบพระคุณ ผู้ช่วยศาสตราจารย์ ดร.บรรษา บุศดดาดี และ ผู้ช่วยศาสตราจารย์ ดร.เกียรติพิชา ดึงใจจิต ที่กรุณาร่วมเป็นกรรมการสอบวิทยานิพนธ์ และได้ให้คำแนะนำ รวมถึงเสนอชื่อคิดเห็นที่เป็นประโยชน์ ตลอดจนแก้ไขข้อบกพร่องต่างๆ ของวิทยานิพนธ์ จนทำให้วิทยานิพนธ์ มีความสมบูรณ์ยิ่งขึ้น

ขอขอบพระคุณ คณาจารย์ บุคลากร และเจ้าหน้าที่ ภาควิชาวิศวกรรมเครื่องกล คณะวิศวกรรมศาสตร์ มหาวิทยาลัยอุบลราชธานี ทุกท่านที่มีส่วนช่วยเหลือในการดำเนินการวิจัยให้สำเร็จลุล่วงไปด้วยดี

ขอขอบคุณภาควิชาวิศวกรรมเครื่องกล คณะวิศวกรรมศาสตร์ มหาวิทยาลัยอุบลราชธานี ที่สนับสนุนทุนในการวิจัยนี้

ขอขอบคุณผู้ช่วยศาสตราจารย์ สุริยา โชคสวัสดิ์ และ ผู้ช่วยศาสตราจารย์ ดร.สุขอังคณา ลี อาจารย์ประจำภาควิชาวิศวกรรมอุตสาหการ คณะวิศวกรรมศาสตร์ มหาวิทยาลัยอุบลราชธานี ที่ให้การสนับสนุนเครื่องมือ และคำแนะนำต่องานวิจัย

ขอขอบคุณเพื่อน ๆ พี่ ๆ และน้อง ๆ นักศึกษาปริญญาโท-เอก ภาควิชา วิศวกรรมเครื่องกล ที่ให้ความช่วยเหลือ และกำลังใจในการทำวิทยานิพนธ์มาโดยตลอด

ขอขอบพระคุณ พี่ชาย-น้องชาย-ภรรยา-บุตรหลาน ที่เป็นกำลังใจอันสำคัญยิ่งในการทำวิทยานิพนธ์ รวมทั้งการสนับสนุนในทุกด้าน เพื่อให้การศึกษารึ่นนี้สำเร็จด้วยดี

สุดท้ายนี้ คุณความดีและประโยชน์อันเกิดจากวิทยานิพนธ์ฉบับนี้ ผู้วิจัยขอขอบคุณพ่อสุรศิริ อารยางกูร บิดาผู้ล่วงลับ ซึ่งเคยเป็นกำลังใจให้ลูกชายคนนี้ stemsoma

(นายสุรศิริ อารยางกูร)

ผู้วิจัย

บทคัดย่อ

ชื่อเรื่อง : การศึกษาโครงสร้างจุลภาคของเหล็กคาร์บอนตัวที่เชื่อมด้วยความเสียดทาน
โดย : สุรศิษฐ์ อารยะกุร
ชื่อปรภญญา : วิศวกรรมศาสตรมหาบัณฑิต
สาขาวิชา : วิศวกรรมเครื่องกล
ประธานกรรมการที่ปรึกษา : ผู้ช่วยศาสตราจารย์ ดร. ชวิติ ถินวงศ์พิทักษ์
ศัพท์สำคัญ : การเชื่อมด้วยแรงเสียดทาน

งานวิจัยนี้มีวัตถุประสงค์เพื่อการศึกษาโครงสร้างจุลภาคของเหล็กคาร์บอนตัวที่เชื่อมด้วยความเสียดทาน ในขั้นตอนการศึกษาได้ทำการสร้างและพัฒนาเครื่องเชื่อมด้วยความเสียดทานขึ้นมาใหม่ โดยกำหนดให้มีคุณสมบัติในการทำงานได้ตามเงื่อนไขการทดสอบคือ สามารถควบคุมแรงดันในการทำงานของเครื่องในช่วงการทำงานต่าง ๆ ได้ สามารถควบคุมเวลาในการทำงานในช่วงเวลาการทำงานต่างๆ ได้ สามารถควบคุมความเร็วในการเคลื่อนที่ของกระบอกอัดไฮดรอลิกส์ได้ สามารถควบคุมความเร็วในการหมุนของชิ้นงานเชื่อมได้ และสามารถทำงานได้อย่างต่อเนื่องตั้งแต่เริ่มต้นกระบวนการเชื่อมจนกระทั่งเสร็จสิ้นกระบวนการ เงื่อนไขต่าง ๆ ที่กล่าวมานี้เครื่องเชื่อมด้วยความเสียดทานที่สร้างและพัฒนาขึ้นมาสามารถทำงานได้ตามเงื่อนไขที่กำหนดได้เป็นอย่างดี

หลังจากเสร็จสิ้นขั้นตอนการสร้างเครื่องเชื่อมด้วยความเสียดทานในขั้นต้น ได้ทำการกำหนดค่าสุดการทดสอบ โดยใช้เหล็กเพลาขานดาเส้นผ่าศูนย์กลาง 10 mm. และจากการนำเหล็กที่จะใช้ในการทดสอบไปวิเคราะห์หาเบอร์เซ็นต์คาร์บอนพบว่าเป็นเหล็กชนิด AISI 1015 และผลการทดสอบค่าความแข็งแรงกับค่าความแข็ง ผลที่ได้จากการทดสอบคือ 780 MPa, 202 HV ตามลำดับ

ที่มาของการกำหนดเงื่อนไขในการทดสอบ ได้จากการศึกษางานวิจัยที่เกี่ยวข้อง และข้อจำกัดบางประการของเครื่องเชื่อมด้วยความเสียดทานที่สร้างขึ้นมา โดยเงื่อนไขของตัวแปรในการทดสอบเป็นองค์ตัน ดังนี้ ช่วงเวลาในการเสียดทาน 5 ช่วง คือ 7, 9, 11, 13 และ 15 Sec. ช่วงแรงดันในการเสียดทาน 7 ช่วง คือ 10, 15, 20, 25, 30, 35 และ 40 Bar ในส่วนของเงื่อนไขตัวแปรอื่นๆ กำหนดให้เป็นค่าคงที่คือ เวลาในการอัด 3 Sec. แรงดันในการอัด 60 Bar และความเร็วรอบในการหมุนชิ้นงานเชื่อม 1,200 rpm ผลการทดสอบในเบื้องต้นพบว่า เวลาในการเสียดทานที่ 9 Sec. และแรงดันในการเสียดทานที่ 10 Bar ให้ผลการเชื่อมที่เหมาะสมที่สุด โดยมีค่าความแข็งแรงของรอยเชื่อมที่ 913 MPa ซึ่งให้ความแข็งแรงของรอยเชื่อมสูงกว่าค่าความแข็งแรงของชิ้นงานเดิมถึง 17.09 % แต่จากการทดสอบค่าความ

แม้จะของรอยเชื่อมกลับพบว่าค่าความแข็งที่รอยเชื่อมมีค่าต่ำกว่าค่าความแข็งของชิ้นงานเดิม จึงนำชิ้นงานเชื่อมที่ผ่านการเชื่อมด้วยเงินไขที่เหมาะสมที่สุดดังกล่าว มาทำการวิเคราะห์โครงสร้างจุลภาค ผลจากการวิเคราะห์พบว่าสาเหตุที่ทำให้รอยเชื่อมมีค่าความแข็งแรงสูงขึ้นนั้น เกิดจากการให้แรงดันในการอัดที่สูงในช่วงการเชื่อมต่อ กัน ส่งผลให้เกรนที่รอยเชื่อมมีขนาดเล็กลงกว่าเกรนของชิ้นงานเดิม โดยเกรนที่รอยเชื่อมมี G number 13.87 และเกรนของชิ้นงานเดิมมี G number 10.05 – 10.88 ผลจากการที่เกรนที่รอยเชื่อมมีขนาดเล็กลงทำให้รอยเชื่อมมีความแข็งแรงมากขึ้นกว่าชิ้นงานเดิม ในส่วนของค่าความแข็งที่รอยเชื่อมลดลงนั้น จากวิเคราะห์ด้วยเครื่อง Image Analyser พบว่าบริเวณรอยเชื่อมมีเฟสของ Pearlite ซึ่งมีค่าความแข็งอยู่ที่ 175 – 370 BHN น้อยกว่าส่วนที่อยู่ห่างออกไปจากรอยเชื่อม การที่รอยเชื่อมที่เกิดจากการเชื่อมด้วยความเสียดทานมีเฟสของ Ferrite ซึ่งมีค่าความแข็งอยู่ที่ 70 – 150 BHN มากขึ้นกว่าชิ้นงานเดิม จะส่งผลให้บริเวณที่ได้รับผลกระทบจากการเชื่อมด้วยความเสียดทานมีค่าความแข็งลดต่ำลง และเมื่อระยะห่างออกไปอิฐพลของผลกระทบจากการเชื่อมค่อย ๆ หมดไป ทำค่าความแข็งกลับสู่ค่าความเดิมของมัน

ABSTRACT

TITLE : THE STUDY ON MICRO-STRUCTURE OF LOW CARBON STEEL RODS
WELDED BY FRICTION WELDING

BY : SURASING ARAYANGKUN

DEGREE : MASTER OF ENGINEERING

MAJOR : MECHANICAL ENGINEERING

CHAIR : ASST. PROF. CHAWALIT THINVONGPITUK, Ph.D.

KEYWORDS : FRICTION WELDING

The project was aim to investigate the microstructure of low carbon steel welded by friction welding. The welding machine was constructed and developed to conduct the study. The machine is able to operate under all experimental requirements, which are pressures, time and speed in targeted ranges.

The experiment was done using AISI 1015 steel rods of 10 mm. diameter. The strength and hardness of specimen are 780 MPa and 202 HV respectively.

The experiment condition was extracted from previous researchs and relied on some limitations of the machine. The conditions used in this study were 5 values of friction time (7, 9, 11, 13 and 15 Seconds), 7 values of friction pressure (10, 15, 20, 25, 30, 35 and 40 Bar). The upset time and upset pressure were constant as 3 Sec. and 60 Bar respectively while the rotational speed was 1,200 rpm. The experiment result suggested that friction time of 9 Sec. and friction pressure of 10 Bar may be the most suitable condition. It provided welded strength of 913 MPa, which is 17.09 % higher than the original specimen. However, it was found that the hardness of welded zone is lower than the original specimen. By doing micro – structure analysis it was found that the grain of welded zone is finer than the original one. This can be explained that the upset pressure (60 MPa) has crushed the grain of material in the process. (G number of welded zone is 13.87 while G – number of the original specimen is about 10.05 – 10.88). As the grain becomes smaller, the strength is higher. Considering the hardness, which is found lower around the welded zone, it could be explained that because of the component of ferrite is increased. It is the fact that the

hardness of ferrite is far lower, about 70 – 150 BHN, than the hardness of pearlite therefore, as percentage of pearlite decreases and percentage of ferrite increases of welded zone is decreased.

สารบัญ

กิตติกรรมประกาศ	ก
บทคัดย่อภาษาไทย	ข
บทคัดย่อภาษาอังกฤษ	จ
สารบัญ	ฉ
สารบัญตาราง	ญ
สารบัญภาพ	ฎ
บทที่	ฎ

1 บทนำ

1.1 ความสำคัญและที่มาของงานวิจัย	1
1.2 วัตถุประสงค์ของโครงการวิจัย	2
1.3 ขอบเขตของงานวิจัย	2
1.4 ประโยชน์ที่คาดว่าจะได้รับ	3
2 ความรู้ที่เกี่ยวข้องและทบทวนวรรณกรรม	
2.1 ความรู้เบื้องต้นเกี่ยวกับการเชื่อมด้วยความเสียดทาน	4
2.1.1 หลักการเชื่อมด้วยความเสียดทาน	4
2.1.2 ตัวแปรที่มีผลกระทบต่อการเชื่อมด้วยความเสียดทาน	6
2.1.3 ประเภทของวิธีการเชื่อมด้วยความเสียดทาน	6
2.1.4 ข้อดีและข้อเสียของการเชื่อมด้วยความเสียดทาน	9
2.2 ความรู้เกี่ยวกับเหล็กชนิดต่าง ๆ	9
2.2.1 เหล็กกล้า	9
2.2.2 เหล็กกล้าคาร์บอน (Carbon Steel)	10
2.2.3 ลักษณะทั่ว ๆ ไปของเหล็กคาร์บอน (Plain Carbon Steel)	10
2.2.4 การพิจารณาเหล็กที่มีคาร์บอน 0.45 % จากภาพที่ 2.6	13
2.2.5 คุณสมบัติของเหล็กคาร์บอน	15
2.3 ความรู้เบื้องต้นเกี่ยวกับลักษณะคุณสมบัติของโครงสร้าง ชุดภาคชนิดต่าง ๆ	17
2.3.1 วิธีการวิเคราะห์โครงสร้างชุดภาค	17

สารบัญ (ต่อ)

	หน้า
2.3.2 โครงสร้างจุลภาคของเหล็กคาร์บอน	18
2.3.3 การทดสอบคุณสมบัติทางกล (Mechanical Testing)	22
2.3.4 การวัดความแข็ง (Hardness Testing)	23
2.3.5 การทดสอบแรงดึง (Tensile Test)	26
2.4 ทบทวนวรรณกรรม	29
3 การออกแบบและพัฒนาเครื่องซื้อมาด้วยความเสียดทาน	
3.1 เครื่องซื้อมาด้วยความเสียดทานก่อนการพัฒนา	32
3.1.1 อุปกรณ์และคุณสมบัติของเครื่องซื้อมาด้วยความเสียดทานต้นแบบ	33
3.1.2 ข้อด้อยของเครื่องซื้อมาด้วยความเสียดทานต้นแบบ	34
3.2 การพัฒนาเครื่องซื้อมาด้วยความเสียดทาน	36
3.2.1 การออกแบบเครื่องซื้อมาด้วยความเสียดทานที่พัฒนาแล้ว	37
3.2.2 อุปกรณ์ที่ติดตั้งในเครื่องซื้อมาด้วยความเสียดทาน	
หลังการพัฒนา	39
3.2.3 คุณสมบัติของเครื่องซื้อมาด้วยความเสียดทานที่พัฒนาใหม่	44
4 วิธีการศึกษาโครงสร้างจุลภาค	
4.1 วัสดุที่ใช้ในงานวิจัย	46
4.1.1 คุณสมบัติของวัสดุที่ใช้ในงานวิจัย	47
4.1.2 การทดสอบคุณสมบัติเชิงกลของวัสดุ	47
4.2 การกำหนดเงื่อนไขการทดลอง	49
4.2.1 การกำหนดแรงดันในการเสียดทาน (Friction Pressure)	49
4.2.2 การกำหนดเวลาในการเสียดทาน (Friction Time)	49
4.2.3 การกำหนดเงื่อนไขในการทดลองจากตัวแปรคงที่	49
4.2.4 การทดสอบความแข็งแรงของรอยซื้อมา	50
4.3 การทดสอบวัสดุที่ได้จากการทดลอง	50
4.3.1 การเตรียมชิ้นงานและการขึ้นตัวเรือน (Mounting)	51

สารบัญ (ต่อ)

	หน้า
4.3.2 การกำหนดจุดและการวัดค่าความแข็ง	52
4.3.3 การวิเคราะห์โครงสร้างจุลภาค	52
4.3.4 การวิเคราะห์ด้วยเครื่อง Image Analyzer	53
5 ผลการทดลองและวิเคราะห์ผล	
5.1 ผลการทดสอบวัสดุที่ใช้ในการทดลอง	54
5.1.1 ผลทดสอบหาส่วนประกอบทางเคมี	54
5.1.2 ผลการทดสอบหาคุณสมบัติเชิงกลของเหล็กที่ใช้ในการทดลอง	55
5.1.3 ผลการวิเคราะห์โครงสร้างจุลภาค	57
5.2 แรงดันในการเสียดทานและเวลาในการเสียดทานที่เหมาะสมในการทดลอง	57
5.2.1 แรงดันในการเสียดทาน	57
5.2.2 เวลาในการเสียดทาน	59
5.3 ผลการทดสอบค่าความแข็งของรอยเชื่อม	60
5.3.1 ค่าความแข็งของรอยเชื่อมที่ค่าแรงดันในการเสียดทานแตกต่างกัน	60
5.3.2 ค่าความแข็งของรอยเชื่อมที่แรงดันและเวลาในการเสียดทานที่เหมาะสม	65
5.4 ผลการวิเคราะห์โครงสร้างจุลภาค	68
5.4.1 การวิเคราะห์ภาพถ่ายโครงสร้างจุลภาค	68
5.4.2 การวิเคราะห์เฟสและขนาดของกรน (G number)	69
6 สรุปผลการศึกษาและข้อเสนอแนะ	
6.1 สรุปผลการศึกษา	73
6.1.1 ผลจากการพัฒนาเครื่องเชื่อมด้วยความเสียดทาน	73
6.1.2 ผลการศึกษาเกี่ยวกับคุณสมบัติของชิ้นงานที่เชื่อมด้วยความเสียดทาน	73
6.2 ข้อเสนอแนะ	74

สารบัญ (ต่อ)

	หน้า
6.2.1 ในส่วนของเครื่องเชื่อมด้วยความเสียดทานที่พัฒนา	74
6.2.2 ในส่วนของผลการทดลอง	74
เอกสารอ้างอิง	75
ภาคผนวก	
ก แบบเครื่องเชื่อมด้วยความเสียดทาน	79
ข ตารางวิเคราะห์ส่วนประกอบทางเคมีของชิ้นงานก่อน การเชื่อมและหลังการเชื่อม	84
ค ผลงานตีพิมพ์เนื่องจากวิทยานิพนธ์นี้ (ฉบับเต็ม)	93
ประวัติผู้วิจัย	127

สารบัญตาราง

ตารางที่	หน้า
3.1 อุปกรณ์และคุณสมบัติของเครื่องเชื่อมด้วยความเสียดทานต้นแบบ	33
3.2 รายการอุปกรณ์ต่าง ๆ ของเครื่องเชื่อมด้วยความเสียดทานที่พัฒนาแล้ว	38
3.3 อุปกรณ์และคุณสมบัติของเครื่องเชื่อมด้วยความเสียดทานที่พัฒนาใหม่	45
5.1 ส่วนประกอบทางเคมีของเหล็กที่ใช้ในการทดสอบ	54
5.2 ผลการทดสอบค่าความแข็งแรงของเหล็กที่ใช้ในการทดสอบ	56
5.3 ผลการทดสอบค่าความแข็งของเหล็กที่ใช้ในการทดสอบ	56
5.4 ตารางผลการวัดปริมาณเฟส Pearlite และ Ferrite	57
5.5 ผลการทดลองหาค่าความแข็งแรงของชิ้นงานที่เชื่อมด้วยความเสียดทานภายใต้แรงดันในการเสียดทานต่าง ๆ	58
5.6 ผลการทดลองหาค่าความแข็งแรงของชิ้นงานที่เชื่อมด้วยความเสียดทานภายใต้เวลาในการเสียดทานต่าง ๆ	59
5.7 ค่าความแข็งที่เงื่อนไขแรงดันการเสียดทานในช่วงต่างๆ เวลาการเสียดทาน 9 Sec. แรงดันการอัด 60 Bar เวลาการอัด 3 Sec. ความเร็วหมุนชิ้นงาน 1,200 rpm	61
5.8 ค่าความแข็งที่เงื่อนไข แรงดันการเสียดทาน 10 Bar เวลาการเสียดทาน 9 Sec.	65
5.9 ผลการทดสอบค่าความแข็งของจุดเชื่อมต่อในแนวแกน Y	67
5.10 ผลการวิเคราะห์ความแตกต่างของ Pearlite และ Ferrite รวมถึงขนาดของเกรน (G number) ที่ระยะต่าง ๆ	70
ข.1 ผลการวิเคราะห์ส่วนประกอบทางเคมีชิ้นงานเดินชิ้นที่ 1 โดยทำการทดสอบ 5 ครั้ง	85
ข.2 ผลการวิเคราะห์ส่วนประกอบทางเคมีชิ้นงานเดินชิ้นที่ 2 โดยทำการทดสอบ 5 ครั้ง	86
ข.3 ผลการวิเคราะห์ส่วนประกอบทางเคมีชิ้นงานเดินชิ้นที่ 3 โดยทำการทดสอบ 5 ครั้ง	87
ข.4 ผลการวิเคราะห์ส่วนประกอบทางเคมีชิ้นงานเดินชิ้นทั้ง 3 ชิ้น โดยนำผลที่ได้จากตารางที่ ข.1 – 3 มาทำการเฉลี่ย	88
ข.5 ผลการวิเคราะห์ส่วนประกอบทางเคมีของรอยเชื่อมชิ้นที่ 1 โดยทำการทดสอบ 5 ครั้ง	89
ข.6 ผลการวิเคราะห์ส่วนประกอบทางเคมีของรอยเชื่อมชิ้นที่ 2 โดยทำการทดสอบ 5 ครั้ง	90

สารบัญตาราง (ต่อ)

ตารางที่	หน้า
ข.7 ผลการวิเคราะห์ส่วนประกอบทางเคมีของรอยเชื่อมชิ้นที่ 3 โดยทำการทดสอบ 5 ครั้ง	91
ข.8 ผลการวิเคราะห์ส่วนประกอบทางเคมีของรอยเชื่อมหัง 3 ชิ้น โดยนำผลที่ได้จากตารางที่ ข.5 – 7 มาทำการเฉลี่ย	92

สารบัญภาพ

ภาพที่	หน้า
2.1 การเชื่อมด้วยการหมุนเสียดทานในแนวระนาบให้แรงดันอัดด้านเดียว	5
2.2 การเชื่อมด้วยตัวกลางหมุนเสียดทานในแนวระนาบ	7
2.3 การเชื่อมด้วยการหมุนเสียดทานในแนวระนาบทั้งสองด้าน	7
2.4 การเชื่อมด้วยความเสียดทานแบบขัดสีด้านเดียวในแนวตั้ง	8
2.5 การเชื่อมด้วยความเสียดทานแบบขัดสีทั้งด้านเดียวในแนวระนาบ	9
2.6 Equilibrium Diagram ของเหล็กคาร์บอน	12
2.7 ลักษณะโครงสร้างของ Pearlite	14
2.8 ลักษณะโครงสร้างของเหล็กที่มีปริมาณคาร์บอนต่างกัน	15
2.9 คุณสมบัติของเหล็กเกล้าคาร์บอน ในสภาพ Normalizing	16
2.10 โครงสร้างจุลภาคของ Ferrite และตารางคุณสมบัติ	18
2.11 โครงสร้างจุลภาคของ Pearlite และตารางคุณสมบัติ	19
2.12 โครงสร้างจุลภาคของ Cementite และตารางคุณสมบัติ	19
2.13 โครงสร้างจุลภาคของ Austenite และตารางคุณสมบัติ	20
2.14 โครงสร้างจุลภาคของ Ledeburite และตารางคุณสมบัติ	20
2.15 โครงสร้างจุลภาคของการรื้อนอิสระหรือ กาแฟ และตารางคุณสมบัติ	21
2.16 โครงสร้างจุลภาคของ Bainite และตารางคุณสมบัติ	21
2.17 โครงสร้างจุลภาคของ Martensite และตารางคุณสมบัติ	22
2.18 รูปหัวเพชร และรอยกด	25
2.19 ลักษณะต่างๆของชิ้นทดสอบแรงดึง	26
2.20 สดส่วนของชิ้นงานทดสอบแรงดึง (ก) กรณีชิ้นงานพื้นที่หน้าตัดกลม (ข) กรณีชิ้นงานพื้นที่หน้าตัดแบน	27
2.21 อุปกรณ์และการติดตั้งชิ้นทดสอบเครื่องทดสอบแรงดึง	28
3.1 เครื่องเชื่อมด้วยความเสียดทานตันแบบ ก่อนการพัฒนา	33
3.2 Monoblock Valve ควบคุมการเคลื่อนที่ของระบบออกไซดรอลิกส์ ชนิดไป – กลับ	34
3.3 แผ่นเหล็กที่ใช้ดเพลาประคอง และเพลาประคอง	35
3.4 เรือนลูกปืน (Housings Bearing) ขนาด 2 inches	35
3.5 โครงสร้างที่ยึดติดกับแท่นคอนกรีต	36

สารบัญภาพ (ต่อ)

ภาพที่	หน้า
3.6 ภาพมุมอ้างด้านหน้าเครื่องเชื่อมด้วยความเสียดทานใหม่ที่พัฒนามาจากเครื่องต้นแบบ	37
3.7 ภาพมุมอ้างด้านหลังเครื่องเชื่อมด้วยความเสียดทานใหม่ที่พัฒนามาจากเครื่องต้นแบบ	38
3.8 เครื่องเชื่อมด้วยความเสียดทาน (Friction Welding Machine) ที่ได้รับการพัฒนา	39
3.9 นอเตอร์ขนาด 5 Hp และเครื่องควบคุมความเร็วอโนเตอร์ขนาด 7.5 Hp ชุดใหม่ที่ติดตั้งเข้าไป	40
3.10 แผ่นเหล็กที่ใช้ขัดเพลาประกอบ และเพลาประกอบ	41
3.11 วาล์วปรับควบคุมแรงดันไ媳ดรอลิกส์ด้วยมือ (Manual Relief Valve) ที่ติดตั้งในเครื่องที่ พัฒนาแล้ว	42
3.12 วาล์วควบคุมการเปิด-ปิด ไ媳ดรอลิกส์ (Electric Solenoid Valve)	43
3.13 เครื่องควบคุมเวลาในการทำงาน (Timer) ยี่ห้อ Omron รุ่น H3CA ที่ใช้ติดตั้งในเครื่องเชื่อมด้วยความเสียดที่พัฒนาใหม่	43
3.14 วาล์วควบคุมความเร็วของระบบทอก (Manual Flow control Valve)	44
3.15 แผนผังกระบวนการเชื่อมด้วยการเสียดทานตั้งแต่เริ่มต้นจนเสร็จสิ้นกระบวนการ	45
4.1 ตัวอย่างของเหล็กที่ใช้ในการทดลอง	46
4.2 เครื่อง Spectrometer ที่ใช้ในการวิเคราะห์หาส่วนประกอบทางเคมีของเหล็กที่ใช้ในการทดลอง	47
4.3 เครื่องทดสอบค่าความแข็งแรงของชิ้นงานเชื่อม	48
4.4 เครื่องวัดความแข็ง ยี่ห้อ Multitoyo รุ่น MVK-H1 Micro Hardness Test	48
4.5 แบบชิ้นงานที่นำไปกลึงบาง	50
4.6 ชิ้นงานที่เตรียมก่อนการขึ้นตัวเรือน	51
4.7 ชิ้นงานที่ขึ้นตัวเรือนด้วย เรซินฟินอล- ฟอร์มัลดีไฮด์	51
4.8 (ก) ชิ้นงานที่ได้จากการเชื่อมด้วยความเสียดทาน (ข) แบบของชิ้นงานที่ตัดเฉพาะส่วนของแนวเชื่อมต่อ (ค) แบบของชิ้นงานที่ผ่าครึ่ง (ง) แบบของชิ้นงานผ่าครึ่งที่กำหนดแนวทดสอบค่าความแข็ง	52

สารบัญภาพ (ต่อ)

ภาพที่	หน้า
4.9 กล้องจุลทรรศน์ และอุปกรณ์คอมพิวเตอร์ที่ใช้ในการส่องดูโครงสร้างของชิ้นงาน และถ่ายภาพเพื่อนำไปใช้ในการวิเคราะห์ผล	53
4.10 เครื่องวิเคราะห์โครงสร้าง ยี่ห้อ Olympus รุ่น Olysia M3	53
5.1 กราฟค่าความแข็งในแนวแกน X ที่ชุดต่าง ๆ ของเหล็กที่จะนำไปทดลองเชื่อมด้วยความเสียดทาน	56
5.2 กราฟค่าความแข็งแรงของชิ้นงานที่เข้มภายในด้านของการเสียดทาน ในช่วงต่าง ๆ	58
5.3 กราฟค่าความแข็งแรงของชิ้นงานที่เข้มภายในด้านของการเสียดทาน ในช่วงต่าง ๆ	59
5.4 กราฟค่าความแข็งของรอยเชื่อมที่แรงดันในการเสียดทาน 10 Bar	62
5.5 กราฟค่าความแข็งของรอยเชื่อมที่แรงดันในการเสียดทาน 15 Bar	62
5.6 กราฟค่าความแข็งของรอยเชื่อมที่แรงดันในการเสียดทาน 20 Bar	63
5.7 กราฟค่าความแข็งของรอยเชื่อมที่แรงดันในการเสียดทาน 25 Bar	63
5.8 กราฟค่าความแข็งของรอยเชื่อมที่แรงดันในการเสียดทาน 30 Bar	64
5.9 กราฟค่าความแข็งของรอยเชื่อมที่แรงดันในการเสียดทาน 10, 15, 20, 25 และ 30 Bar	64
5.10 กราฟค่าความแข็งของรอยเชื่อมที่แรงดันในการเสียดทาน 10 Bar เวลาในการเสียดทาน 9 Sec. (เฉลี่ยจากชิ้นงาน 5 ชิ้น)	66
5.11 กราฟค่าความแข็งในแนวแกน Y	67
5.12 ความร้อนที่เกิดขึ้นระหว่างการเสียดสีกันก่อนการดันอัดให้เชื่อมต่อกัน	68
5.13 เกรนที่ชุดเชื่อมต่อถ่ายที่กำลังขยาย 50 X และลดขนาดลง 50 %	69
5.14 เกรนของเหล็ก AISI 1015 ก่อนการเชื่อมถ่ายที่กำลังขยาย 50 X และลดขนาดลง 50%	69
5.15 กราฟการเปลี่ยนแปลงของ Pearlite, Ferrite และ G number บริเวณแนวเชื่อมต่อ และส่วนที่ได้รับผลกระทบจากการเชื่อม	70
5.16 ลักษณะโครงสร้างชุลภาชนะชิ้นงานเชื่อมที่ระยะต่างๆ โดยภาพขยายขนาด 50 X	71
ก.1 ภาพแยกชิ้นส่วนของเครื่องเชื่อมด้วยความเสียดทานด้วยแบบที่ได้รับการพัฒนา	80

สารบัญภาพ (ต่อ)

ภาพที่	หน้า
ก.2 ภาพมุมอ้างของเครื่องเชื่อมด้วยความเสียดทานตันแบบที่ได้รับการพัฒนา	81
ก.3 ภาพด้านหน้าของเครื่องเชื่อมด้วยความเสียดทานตันแบบที่ได้รับการพัฒนา	81
ก.4 ภาพด้านข้าง (ขวา) ของเครื่องเชื่อมด้วยความเสียดทานตันแบบที่ได้รับการพัฒนา	82
ก.5 ภาพด้านข้าง (ซ้าย) ของเครื่องเชื่อมด้วยความเสียดทานตันแบบที่ได้รับการพัฒนา	82
ก.6 ภาพด้านหลังของเครื่องเชื่อมด้วยความเสียดทานตันแบบที่ได้รับการพัฒนา	83
ก.7 ภาพด้านบนของเครื่องเชื่อมด้วยความเสียดทานตันแบบที่ได้รับการพัฒนา	83

บทที่ 1

บทนำ

1.1 ความสำคัญและที่มาของงานวิจัย

ในปัจจุบันมีการนำเทคโนโลยีการเชื่อมต่อความเสียดทานมาใช้ในการอุดสานหกรรนอย่างหลากหลาย เนื่องจากการเชื่อมต่อความเสียดทานสามารถเชื่อมชิ้นงานที่มีคุณภาพ มีความแข็งแรงสูง สามารถเชื่อมวัสดุต่างชนิดกันได้ การเชื่อมต่อความเสียดทานมีข้อดีหลายประการ เช่น ใช้เวลาในการเชื่อมสั้น ไม่จำเป็นต้องใช้ช่างฝีมือ ชิ้นงานที่เชื่อมมีการทดสอบทั่วทั้งพื้นที่หน้าตัดของแนวเชื่อม ไม่จำเป็นต้องใช้วัสดุช่วยผสาน ซึ่งเมื่อเทียบกับการเชื่อมด้วยไฟฟ้า โดยใช้ฐานไปเชื่อมเป็นตัวเชื่อมผ่าน พนว่าการใช้ฐานไปเชื่อมนั้นมีลักษณะเหมือนการพอก เพราะเป็นการเชื่อมติดบริเวณผิวด้านนอกของชิ้นงานมากกว่า โดยเฉพาะเมื่อชิ้นงานมีพื้นหน้าตัดมากขึ้น ความแข็งแรงของแนวเชื่อมยังน้อยลง ซึ่งต่างจากการเชื่อมต่อความเสียดทานเป็นอย่างมาก เพราะการเชื่อมต่อความเสียดทานนั้นให้คุณภาพของชิ้นงานที่เชื่อมทั่วทั้งหน้าตัดของแนวเชื่อม ด้วยข้อได้เปรียบดังกล่าว จึงได้มีผู้ศึกษาวิจัยเกี่ยวกับการเชื่อมแบบนี้อย่างต่อเนื่องและกว้างขวาง ซึ่งจากการศึกษาการเชื่อมวัสดุที่มีพื้นที่หน้าตัดเท่ากัน และพื้นที่หน้าตัดต่างขนาดกัน [1] พนว่าชิ้นงานที่ได้จากการเชื่อมต่อความเสียดทานที่มีพื้นที่หน้าตัดเท่ากัน และขนาดเท่ากันมีค่าความแข็งแรงของรอยเชื่อมที่แตกต่างกัน ซึ่งเกิดจากการกำหนดค่าตัวแปรในการเชื่อมซึ่งมีการศึกษาหาค่าตัวแปรที่เหมาะสมกับการเชื่อมตามคุณสมบัติของวัสดุนั้นๆ โดยมีตัวแปรที่หน้าทำ การศึกษาในเบื้องต้นคือ แรงดันในการเสียดทาน และเวลาในการเสียดทาน [2] [3] ในส่วนของตัวแปรอื่นๆที่มีการศึกษาวิจัย เช่น ความเร็วในการหมุนของชิ้นงานเชื่อม [4] แรงดันในการอัดและเวลาในการอัด [5] ซึ่งทำการทดลองเชื่อมด้วยความเสียดทานกันวัสดุชนิดเดียวกัน และวัสดุชนิดต่างกัน [6] [7] [8] จากการศึกษาวิจัยพบว่าแรงดันในการเสียดทาน และเวลาในการเสียดทานมีเป็นปัจจัยหลักเบื้องต้นของการเชื่อมด้วยความเสียดทาน ซึ่งจะส่งผลอย่างมากต่อค่าความแข็งแรงของรอยเชื่อม [9] [10] การวิเคราะห์โครงสร้างจุลภาคของรอยเชื่อม [11] [12] ซึ่งจากการวิเคราะห์โครงสร้างจุลภาคที่รอยเชื่อมพบว่าการเปลี่ยนแปลงที่รอยเชื่อมที่เกิดจาก การใช้วัสดุชนิดเดียวกัน และวัสดุชนิดต่างกัน [13] โดยมีเงื่อนไขของตัวแปรต่างๆ ที่ใช้ในการเชื่อมเป็นส่วนประกอบที่จะส่งผลให้รอยเชื่อมที่เกิดมีค่าความแข็ง และความแข็งแรงที่แตกต่างกัน จาก

การศึกษาการเชื่อมด้วยความเสียดทานด้วยการเชื่อมเหล็ก AISI 304 เส้นผ่าศูนย์กลาง 10 mm. โดยการวิเคราะห์เชิงสถิติ พบว่าแรงดันในการเสียดทานที่ 60 MPa และเวลาในการเสียดทานที่ 9 Sec. เป็นค่าที่เหมาะสมในการเชื่อม [13] และจากการศึกษาการเชื่อมด้วยความเสียดทานด้วยการเชื่อมห่อกลมกันวัสดุที่มีรูปทรงต่างกัน พบว่าสามารถเชื่อมต่อชิ้นงานได้ดี [14] ในส่วนของการศึกษาถึงวิธีการเชื่อมด้วยความเสียดทานด้วยการสั่นเชิงเส้น (Linear Friction Welding (LFW)) [15] [16] พบว่ามีค่าความแข็งแรงของรอยเชื่อมมากเนื่องจากสามารถเชื่อมได้ตลอดหน้าสัมผัส และในการศึกษาการเชื่อมด้วยความเสียดทานแบบหัวหมุนเชื่อมเคลื่อนที่ตามแนววงเชื่อม (Friction Stir Welding) [17] ก็เป็นวิธีการเชื่อมด้วยความเสียดทานอีกหนึ่งวิธีการที่กำลังได้รับความสนใจทำการศึกษาวิจัย เนื่องจากสามารถเชื่อมต่อชิ้นตามแนวยาวของชิ้นงานเชื่อม

ในงานวิจัยนี้ได้ทำการศึกษาวิจัยเกี่ยวกับการสร้าง และพัฒนาเครื่องเชื่อมด้วยความเสียดทาน และวิเคราะห์โครงสร้างของเหล็กที่ได้รับผลกระทบจากการเชื่อมด้วยความเสียดทานในระดับจุลภาค อย่างไรก็ตามยังมีตัวแปรอื่นๆ อีกหลายตัวที่อาจมีผลต่อความแข็ง และความแข็งแรงของรอยเชื่อมด้วยความเสียดทาน เช่น แรงดันและเวลาในการเชื่อม ความบางของชิ้นงานที่หายไป ความเร็วในการหมุนชิ้นงานเชื่อม อุณหภูมิในการเชื่อม และลักษณะของผิวสัมผัสเป็นต้น ซึ่งตัวแปรเหล่านี้ จะทำการศึกษาต่อไปในอนาคต

1.2 วัตถุประสงค์ของโครงการวิจัย

- 1.2.1 เพื่อศึกษาวิธีการเชื่อม และทดสอบระบบการเชื่อม โลหะด้วยความเสียดทาน
- 1.2.2 เพื่อศึกษาคุณสมบัติของรอยเชื่อมที่เกิดจากการเชื่อมด้วยความเสียดทาน
- 1.2.3 เพื่อศึกษาโครงสร้างของเหล็กที่ได้รับผลกระทบจากการเชื่อมด้วยความเสียดทานในระดับจุลภาค

1.3 ขอบเขตของงานวิจัย

งานวิจัยนี้ประกอบด้วย 2 ส่วน คือ ส่วนที่ 1 การออกแบบ สร้างและพัฒนาเครื่องเชื่อมด้วยความเสียดทาน และส่วนที่ 2 คือการทดลอง โดยมีขอบเขตงานในแต่ละส่วนดังนี้

1.3.1 การสร้างและพัฒนาเครื่องเชื่อมด้วยความเสียดทาน

เครื่องเชื่อมด้วยความเสียดทานด้านแบบต้องสามารถทำงานได้อย่างต่อเนื่องจนเสร็จสิ้นกระบวนการ

- 1.3.1.1 สามารถปรับตั้งเวลาในการเสียดทาน และเวลาในการอัดได้

1.3.1.2 สามารถปรับตั้งแรงดันในการเสียดทาน และแรงดันในการอัดได้

1.3.1.3 สามารถปรับความเร็วในการเคลื่อนที่ของระบบอกไฮดรอลิกส์ได้

1.3.1.4 สามารถปรับความเร็วรอบในการหมุนชิ้นงานเชื่อมได้

1.3.2 การทดลอง

ทำการทดลองเพื่อศึกษาคุณสมบัติของรอยเชื่อมด้วยความเสียดทาน ก่อนและหลัง การเชื่อมด้วยความเสียดทาน โดยคุณสมบัติหลักที่จะต้องทำการศึกษา ได้แก่

1.3.2.1 ความแข็งแรงของชิ้นงาน

1.3.2.2 ความแข็งแบบวิกเกอร์ (HV)

1.3.2.3 ลักษณะและองค์ประกอบของโครงสร้างจุลภาค

1.4 ประโยชน์ที่คาดว่าจะได้รับ

1.4.1 ได้เครื่องเชื่อมด้วยความเสียดทานที่พัฒนาแล้ว

1.4.2 ได้ทราบถึงการเปลี่ยนแปลงของโครงสร้างวัสดุที่ได้รับผลกระทบจากการเชื่อม

1.4.3 เป็นแนวทางในการศึกษาวิจัยงานเชื่อมด้วยความเสียดทานในด้านอื่น ๆ ต่อไป

บทที่ 2

ความรู้ที่เกี่ยวข้องและทบทวนวรรณกรรม

2.1 ความรู้เบื้องต้นเกี่ยวกับการเชื่อมด้วยความเสียดทาน

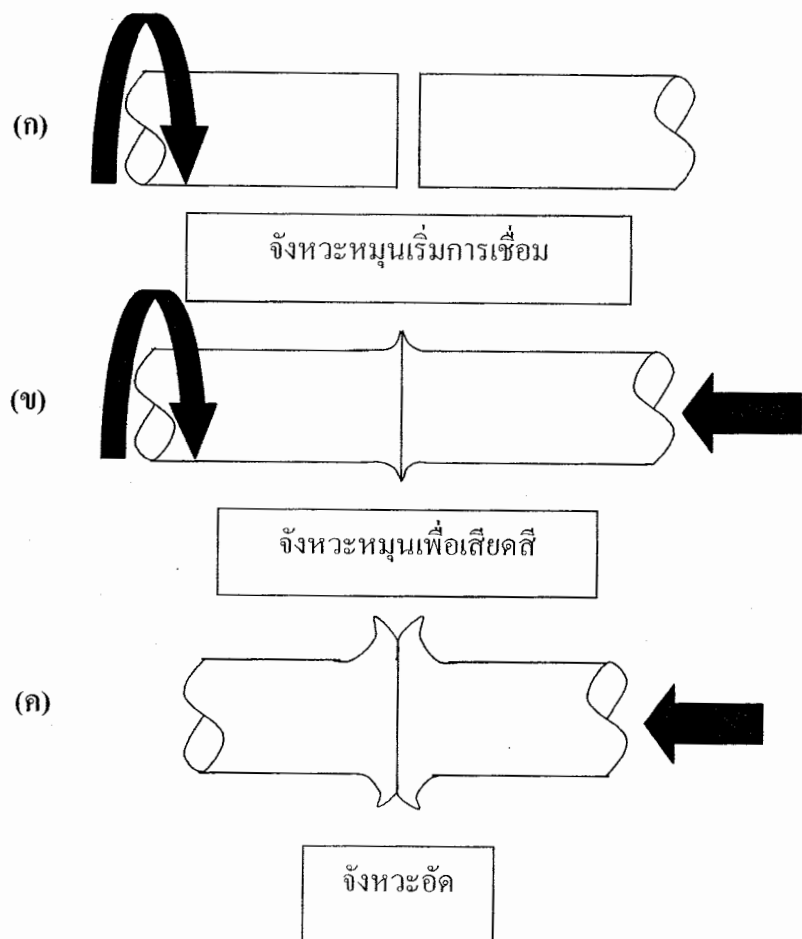
2.1.1 หลักการเชื่อมด้วยความเสียดทาน

โดยปกติแล้วการเชื่อมประสานวัสดุต่าง ๆ ที่ต้องการความแข็งแรงของแนวเชื่อมสูงนั้นส่วนมากอาศัยความร้อนเป็นตัวประสานหรือตัวช่วยประสาน ซึ่งการเชื่อมด้วยความเสียดทาน ก็เป็นอีกวิธีหนึ่งที่อาศัยพลังความร้อนเป็นตัวประสาน โดยการเชื่อมด้วยความเสียดทานนั้นมีหลักหลาบวิธีการ และในงานวิจัยที่ทำการศึกษานี้จะทำการศึกษาการเชื่อมด้วยความเสียดทานด้วยวิธีการหมุนเสียดทานในแนวระนาบโดยให้แรงดันอัดด้านเดียว ดังแสดงในภาพที่ 2.1 ซึ่งมีหลักการเชื่อมด้วยความเสียดทานดังนี้

2.1.1.1 จังหวะหมุนเริ่มการเชื่อม คือการนำชิ้นงานที่จะทำการเชื่อมด้วยความเสียดทานมาจับยึดติดกับหัวจับชิ้นงานเชื่อมทั้งสองด้านและหมุนชิ้นงานเชื่อมด้านเดียว โดยให้ความเร็วและแรงบิดที่เหมาะสมกับขนาดและคุณสมบัติของชิ้นงานเชื่อม ดังภาพที่ 2.1 (ก)

2.1.1.2 จังหวะหมุนเพื่อเสียดสี ในจังหวะนี้คือชั้นตอนของการทำให้เกิดความร้อนบริเวณหน้าสัมผัสของชิ้นงานเชื่อมทั้งสองด้าน ซึ่งความร้อนที่เกิดขึ้นนี้จะมีผลกระทบต่อรอยเชื่อม การสร้างความร้อนให้เกิดขึ้นนั้นจะต้องให้แรงดันในการเสียดทาน (Friction Welding) ที่เหมาะสมแก่ชิ้นงานด้านที่ไม่หมุนดันให้ชิ้นงานทั้งสองเสียดสีกัน และให้แรงดันในการเสียดทานเป็นแรงดันที่ต่ำ ซึ่งการกำหนดแรงดันขึ้นอยู่กับขนาดและคุณสมบัติของวัสดุที่เสียดสีกัน ในส่วนของเวลาที่ใช้ในการเสียดทาน (Friction Time) และความเร็วในการดันให้ชิ้นงานเสียดสีกัน (Friction Speed) ก็มีผลต่อความร้อนที่เกิดขึ้นบริเวณหน้าสัมผัสของชิ้นงานเชื่อมทั้งสองด้านด้วย เช่นกัน ดังนั้นในจังหวะหมุนเพื่อเสียดสีจะต้องคำนึงถึงตัวแปรต่าง ๆ เหล่านี้ คือ แรงดันในการเสียดทาน, เวลาในการเสียดทาน, ความเร็วของแรงดันในการหมุนชิ้นงานเชื่อม และความเร็วในการดันให้ชิ้นงานเสียดสีกัน เมื่อกำหนดค่าของตัวแปรที่เหมาะสมได้แล้ว ก็จะสามารถเริ่มกระบวนการหมุนเพื่อเสียดสีกันได้ โดยการดันให้ชิ้นงานด้านที่ไม่หมุนให้เคลื่อนที่เข้าเสียดสีกันเพื่อสร้างความร้อนที่หน้าสัมผัส ดังภาพที่ 2.1 (ข)

2.1.1.3 จังหวะอัด เป็นขั้นตอนสุดท้ายของกระบวนการเชื่อมด้วยความเสียดทาน และเมื่อเสร็จสิ้นกระบวนการในข้อ 2.1.1.2 แล้วการหมุนของชิ้นจะหยุดจากนั้นจะให้แรงดันในการอัดชิ้นงานหรือเรียกอีกอย่างว่าแรงดันในการเชื่อม (Upset Pressure) ซึ่งเป็นแรงคันที่สูงมาก และให้เวลาในการอัดหรือเรียกอีกอย่างว่าเวลาในการเชื่อม (Upset Time) เชื่อมชิ้นงานทั้งสองให้ติดกัน ดังภาพที่ 2.1 (ค) ซึ่งตัวแปรทั้งสองนี้ต้องกำหนดให้เหมาะสมกับขนาดและคุณสมบัติของชิ้นงานเชื่อม เช่น ถ้าให้แรงดันและเวลาในการอัดมากเกินไปอาจทำให้ชิ้นงานเชื่อมคงดองและแนวเชื่อมเสียดูน้ำขึ้นได้ หรือให้แรงดันในการอัดน้อยเกินไปอาจทำให้รอยเชื่อมไม่ความแข็งแรงพอเพียงที่จะรองรับภาระเชิงกลได้



ภาพที่ 2.1 การเชื่อมด้วยการหมุนเสียดทานในแนวระนาบให้แรงคันอัดด้านเดียว

2.1.2 ตัวแปรที่มีผลผลกระทบต่อการเชื่อมด้วยความเสียดทาน

ตัวแปรที่มีผลผลกระทบต่อการเชื่อมด้วยความเสียดทานนั้นแบ่งออกได้หลายตัวแปร ได้แก่

2.1.2.1 แรงดันในการเสียดทาน (Friction Pressure) หมายถึง แรงดันที่ใช้ในการดันให้ชิ้นงานสัมผัสและเสียดสีกันในจังหวะเสียดสี ดังนั้นจึงมีผลให้เกิดความร้อนขึ้นที่หน้าสัมผัส และมีผลต่อคุณสมบัติของรอยเชื่อมที่เกิดขึ้น

2.1.2.2 แรงดันในการอัด (Upset Pressure) หมายถึง แรงดันที่ใช้ในการอัดให้ชิ้นงานติดกันหลังจากการเสียดสีจนเกิดความร้อนเพียงพอแล้ว แรงดันในการอัดเกิดขึ้นในช่วงเวลาเพียงสัก ๆ เท่านั้น

2.1.2.3 เวลาในการเสียดทาน (Friction Time) หมายถึง เวลาที่ใช้ในการจังหวะการเสียดสีชิ้นงานให้เกิดความร้อน

2.1.2.4 เวลาในการอัด (Pressure Time) หมายถึง เวลาที่ใช้ในการอัดให้ชิ้นงานติดกันในจังหวะอัด

2.1.2.5 ความเร็วรอบในการหมุนของชิ้นงาน (Rotational Speed) หมายถึง ความเร็วรอบของชิ้นงานที่เชื่อม ซึ่งเป็นตัวแปรหนึ่งที่มีผลต่ออุณหภูมิที่เกิดขึ้นระหว่างที่เกิดการเสียดทาน

2.1.2.6 อุณหภูมิที่เกิดขึ้นระหว่างการเสียดทาน

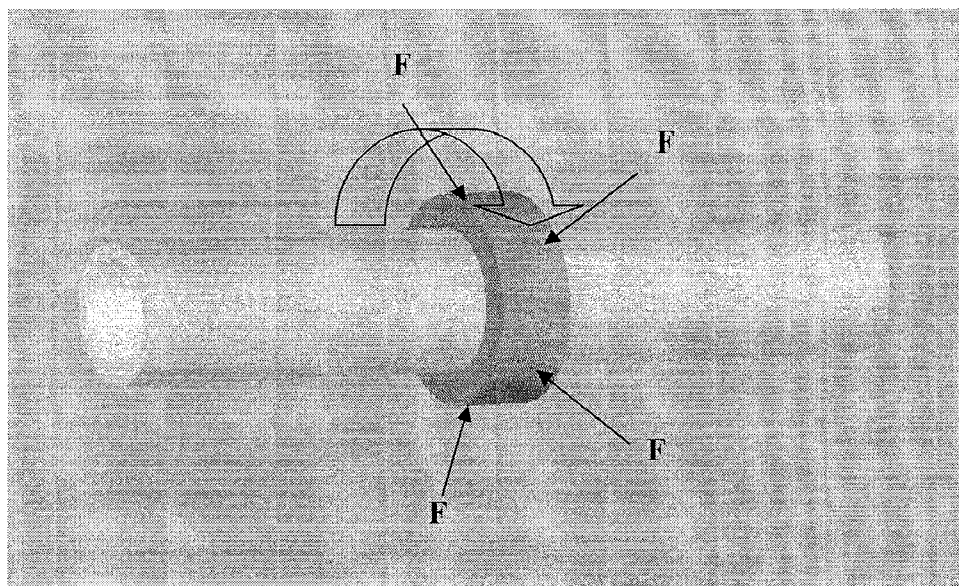
2.1.2.7 ระยะเวลาในการเย็บตัวของชิ้นงานที่เชื่อม

2.1.3 ประเภทของวิธีการเชื่อมด้วยความเสียดทาน

การเชื่อมด้วยความเสียดทานนี้สามารถแบ่งวิธีการเชื่อมออกไปได้หลายวิธีการ ซึ่งแต่ละวิธีการนั้นอาศัยความร้อนที่เกิดขึ้นจากการเสียดทานเป็นตัวช่วยประสานดังแสดงในภาพที่ 2.1-2.5

2.1.3.1 การเชื่อมด้วยตัวกลางหมุนเสียดทานในแนวระนาบ

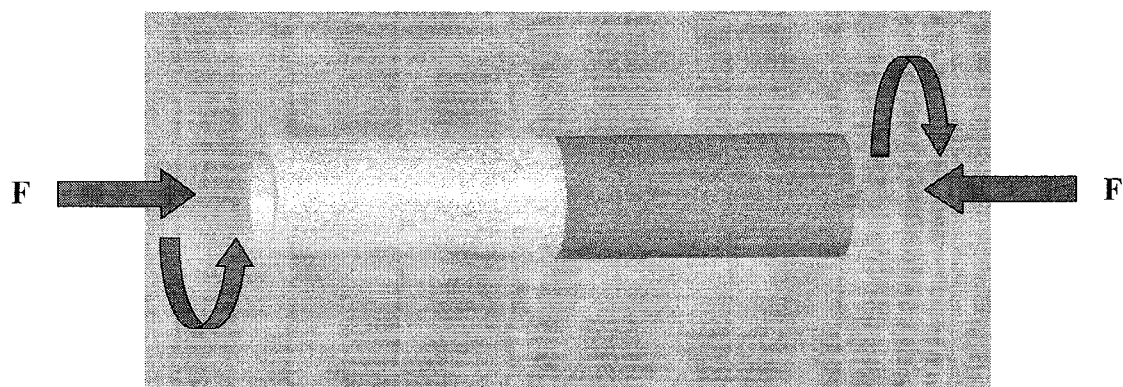
การเชื่อมด้วยวิธีการนี้อาศัยการหมุนของชิ้นงานตัวกลางเพื่อสร้างความร้อนให้แก่บริเวณหน้าสัมผัสของชิ้นงานเชื่อมจนถึงอุณหภูมิที่เหมาะสมต่อการเชื่อมวัสดุชนิดนั้น จากนั้นจึงให้แรงดันที่เหมาะสมสมอัดชิ้นงานที่จะทำการเชื่อมเข้าหากัน ซึ่งจะเป็นผลทำให้ชิ้นงานเชื่อมติดกันได้ดังภาพที่ 2.2



ภาพที่ 2.2 การเขื่อมด้วยตัวกลางหมุนเสียดทานในแนวระนาบ

2.1.3.2 การเขื่อมด้วยการหมุนเสียดทานในแนวระนาบทั้งสองด้าน

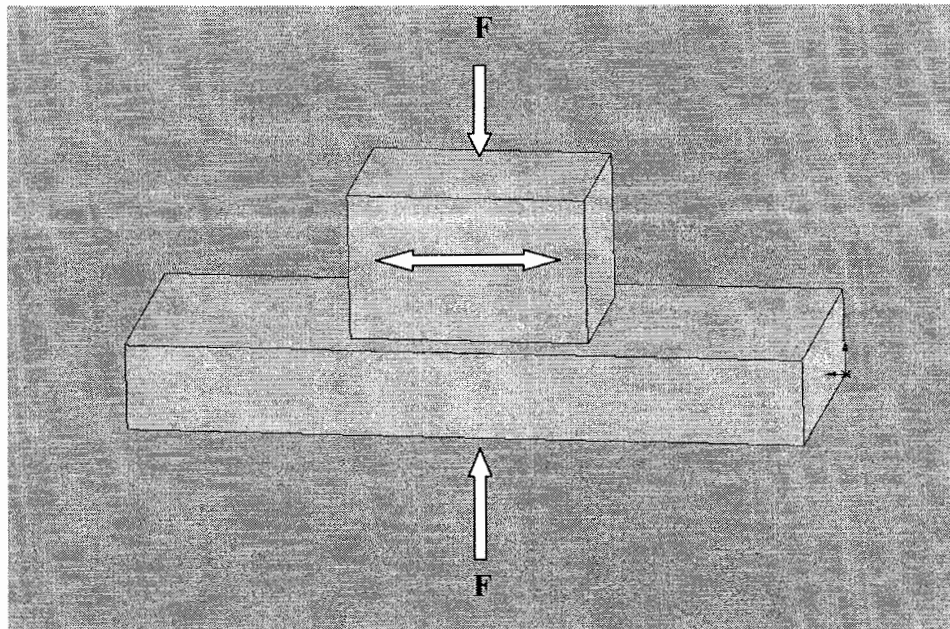
การเขื่อมด้วยวิธีการนี้อาศัยหลักการเขื่อมด้วยวิธีการหมุนชิ้นงานที่จะทำการเขื่อมทั้งสองชิ้นงาน จากนั้นดันชิ้นงานในขณะที่ยังหมุนอยู่ให้หน้าสัมผัสของชิ้นงานทั้งสองชิ้นพัสดุและเสียดสีกัน จนกระแทกบริเวณหน้าสัมผัสของชิ้นงานเขื่อมทั้งสองร้อนจนถึงอุณหภูมิที่เหมาะสมต่อการเขื่อมวัสดุชนิดนั้น จึงหยุดการหมุนชิ้นงานเขื่อมและให้แรงดันอัดชิ้นงานทั้งสองด้านเข้าหากัน เป็นผลทำให้ชิ้นงานทั้งสองต่อติดกันได้ดังภาพที่ 2.3



ภาพที่ 2.3 การเขื่อมด้วยการหมุนเสียดทานในแนวระนาบทั้งสองด้าน

2.1.3.3 การเชื่อมด้วยความเสียดทานแบบขัดสีด้านเดียวในแนวตั้ง

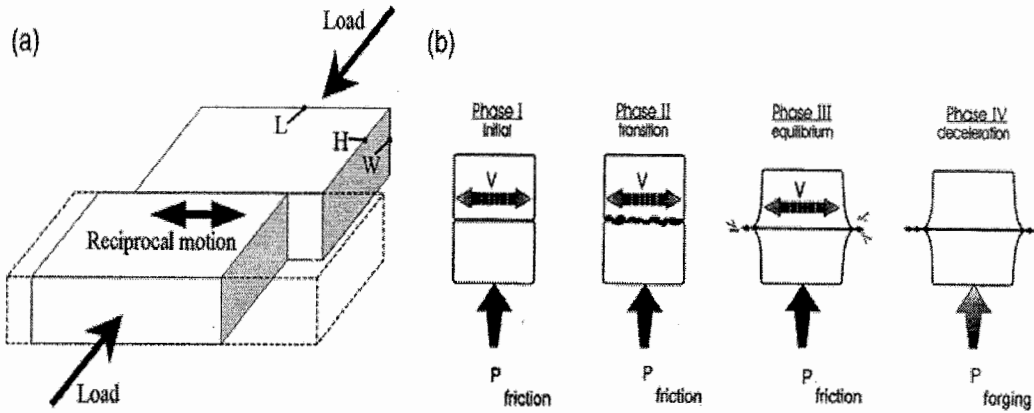
การเชื่อมด้วยวิธีการนี้อาศัยการสั่นของชิ้นงานเชื่อมที่อยู่ในแนวตั้ง (แกน y) ขัดสีกับชิ้นงานในแนวระนาบ (แกน x) ในระหว่างการขัดสีกันนั้นจะต้องให้แรงที่เหมาะสมในแนวแกนดันชิ้นงานทั้งสองเข้าหากัน จึงจะทำให้เกิดความร้อนจนถึงอุณหภูมิที่เหมาะสมต่อการเชื่อมวัสดุชนิดนั้น จึงหยุดการสั่นเสียงสีกันและให้แรงดันในการอัดเพื่อเชื่อมชิ้นงานทั้งสองให้ต่อติดกันดังภาพที่ 2.4



ภาพที่ 2.4 การเชื่อมด้วยความเสียดทานแบบขัดสีด้านเดียวในแนวตั้ง

2.1.3.4 การเชื่อมด้วยความเสียดทานแบบขัดสีทั้งด้านเดียวในแนวระนาบ

การเชื่อมด้วยวิธีการนี้มีวัตถุประสงค์ที่จะเชื่อมชิ้นงานในแนวระนาบด้วยวิธีการสั่นชิ้นงานด้านเดียวแล้วให้แรงดันอัดชิ้นงานเข้าหากันทั้งสองด้าน โดยกระบวนการเชื่อมด้วยวิธีการนี้จะสร้างการสั่นด้วยอุตสาหกรรมที่ทำให้หน้าสัมผัสของชิ้นงานทั้งสองที่จะทำการเชื่อมเกิดความร้อนจนถึงอุณหภูมิที่เหมาะสมต่อการเชื่อมวัสดุชนิดนั้น และจึงหยุดการสั่นและให้แรงดันในการอัดเพื่อเชื่อมชิ้นงานทั้งสองให้ต่อติดกันดังภาพที่ 2.5



ภาพที่ 2.5 การเชื่อมด้วยความเสียดทานแบบขัดสีทั้งด้านเดียวในแนวระนาบ [15]

2.1.4 ข้อดีและข้อเสียของการเชื่อมด้วยความเสียดทาน

ข้อดีของการเชื่อมด้วยความเสียดทาน คือ สามารถเชื่อมต่อได้ทั้งพื้นหน้าตัดของชิ้นงาน ไม่มีฟองอากาศ มีความแข็งแรงใกล้เคียงกับวัสดุเดิมหรืออาจมากกว่า ใช้เวลาในการเชื่อมน้อย มีรอยเชื่อมสนิทเสมอไม่จำเป็นต้องใช้ช่างฝีมือเชื่อม ชิ้นงานเชื่อมแต่ละชิ้นที่เชื่อมด้วยเงื่อนไขเดียวกันมีค่าความแข็งแรงที่ใกล้เคียงกัน ซึ่งในงานอุตสาหกรรมนิยมใช้ในการเชื่อมตัววัสดุที่ต้องการความแข็งแรงของแนวเชื่อมสูง เช่น เพลากลาง เพลาขับ ก้านวัลว์ไอดีโอเสียรดินต์

ข้อเสียของการเชื่อมด้วยความเสียดทาน คือ เครื่องเชื่อมด้วยความเสียดทานมีราคาแพงและมีขนาดใหญ่ต้องใช้พื้นที่ในการจัดวางและติดตั้งเครื่อง ต้องมีการเตรียมการทำหัวข้อมูลของวัสดุที่จะทำการเชื่อมเพื่อที่จะใช้เป็นตัวกำหนดเงื่อนไขในการเชื่อม ตลอดจนป้องกันบันยังมีผู้เชี่ยวชาญที่เข้าใจถึงเทคนิคและวิธีการในการเชื่อมด้วยความเสียดทานน้อย

2.2 ความรู้เกี่ยวกับเหล็กชนิดต่าง ๆ

2.2.1 เหล็กกล้า

หมายถึงเหล็กที่มีธาตุคาร์บอนเป็นส่วนผสม โดยจะยึดถือหลักที่ว่าในเหล็กที่มีการ์บอนผสมอยู่ต่ำกว่า 1.7 หรือ 2 % จะเรียกว่าเหล็กกล้า (ถ้ามีการ์บอนผสมอยู่มากกว่า 1.7 หรือ 2 % จะจัดเป็นเหล็กหล่อ) นอกจากธาตุคาร์บอนแล้วยังอาจมีธาตุอื่น ๆ ผสมอยู่ด้วย แต่จะอยู่ในลักษณะเป็นธาตุเจือปน (Impurities) เช่น ซิลิกอน, แมงกานีส, กำมะถัน และฟอสฟอรัส เหล็กกล้าแบ่งออกเป็นสองกลุ่มใหญ่คือ

2.2.2 เหล็กกล้าคาร์บอน (Carbon steel)

เป็นเหล็กที่มีคาร์บอนเป็นส่วนผสมหลัก ธาตุอื่น ๆ มีอยู่น้อยไม่เจาะจงผสมลงไปแต่อาจจะติดมากจากกรรมวิธีทางคลุก หรือ กรรมวิธีไอล์แก๊ส เหล็กกล้าคาร์บอนแบ่งออกเป็น 3 ประเภทตามปริมาณของธาตุคาร์บอนที่ผสม คือ

2.2.2.1 เหล็กคาร์บอนต่ำ (Low carbon steel) มีคาร์บอนน้อยไม่เกิน 0.2 % เป็นเหล็กที่อ่อนมีความแข็งแรงต่ำ สามารถรีดหรือตีเป็นแผ่นได้ง่าย ที่ทำเป็นเหล็กเส้นใช้ในงานก่อสร้าง หรือรีดเป็นแผ่นใช้ในงานวิศวกรรมทั่ว ๆ ไป บางที่เรียกเหล็กชนิดนี้ว่าเหล็กละมุน (Mild steel)

2.2.2.2 เหล็กกล้าคาร์บอนปานกลาง (Medium carbon steel) มีคาร์บอนตั้งแต่ 0.2 - 0.5 % เป็นเหล็กที่มีความแข็งแรงสูงกว่าประเภทแรกใช้ทำชิ้นส่วนของเครื่องจักรกลทั่ว ๆ ไป สามารถทำการอบชุบได้

2.2.2.3 เหล็กกล้าคาร์บอนสูง (High carbon steel) มีคาร์บอนตั้งแต่ 0.5 % ขึ้นไป จัดเป็นเหล็กที่มีความแข็งแรงและความแข็งสูง

2.2.3 ลักษณะทั่วไปของเหล็กกล้าคาร์บอน (Plain carbon steel)

เหล็กคาร์บอน หรือ Carbon Steel เป็นวัสดุชั้นประเทศาเดิร์ว่าที่มีคุณสมบัติทางความแข็งแรง(Strength) และความอ่อนตัว (Ductility) ที่เปลี่ยนแปลงได้ก้าวมากตามปริมาณของคาร์บอนที่มีอยู่ในเหล็ก ทำให้เหมาะสมที่จะเลือกใช้ได้ตามความเหมาะสมของลักษณะงาน ดังตัวอย่างเช่น ในเหล็กคาร์บอน ถ้ามีปริมาณของคาร์บอนต่างกันเพียงเล็กน้อยจะทำการซุบแข็งด้วยวิธีแตกต่างกันหรือทำการขึ้นรูป (Mechanical Forming) แตกต่างกันอีก อาจจะทำให้เหล็กมีความแข็งแรงแตกต่างกันได้อย่างมากmay คือ อาจจะแปรความแข็งแรงได้ถึงจำนวน $10 \text{ Kg} / \text{mm}^2$ อัตราการยืดตัว (Elongation) ก็อาจจะแตกต่างกันได้ตั้งแต่ 50% ถึง 0.1%

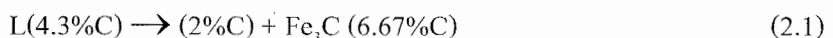
การศึกษาถึงคุณสมบัติและการควบคุมคุณสมบัติของเหล็กคาร์บอน จำเป็นอย่างยิ่ง ที่จะต้องอาศัยการอธิบายร่วมกับ Equilibrium Diagram ของเหล็กคาร์บอน ซึ่งเราทราบว่าปริมาณของคาร์บอนในเหล็กมีความสำคัญมากต่อความแข็งแรง (Strength) และความอ่อนตัว (Ductility) ก่อนที่จะศึกษาถึง Equilibrium Diagram ของเหล็กกับการบันควรจะต้องทราบ Terminology ที่เกี่ยวข้องกับ Diagram เสียก่อน ดังนี้

Austenite หรือที่เรียกว่าเหล็กแคนม่า (γ) คือ Solid Solution ของเหล็กกับคาร์บอน ซึ่งคาร์บอนสามารถละลายได้ในเหล็กมากที่สุดถึง 2 % (บางกรณีใช้ 1.7 %) ที่อุณหภูมิ 1130°C มีระบบเหล็ก (Crystal System) เป็น Face Centered Cubic (Fcc)

Ferrite ที่มีค่าความแข็ง 74 – 158 HV หรือที่เรียกว่าเหล็กแอลฟ่า (α) คือ Solid Solution ของเหล็กกับคาร์บอน ซึ่งคาร์บอนสามารถละลายได้ในเหล็กมากที่สุด 0.025 % ที่อุณหภูมิ 723 °C มีระบบผลึกเป็น Body-Centered Cubic (Bcc)

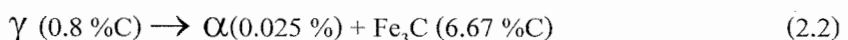
Cementite หรือ เหล็กคาร์ไบด์ บางที่ก็เรียกว่าคาร์ไบด์เฉยๆ เป็น Intermetallic Compound ระหว่างเหล็กกับคาร์บอนมีสูตร Fe_3C ซึ่งมีความแข็งสูงมาก แต่ประวัติแรงกระแทกไม่ได้

Eutectic ที่เกี่ยวกับ Equilibrium Diagram ของเหล็กคาร์บอนนี้คือ ปฏิกิริยาที่เกิดขึ้นที่อุณหภูมิ 1,130 °C โดยเหล็กหลอมเหลวที่มีคาร์บอน 4.3% แตกตัวออกเป็น Phase γ มีคาร์บอน 2 % กับ Cementite มีคาร์บอน 6.67 %

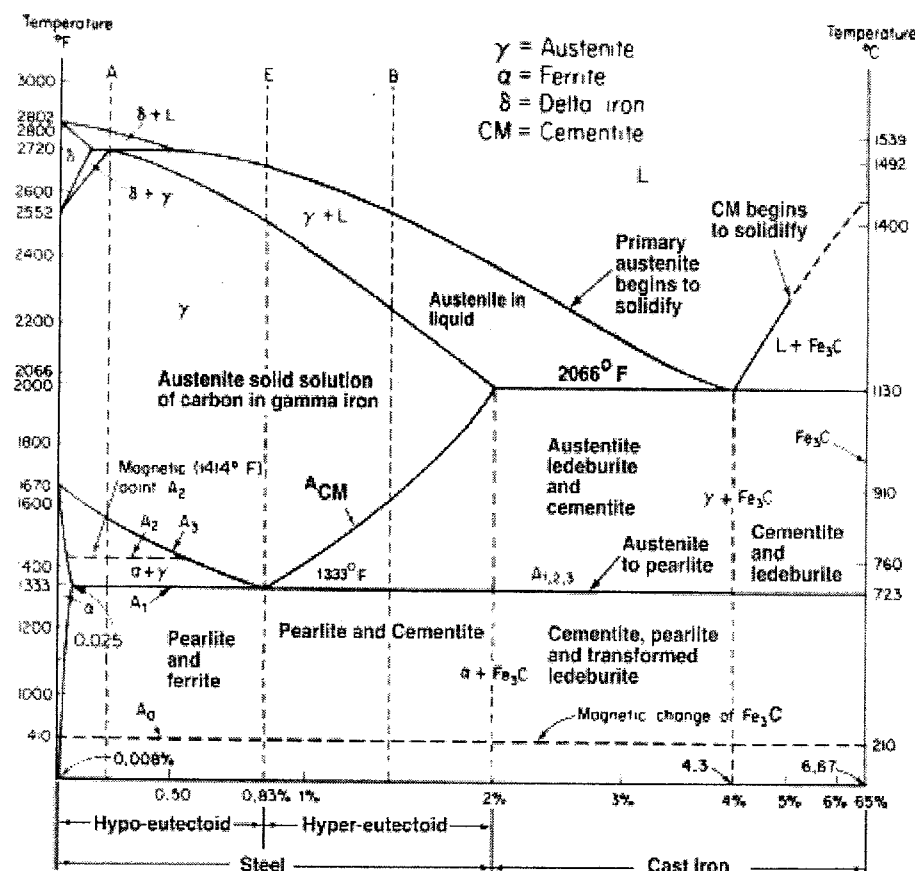


จากปฏิกิริยา Eutectic แสดงว่า อาจเกิดการรวมระหว่าง γ กับ Fe_3C และให้เหล็กหลอมเหลวที่ได้เรียกปฏิกิริยา Eutectic เมื่อันกันแต่จะเกิดเมื่อเหล็กถูกเผาให้ร้อน

Eutectoid มีลักษณะคล้ายคลึงกับปฏิกิริยา Eutectic ผิดไปแต่เพียงเป็นปฏิกิริยาที่เกิดขึ้นในสภาพของแข็งเท่านั้น ปฏิกิริยานี้ คือ การแยกตัวของ Phase γ ไปเป็น Phase α กับ Cementite Fe_3C หรืออาจจะเกิดกับการรวมระหว่าง α กับ Fe_3C ให้ γ ที่ได้



Pearlite ที่มีค่าความแข็ง 184 – 390 HV ซึ่งเป็นผลึกรวมระหว่าง Ferrite (α) 0.025 % C กับ Cementite (6.67 % C) ที่เกิดขึ้นจากปฏิกิริยา Eutectoid ในขณะที่ทำให้เย็นช้าๆ การเกิดจะสลับกันเป็นแบบยาวๆ (lamellar Structure) ของ Ferrite กับ Cementite ดังนั้น Peartite จึงไม่ใช่ Phase เดียว แต่จะเป็นสอง Phase ประกอบดูภาพที่ 2.6 ประกอบ



ภาพที่ 2.6 Equilibrium Diagram ของเหล็กการรื้อน [18]

A_{cm} คือ เส้นแสดงอุณหภูมิที่จะเกิดการเปลี่ยน Phase จาก Austenite มาเป็น Cementite ในขณะทำให้เหล็กเย็นตัวลงมาถ้าให้เหล็กร้อนขึ้นก็จะเป็นเส้นที่แสดงการเปลี่ยน Cementite ไปเป็น Austenite

A₃ คือ เส้นแสดงอุณหภูมิที่เกิดการเปลี่ยนแปลงจาก Ferrite ไปเป็น Austenite มาเป็น Ferrite ในขณะทำให้เหล็กเย็น และจะเป็นอุณหภูมิที่จะเกิดการเปลี่ยนแปลงจาก Ferrite ไปเป็น Austenite ในขณะทำให้เหล็กร้อน

A₂ คือ เส้นแสดงการเปลี่ยนแปลงคุณลักษณะแม่เหล็กของ Ferrite ซึ่งจะมีอุณหภูมิประมาณ 768 °C เส้น A₂ ไม่มีการเปลี่ยน Phase ดังนั้นจึงไม่ปรากฏใน Equilibrium Diagram

A₁ เป็นเส้นแสดงอุณหภูมิที่เกิดปฏิกิริยา Eutectoid คือ อุณหภูมิ 723 °C ทั่วๆ ไป หมายความว่า เมื่อ r กับ c ต่อท้าย A₃ และ A₁ ดังเช่น จาก Equilibrium Diagram ของเหล็กกับการรื้อน ในรูปของ Cementite (Fe₃C) จะพบว่าเหล็กบริสุทธิ์จะเปลี่ยน Phase จาก α เป็น γ ที่อุณหภูมิ 910 °C (1,670 °F) และเปลี่ยนจาก γ เป็น δ ที่อุณหภูมิ 1,400 °C (2,552 °F) ที่อุณหภูมิ 1539 °C (2,800 °F) เหล็กจะหลอมละลาย

2.2.4 การพิจารณาเหล็กที่มีคาร์บอน 0.4% จากภาพที่ 2.6

2.2.4.1 ที่อุณหภูมิ $1,539^{\circ}\text{C}$ เหล็กจะอยู่ในสภาพหลอมละลาย

2.2.4.2 ที่อุณหภูมิ $1,500^{\circ}\text{C}$ เหล็กจะเริ่มแข็งตัวให้กำเนิดนิวเคลียสของเหล็ก δ (Dalta) ที่มีชาตุคาร์บอน 0.075 %

2.2.4.3 ที่อุณหภูมิหนึ่งอีก $1,492^{\circ}\text{C}$ เล็กน้อยเหล็กจะประกอบด้วยเนื้อเหล็ก δ ที่มีคาร์บอน 0.10 % กับเหล็กหลอมเหลวที่มีชาตุคาร์บอน 0.50 %

2.2.4.4 ที่อุณหภูมิต่ำกว่า $1,492^{\circ}\text{C}$ เป็นอุณหภูมิที่เกิดปฏิกิริยา Peritectic กล่าวคือเหล็กที่มีชาตุคาร์บอน 0.10 % จะรวมกับเหล็ก หลอม เหลวบางส่วนแล้วให้เหล็ก γ (Gramma) ที่มีชาตุคาร์บอน 0.18 %

2.2.4.5 ที่อุณหภูมิต่ำกว่า $1,492^{\circ}\text{C}$ เล็กน้อยเหล็ก 0.4 % C จะประกอบด้วยเหล็ก γ 0.18 % กับเหล็กหลอมเหลว 0.50 % C

2.2.4.6 เมื่ออุณหภูมิลดลงจะปรากฏเหล็ก γ จะเพิ่มปริมาณมากขึ้น ส่วนปริมาณของเหล็กหลอมเหลวจะลดลงตามลำดับ แต่ทั้งเหล็ก γ และเหล็กหลอมเหลวจะประกอบด้วยชาตุคาร์บอนมากขึ้น

2.2.4.7 ที่อุณหภูมิ $1,450^{\circ}\text{C}$ จะเป็นจุดที่เหล็กหลอมเหลวที่เหลือแข็งตัวหมดภายในเหล็ก 0.4 % C

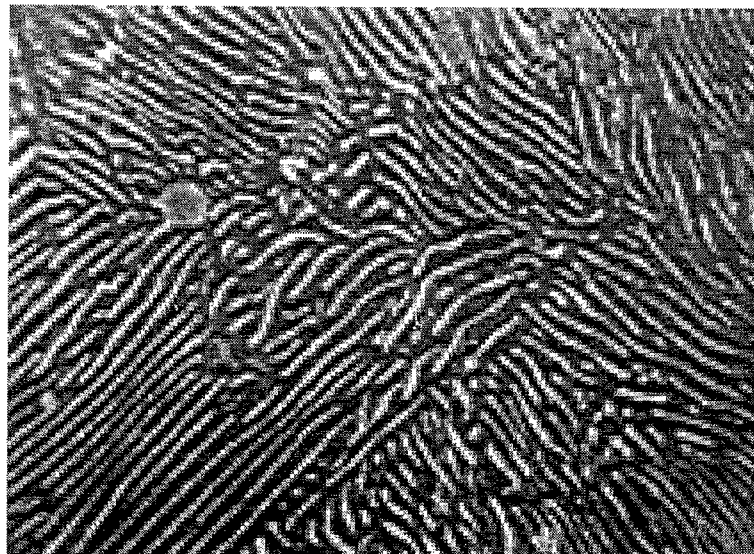
2.2.4.8 เมื่ออุณหภูมิลดต่ำลงจะปรากฏเหล็ก γ ไม่เปลี่ยนแปลงยังคงเป็นเหล็ก γ 0.4 % C จนถึงอุณหภูมิ 800°C จึงจะเริ่มมีการเปลี่ยนแปลง โดยที่บริเวณรอบๆ เม็ดกรันของเหล็ก จะให้กำเนิดนิวเคลียสของเหล็ก a 0.02 % C และเมื่ออุณหภูมิลดลง ปริมาณของเหล็ก α จะเพิ่มมากขึ้น ส่วนเหล็ก γ จะกลับปริมาณลดลง แต่ทั้งเหล็ก a และ γ จะมีปรอร์ชันต์คาร์บอนเพิ่มขึ้นด้วย

2.2.4.9 ที่อุณหภูมิหนึ่งอีก 723°C เล็กน้อย จะปรากฏมีเหล็ก α 0.025 % กับเหล็ก γ 0.8 % C อีกครั้งประมาณ 50 %

2.2.4.10 ที่อุณหภูมิ 723°C พอดี เป็นอุณหภูมิที่ให้ปฏิกิริยา Eutectiod ซึ่งเหล็ก γ 0.8% C จะแตกตัวให้เหล็ก α 0.025 % กับ Cementite (Fe_3C) 6.67 % C พร้อมๆ กัน โดยมีปริมาณเหล็ก α 0.025 % มากกว่า Cementite ประมาณ 7 เท่า

$$\frac{\text{ปริมาณเหล็ก } a}{\text{ปริมาณ } \text{Fe}_3\text{C}} = \frac{6.67 - 0.8}{0.8 - 0.025} = \frac{7}{1} \quad (2.3)$$

ลักษณะการแตกตัวของเหล็ก γ จะให้แบบยาวๆ ของเหล็ก a 0.025 % C กับ Cementite สถาบันไป ERA เรียกโครงสร้างนี้ว่า Pearlite ดังแสดงในภาพที่ 2.7



ภาพที่ 2.7 ลักษณะโครงสร้างของ Pearlite [18]

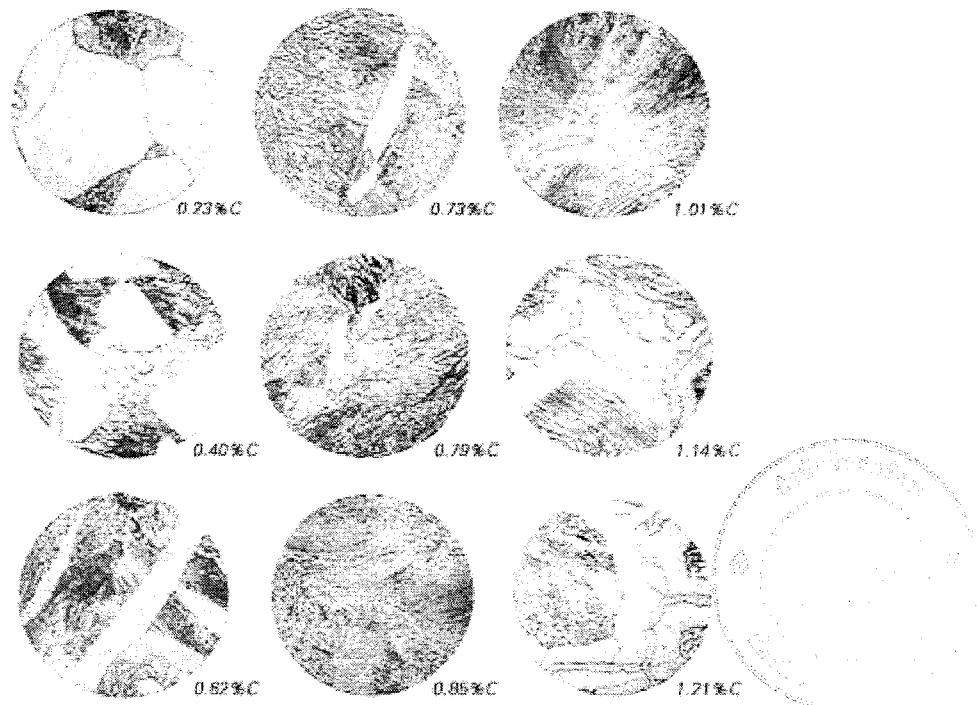
เมื่ออุณหภูมิลดลงต่ำลงอีกกว่า 723°C จะปรากฏว่าเหล็ก 0.4 % C จะมีโครงสร้างที่ประกอบด้วยเหล็ก α (0.025 % C) กับ Pearlite (0.8 % C) ถ้าอุณหภูมิลดต่ำลงอีกจะปรากฏการเปลี่ยนแปลงอีกเล็กน้อยโดยเหล็ก α 0.025 % C จะแยกตัวให้เหล็ก α ที่มีรัตตุคาร์บอนน้อยกว่า 0.025 % กับ Cementite (6.67 % C) ซึ่งเป็น Cementite ที่มีชื่อเรียกโดยเฉพาะว่า เทอร์ทิอารี (Tertiary) จะเกิดอยู่รอบ ๆ แทบทุก ๆ ของ Ferrite ในโครงสร้าง Pearlite และรอบ ๆ เกรนของ Ferrite ที่เกิดก่อน 723°C (Primary Ferrite) ในทางปฏิบัติไม่สามารถแยกออกได้ว่าเป็น Cementite ชนิด Eutectoid หรือ Tertiary เพราะจะมีสูตรและโครงสร้างเหมือนกันคือ Fe_3C

การเปลี่ยนแปลงที่อธินายนี้จะเกิดเฉพาะเมื่ออัตราการเย็นตัว (Rate of Cooling) เป็นไปอย่างช้า ๆ เพื่อเปิดโอกาสให้อัตราการเย็นตัว (Rate of Cooling) แต่ถ้าอัตราการเย็นตัวเร็วจะไม่ปรากฏ Phase ต่าง ๆ ที่อธินายแต่กลับจะได้โครงสร้างของเหล็กต่างออกไป

ในการคำนวณหาปริมาณของ Phase ที่เกิด ณ อุณหภูมิต่าง ๆ อาศัยกฎของ Lever-Arm ดังเช่น เหล็ก 0.40 % C ที่ 750°C จะมีปริมาณของเหล็ก α = 34 % และ γ = 66 %

สำหรับเหล็ก 0.8 % C ตาม Diagram (ภาพที่ 2.6) ที่อุณหภูมิบรรยายจะมีโครงสร้างที่เป็น Pearlite ทั้งหมด 100 % และเหล็กที่มีการ์บอนมากกว่า 0.8 % ที่อุณหภูมิบรรยายจะมีโครงสร้างประกอบด้วย Cementite กับ Pearlite ซึ่งจะมี Cementite ถึงสามประเภทคือ

Pro-eutectoid, Eutectoid และ Tertiary เหล็ก 1 % C ที่อุณหภูมิ 500°C จะประกอบมีเหล็ก α 0.02 % กับ Cementite (Fe_3C) 6.67 % C ดังแสดงในภาพที่ 2.8

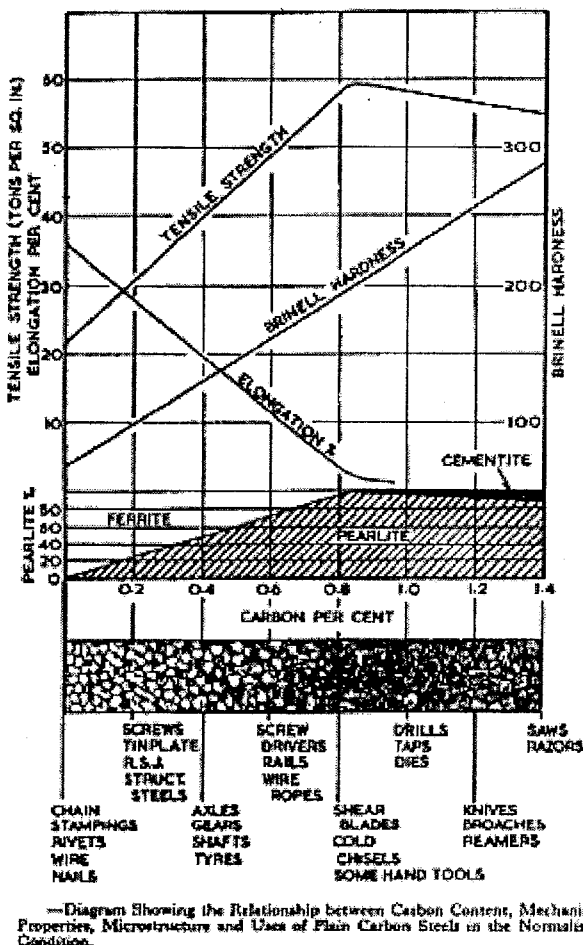


ภาพที่ 2.8 ลักษณะโครงสร้างของเหล็กที่มีปริมาณคาร์บอนต่างกัน [18]

2.2.5 คุณสมบัติของเหล็กคาร์บอน

จากที่ทราบว่า ชาตุคาร์บอนเป็นชาตุที่อยู่ได้ในเหล็กกล้าสองลักษณะคือ ในสภาพสารละลายของแข็ง (Solid Solution) และชาตุคาร์บอนอิกส่วนหนึ่งที่เกินปริมาณที่จะละลายได้ จะรวมกับเหล็กเป็นสารประกอบอินเตอร์เมทัลลิก (Intermetallic Compound) หรือ Cementite ซึ่งจะมีบทบาทที่สำคัญในการทำให้เหล็กกล้าคาร์บอนมีความแข็งแรง และความแข็งเพิ่มมากขึ้น ตามปริมาณของ Cementite นอกจากคาร์บอนจะเป็นชาตุที่มีบทบาทเปลี่ยนแปลงคุณสมบัติเชิงกลของเหล็กกล้าคาร์บอนแล้ว การอบชุบเหล็กกล้ามีส่วนสำคัญอิกประการหนึ่งที่เปลี่ยนโครงสร้างของเหล็ก ซึ่งผลการอบชุบมีบทบาทที่เปลี่ยนแปลงคุณสมบัติของเหล็กได้กว้างขวางมาก อาจจะทำให้เหล็กมีความแข็ง หรือความเหนียวขึ้นอยู่กับการอบชุบ และลักษณะของโครงสร้างสุดท้ายที่ได้รับ ดังนั้นในการกำหนดคุณสมบัติเชิงกลของเหล็กกล้าคาร์บอนจะต้องกำหนดชาตุคาร์บอน และลักษณะการอบชุบความร้อนประกอบด้วย เพราะถ้ากำหนดอย่างหนึ่งจะเป็นภารายที่จะทราบคุณสมบัติเชิงกลได้แน่นอน ในทางวิชาการยังต้องกำหนดลักษณะโครงสร้าง และรายละเอียดของขนาดเกรนอิกด้วยเพื่อความแน่นอน สำหรับทางด้านปฏิบัตินิยมกำหนดส่วนผสม และการอบชุบ

ในที่นี่จะนำลักษณะของเหล็กที่ผ่านการทำอร์มอลไลซ์ (Normalizing) ที่ปริมาณคาร์บอนต่าง ๆ เพื่อให้เห็นลักษณะโครงสร้างของเหล็กกล้าcarbон ไฮป์ยูเตกตอยด์ (Hypo-Eutectoid) (0.4 % C) และเหล็กกล้าcarbон ไฮเปอร์ยูเตกตอยด์ (Hyper-Eutectoid) (1.2 % C) และผลกระทบจากการทดสอบคุณสมบัติเชิงกล (การทดสอบแรงดึงและความแข็ง) ดังแสดงในภาพที่ 2.9



ภาพที่ 2.9 คุณสมบัติของเหล็กกล้าcarbон ในสภาพ Normalizing [18]

จากภาพจะเห็นว่าค่าความเด่นแรงดึง (Tensile Strength) จะมีค่าเพิ่มขึ้นเมื่อมีปริมาณคาร์บอนสูงขึ้น จนถึงประมาณ 0.8 % C โครงสร้างจะเป็น Pearlite และเมื่อการนรอนเพิ่มขึ้น จะปรากฏค่าความเด่นแรงดึงจะกลับลดลง ซึ่งจะเห็นได้ว่าเมื่อเหล็กมีการนรอนสูงเกินกว่า 0.8 % จะปรากฏ Cementite ประเภท Secondary เกิดตามขอบเกรน และมีลักษณะต่อเนื่อง ทำให้เหล็กกล้าcarbон ไม่สามารถดูรับแรงดึงได้สูงขึ้นที่เป็นชั้นนี้ เพราะ Cementite ที่แข็งและเปราะไปห่อหุ้มเนื้อเหล็กที่เป็น Pearlite ทำให้ Pearlite ไม่มีโอกาสสรับแรงได้เต็มที่ Cementite จะแตกหรือขาดเสียก่อน ทำให้ค่าความเด่นแรงดึงของเหล็กกล้าcarbонลดลง

สำหรับความแข็งปูรากฎว่าขึ้นเมื่อการบอนมาก ปริมาณ Cementite จะมากตาม ทำให้เหล็กกล้าคาร์บอนมีความแข็งเพิ่มขึ้นตามปริมาณของคาร์บอน ส่วนความหนืดของเหล็กกล้าจะลดลงเมื่อมีการบอนเพิ่มขึ้น และจะเข้าใกล้ค่าอัตราการยืดตัว (% Elongation) เป็นสูญเมื่อเหล็กมีปริมาณการบอนมากกว่า 0.8 %

การที่จะเปลี่ยนแปลงคุณสมบัติเชิงกลของเหล็กกล้าคาร์บอน เช่น ทำให้เหล็กที่มีการบอนมากกว่า 0.8 % มีค่าความเค้นแรงดึง และอัตราการยืดตัวให้สูงขึ้น สามารถทำได้โดยการอบชุบ Spheroidizing

2.3 ความรู้เบื้องต้นเกี่ยวกับลักษณะและคุณสมบัติของโครงสร้างจุลภาคชนิดต่าง ๆ

2.3.1 วิธีการวิเคราะห์โครงสร้างจุลภาค

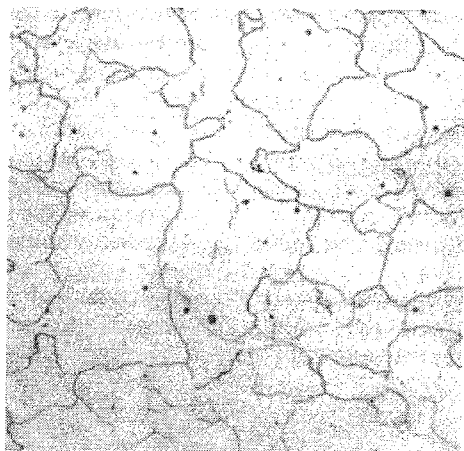
โครงสร้างจุลภาคเป็นโครงสร้างที่ต้องตรวจสอบด้วยกล้องจุลทรรศน์กำลังขยายสูง (ปกติใช้กำลังขยายในช่วง 75 – 1,500 เท่า) การศึกษาโครงสร้างจุลภาคเรียกว่าไมโครกราฟฟ์ (Micrography) การศึกษาทางโลหะวิทยาโดยทั่วไปนั้นมีจุดมุ่งหมายเพื่อตรวจสอบขนาด และรูปร่างของผลึก, ลักษณะ โครงสร้างของโลหะที่ผ่านกรรมวิธีต่างๆ มาแล้ว, ข้อมูลของภายในโครงสร้าง (อโลหะฝังใน, รอยร้าวน้ำดีก ฯลฯ) และ โครงสร้างจุลภาคจะแสดงถึงคุณภาพของการอบชุบ และคุณสมบัติเชิงกล ฯลฯ การตรวจสอบโครงสร้างของจุลภาคทำได้โดย ตัดชิ้นงานขนาดพอกemo 10 x 10 x 10 mm.³ หรือ กว้าง 10-15 mm. สูง 15 mm. ถ้างานบางหรือขนาดเล็กมากต้องอัดพลาสติก หรือสารสังเคราะห์อื่นเพื่อให้มีขนาดพอเหมาะสมจับถือได้ง่าย หลังจากนั้นนำงานไปขัดด้วยกระดาษทรายหยาบ กระดาษทรายละเอียดและขัดมัน แล้วจึงนำไปกัดด้วยน้ำยาเพื่อแสดงลักษณะโครงสร้างจุลภาค (ถ้าขัดด้วยอีเล็กโตร ໄไลท์จะได้ผลดีกว่าขัดด้วยมือ) หลังจากขัดมัน (ก่อนกัดน้ำยา) จะพับสารมลทินหรือวัสดุฝังในต่าง ๆ เช่น กาแฟ (ในเหล็กหล่อ) การกัดน้ำยาเพื่อให้โครงสร้างจุลภาคปรากฏขึ้นมาเรียกว่า Etching ซึ่งมีหลายชนิด แต่ละชนิดใช้กับโลหะต่างชนิดกัน เช่น เหล็กหล่อ และเหล็กกล้าニยมขัดด้วยน้ำยา Nital 2-5 % ($HNO_3 + Alcohol$) อลูมิเนียมผสมกัดด้วยสารละลายน้ำ + กรดไฮド록ฟอริก 0.5 % และสารละลายน้ำมันเนย (8 %) + $CuCl_2$ ถ้าโลหะบริสุทธิ์ หรือโลหะผสมประกอบด้วยเกรนเนื้อสม้ำเสມอ จะเห็นขอบเกรนเป็นเส้นสีดำบางลักษณะคล้ายตาข่าย ถ้ากัดด้วยน้ำยาที่เข้มข้นหรือใช้เวลานานกว่าปกติเรียกว่า Deep Etching จะได้โครงสร้างจุลภาคที่ถูกกัดไม่เท่ากันจึงสามารถจำแนกเป็นต่าง ๆ ได้ชัดเจน โครงสร้างจุลภาคของเหล็กกล้า Eutectoid (0.8 % C) ซึ่งมี Cementite เป็นแผ่นและเม็ดกลม ขณะกัดน้ำยาน้ำยาจะกัด Ferrite มากกว่ากัด Cementite (Fe_3C) เมื่อตรวจสอบด้วยกล้องจุลทรรศน์บริเวณที่มีน้ำยากัดออกไป จะทำให้แสงที่ตกกระทบสะท้อนกลับไม่เป็นระเบียง และมีทิศทางแตกต่างจากเดิม จึงเห็นเป็นสีดำบริเวณที่น้ำยาไม่

กัดหรือกัดสม่ำเสมอตลอด (เนื้อสม่ำเสมอ) และที่ต่อกันระหว่าง Ferrite (กัดลึก) และ Cementite (ไม่กัดหรือกัดตื้น) จึงเห็นเป็นสีดำ (ขอบสีดำนั้นที่จริงเป็น Ferrite แต่แสงตกกระทบของ Cementite ซึ่งสูงกว่าจึงเกิดเงาบัง Ferrite ที่ใกล้กับขอบไว้และเห็นเป็นสีดำ)

2.3.2 โครงสร้างจุลภาคของเหล็กคาร์บอน

เหล็กกล้าคาร์บอนมีโครงสร้างประกอบด้วย Ferrite, Pearlite, Cementite, Austenite (ตกค้าง) Steadite (Steadite) เมื่อนำไปอบจนถึงอุณหภูมิวิกฤติโครงสร้างดังกล่าว จะกลายเป็น Austenite เมื่อยืนตัวลง Austenite จะเปลี่ยนเป็นโครงสร้างอื่น เช่น Martensite, เป็น Bainite (Bainite) หรือ Pearlite ทั้งนี้ขึ้นอยู่กับอัตราการเย็นตัว

2.3.2.1.เฟอร์ไรท์ (Ferrite) เป็นสารละลายของเหล็กที่ร่วงเหล็กคาร์บอนโครงผลึกที่คำแนะนำ ($0,0\%$) Ferrite ละลายคาร์บอนได้สูงที่สุด 0.025% ที่อุณหภูมิวิกฤติ (723°C) ที่อุณหภูมิห้องละลายได้ประมาณ 0.008% และที่ศูนย์ (0) องศาละลายได้ประมาณ 0.0025% ประมาณ Ferrite ขึ้นอยู่กับปริมาณคาร์บอนล้ำของเหล็กนั้น เมื่อ Ferrite มาก ลักษณะของเหล็กจะคงอยู่ แต่เมื่อ Ferrite เป็นเม็ดเกรนสีขาว (สว่าง) และขอบเกรนเป็นสีดำ ดังแสดงในภาพที่ 2.10



เฟอร์ไรท์ (Ferrite)

คุณสมบัติ

เหนียว, มีคตัวดี

ความแข็ง 70 – 150 BHN

Elongation 40 %

ความหนาแน่น 7.86 g/cm^3

ความแข็งแรงดึง 40,000 – 50,000

ภาพที่ 2.10 โครงสร้างจุลภาคของเฟอร์ไรท์และตารางคุณสมบัติ

2.3.2.2 เพิลไทด์ (Pearlite) เป็นโครงสร้างผสมระหว่าง Ferrite และ Cementite เกิดจากปฏิกิริยา Eutectoid ประกอบด้วย Ferrite เรียงสลับกับ Cementite มีทั้งชนิดแผ่น (Lamellar Pearlite) และชนิดกลม (Globular Pearlite) Pearlite เกิดขึ้นทึ้งในเหล็ก และโลหะนอกกลุ่มเหล็กบางชนิด เช่น Cu – 11.8 Al, Cu – 5.2 Si, Cu – 27 Sn, Zn – 47 Mg ฯลฯ เมื่อตรวจสอบด้วยกล้องจุลทรรศน์กำลังขยายต่ำจะเห็น Pearlite เป็นเกรนสีดำ เมื่อใช้กำลังขยายสูงขึ้นจะเห็น Pearlite

ประกอบด้วยเส้นสีดำลับบนพื้นสีขาว Pearlite ถ่ายมีความแข็งประมาณ 170 BHN Pearlite จะอีกด้วยความแข็งประมาณ 375 BHN ดังแสดงในภาพที่ 2.11



เพิลไลท์ (Pearlite)
คุณสมบัติ
หน้างานปานกลาง
ความแข็ง 175 - 370 BHN
Elongation 15 %
ความหนาแน่น 7.78 g / cm^3
ความแข็งแรงดึง $135,000\text{--}150,000 \text{ psi}$

ภาพที่ 2.11 โครงสร้างจุลภาคของ Pearlite และตารางคุณสมบัติ

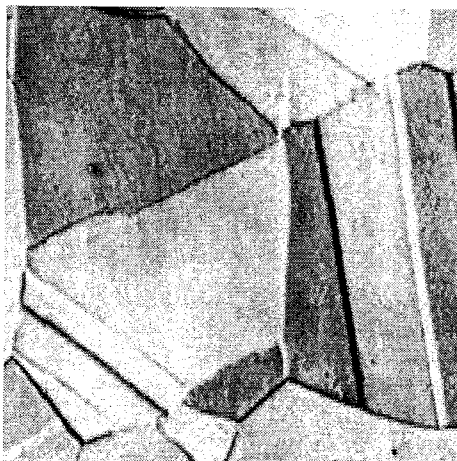
2.3.2.3 ซีเมนไทท์ (Cementite) เป็นสารประกอบระหว่างเหล็กและคาร์บอน โดยมีปริมาณคาร์บอน 6.67 % บางที่เรียกว่าคาร์ไบด์หรือเหล็กคาร์ไบด์ ที่ถูกต้องควรเรียกว่า Cementite เพราะถ้าเรียกคาร์ไบด์ อาจเข้าใจไปผิดเป็นคาร์ไบด์ระหว่างโลหะอื่นกับคาร์บอนเพราสาร์ไบด์ มีหลายชนิด เช่น เหล็กคาร์ไบด์, ชิลิกอนคาร์ไบด์, โครงเมียมคาร์คาร์ไบด์ เป็นต้น หรือถ้าเรียกเหล็กคาร์ไบด์ก็ยังไม่ถูกต้องนัก เพราะเหล็กคาร์ไบด์อาจหมายถึงอฟซีลอนคาร์ไบด์ได้ Cementite มีทั้งชนิดแผ่น, กลมและตาข่าย ถ้าเกิดร่วมกันกับ Ferrite จะกลายเป็น Pearlite ถ้าเกิดร่วมกับ Pearlite จะกลายเป็น เลเดบูริต (Ledeburite) เช่นเดียวกับ Cementite มีความแข็งแรงดึงประมาณ $350,000 \text{ psi}$ ดังแสดงในภาพที่ 2.12



ซีเมนไทท์ (Cementite)
คุณสมบัติ
แข็งมาก, เปราะ
ความแข็ง 800 – 1,100 BHN
ความหนาแน่น 7.66 g / cm^3
ความแข็งแรงดึง $350,000 \text{ psi}$

ภาพที่ 2.12 โครงสร้างจุลภาคของ Cementite และตารางคุณสมบัติ

2.3.2.4 ออสเทนไนท์ (Austenite) เป็นสารละลายนองแข็งระหว่างเหล็ก – คาร์บอน มีโครงสร้างผลึกเป็น Fcc หนึ่งหน่วยเซลล์ประกอบด้วยอะตอม 4 ตัว ละลายคาร์บอนได้สูงสุด 2 % ที่ $1,130^{\circ}\text{C}$ และที่อุณหภูมิต่ำ Austenite จะไม่เสถียรอกจากในเหล็กกล้าฟสนบางชนิด ดังแสดงในภาพที่ 2.13



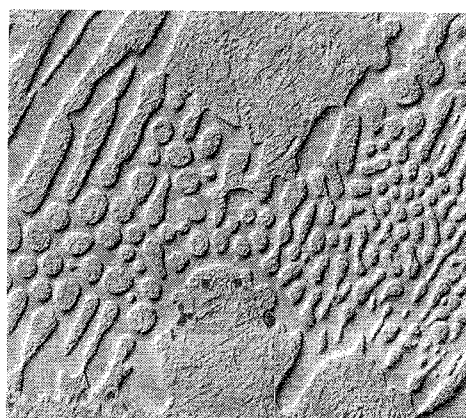
ออสเทนไนท์ (Austenite)

คุณสมบัติ

อ่อน แม่เหล็กคูดไม่ติด ปกติเสถียรที่อุณหภูมิสูงกว่าอุณหภูมิวิกฤติแตกในเหล็กบางชนิดจะมี Austenite เกิดขึ้นที่อุณหภูมิห้อง ความหนาแน่น 7.84 g/cm^3 ($0.9\% \text{ C}$)

ภาพที่ 2.13 โครงสร้างจุลภาคของ Austenite และตารางคุณสมบัติ

2.3.2.5 เลเดบูริต (Ledeburite) คำว่า Ledeburite ในความหมายทั่วไปหมายถึง Ledeburite เป็นรูปหัวใจหรือ Transformed Ledeburite ($\text{P} + \text{Fe}_3\text{C}$) ซึ่งเปลี่ยนแปลงจากโครงสร้าง Ledeburite ที่อุณหภูมิตามปฏิกิริยา Eutectoid ดังแสดงในภาพที่ 2.14



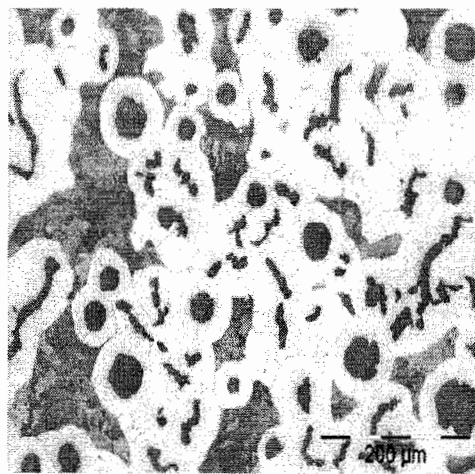
เลเดบูริต (Ledeburite)

คุณสมบัติ

แข็ง, เปราะ

ภาพที่ 2.14 โครงสร้างจุลภาคของ Ledeburite และตารางคุณสมบัติ

2.3.2.6 คาร์บอนอิสระหรือกราไฟท์ คาร์บอนโดยทั่วไปสมอยู่ในเหล็กสองลักษณะ คือ รวมตัวกันเหล็กเป็น คาร์ไบด์ และแยกตัวเป็นอิสระฝังในเนื้อเหล็กเรียกว่า กราไฟท์ ซึ่งมีทั้งชนิดเกล็ด, กลุ่ม และกลม ดังแสดงในภาพที่ 2.15

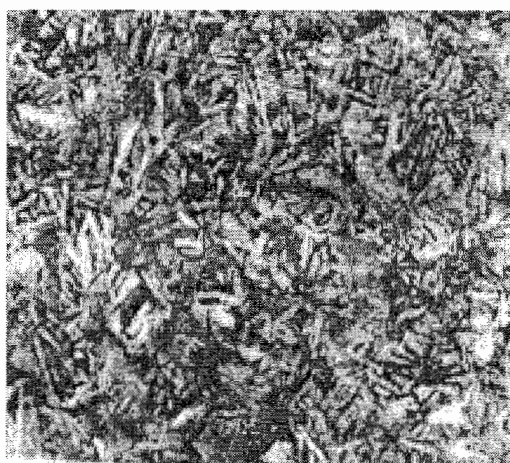


การบ่อนอิสระหรือกราไฟท์

คุณสมบัติ
อ่อน, เปราะเป็นรูพรุน
ความหนาแน่น 2.25 g/cm^3

ภาพที่ 2.15 โครงสร้างจุลภาคของคาร์บอนอิสระหรือ กราไฟท์ และตารางคุณสมบัติ

2.3.2.7 เบนไนท์ (Bainite) เป็นโครงสร้างที่เกิดจากการชุบมี 2 ชนิด คือ Bainite บน (Upper Bainite) และ Bainite ล่าง (Lower Bainite) เดิมที่เรียก Bainite บนว่าซอร์ไบท์ (Sorbite) และ Bainite ล่างว่า ทรูส์ไทท์ (Troostite) มีลักษณะคล้าย Martensite มากต่างกันที่ เมื่อกัดน้ำยาแล้ว ตรวจสอบด้วยกล้องจุลทรรศน์จะเห็นเป็นสีดำ (Martensite เห็นเป็นสีน้ำตาลแก่) Bainite มีลักษณะคล้ายขันนก (Martensite ลักษณะคล้ายแต่งเข้ม) Bainite เกิดจากการเปลี่ยนแปลงของ Austenite ที่ อุณหภูมิสูงกว่า M_s (Martensite Start) แต่ต่ำกว่าการเกิดอุณหภูมิการเกิด Pearlite แต่ทั้งนี้ขึ้นอยู่กับ ส่วนผสม และปริมาณคาร์บอนในเหล็กและที่สำคัญที่สุดคือ ความสำคัญของเวลา – อุณหภูมิระหว่างการเย็บตัวของ Austenite. Bainite เกิดขึ้นทึ้งในเหล็ก และโลหะออกกลุ่มเหล็ก ดังแสดงในภาพที่ 2.16



เบนไนท์ (Bainite)

คุณสมบัติ
เบนไนท์บนความแข็ง 400 BHN
เบนไนท์ล่างความแข็ง 575 BHN

ภาพที่ 2.16 โครงสร้างจุลภาคของ Bainite และตารางคุณสมบัติ

2.3.2.8 นาร์เทนไชท์ (Martensite) เป็นโครงสร้างที่เกิดจากการเย็นตัวอย่างรวดเร็วของ Austenite (ชูบ) ปกติจะมีลักษณะเป็นแท่งยาวคล้ายเข็มวางอยู่ไม่เป็นระเบียบทั่วเนื้อโลหะ Martensite ที่เกิดจากการชุบเรียกว่า นาร์เทนไชท์ขาว (White Martensite) เมื่อนำไปอบคืนไฟ (Temper) Martensite จะเปลี่ยนเป็นสีน้ำตาลแก่ เรียกว่า เทมเปอร์นาร์เทนไชท์ (temper Martensite) Martensite เกิดขึ้นโดยไม่เกิดการแพร่ (ของการรับอน) ดังนั้นการเกิด Martensite จึงขึ้นอยู่กับการเย็นตัวไม่ได้ขึ้นอยู่กับเวลาดังเช่น Pearlite หรือ Bainite อุณหภูมิเริ่มเกิด Martensite เรียกว่า M_s (Martensite Start) อุณหภูมิที่เกิด Martensite สมบูรณ์ เรียกว่า M_f (Martensite Finish) อุณหภูมิ M_s และ M_f จะสูงหรือต่ำแค่ไหนนั้นขึ้นอยู่กับส่วนผสมทางเคมี หลักบางชนิดมี M_s และ M_f ต่ำกว่า อุณหภูมิห้อง ดังแสดงในภาพที่ 2.17



นาร์เทนไชท์ (Martensite)
คุณสมบัติ
แรง
ความแข็ง 650 BHN

ภาพที่ 2.17 โครงสร้างชุลภาครของ Martensite และตารางคุณสมบัติ

2.3.3 การทดสอบคุณสมบัติทางกล (Mechanical Testing)

คุณสมบัติทางกลของวัสดุ (Mechanical Properties) หมายถึงความสามารถในการรับแรง หรือภาระ (Load) ในลักษณะต่าง ๆ โดยสมบัติทางกลของวัสดุที่สำคัญได้แก่ ความแข็ง (Hardness) และความแข็งแรง (Strength)

ความแข็ง (Hardness) คือ ความต้านทานต่อการพิดูปอย่างถาวรสิ่งของวัสดุ วิธีการที่วัดความแข็งได้อย่างแม่นยำ ทำได้โดยอาศัยเครื่องวัดความแข็ง (Hardness Tester) โดยเครื่องวัดความแข็งจะมีตัวกด (Indenter) สำหรับกดลงบนพื้นผิววัสดุด้วยแรงขนาดต่าง ๆ กัน ซึ่งจะทำให้เกิดรอยนูนขนาดต่างๆ กันด้วย จากนั้นจะทำการวัดรอยนูนนั้นเพื่อนำมาคำนวณหาค่าความแข็งในแต่ละวิธีการวัดความแข็ง ซึ่งจะมีวิธีการคำนวณหาค่าแตกต่างกันออกไป

2.3.4 การวัดความแข็ง (Hardness Testing)

ความแข็งเป็นความด้านทานต่อการพิครูปอย่างถาวรของวัสดุ วัสดุที่มีความแข็งสูงก็มักจะมีความแข็งแรงสูงตามไปด้วย ดังนั้นการวัดความแข็งเป็นวิธีที่สะดวก และประยุกต์ในการที่จะทราบค่าความแข็งแรงของวัสดุนั้น ๆ เทคนิคของการวัดค่าความแข็งแบ่งได้ 4 แบบ ได้แก่

2.3.4.1 การวัดความแข็งแบบบรินเนล (Brinell Hardness Test)

2.3.4.2 การวัดความแข็งแบบเบร็อกเวลล์ (Rockwell and Superficial Rockwell)

2.3.4.3 การวัดความแข็งแบบวิกเกอร์ส (Vickers Microhardness Test)

2.3.4.4 การวัดความแข็งแบบนูฟ์ (Knoop Microhardness Test)

โดยแต่ละวิธีมีหลักการที่เหมือนกันคือ เครื่องวัดความแข็งจะมีหัวกด (Indenter) ที่มีรูปร่างทรงกลมหรือ ปริามิดสำหรับคล่องบันพื้นผิววัสดุด้วยแรงขนาดต่าง ๆ กัน ซึ่งจะทำให้เกิดรอยกดขนาดต่าง ๆ กันด้วย จากนั้นจะทำการวัดขนาดรอยกดเพื่อคำนวณความแข็ง

1) การวัดความแข็งแบบบรินเนล (Brinell Hardness Test) ใช้สัญลักษณ์ HBN หรือ HB หัวกดที่ใช้จะเป็นเหล็กกล้าชุบแข็งทรงกลมขนาดเส้นผ่าศูนย์กลาง 10 mm. และมีความแข็ง 850 - 1500 HV จะสามารถวัดความแข็งของโลหะที่มีความแข็งไม่เกิน 300-650 HB และที่ใช้สามารถเลือกได้จาก 500, 1500 และ 3000 kgf ความแข็งตามบรินเนลสามารถหาได้จาก

$$HB = \frac{\text{แรงทดสอบ}}{\text{พื้นที่ของรอยกด}} \quad (2.4)$$

ผิวงานที่จะทดสอบต้องเรียบปราศจากวัสดุหล่อลื่น ออกไซด์ และHEMA กับวัสดุที่อ่อนเหนียว ความหนาของชิ้นงานต้องมีขนาดอย่างน้อย 8 เท่า ของความหนาของรอยกด เวลาที่ใช้ในการทดสอบอยู่ระหว่าง 15-25 Sec. หลังจากนั้นจึงวัดขนาดของรอยกด และเทียบค่าความแข็งได้จากการทางเทียบความแข็ง

2) การวัดความแข็งแบบเบร็อกเวลล์ (Rockwell Hardness Test) ในการปฏิบัติการทางวัสดุศาสตร์นี้เราจะใช้การวัดความแข็งแบบ Rockwell หัวกดที่ใช้มีอยู่ 2 แบบ คือ

(1) Diamond Cone 120° (เพชรทรงกรวย) ใช้กับโลหะแข็ง

(2) Steel Ball (เหล็กกล้าทรงกลม) ขนาดเส้นผ่าศูนย์กลาง $1/16, 1/8, 1/4$ หรือ $1/2$ นิ้ว ใช้กับโลหะทั่วไป

ต้องเลือกหัวกด และ Load ให้เหมาะสมกับชนิดของวัสดุ ระวังอย่าให้ชิ้นงานกระแทกกับหัวกด ในขณะที่นำชิ้นงานวางหรือเอาออกจากฐานรอง และชิ้นงานที่จะนำมาวัดความแข็ง ต้องผ่านการขัดผิวหน้าด้วยผงขัดมันอย่างน้อย $6 \mu\text{m}$ และค้านฐานต้องเรียบเสียก่อน

มิฉะนั้นชุดเครื่องมือ และหัวกดจะได้รับความเสียหายได้ ชุดวัดความแข็งไม่ควรอยู่ใกล้กันมากเกินไป

3) การวัดความแข็งแบบวิกเกอร์ (Vickers Hardness Test) จะใช้หัวกดเป็นเพชรรูปพีระมิด (Square-Based Diamond Pyramid) ที่มีมุม 136° ระหว่างด้านของหน้าเพชร (ภาพที่ 2.18) แรงที่ใช้กดทั่วๆ ไปจะนิยมเลือกใช้ระหว่าง 2-1000 N. ทั้งนี้ก็ขึ้นอยู่กับวัสดุที่จะนำมาทดสอบค่าความแข็ง จะหาได้จากอัตราส่วนของแรงที่ใช้ในการกดต่อพื้นที่ของขนาดรอยกดมีหน่วยเป็น mm^2 โดยหาได้จากเส้นที่แยกมุมของรอยกดแล้วแทนค่าสูตร ดังต่อไปนี้

$$HV = \frac{1.854 F}{d^2} \quad \text{มีหน่วยเป็น N/mm}^2 \quad (2.5)$$

โดย F = แรงกด (N)

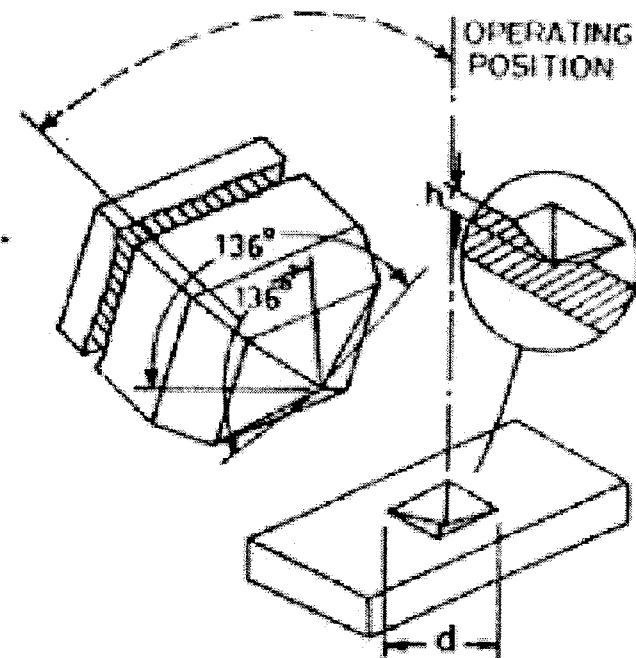
d = ความยาวของเส้นที่แยกมุมของรอยกด (mm.)

ผิวชิ้นทดสอบจะต้องเรียบปราศจากออกไซต์ และวัสดุชนิดอื่นๆ เช่นสารหล่อลื่นทุกชนิดความหนาของชิ้นทดสอบ จะต้องเพียงพอที่ไม่ให้เกิดรอยไฟต์ผิวชิ้นทดสอบ กำหนดให้ความหนาต่ำสุด เท่ากับ 1.5 เท่า ของขนาดเส้นที่แยกมุมรอยกด d ตามเกณฑ์จะทดสอบที่อุณหภูมิระหว่าง 10°C หรือ 35°C ระยะห่างระหว่างรอยกด ให้ถือเกณฑ์ดังนี้

(1) เหล็กกล้า ทองแดง และทองเหลือง อย่างน้อยที่สุด 3 เท่า ของความยาวเฉลี่ยเส้นที่แยกมุมรอยกด

(2) โลหะเบา เช่น ดีบุก ตะกั่ว อย่างน้อยที่สุด 6 เท่า ของความยาวเฉลี่ยเส้นที่แยกมุมรอยกด

2.3.4.4 Micro-Vickers Hardness Testing (Multitoyo Model: MVK-H3) เป็นการวัดความแข็งในระดับจุลภาค รอยกด และการวัดค่าความแข็งจะมองผ่านกล้องจุลทรรศน์ มีบริเวณที่จะวัดความแข็งน้อย เช่น เกรนของเหล็กเป็นต้น และจะต้องมีการเตรียมผิวหน้าของชิ้นงานให้เรียบ หน่วยที่ใช้วัด คือ Vickers (HV) หรือ Diamond Pyramid Hardness เนื่องจากหัวกดเป็นเพชรรูปพีระมิด ทำมุม 136° ใช้ Load ตั้งแต่ 2-1000 N โดยใช้เวลาในการกด 10-15 วินาที และรอยกดจะมีรูปร่างเป็นสี่เหลี่ยมจตุรัส ดังภาพที่ 2.18



ภาพที่ 2.18 รูปหัวเพชร และรอยกด

สมการที่ใช้ในการคำนวณค่าความแข็ง

$$HV = \frac{\text{แรงกดทดสอบ (F)}}{\frac{\text{พื้นที่รอยกดบนผิวทดสอบ (S)}}{2}} \quad (2.6)$$

$$\text{พื้นที่ผิวรอยกดครูบปิระมิด } S = \frac{d^2 \sin(\alpha/2)}{2}$$

เมื่อ 0.102 คือ ค่าคงที่ ที่คุณเข้าเพื่อการเปลี่ยนหน่วยจาก kg/mm^2 เป็น N/mm^2

ดังนั้น

$$HV = \frac{0.102 \times 2 F \sin(136^\circ / 2)}{d^2} \quad (2.7)$$

$$= \frac{0.1891 F}{d^2} \quad \text{N/mm}^2$$

เมื่อ F = แรงด (N)

d = ค่าเฉลี่ยของเส้นทะแยงมุมของรอยกด (mm) = $(d_1 + d_2) / 2$

เนื่องจากการอยกบนพิวชินทดสอบมีขนาดเล็กมาก จึงต้องให้พิวชินทดสอบพิวเรียน ปราศจากออกไซด์ หรือผ่านการกัดกรดมาก่อน เพื่อที่จะได้เห็นโครงสร้างชุลภาค และสามารถเลือกบนโครงสร้างที่ต้องการได้ ความหนาของชิ้นงานทดสอบจะต้องเพียงพอที่ไม่ให้เกิดรอยได้พิวชินทดสอบ กำหนดให้ความหนาต่ำสุด เท่ากับ 1.5 เท่า ของขนาดเส้นทะแยงมุม รอยกด (d) อุณหภูมิที่ทดสอบอยู่ระหว่าง $10^\circ - 35^\circ \text{C}$ ระยะห่างระหว่างรอยกดให้ถือตามเกณฑ์ ดังนี้

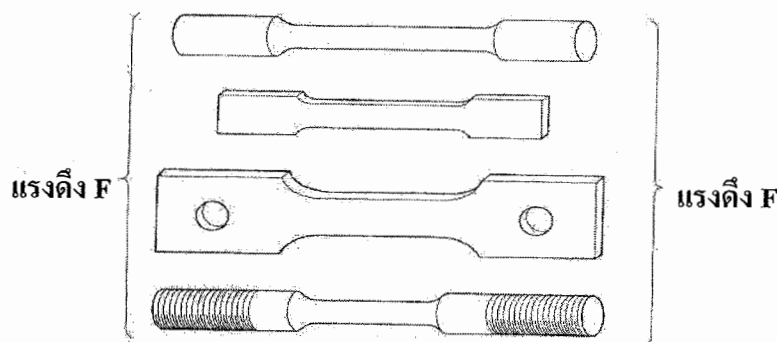
1) เหล็กกล้า ทองเหลือง และทองแดง ห่างอย่างน้อยที่สุด 3 เท่า ของค่าความยาวเฉลี่ยเส้นทะแยงมุมรอยกด

2) โลหะเบา เช่น ดีบุก ตะกั่ว ห่างอย่างน้อยที่สุด 6 เท่าของค่าความยาวเฉลี่ยเส้นทะแยงมุมรอยกด

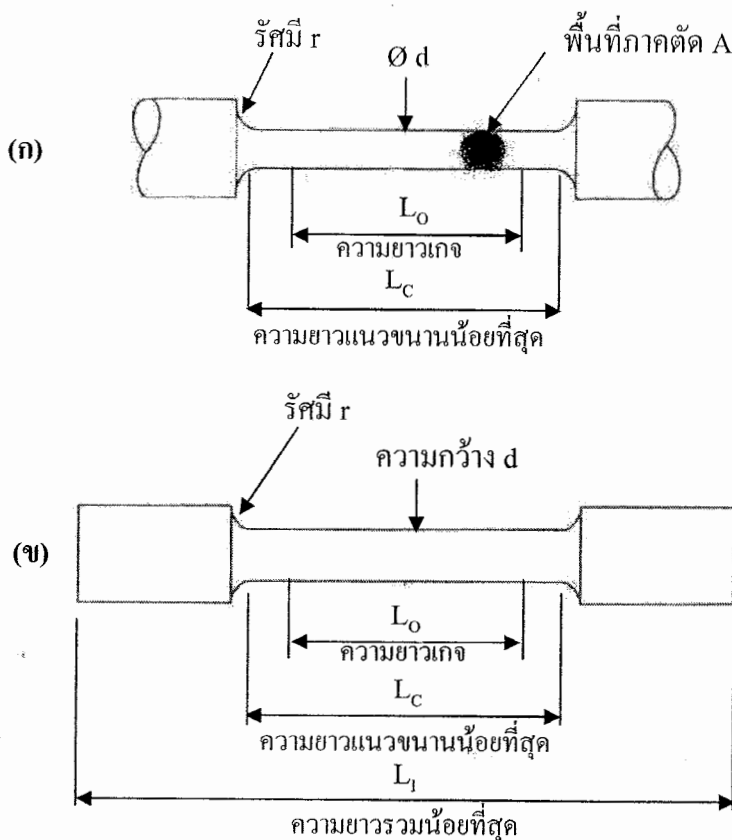
การติดตั้งกล้องจะต้องมั่นคง ไม่สั่นสะเทือน เพราะจะส่งผลให้ค่าอยกดที่ได้คาดคะเนล่อน การให้แรงดจะต้องสม่ำเสมอให้เวลาทดสอบแซนผิวงานเท่ากัน เมื่อต้องการเปรียบเทียบค่าขยาย และมีแสงสว่างให้เพียงพอในการวัดขนาดเส้นทะแยงมุมรอยกด

2.3.5 การทดสอบแรงดึง (Tensile Test)

การทดสอบแรงดึงเป็นการวัดความต้านทานของวัสดุ โดยการให้แรงดึงที่เพิ่มขึ้นอย่างสม่ำเสมอ (Static Load) จนกระทั่งวัสดุขาดจากกัน ชิ้นงานทดสอบมีหลายลักษณะ ดังแสดงในภาพที่ 2.19 ทั้งนี้ขึ้นอยู่กับลักษณะของเครื่องทดสอบ หัวจับชิ้นงานทดสอบ และขนาดของแรงที่ใช้ดึง แต่โดยทั่วไปแล้วชิ้นทดสอบมักจะมีพื้นที่หน้าตัดเป็นรูปวงกลม



ภาพที่ 2.19 ลักษณะต่าง ๆ ของชิ้นทดสอบแรงดึง [19]



ภาพที่ 2.20 สัดส่วนของชิ้นงานทดสอบแรงดึง (ก) กรณีชิ้นงานพื้นที่หน้าตัดกลม (ข) กรณีชิ้นงานพื้นที่หน้าตัดแบน [19]

ชิ้นงานที่ใช้ทดสอบจะมีการกำหนดขนาดต่าง ๆ ไว้เป็นมาตรฐาน ไม่ว่าจะเป็นขนาดเส้นผ่าศูนย์กลาง ความยาวของชิ้นงานทดสอบ และรัศมีความโค้งของบริเวณบ่าล้อค เพื่อจับดึง ขนาดของชิ้นทดสอบแสดงในภาพที่ 2.20 โดยชิ้นทดสอบที่มีพื้นที่หน้าตัดกลม จะมีส่วนของความยาวเกจ (Gage Length; L_o) ต่อพื้นที่หน้าตัด (A) เป็นค่าความสัมพันธ์ที่คงที่เรียกว่าสัดส่วนนี้ ว่า สัดส่วนของชิ้นทดสอบ โดยมีความสัมพันธ์กัน ดังสมการที่ 2.8

$$L_o = 5.658 \sqrt{A} \quad (2.8)$$

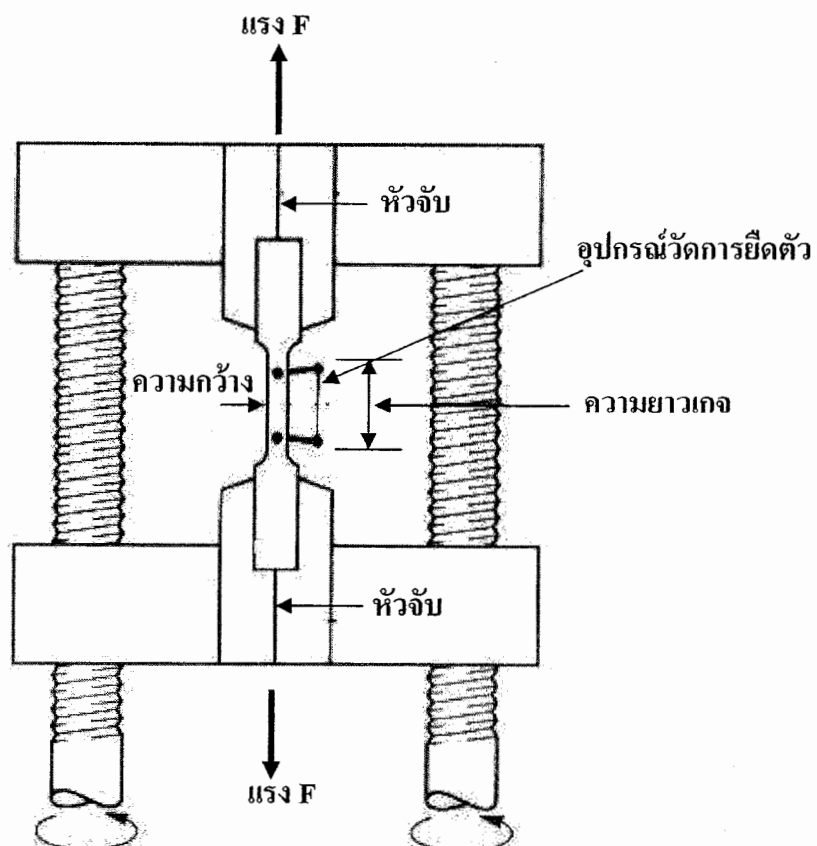
$$\text{พื้นที่ } A = \left(\frac{\pi}{4} d^2 \right)$$

$$\sqrt{A} = 0.886 d$$

$$\text{ดังนั้น } L_0 = 5.658 \times 0.886 d = 5.013 d$$

$$= 5 d \text{ (โดยประมาณ)} \quad (2.9)$$

ดังนั้นหากชิ้นทดสอบมีขนาดเส้นผ่าศูนย์กลาง 5 mm. ความยาวเกจจะเท่ากับ 25 mm. ตามลำดับ ในภาพที่ 2.20 ช่วงความยาวเกจ (L_0) คือ ความยาวของชิ้นงานทดสอบที่จะใช้วัดการยึดตัวของชิ้นทดสอบ ส่วนความยาวแนวนานต่ำสุด (L_C) คือ ความยาวต่ำสุดที่ชิ้นทดสอบ ควรจะมีพื้นที่ภาคตัดที่คงที่ตลอดทุกส่วนก่อนที่จะทำการทดสอบค่าของความยาว L_0 , L_C , L_1 และพื้นที่หน้าตัด A จะถูกกำหนดโดยมาตรฐานแต่ละประเทศ สำหรับเครื่องทดสอบจะมีหลายแบบและหลายขนาด แต่จะมีส่วนประกอบหลัก ๆ ดังแสดงในภาพที่ 2.21



ภาพที่ 2.21 อุปกรณ์และการติดตั้งชิ้นทดสอบบนเครื่องทดสอบแรงดึง [19]

2.4 ทบทวนวรรณกรรม

งานวิจัยที่ศึกษาเกี่ยวกับการเชื่อมด้วยความเสียดทานนั้นมีมากมาย ทั้งการเชื่อมวัสดุชนิดเดียวกัน วัสดุต่างชนิดกัน วัสดุต่างขนาดกันและวัสดุขนาดเดียวกัน เป็นต้น โดยงานวิจัยมีวิธีการศึกษาแตกต่างกันไป ซึ่งที่ผ่านมาเกิดข้อข้อบ่งชี้ว่า งานวิจัยที่ศึกษาเกี่ยวกับการเชื่อมด้วยความเสียดทานเพื่อเป็นแนวทางในการศึกษาวิจัย ดังนี้

Sahin and Akata [1] ได้ทำการศึกษาการเชื่อมเหล็กเพลาขาวที่มีเปลือร์เซ็นต์คาร์บอน 0.17 – 0.23 % โดยใช้วัสดุที่มีขนาดพื้นที่หน้าตัดเท่ากันและต่างขนาดกัน จากการศึกษาพบว่า การใช้แรงดันเสียดทาน 30 MPa และเวลาเสียดทาน 5 Sec. มีผลทำให้รอยเชื่อมมีความแข็งแรงมากที่สุด

Sahin (a) [2] ยังได้ทำการศึกษาคุณสมบัติของรอยเชื่อมที่มีผลต่อความแข็งแรงและโครงสร้างจุลภาคของวัสดุ Austenitic-Stainless steels (AISI304) ขนาดเส้นผ่าศูนย์กลาง 10 mm. จากการศึกษาพบว่า การให้แรงดันเสียดทานที่ 60 MPa และเวลาเสียดทานที่ 9 sec. ส่งผลให้รอยเชื่อมมีความแข็งแรงมากที่สุด และค่าความแข็งบริเวณแนวเชื่อมมีค่าลดลง

Ates and et al. [3] ได้ทำการศึกษาในส่วนของแรงดันในการเสียดทานของชิ้นงานที่เชื่อมด้วยความเสียดทาน โดยใช้โลหะชุบเปลอร์อัลลอยด์ ชนิด MA956 ขนาดเส้นผ่าศูนย์กลาง 9 mm. เป็นวัสดุในการศึกษาวิจัย พนวณว่า แรงดันในการเสียดทานที่ 50-100 MPa เป็นตัวแปรที่เหมาะสมในการเสียดทาน

Ozdemir and et al. [4] ได้ทำการศึกษาความเร็วรอบในการหมุนชิ้นงานเชื่อมที่มีผลกระทบต่อโครงสร้างของรอยเชื่อม และความแข็งของชิ้นงาน ด้วยวิธีการเชื่อมวัสดุต่างชนิดกันระหว่างเหล็กเบอร์ AISI 304L และเหล็กเบอร์ AISI 4340 ขนาดเส้นผ่าศูนย์กลาง 12 mm. จากการศึกษาพบว่า การใช้ความเร็วรอบ 1500 rpm มีผลกระทบต่อโครงสร้างน้อยที่สุด และค่าความแข็งบริเวณแนวเชื่อมต่อมีค่ามากขึ้นกว่าเดิม

Sathiya and et al. [5] ได้ทำการศึกษาทดลองเชื่อมวัสดุต่างชนิดกันระหว่างเหล็กและเหล็กชนิด AISI 304L และชนิด AISI 430 ด้วยวิธีการเชื่อมด้วยความเสียดทาน พนวณว่า ชิ้นงานเชื่อมมีค่าความแข็งแรงโดยเฉลี่ยต่ำกว่าชิ้นเดิม โดยได้ความแข็งแรงประมาณ 95.52 % ของความแข็งแรง

Hascalik and Orhan [6] ได้ศึกษาในกรณีของอัลลอยด์ที่มีทดสอบ Al_2O_3 ในอัตราส่วนที่แตกต่างกันและผสมกับอลูминิเนียมอัลลอยด์เบอร์ 6160 จากนั้นนำมาเชื่อมกับเหล็ก AISI 1020 ด้วยวิธีการเชื่อมด้วยความเสียดทาน โดยกำหนดตัวแปรในการเชื่อมคือ แรงดันในการเสียดทาน 10 Mpa เวลาในการเสียดทาน 8 Sec. แรงดันในการเชื่อม 5 Mpa เวลาในการเชื่อม 4 Sec. และความเร็วรอบการหมุนของชิ้นงานที่ 2,500 rpm ผลที่ได้จากการศึกษาพบว่า บริเวณรอยเชื่อมที่เกิดจากการเชื่อมวัสดุต่างชนิดกันนี้ทำให้ได้รอยเชื่อมที่มีความแข็งเพิ่มขึ้น

K. Jayabharath and et al. [7] ได้ทำการศึกษาค้นคว้าโครงสร้างของวัสดุ Sinterred ที่เชื่อมต่อ กับ ทองแดง (CU) ขึ้นรูป ด้วยการเชื่อมด้วยความเสียดทาน ซึ่งทดลองด้วยการปรับค่าของตัวแปร 2 ตัวแปรคือ แรงดันในการเสียดทาน และแรงดันในการเชื่อม แล้วมาวิเคราะห์หาค่าความแข็งของแนวเชื่อมต่อ และวิเคราะห์โครงสร้างจุลภาคของเหล็กพบร่วมแนวเชื่อมต่อ มีความแข็งมากขึ้นและเกิดโครงสร้างจุลภาคใหม่

Meshram and et al. [8] ได้ทำการศึกษาชิ้นงานที่เชื่อมด้วยความเสียดทานกับวัสดุต่างชนิดต่างกัน โดยทำการทดลองเชื่อมเหล็ก (Fe), ไททาเนียม (Ti), ทองแดง (Cu) และนิกเกิล (Ni) ด้วยวิธีการเชื่อมสลับวัสดุที่แตกต่างกัน พบร่วมวัสดุที่ต่างกันเมื่อนำมาเชื่อมด้วยความเสียดทานก็จะได้รอยเชื่อมที่มีโครงสร้างที่เกิดขึ้นใหม่แตกต่างกันไป

Ma and et al. [9] ได้ทำการศึกษาวิเคราะห์ส่วนที่บานออกจากรอยเชื่อม และทดสอบแรงกระแทกของอัลลอยด์ที่มีส่วนประกอบของ Ti – 6Al – 4V ที่เชื่อมด้วยวิธีการเสียดทานด้วยการสันเชิงเส้น (Linear fiction welding (LFW)) จากการศึกษาพบว่ามีการเปลี่ยนแปลงโครงสร้างที่รอบเชื่อม และเพสที่มีการเปลี่ยนแปลงที่รอบเชื่อม ได้ชึ้นขยายเข้าสู่ส่วนของพื้นที่รอบข้างของรอยเชื่อม มีผลทำให้รอบเชื่อมมีค่าทดสอบแรงกระแทกต่ำกว่าชิ้นงานเดิม

Noh and et al. [10] ได้ทำการศึกษาการเชื่อมด้วยความเสียดทานของเหล็กที่มีเปอร์เซ็นต์คาร์บอน 0.30 % เชื่อมต่อ กับ เซรามิกกลมชนิด Alumina ขนาดเส้นผ่าศูนย์กลาง 10 mm. โดยใช้ความเร็วรอบในการหมุนชิ้นงานเชื่อมต่ำ (900 rpm) จากการทดลองด้วยวิธีการนำ Alumina มาเชื่อมต่อ กับ Aluminum ที่มีขนาดเท่ากัน ด้วยการกำหนดตัวแปรเวลาในการเสียดทานเป็น 8 ช่วงคือ 6, 8, 10, 12, 14, 16, 18 และ 20 Sec. และกำหนดตัวแปรอื่นๆ เป็นตัวแปรคงที่คือ แรงดันในการเสียดทานที่ 20 MPa และแรงดันในการอัดที่ 40 MPa จากนั้นนำชิ้นงานที่ได้จากการเชื่อมที่เวลาในการเสียดทานต่างๆ มาเชื่อมต่อ กับ การเหล็ก ผลที่ได้จากการทดลองพบว่าสามารถเชื่อมต่อ กัน ได้ดี และจากการวิเคราะห์ด้วยภาพถ่ายโครงสร้างจุลภาคพบว่ารอบเชื่อมหลอมผสมพسان ได้และมีค่าความแข็งแรงของรอบเชื่อม 240 MPa

Shin and et al. [11] ได้ทำการศึกษาชิ้นงานด้วยการส่องวิเคราะห์การต่อเชอร์โภเนียม (Zr) ผสมด้วยวิธีการเชื่อมด้วยความเสียดทาน ใน การศึกษาวิจัยนี้ได้ทำการศึกษาถึงรูปทรงที่มีการเปลี่ยนแปลงของบริเวณที่ทำการเชื่อมโดยการใช้อินฟารेड (Infrared) วิเคราะห์โครงสร้างของชิ้นงาน โดยมีแรงดันและเวลาในการเสียดทานเป็นตัวแปร และพบว่าปริมาณส่วนที่ยื่นออกมาด้านข้างของชิ้นงานระหว่างเชื่อมนั้น มีความสัมพันธ์กับ แรงดันและเวลาการเสียดทานและลักษณะ โครงสร้างเหมือนการตกผลึก

Uwada and et al. [12] ได้ทำการศึกษาชิ้นงานด้วยการเปรียบเทียบโครงสร้างจุลภาคของ Oxide-Dispersion-Strengthened-Steel (ODS) ที่เชื่อมต่อกับวัสดุที่มีเกรน Ferritic-Martensitic-Steel (PNC-FMS) ด้วยวิธีการเชื่อมด้วยความเสียดทาน พบร่วงเวลาการหล่อเย็นของชิ้นงานเชื่อมที่ช่วงเวลาแตกต่างกันส่งผลให้มีการเปลี่ยนแปลงเฟสของชิ้นงานเชื่อมที่บริเวณรอยเชื่อมต่อ

Sahin (b) [13] ได้ทำการศึกษารักษาคุณสมบัติในการเปลี่ยนแปลงพื้นผิวของรอยเชื่อมของเหล็กแสตนเลสกลม AISI 304. ที่เชื่อมด้วยความเสียดทาน จากการทดลองด้วยวิธีการนำชิ้นงานเชื่อมที่มีขนาดหน้าตัดที่ต่างกัน และใช้การวิเคราะห์เชิงสถิติในส่วนของแรงดันในการเสียดทาน และเวลาในการเสียดทาน พบร่วงเวลาในการเสียดทานที่ 60 MPa และเวลาในการเสียดทานที่ 9 Sec. เป็นค่าที่เหมาะสมในการทดลอง และจากการวิเคราะห์โครงสร้างจุลภาคชิ้นงานเชื่อมทั้งสองด้าน พบร่วงเวลาการสร้างของชิ้นงานเชื่อมต่างขนาดกันมีโครงสร้างจุลภาคในแต่ละด้านแตกต่างกัน

Luo and et al. [14] ได้ทำการศึกษาการเชื่อมด้วยความเสียดทานของท่อเหล็ก carbon ชนิด Q 235 ที่เชื่อมต่อกับเบ้าหุ้ยดที่มีหน้าตัดเชื่อมแตกต่างกัน โดยทำการศึกษารูปแบบของหน้าตัดท่อส่วนที่เสียดสีกันในแบบต่างๆ และศึกษาส่วนที่บานออกจากรอยเชื่อม จากการศึกษาพบว่าสามารถเชื่อมต่อกันได้ในทุกแบบของหน้าตัดท่อที่ทำการทดลอง และจากการศึกษารักษาคุณสมบัติ บานของเศษที่บานออกจากรอยเชื่อมพบว่าลักษณะการบานของเศษที่บานออกจากรอยเชื่อมพบร่วงเวลาการเสียดทานที่หลอมจากการเสียดสีที่หน้าสัมผัสบานเข้าด้านในท่อเป็นส่วนมากในทุกแบบการทดลอง

Li and et al. [15] ได้ทำการศึกษาการเชื่อมด้วยวิธีการเสียดทานด้วยการสั่นเชิงเส้น (Linear fiction welding (LFW)) ที่มีผลต่อชิ้นงานเชื่อมที่มีรูปทรงสี่เหลี่ยม พบร่วงเวลาการเปลี่ยนแปลงเฟสของโครงสร้างจุลภาคในแต่ละส่วนของแนวเชื่อมต่อไม่เหมือนกัน

Karadge and et al. [16] ได้ทำการศึกษาเนื้อของวัสดุและโครงสร้างของ Ti-6AL-4V ที่เชื่อมด้วยความเสียดทานแบบการสั่นเชิงเส้น (LFW) โดยทำการวิเคราะห์โครงสร้างจุลภาคที่ใช้เชื่อมในระดับมหภาคและจุลภาค ซึ่งได้ทำการศึกษาถึงอุณหภูมิที่เกิดขึ้นต่อชิ้นงานเชื่อมด้วย

Balasubramanian [17] ได้ทำการศึกษาความเร็วของเครื่องเชื่อม หัวหมุนเชื่อมที่เชื่อมด้วยวิธีการเชื่อมแบบ Friction Stir Welding โดยการทดลองเชื่อมชิ้นงานด้วยการเปรียบเทียบการเชื่อมอัลูมิเนียมอัลลอยด์ชนิดเบอร์ AA 1050, AA 6061, AA 2024, AA7039 และ AA 7075 พบร่วงเวลาการใช้ความเร็วในการหมุนและเวลาในการเคลื่อนที่เชื่อมแตกต่างกัน เพื่อให้ได้รอยเชื่อมที่สมบูรณ์

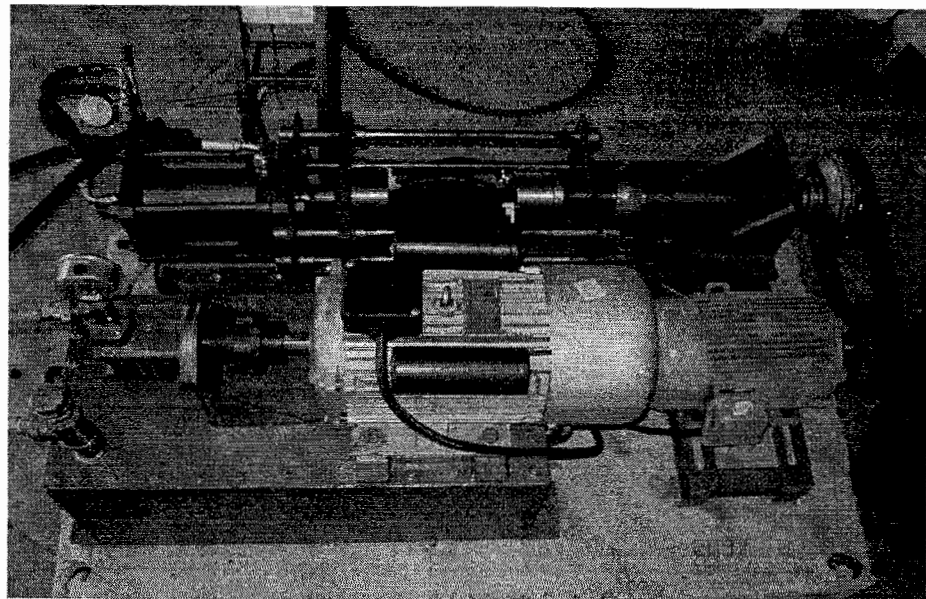
บทที่ ๓

การออกแบบและพัฒนาเครื่องซึ่อมด้วยความเสียดทาน

การศึกษาวิจัยนี้ได้ทำการพัฒนาเครื่องซึ่อมด้วยความเสียดทานที่สร้างขึ้นโดยนายวีระยุทธ นันท์ชนา และนายอำนาจ บุณยะวัน [20] นักศึกษาระดับปริญญาตรี ภาควิชา วิศวกรรมเครื่องกล คณะวิศวกรรมศาสตร์ มหาวิทยาลัยอุบลราชธานี ซึ่งได้ทำการออกแบบ และ สร้างเครื่องซึ่อมด้วยความเสียดทาน ไว้ในเบื้องต้น โดยเครื่องซึ่อมด้วยความเสียดทานที่สร้างไว้นี้ สามารถทำการซ่อมต่อชิ้นงานได้ด้วยวิธีการ ควบคุมแรงดันในกระบวนการซ่อมด้วยมือ และไม่ สามารถทราบได้ถึงตัวแปรต่างๆ ที่มีผลต่อการซ่อมด้วยวิธีการนี้ จึงเป็นที่มาของการศึกษา และ พัฒนาเครื่องซึ่อมด้วยความเสียดทาน เพื่อให้ได้เครื่องซึ่อมด้วยความเสียดทานที่มีประสิทธิภาพดี และสามารถปรับค่าตัวแปรต่างๆ ที่จะมีผลต่อชิ้นงานซ่อม โดยมีรายละเอียดขั้นตอนการดำเนินงาน ดังนี้

3.1 เครื่องซึ่อมด้วยความเสียดทานก่อนการพัฒนา

เครื่องซึ่อมด้วยความเสียดทานต้นแบบ ได้ถูกสร้างขึ้นตามแนวคิดที่แสดงในบทที่ 2 โดยมีมอเตอร์ขนาด 3 Hp เป็นต้นกำลังในการหมุนชิ้นงาน และใช้ระบบไฮดรอลิกส์ในการสร้าง แรงดันอัดชิ้นงานเพื่อซ่อม เครื่องซึ่มนี้ทำงานโดยใช้ระบบ Monoblock Valve ควบคุมแรงดัน ไฮดรอลิกส์ในช่วงต่างๆ ในส่วนของการควบคุมความเร็วของแรงดันที่จะทำการซ่อม นั้นใช้ Inverter ขนาด 3 Hp ในการควบคุมความเร็วของแรงดันทำงาน โครงสร้างทั้งหมดของเครื่อง ซ่อมสร้างบนฐานคอนกรีต ดังแสดงในภาพที่ 3.1



ภาพที่ 3.1 เครื่องเชื่อมด้วยความเสียดทานตันแบบ ก่อนการพัฒนา [20]

3.1.1 อุปกรณ์และคุณสมบัติของเครื่องเชื่อมด้วยความเสียดทานตันแบบ

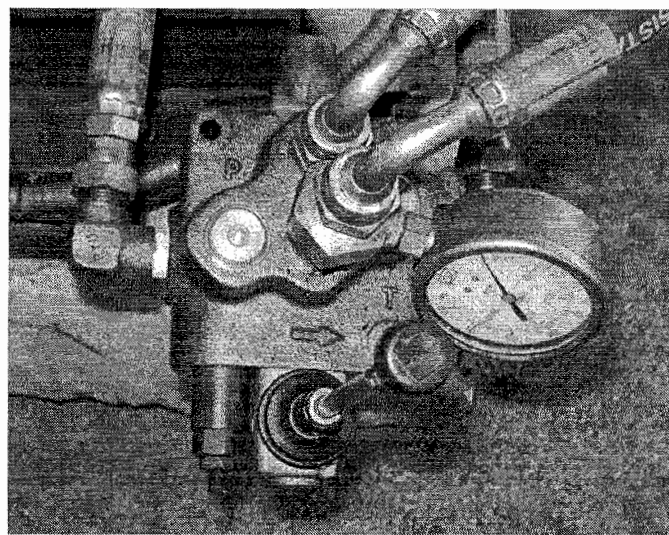
การที่เครื่องเชื่อมด้วยความเสียดทานจะสามารถทำการเชื่อมต่อชิ้นงานนั้น ต้องอาศัยหลักการทำงานในส่วนต่างๆ ประกอบเข้าด้วยกัน เครื่องเชื่อมด้วยความเสียดทานตันแบบก็ เช่นกันต้องอาศัยอุปกรณ์หลักการต่างๆ ประกอบเพื่อเชื่อมต่อชิ้นงาน ซึ่งมีอุปกรณ์และคุณสมบัติ ดัง ตารางที่ 3.1

ตารางที่ 3.1 อุปกรณ์และคุณสมบัติของเครื่องเชื่อมด้วยความเสียดทานตันแบบ

รายการ	อุปกรณ์/คุณสมบัติ
1. มอเตอร์ปั๊มไฮดรอลิกส์	220 V / 3 Hp
2. มอเตอร์ที่ใช้ในการเชื่อม	380 V / 3 Hp
3. ระบบวาล์วควบคุมไฮดรอลิกส์	Monoblock Valve
4. กระบวนการไฮดรอลิกส์	Ø 4 inches
5. แรงดันปั๊มไฮดรอลิกส์	100 Bar
6. ระบบควบคุมความเร็วในการหมุนของมอเตอร์ที่ใช้ในการเชื่อม	Inverter 3 Hp

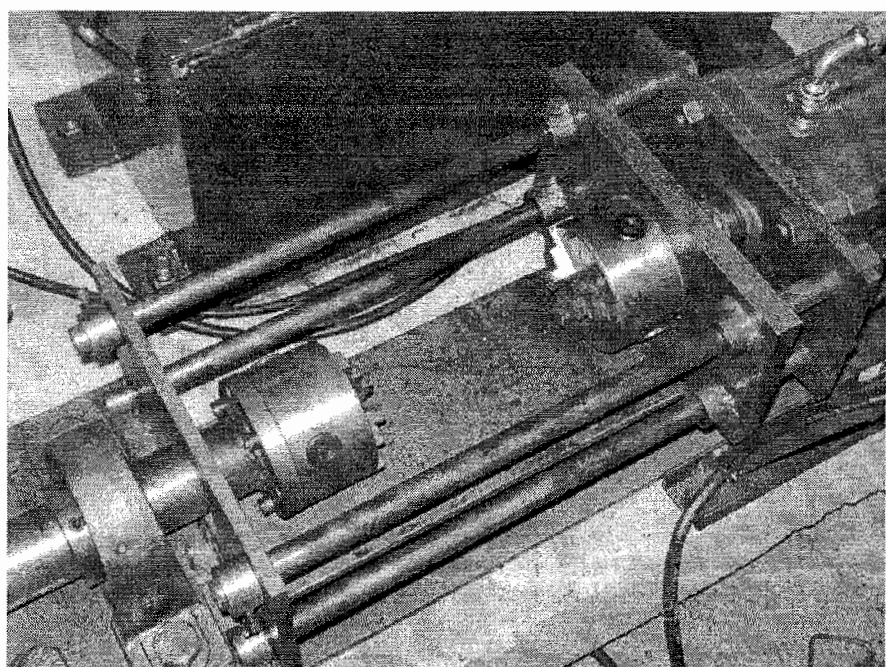
3.1.2 ข้อด้อยของเครื่องซีอมด้วยความเสียดทานต้นแบบ

แม้ว่าเครื่องซีอมด้วยความเสียดทานจะสามารถทำงานได้จริง แต่เครื่องซีอมด้วยความเสียดทานต้นแบบ มีข้อด้อยหลักๆ คือ ไม่สามารถปรับตั้งหรือควบคุมตัวแปรที่มีผลต่อการซีอมได้ เช่น ค่าแรงดันในการอัดของระบบออกไฮดรอลิกส์ได้ ซึ่งเป็นตัวแปรหนึ่งที่มีผลต่อคุณสมบัติของชิ้นงานที่ซีอมด้วยวิธีการนี้ เนื่องจากเดินน้ำนั้นเครื่องซีอมใช้ Monoblock Valve เป็นอุปกรณ์ที่ในการควบคุมการเคลื่อนที่ไป-กลับของระบบออกไฮดรอลิกส์ ซึ่งควบคุมการเคลื่อนที่ของระบบออกด้วยคันโยกมือ เป็นผลให้ไม่สามารถควบคุมแรงดันของระบบให้มีความสม่ำเสมอได้ จึงไม่สามารถทราบได้ถึงตัวแปรของแรงดันในการเสียดทาน และการอัดได้ ดังภาพที่ 3.2

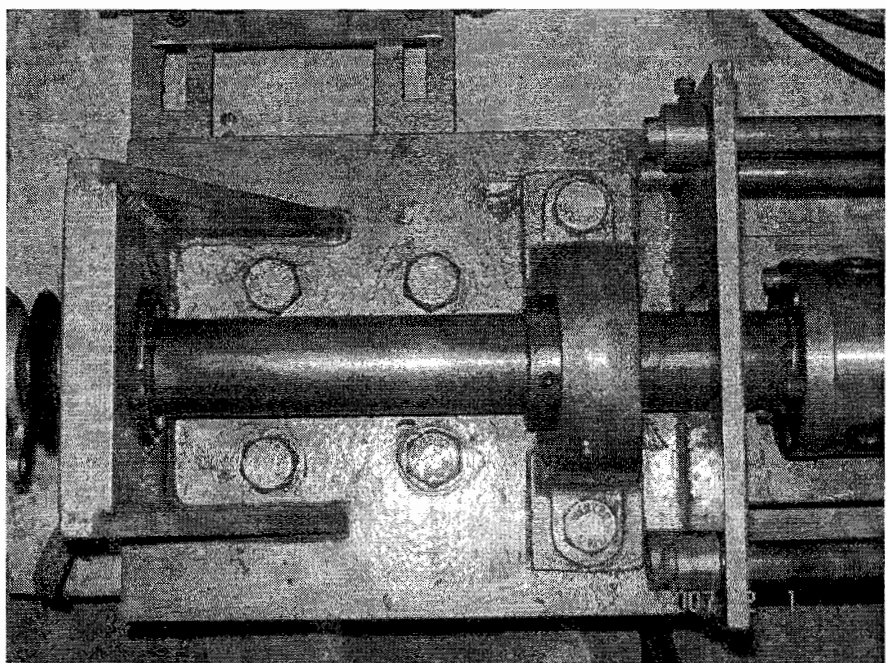


ภาพที่ 3.2 Monoblock Valve ควบคุมการเคลื่อนที่ของระบบออกไฮดรอลิกส์ ชนิดไป – กลับ

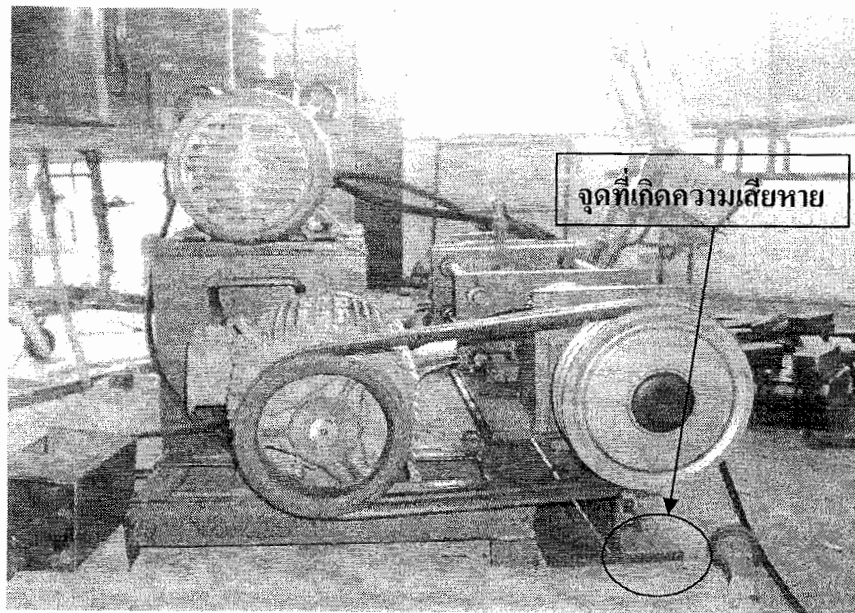
ในส่วนของมอเตอร์ที่ใช้ในการหมุนชิ้นงานซีอมนั้นพบว่ามีกำลังด้ามเกินไป และเครื่องซีอมด้วยความเสียดทานต้นแบบ ไม่สามารถควบคุมเวลาในการเสียดสีชิ้นงาน (Friction Time) เพื่อให้เกิดความร้อน และเวลาในการอัดชิ้นงาน (Upset Time) เพื่อการซีอมต่อได้ ในส่วนของโครงสร้างพบว่าแผ่นเหล็กที่ใช้ดูเพลาประกอบ และเพลาประกอบมีขนาดเล็กเกินไป ดังแสดงในภาพที่ 3.3 ทำให้ขณะซีอมชิ้นงานโครงสร้างเกิดการสั่น และเสียดูนย์ทำให้แนวซีอมต่อไม่ตรงกัน ซึ่งการที่เครื่องซีอมด้วยความเสียดทานต้นแบบ เมื่อทำการซีอมแล้วเกิดอาการสั่นและเสียดูนย์ ซึ่งเกิดจากการใช้เรือนลูกปืน (Housings Bearing) ขนาด 2 inches เพียงตัวเดียว ดังแสดงในภาพที่ 3.4 นอกจากนี้การที่โครงสร้างเกิดการสั่นยังส่งผลเสียต่อโครงสร้างที่ยึดฐานของเครื่องซีอมด้วยความเสียดทานอีกด้วย ดังแสดงในภาพที่ 3.5



ภาพที่ 3.3 แผ่นเหล็กที่ใช้ดเพลาปะกอง และเพลาปะกอง



ภาพที่ 3.4 เรือนลูกปืน (Housings Bearing) ขนาด 2 inches



ภาพที่ 3.5 โครงสร้างที่ยึดติดกับแท่นคอนกรีต

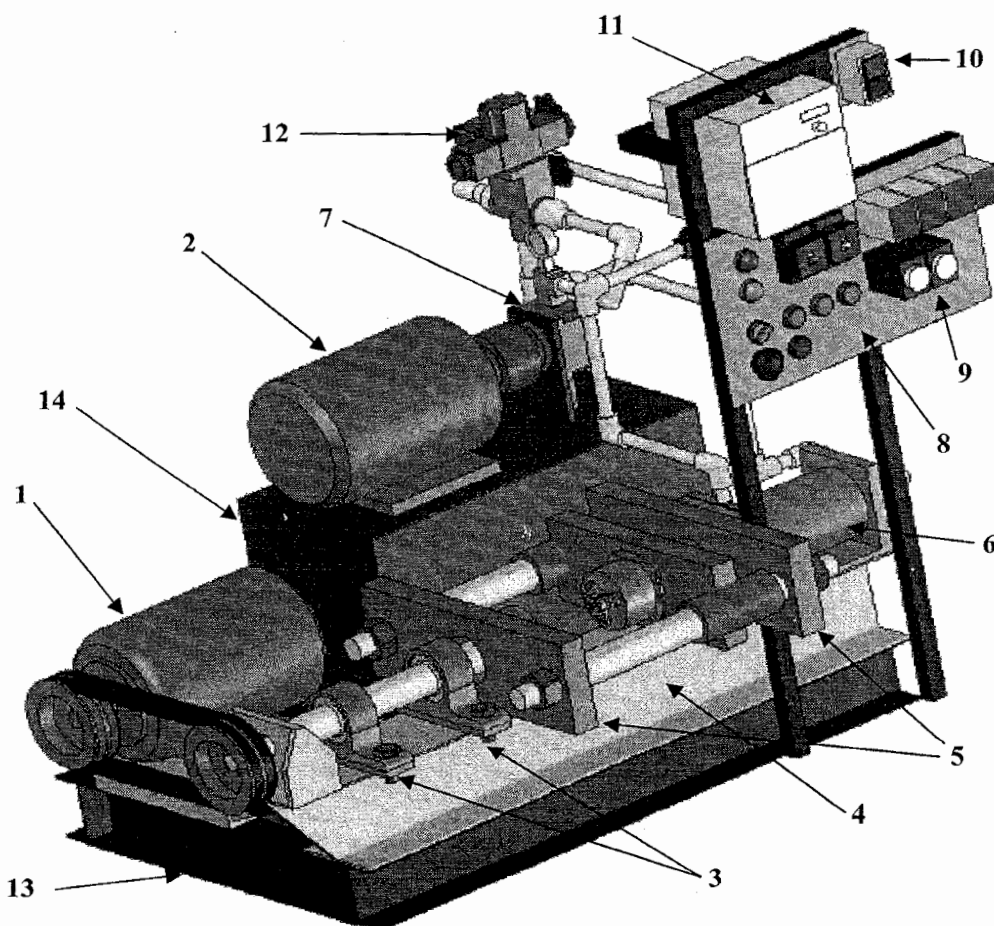
3.2 การพัฒนาเครื่องเชื่อมด้วยความเสียดทาน

จากปัญหาที่พบในเครื่องเชื่อมด้วยความเสียดทานด้านแบบ จึงได้ทำการออกแบบเครื่องเชื่อมด้วยความเสียดทานใหม่ โดยมีพื้นฐานมาจากเครื่องเชื่อมด้วยความเสียดทานด้านแบบ เพื่อเป็นการพัฒนาเครื่องเชื่อมด้วยความเสียดทานด้านแบบใหม่ประสิทธิภาพ เป็นไปตามเงื่อนไขของข้อทำงานวิจัยที่กำหนด ไว้ และเพื่องานวิจัยที่เกี่ยวข้องในอนาคต โดยกำหนดให้เครื่องเชื่อมด้วยความเสียดทานที่พัฒนาแล้วต้องมีคุณสมบัติ ดังนี้

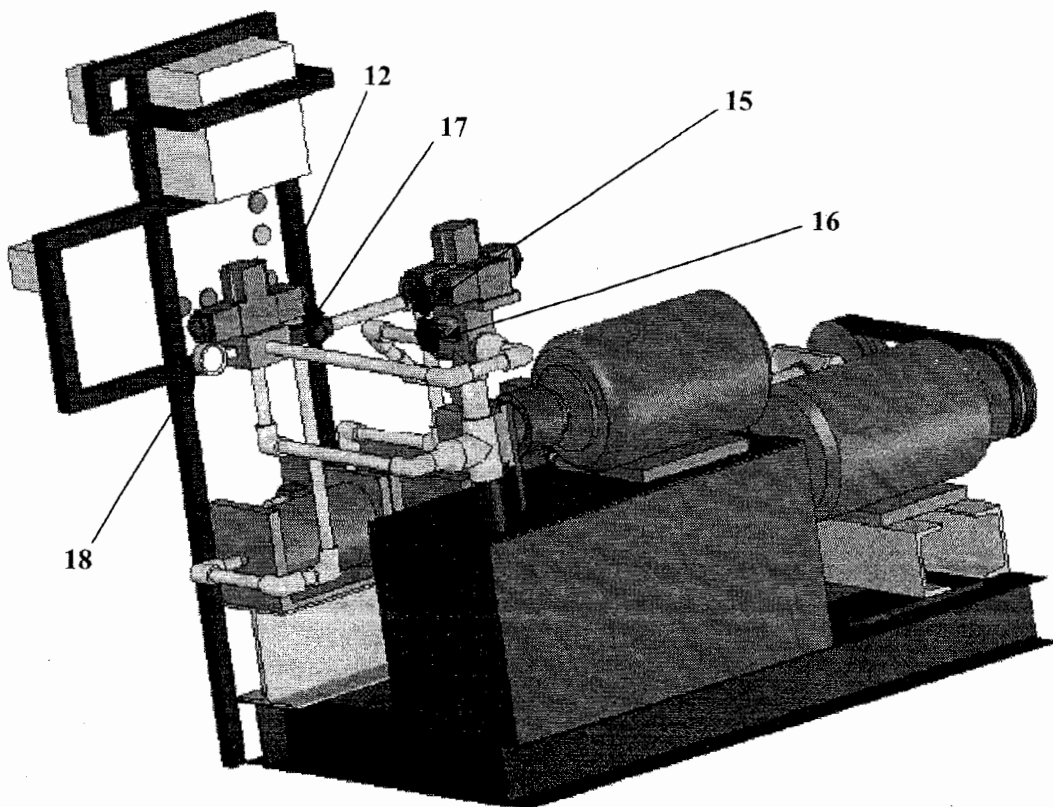
- (1) สามารถเชื่อมชิ้นงาน ให้ติดกัน ได้
- (2) สามารถควบคุมเวลาในการเสียดทาน และเวลาในการอัด ได้
- (3) สามารถควบคุมแรงดันในการเสียดทาน และแรงดันในการอัด ได้
- (4) สามารถควบคุมความเร็วอุปในการหมุนของชิ้นงาน ได้
- (5) สามารถควบคุมความเร็วในการเคลื่อนที่ในแนวแกนของชิ้นงาน ได้
- (6) การเชื่อมชิ้นงานต้องสามารถทำงาน ได้เสร็จสิ้น ในขบวนการเดียว
- (7) โครงสร้างของเครื่องเชื่อมด้วยความเสียดทานด้านแบบต้องมีความแข็งแรงทนทาน ที่ เครื่องทำงานต้องไม่มีการสั่น และแนวเชื่อมต่อชิ้นงานต้องเป็นแนวเดียวกัน

3.2.1 การออกแบบเครื่องเชื่อมด้วยความเสียดทานที่พัฒนาแล้ว

จากข้อกำหนดในการพัฒนาเครื่องเชื่อมด้วยความเสียดทานดังที่ได้กล่าวมาแล้ว จึงได้ทำการออกแบบเครื่องเชื่อมด้วยความเสียดทานใหม่ โดยมีโครงสร้างและส่วนประกอบ ดังแสดงในภาพที่ 3.6 – 3.7 และมีรายละเอียดของอุปกรณ์ใหม่ ดังแสดงในตารางที่ 3.2 ส่วนภาพที่ 3.8 แสดงภาพเครื่องเชื่อมด้วยความเสียดทานที่พัฒนาแล้ว



ภาพที่ 3.6 ภาพมุมเอียงด้านหน้าเครื่องเชื่อมด้วยความเสียดทานใหม่ที่พัฒนาจากเครื่องต้นแบบ



ภาพที่ 3.7 ภาพนูนเอียงด้านหลังเครื่องเชื่อมด้วยความเสียดทานใหม่ที่พัฒนามาจากเครื่องต้นแบบ

ตารางที่ 3.2 รายการอุปกรณ์ต่างๆของเครื่องเชื่อมด้วยความเสียดทานที่พัฒนาแล้ว

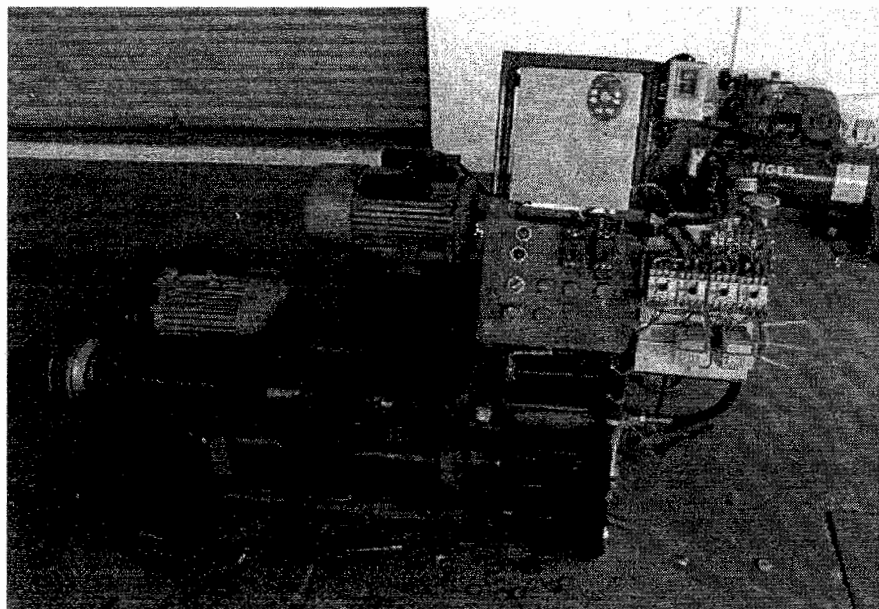
หมายเลข	อุปกรณ์
1	มอเตอร์ที่ใช้ในการเชื่อม AC 380 V / 5 Hp
2	มอเตอร์รีบีน์ ไฮดรอลิกส์ AC 220 V / 3 Hp
3	เรือนลูกปืน (Housings Bearing) ขนาด 2 inches
4	เพลาประคงขนาด 2 inches
5	แผ่นเหล็กที่ใช้ด้วยเพลาประคงหนา 40 mm.
6	กรอบอกไฮดรอลิกส์ Ø 4 inches
7	ปั๊มไฮดรอลิกส์ขนาดแรงดัน 100 Bar
8	ແພງความคุณการทำงานของเครื่อง
9	อุปกรณ์ควบคุมเวลาในการทำงาน (Timer)
10	สวิทช์หลักในการเปิด – ปิด

ตารางที่ 3.2 รายการอุปกรณ์ต่าง ๆ ของเครื่องเชื่อมด้วยความเสียดทานที่พัฒนาแล้ว (ต่อ)

หมายเลข	อุปกรณ์
11	เครื่องควบคุมการหมุนของมอเตอร์ (Inverter 7.5 Hp)
12	ระบบวาล์วควบคุมการ เปิด-ปิด ไชครอลิกส์ (Electric Solenoid Valve AC 220 V.)
13	โครงแท่นเครื่องเหล็ก C 100 X 50 X 4 mm ³ .
14	ถังน้ำมันไชครอลิกส์
15	วาล์วควบคุมแรงดันไชครอลิกส์ช่วยการเสียดทาน (Manual Relief Valve)
16	วาล์วควบคุมแรงดันไชครอลิกส์ช่วยการอัด (Manual Relief Valve)
17	วาล์วควบคุมความเร็วของกระบวนการไชครอลิกส์ (Manual Flow Control Valve)
18	เกจวัดแรงดัน

3.2.2 อุปกรณ์ที่ติดตั้งในเครื่องเชื่อมด้วยความเสียดทานหลังการพัฒนา

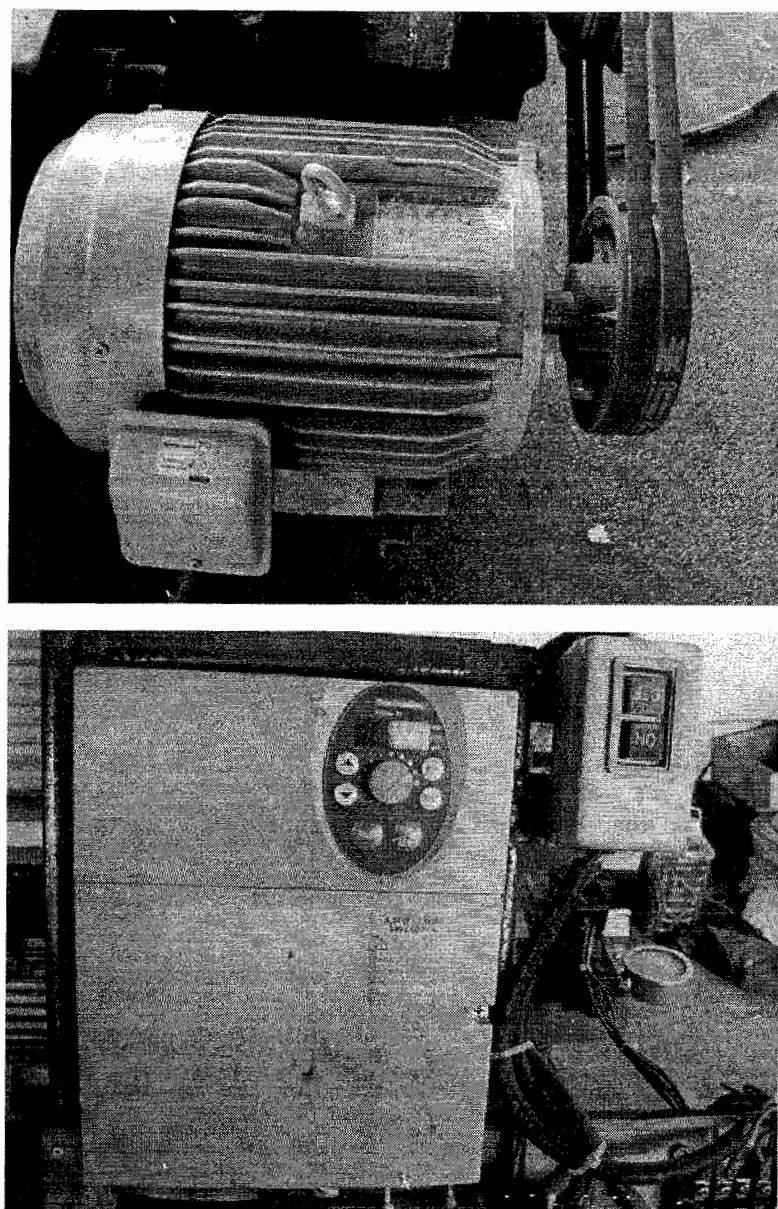
เพื่อให้เครื่องเชื่อมด้วยความเสียดทานที่ได้รับการพัฒนาแล้ว มีประสิทธิภาพตามความต้องการ จึงต้องทำการเปลี่ยนแปลงปรับปรุงเครื่องเชื่อมด้วยความเสียดทานด้านแบบ โดยการปรับเปลี่ยนในส่วนของโครงสร้างใหม่ และติดตั้งอุปกรณ์เพิ่มเติมเข้าไป ดังรายการอุปกรณ์ในตารางที่ 3.2 และมีรายละเอียดการเปลี่ยนแปลง ดังนี้



ภาพที่ 3.8 เครื่องเชื่อมด้วยความเสียดทาน (Friction Welding Machine) ที่ได้รับการพัฒนา

3.2.2.1 เปลี่ยนมอเตอร์และเครื่องควบคุมความเร็วมอเตอร์ (Inverter)

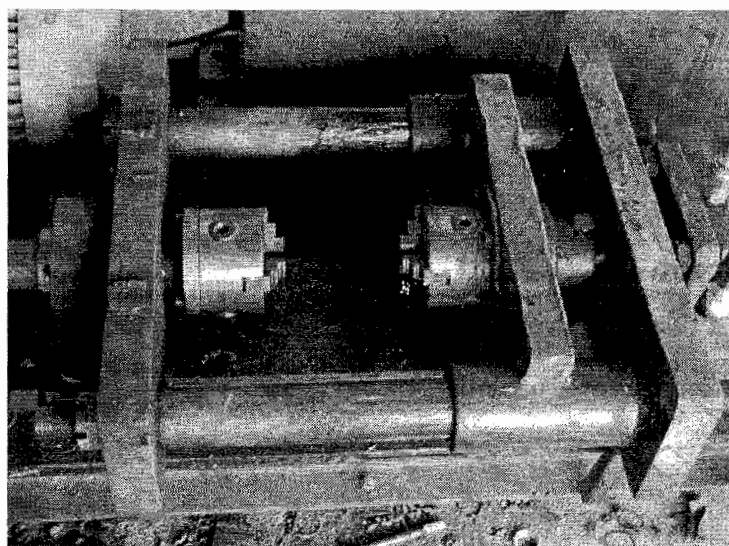
เนื่องจากมอเตอร์เดิมของเครื่องขีบด้วยความเสียดทานตันแบบมีขนาด 3 Hp เมื่อทำการทดลองเชื่อมชิ้นงานตามเงื่อนไขที่กำหนดในงานวิจัย พบว่าไม่สามารถหมุนชิ้นงานเสียดสีกันได้อย่างต่อเนื่อง เนื่องมาจากแรงบิดของมอเตอร์ไม่เพียงพอ จึงต้องทำการเปลี่ยนมอเตอร์ใหม่เป็นขนาด 5 Hp โดยในการเปลี่ยนมอเตอร์ครั้งนี้ต้องทำการเปลี่ยนเครื่องควบคุมความเร็วมอเตอร์เป็นขนาด 7.5 HP เนื่องจากเครื่องควบคุมความเร็วมอเตอร์เดิมมีขนาด 3 Hp จึงไม่สามารถนำมาใช้กับมอเตอร์ตัวใหม่ได้



ภาพที่ 3.9 มอเตอร์ขนาด 5 Hp และเครื่องควบคุมความเร็วมอเตอร์ขนาด 7.5 Hp ชุดใหม่ที่ติดตั้งเข้าไป

3.2.2.2 เปลี่ยนแผ่นเหล็กที่ใช้ดูเพลาประคองและเพลาประคอง

จากข้อพกพร่องที่มีต่อแผ่นเหล็กชิ้ดเพลาประคอง และเพลาประคองดังที่ได้อธิบายไว้ในข้อที่ 3.1.1 และภาพที่ 3.3 จึงทำการปรับเปลี่ยนใหม่โครงสร้างที่แข็งแรง เพื่อให้ได้แนวเชื่อมต่อที่ตรงกัน และลดการสั่นของเครื่อง โดยเปลี่ยนเพลาประคองใหม่ขนาด 2 inches จำนวน 2 เพลา และแผ่นเหล็กชิ้ดเพลาประคองหนา 40 mm. แทนที่ของเดิม ดังภาพที่ 3.10



ภาพที่ 3.10 แผ่นเหล็กที่ใช้ดูเพลาประคอง และเพลาประคอง

3.2.2.3 การเปลี่ยนโครงสร้างของแท่นเครื่องเชื่อมด้วยความเสียดทาน

จากข้อพกพร่องของแท่นเครื่องเชื่อมด้วยความเสียดทานด้านแบบ ดังที่ได้อธิบายมาแล้วในข้อที่ 3.1.1 และภาพที่ 3.5 แล้วนั้น จึงได้ทำการเปลี่ยนแปลงโครงสร้างของแท่นเครื่องใหม่ โดยใช้เหล็กราง C ขนาด $100 \times 50 \times 4 \text{ mm}^3$ ³ มาสร้างเป็นแท่นเครื่องแทนที่ของเดิม ซึ่งหล่อขึ้นจากคอนกรีตเสริมเหล็กทำให้ได้โครงสร้างของแท่นเครื่องที่มีน้ำหนักเบากว่าเดิม แต่มีความแข็งแรงมากขึ้นกว่าเดิม และง่ายต่อการติดตั้งอุปกรณ์อื่นๆเพิ่มเติม

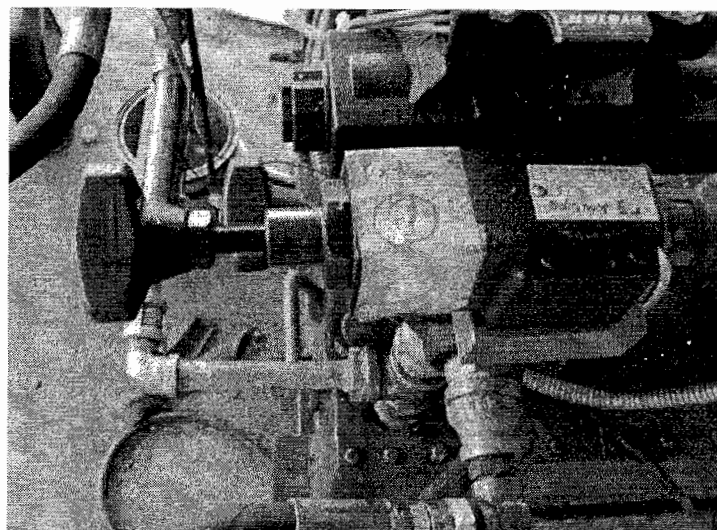
3.2.2.4 การติดตั้งชุดควบคุมการทำงานของระบบไฮดรอลิกส์

ในการทำงานของเครื่องเชื่อมด้วยความเสียดทานด้านแบบนี้ การควบคุมการทำงานของระบบไฮดรอลิกส์ สามารถควบคุม ได้เฉพาะการเคลื่อนที่ไปกลับของระบบอ กไฮดรอลิกส์ได้เท่านั้น ไม่สามารถควบคุมแรงดันของระบบอ กไฮดรอลิกส์ในช่วงการทำงานที่แตกต่างกันได้ ในส่วนของความเร็วในการเคลื่อนที่ของระบบอ กไฮดรอลิกส์นั้น เครื่องเชื่อมด้วยความเสียดทานด้านแบบก็ไม่สามารถควบคุม ได้ เช่นกัน ทำให้ไม่สามารถเก็บข้อมูลที่มีผลต่อชิ้นงาน เชื่อมได้ จึงต้องทำการปรับเปลี่ยนชุดควบคุม Monoblock Valve เดิมออก เพื่อให้ระบบไฮดรอลิกส์

สามารถทำงานได้อย่างต่อเนื่องจนเสร็จสิ้นกระบวนการเชื่อมด้วยความเสียดทาน และสามารถปรับตั้งค่าแรงดันของระบบอุ่นไอครอลิกส์ในช่วงที่แตกต่างกันได้ จึงมีความจำเป็นที่จะต้องนำระบบไฟฟ้าเข้ามาช่วยในการควบคุมระบบไอครอลิกส์ โดยมีรายละเอียด ดังนี้

1) วาล์วปรับควบคุมแรงดันไอครอลิกส์ด้วยมือ (Manual Relief Valve)

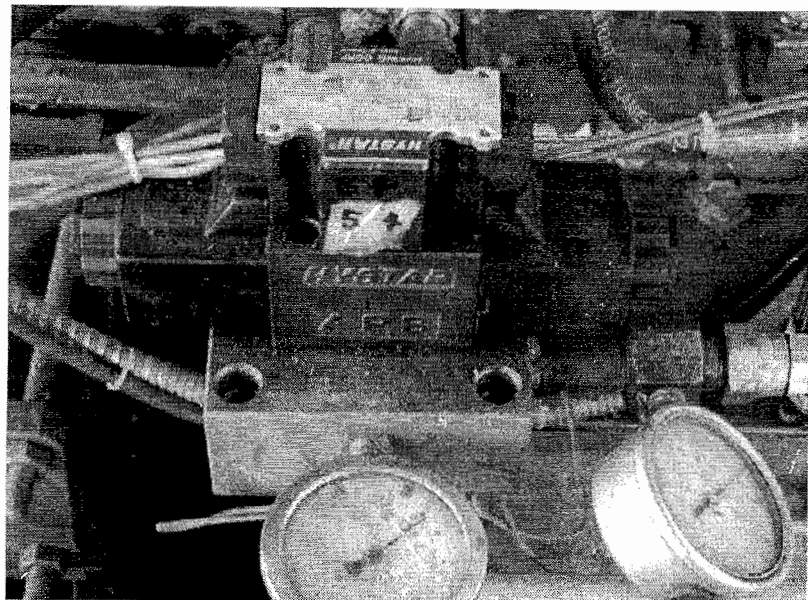
หลักการทำงานของวาล์วปรับควบคุมแรงดันไอครอลิกส์ด้วยมือที่ติดตั้งกับเครื่องเชื่อมด้วยความเสียดทานที่พัฒนาใหม่นี้ คือ เมื่อทำการขันสกรูเข้าจะเป็นการเพิ่มแรงดันภายในระบบ และเมื่อคลายสกรูออกจะเป็นการลดแรงดันภายในระบบ ซึ่งวาล์วควบคุมแรงดันนี้มีหน้าที่ในการปรับแรงดันในการเสียดทาน (Friction Pressure) และปรับแรงดันในการเชื่อม (Upset Pressure) ตามเงื่อนไขของตัวแปรที่กำหนด



ภาพที่ 3.11 วาล์วปรับควบคุมแรงดันไอครอลิกส์ด้วยมือ (Manual Relief Valve) ที่ติดตั้งในเครื่องที่พัฒนาแล้ว

2) วาล์วควบคุมการเปิด-ปิด ไอครอลิกส์ (Electric Solenoid Valve)

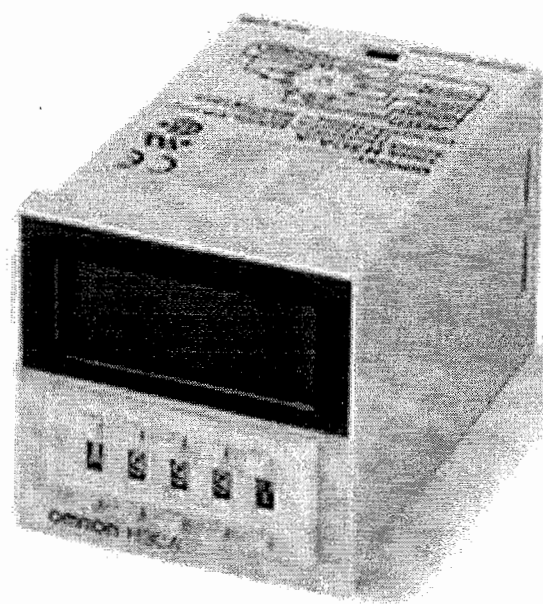
หลักการทำงานของวาล์วควบคุมการเปิด-ปิด ไอครอลิกส์ ที่ติดตั้งกับเครื่องเชื่อมด้วยความเสียดทานที่พัฒนาใหม่นี้ คือใช้ในการเปิด - ปิด การทำให้ของแรงดันน้ำมันไอครอลิกส์ หรือสับเปลี่ยนช่วงการทำงานของเครื่องเชื่อมด้วยความเสียดทาน โดยใช้กระแสไฟฟ้า AC 220 V. ในการสั่งการทำงาน



ภาพที่ 3.12 วาล์วควบคุมการเปิด-ปิด ไฮดรอลิกส์ (Electric Solenoid Valve)

3) เครื่องควบคุมเวลาในการทำงาน (Timer)

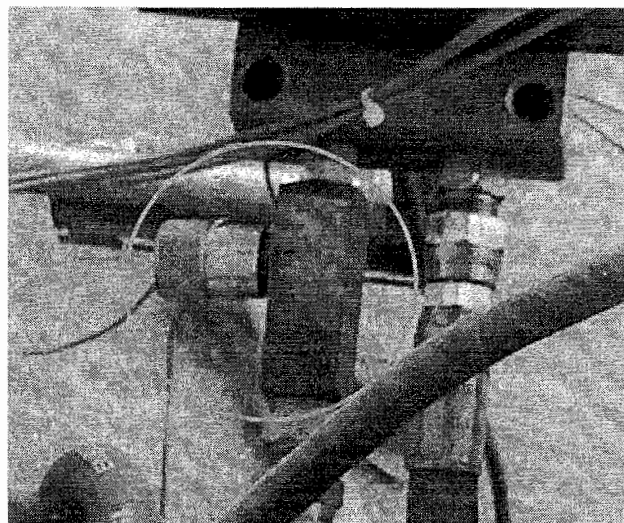
เครื่องเชื่อมด้วยความเสียดทานที่พัฒนาใหม่นี้ ใช้เครื่องควบคุมเวลาในการทำงาน (Timer) เพื่อควบคุมการทำงานของเครื่องในช่วงเวลาต่างๆ ที่ต้องการ



ภาพที่ 3.13 เครื่องควบคุมเวลาในการทำงาน (Timer) ยี่ห้อ Omron รุ่น H3CA ที่ใช้ติดตั้งในเครื่องเชื่อมด้วยความเสียดที่พัฒนาใหม่

4) วาล์วควบคุมความเร็วของระบบอก (Manual Flow control Valve)

หลักการทำงานของวาล์วควบคุมความเร็วของระบบอก (Manual Flow control Valve) ที่ติดตั้งกับเครื่องเชื้อมด้วยความเสียดทานที่พัฒนาใหม่นี้ คือ ใช้ในการควบคุมปริมาณการไหลออกของน้ำมันไฮดรอลิกส์เมื่อหมุนเข้า (ตามเข็มนาฬิกา) จะทำให้การไหลของน้ำมันไฮดรอลิกส์ในระบบไฮโลอกไปได้น้อย ส่งผลให้การเคลื่อนที่ของระบบอกไฮดรอลิกส์เคลื่อนที่ໄปได้ช้า และเมื่อปรับคลาย (หมุนตามเข็มนาฬิกา) ก็จะส่งผลในลักษณะตรงกันข้าม โดยวาล์วควบคุมความเร็วของระบบอกนี้มีหน้าที่ในการปรับความเร็วในการเคลื่อนที่ໄปข้างหน้าของระบบอกไฮดรอลิกส์ ซึ่งการเคลื่อนที่ໄปข้างหน้าของระบบอกไฮดรอลิกส์นี้ มีผลต่อการสูญเสียหน้าสัมผัสของชิ้นงานเชื้อม และทำให้การเคลื่อนที่ของระบบอกไฮดรอลิกส์เคลื่อนที่ໄปข้างหน้าได้อย่างスマ่ำเสมอ ซึ่งสามารถปรับอัตราการเคลื่อนໄปข้างหน้าของระบบอกได้ด้วยปุ่มหมุนที่ตัววาล์ว



ภาพที่ 3.14 วาล์วควบคุมความเร็วของระบบอก (Manual Flow control Valve)

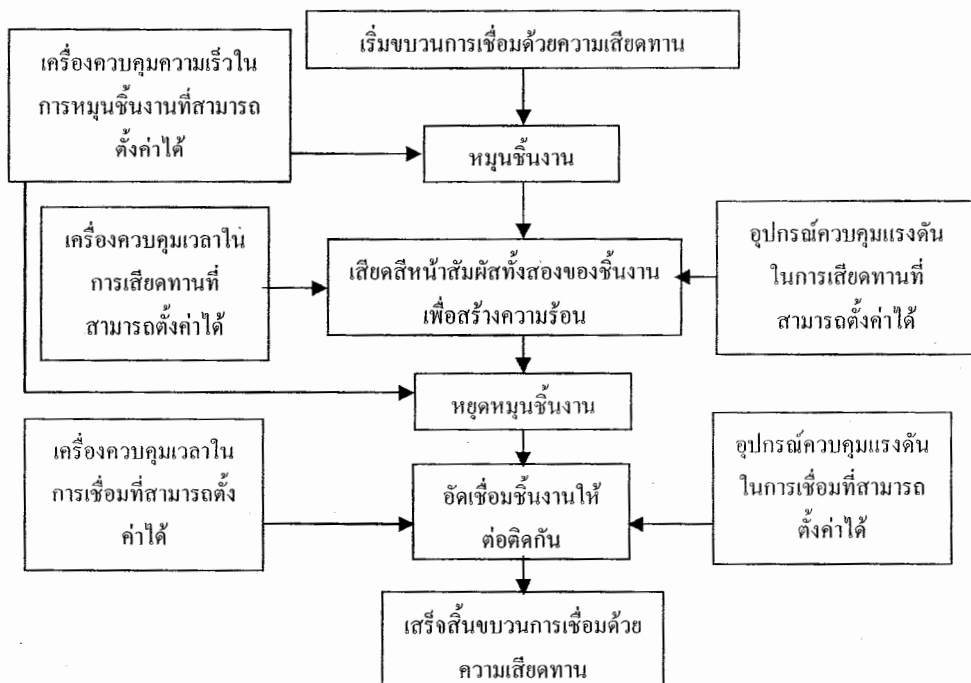
3.2.3 คุณสมบัติของเครื่องเชื้อมด้วยความเสียดทานที่พัฒนาใหม่

จากเงื่อนไขที่กำหนดให้เครื่องเชื้อมด้วยความเสียดทานที่พัฒนาใหม่ต้องทำงานได้อย่างต่อเนื่อง ตั้งแต่เริ่มต้นจนกว่าการให้ชิ้นงานเลื่อนเข้าหากัน ทำการเสียดสีกัน และดันชิ้นงานให้เชื่อมต่อกัน โดยเครื่องเชื้อมด้วยความเสียดทานที่พัฒนาใหม่นี้ ต้องสามารถทำงานได้อย่างต่อเนื่องจนเสร็จสิ้นกระบวนการ สามารถปรับตั้งความเร็วรอบในการหมุนของชิ้นงานเชื้อม ความเร็วในการเคลื่อนที่ของระบบอกไฮดรอลิกส์ เวลาและแรงดันในการทำงานได้แน่น จากการแก้ไขปรับเปลี่ยนและติดตั้งอุปกรณ์ต่างๆ จึงทำให้เครื่องเชื้อมด้วยความเสียดทานที่พัฒนาใหม่สามารถทำได้อย่างมี

ประสิทธิภาพและทำได้ตามเงื่อนไขที่กำหนดในข้อที่ 3.2 โดยเครื่องเชื่อมด้วยความเสียดทานมีอุปกรณ์และคุณสมบัติของอุปกรณ์แต่ละตัว ดังแสดงในตารางที่ 3.3 และภาพที่ 3.15

ตารางที่ 3.3 อุปกรณ์และคุณสมบัติของเครื่องเชื่อมด้วยความเสียดทานที่พัฒนาใหม่

รายการ	อุปกรณ์/คุณสมบัติ
มอเตอร์ปั๊มไฮดรอลิกส์	AC 220 V / 3 Hp
มอเตอร์ที่ใช้ในการเชื่อม	AC 380 V / 5 Hp
ระบบバル์กวนคุมไฮดรอลิกส์	Manual Relief Valve
ระบบバル์กวนคุมการ เปิด-ปิด ไฮดรอลิกส์	Electric Solenoid Valve AC 220 V.
ระบบออกไฮดรอลิกส์	Ø 4 inches
ระบบควบคุมความเร็วของระบบออกไฮดรอลิกส์	Manual Flow control Valve
ระบบควบคุมเวลาในการทำงาน	Timer
แรงดันปั๊มไฮดรอลิกส์	100 Bar
ระบบควบคุมความเร็วในการหมุนของมอเตอร์ที่ใช้ในการเชื่อม	Inverter 7.5 Hp



ภาพที่ 3.15 แผนผังกระบวนการเชื่อมด้วยการเสียดทานตั้งแต่เริ่มต้นจนเสร็จสิ้นกระบวนการ

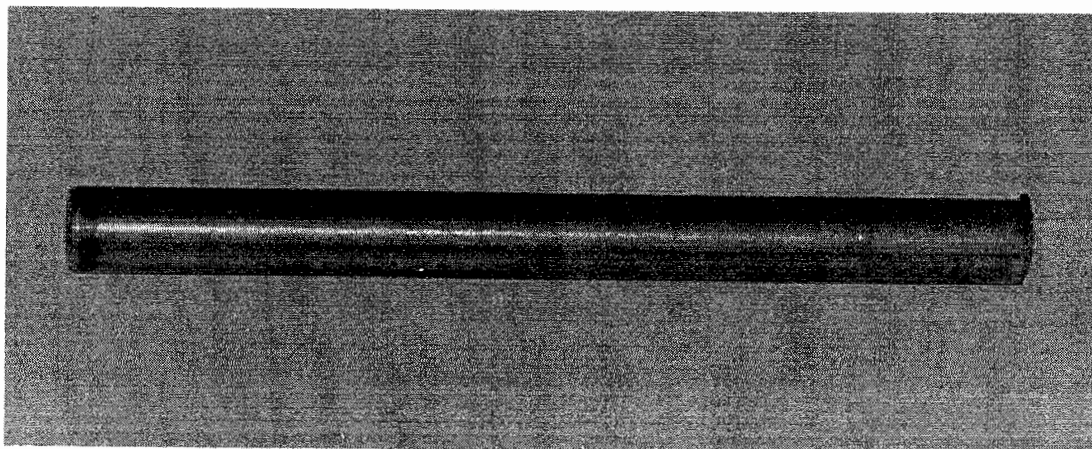
บทที่ 4

วิธีการศึกษาโครงสร้างจุลภาค

ในบทนี้จะกล่าวถึงวิธีการในการศึกษาเกี่ยวกับโครงสร้างจุลภาคของชิ้นงานที่เชื่อมด้วยความเสียดทาน ซึ่งเป็นวัตถุประสงค์หนึ่งของการศึกษานี้

4.1 วัสดุที่ใช้ในงานวิจัย

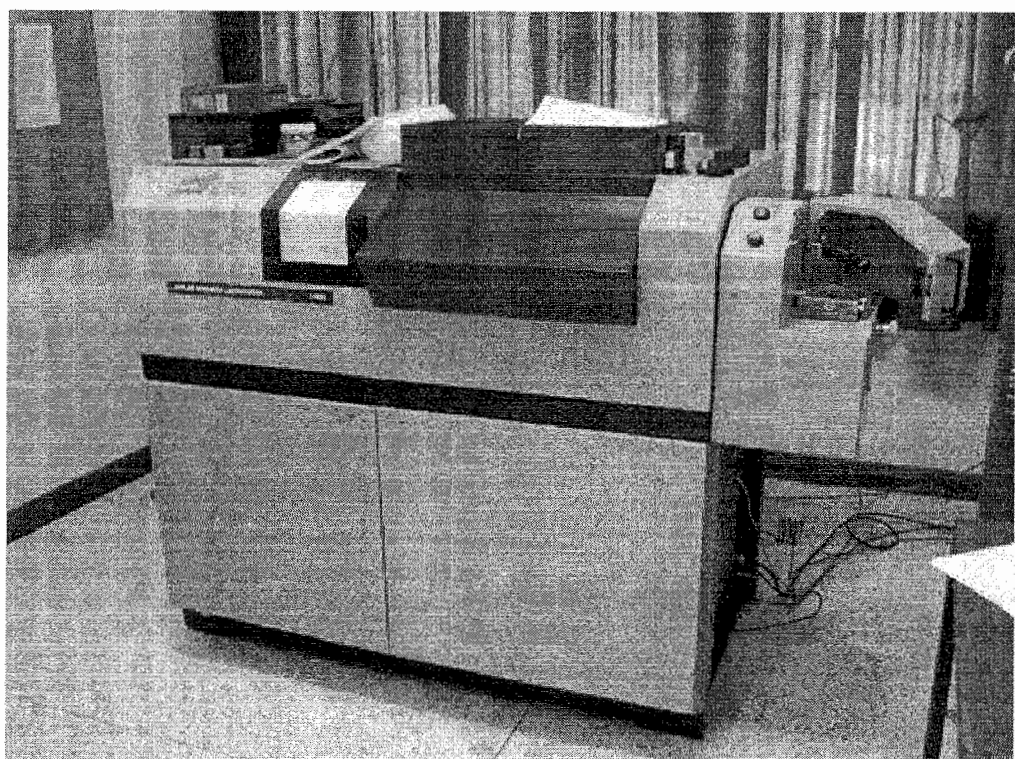
วัสดุที่จะนำมาใช้ในเชื่อมด้วยความเสียดทานนี้จัดอยู่ในประเภทเหล็กกล้าคาร์บอนต่ำตามท้องตลาด ซึ่งเรียกว่าเหล็กเพลาขาว ขนาดเส้นผ่าศูนย์กลาง 10 mm. ยาว 100 mm. ดังภาพที่ 4.1 ซึ่งจะมีการบันทึกว่า 0.20 % เป็นกลุ่มที่มีการใช้งานอย่างกว้างขวาง เช่น อุตสาหกรรมผลิตรถยนต์ จะใช้ทำชิ้นส่วนที่เป็นเหล็กแผ่นบางต่าง ๆ หรือเหล็กแผ่นขนาดใหญ่ที่ใช้ในอุตสาหกรรมหัวไก่เหล็กกล้าชนิดนี้จะมีความแข็งแรงน้อย เหนียว และแบปรูปได้ง่าย ใช้กับงานที่ไม่ต้องการความแข็งแรงสูง



ภาพที่ 4.1 ตัวอย่างของเหล็กที่ใช้ในการทดลอง

4.1.1 คุณสมบัติของวัสดุที่ใช้ในงานวิจัย

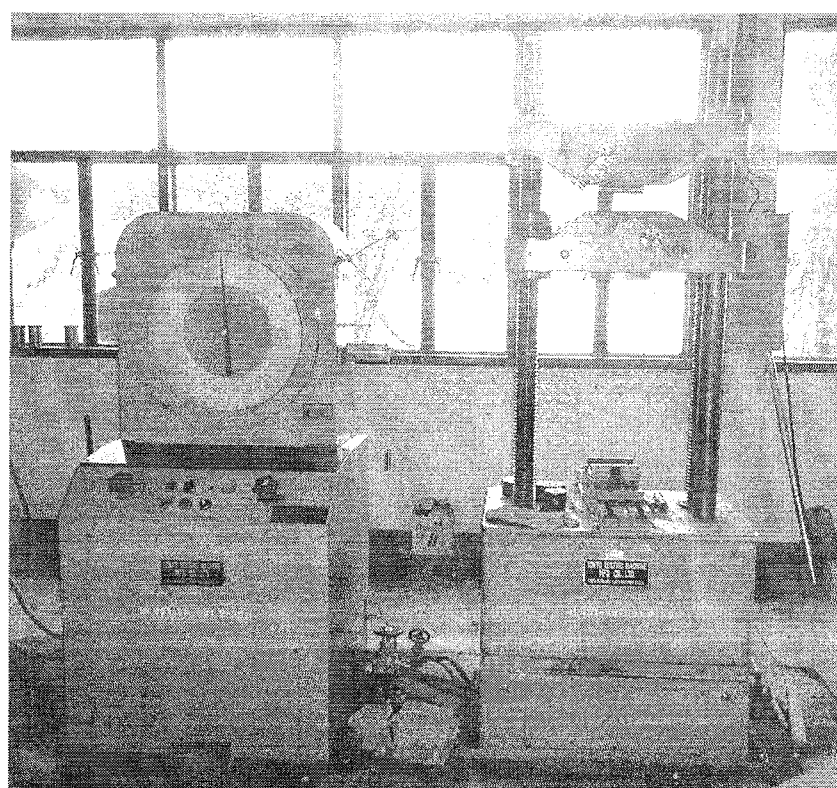
ก่อนที่จะนำเหล็กไปทำการทดลองเชื่อมนั้น ต้องนำเหล็กไปทดสอบเพื่อหาส่วนประกอบทางเคมี ด้วยเครื่อง Emission Spectrometer รุ่น ARL 3460 Fisons Instruments ดังแสดงในภาพที่ 4.2 โดยใช้มาตรฐานของระบบ AISI (American Iron and Steel Institute) เพื่อตรวจหาส่วนประกอบทางเคมี



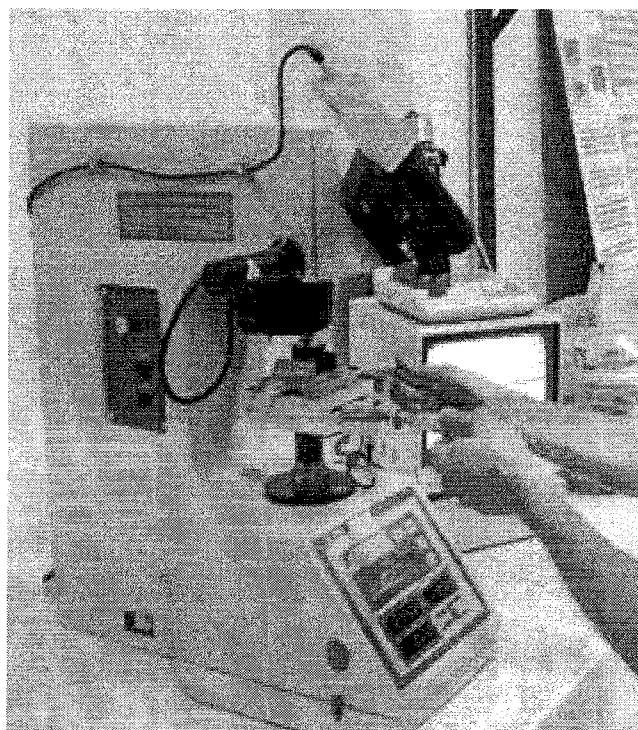
ภาพที่ 4.2 เครื่อง Spectrometer ที่ใช้ในการวิเคราะห์หาส่วนประกอบทางเคมีของเหล็กที่ใช้ในการทดลอง

4.1.2 การทดสอบคุณสมบัติเชิงกลของวัสดุ

ก่อนการนำเหล็กไปทำการเชื่อมด้วยความเสียดทานนั้น ต้องทราบถึงคุณสมบัติเชิงกลของวัสดุนั้นก่อน ในงานวิจัยนี้ทำการหาคุณสมบัติเชิงกลของวัสดุด้วยวิธีการนำเหล็กที่ใช้ในงานวิจัยไปทดสอบหาค่าความแข็งแรง โดยใช้เครื่องทดสอบค่าความแข็งแรง ยี่ห้อ Torsac รุ่น ACR – 200 – 30 P ผลิตโดย Tokyo Testing Machine MFG Co., LTD. ดังแสดงในภาพที่ 4.3 และทำการทดสอบหาค่าความแข็ง โดยใช้เครื่อง Micro Hardness Test ยี่ห้อ Multitoyo รุ่น MVK-H1 ดังแสดงในภาพที่ 4.4



ภาพที่ 4.3 เครื่องทดสอบค่าความแข็งแรงของชิ้นงานเข็ม



ภาพที่ 4.4 เครื่องวัดความแข็ง ปั๊ห้อ Multitoyo รุ่น MVK-H1 Micro Hardness Test

4.2 การกำหนดเงื่อนไขในการทดสอบ

ในการกำหนดเงื่อนไขในการทดสอบนั้น จากตัวแปรที่กล่าวไว้ในข้อที่ 2.1.2 พบว่ามีตัวแปรต่างๆที่มีผลต่อการเขื่อมด้วยความเสียดทานอยู่มาก แต่ในงานวิจัยนี้ได้ทำการศึกษาถึงตัวแปรต่างๆ ในเบื้องต้นเท่านั้น โดยมีรายละเอียดของการศึกษาดังนี้

4.2.1 การกำหนดแรงดันในการเสียดทาน (Friction Pressure)

ในการกำหนดตัวแปรของแรงดันในการเสียดทานนั้น จากการศึกษางานวิจัยที่เกี่ยวข้อง และเปรียบเทียบกับความสามารถของเครื่องเขื่อมด้วยความเสียดทานที่สร้าง และพัฒนาขึ้นมาใหม่ จึงได้กำหนดเงื่อนไขของตัวแปรในการใช้แรงดันในการเสียดทานเป็น 7 ช่วง คือ 10, 15, 20, 25, 30, 35 และ 40 Bar เป็นเงื่อนไขเบื้องต้นในการทดสอบ เพื่อต้องการหาค่าแรงดันในการเสียดทานที่ให้ค่าความแข็งแรงที่สุดใน 7 ช่วงที่ทำการทดสอบ ในส่วนของตัวแปรอื่น ๆ ได้กำหนดให้เป็นค่าคงที่คือ เวลาในการเสียดทาน (Friction Time) ที่ 9 Sec.[2] แรงดันในการอัด (Upset Pressure) ที่ 60 Bar [3] เวลาในการอัด (Upset Time) ที่ 3 Sec.[5] และในส่วนของความเร็ว รอบในการหมุนของชิ้นงาน (Rotational Speed) นั้นกำหนดจากประสิทธิภาพของเครื่องเขื่อมด้วยความเสียดทานที่สร้างโดยเครื่องสามารถทำความเร็วในการหมุนได้สูงสุดที่ 1,200 rpm จึงกำหนดให้เป็นค่าคงที่ และในการทดสอบเรื่อมในแต่ละช่วงของตัวแปรนั้น จะทำการเขื่อมชิ้นงานจำนวน 3 ชิ้นงาน ในของแต่ละช่วงตัวแปร

4.2.2 การกำหนดเวลาในการเสียดทาน (Friction Time)

ในการกำหนดเวลาในการเสียดทานนั้น จากผลที่ได้จากการทดสอบในข้อที่ 4.2.1 จะได้ตัวแปรของแรงดันในการเสียดทานที่ดีที่สุด ซึ่งจะนำมากำหนดให้เป็นตัวแปรคงที่ และการกำหนดเวลาในการเสียดทานอาศัยหลักการเข่นเดียวกันกับข้อที่ 4.2.1 โดยกำหนดเงื่อนไขของตัวแปรในการใช้เวลาในการเสียดทานเป็น 5 ช่วง คือ 7, 9, 11, 13 และ 15 Sec. เป็นเงื่อนไขเบื้องต้นในการทดสอบ ในส่วนของตัวแปรอื่น ๆ ได้กำหนดให้เป็นค่าคงที่เหมือนกันคือ แรงดันในการอัด (Upset Pressure) ที่ 60 Bar เวลาในการอัด (Upset Time) ที่ 3 Sec. และความเร็วรอบในการหมุนของชิ้นงาน (Rotational Speed) ที่ 1,200 rpm และนำผลที่ดีที่สุดจากทดสอบหาค่าความแข็งแรงที่มากการเฉลี่ยของ 3 ชิ้นงาน ในแต่ละช่วงตัวแปรมากำหนดให้เป็นตัวแปรคงที่

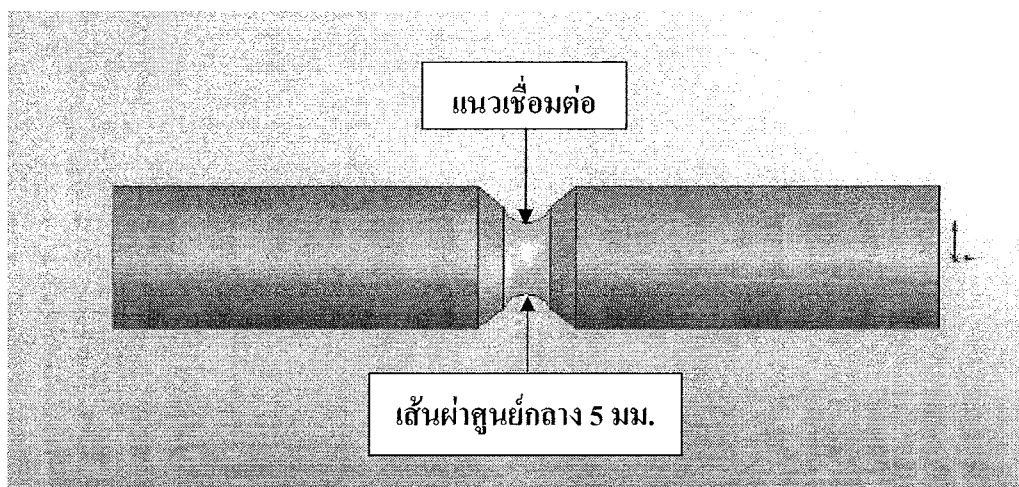
4.2.3 การกำหนดเงื่อนไขในการทดสอบจากตัวแปรคงที่

จากการกำหนดช่วงแรงดันในการเสียดทานและเวลาในการเสียดทาน ขึ้นตอนในข้อที่ 4.2.1 และ 4.2.2 นั้นทำให้ทราบถึงเงื่อนไขในการเขื่อมที่เหมาะสมสำหรับทำการเขื่อมชิ้นงาน เพื่อนำไปวิเคราะห์โครงสร้างชุลภาคร่อไป

อนึ่งการศึกษาในส่วนนี้ถือเป็นการศึกษาในขั้นเบื้องต้น เนื่องจากความจริงแล้วยัง มีตัวแปรอื่นๆ ที่มีอิทธิพลต่อคุณภาพของรอยเชื่อมอย่างไรก็ตาม การศึกษาอิทธิพลของตัวแปรอื่นๆ ดังกล่าวไม่ได้อยู่ในขอบเขตของการศึกษานี้ และอาจเป็นประเด็นในการศึกษาต่อไปในอนาคต

4.2.4 การทดสอบความแข็งแรงของรอยเชื่อม

จากการทดลองเชื่อมชิ้นตามเงื่อนไขของแรงดันในการเสียดทานและเวลาในการเสียดทานนั้น ชิ้นงานที่ได้จากเงื่อนไขต่างๆ ของการเชื่อมทั้งสองเงื่อนไข และตัวแปรในช่วงต่างๆ ต้องนำมาทดสอบหาค่าความแข็งแรงของรอยเชื่อม เนื่องจากชิ้นเชื่อมที่เชื่อมความเสียดทานมีความแข็งแรงของรอยเชื่อมมากกว่าวัสดุเดิม เมื่อนำไปทดสอบหาค่าความแข็งแรงการขาดจากกันของชิ้นงานเชื่อม จะขาดจากกันบริเวณส่วนที่เป็นวัสดุเดิมเป็นผลให้เครื่องทดสอบค่าความแข็งแรงแสดงผลออกมานี่ค่าความแข็งแรงของวัสดุเดิมเท่านั้น ไม่สามารถแสดงค่าความแข็งแรงของรอยเชื่อมที่แท้จริงของมัน จึงต้องทำการแก้ไขโดยวิธีการนำชิ้นงานเชื่อมไปทำการกลึงบางกำหนดจุดขาดที่รอยเชื่อม ให้มีพื้นที่หน้าตัดที่จุดเชื่อมเล็กลงกว่าชิ้นงานเดิม โดยทำการกลึงบางลงให้เหลือขนาดเส้นผ่าศูนย์กลางเท่ากับ 5 mm. ดังแสดงในภาพที่ 4.5



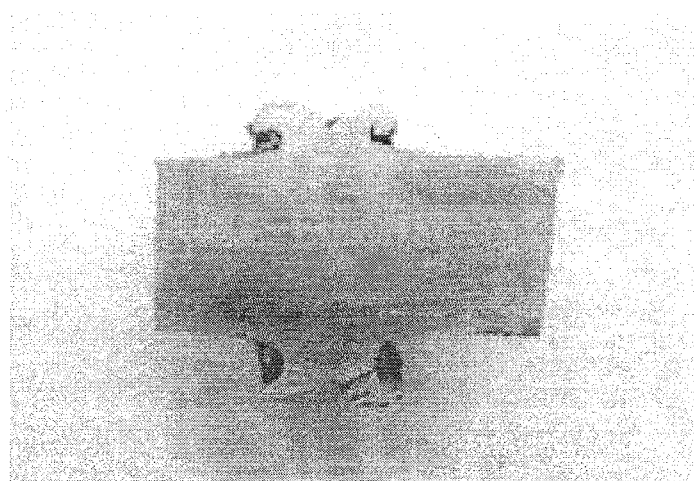
ภาพที่ 4.5 แบบชิ้นงานที่นำไปกลึงบาง

4.3 การทดสอบวัสดุที่ได้จากการทดลอง

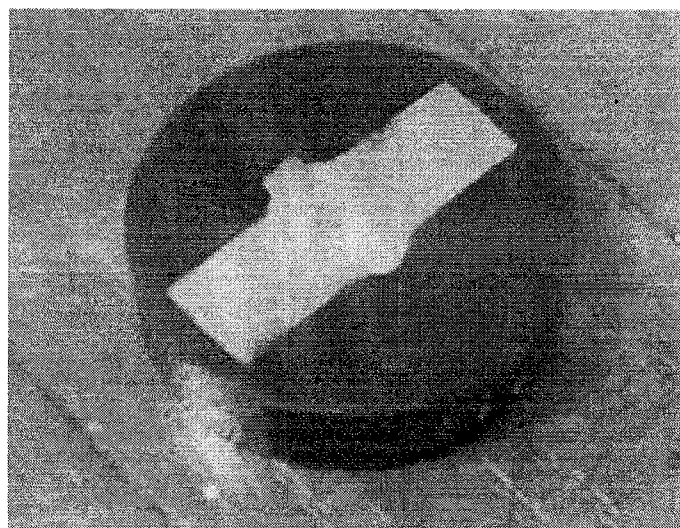
จากการทดลองหาเงื่อนไขที่เหมาะสมสำหรับการเชื่อมตามเงื่อนไขที่กำหนด โดยการเปรียบเทียบจากผลของค่าความแข็งแรง จากนั้นจึงนำชิ้นงานเชื่อมตามเงื่อนไขดังกล่าว มาทดสอบหาค่าความแข็งของรอยเชื่อม โดยการศึกษาวิจัยนี้ใช้วัดความแข็งแบบ Vickers Hardness (HV) เนื่องจากบริเวณรอยเชื่อมมีขนาดเล็ก โดยมีรายละเอียดของวิธีการศึกษาดังนี้

4.3.1 การเตรียมชิ้นงานและการขึ้นตัวเรือน (Mounting)

เพื่อการขับยึดที่มั่นคงและป้องกันการผิดพลาดในการทดลองของชิ้นงานทดสอบ จะต้องเตรียมชิ้นงานก่อนการทดสอบด้วยการนำชิ้นงานไปขึ้นตัวเรือนเสียก่อน ซึ่งการเตรียมชิ้นงาน ก่อนการขึ้นตัวเรือนนี้ต้องนำชิ้นงานที่เชื่อมด้วยความเสียดทานตามเงื่อนไขที่กำหนดดังกล่าว มาตัดเอาเฉพาะส่วนที่ต้องการนำไปวิเคราะห์ โดยชิ้นงานต้องมีความยาวไม่เกิน 30 mm. ดังแสดงในภาพที่ 4.6 ก่อนการนำชิ้นงานมาขึ้นตัวเรือน และในการขึ้นตัวเรือนของชิ้นงานที่จะทำการวิเคราะห์ นี้จะขึ้นตัวเรือนด้วย เรซินฟินอล- ฟอร์มัลเดไฮด์ (Phenol-Formaldehyde) ซึ่งมีชื่อทางการค้าว่า เบคอลิเต้ (Backelite) ดังภาพที่ 4.7



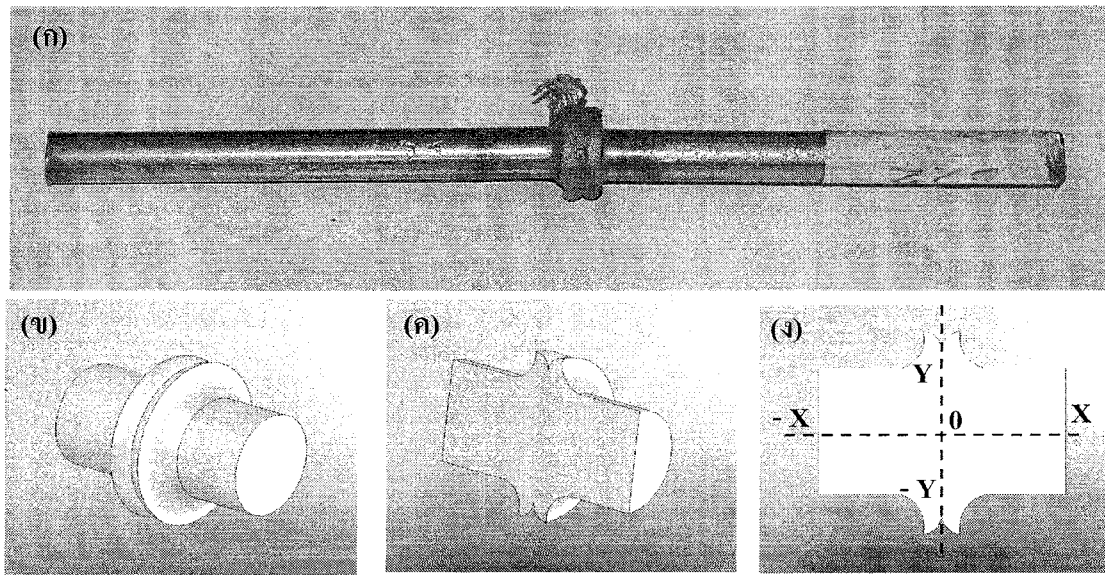
ภาพที่ 4.6 ชิ้นงานที่เตรียมก่อนการขึ้นตัวเรือน



ภาพที่ 4.7 ชิ้นงานที่ขึ้นตัวเรือนด้วย เรซินฟินอล- ฟอร์มัลเดไฮด์

4.3.2 การกำหนดจุดและการวัดค่าความแข็ง

ในการวัดค่าความแข็งของรอยเชื่อมนั้น จะทำการแบ่งชิ้นงานออกเป็นสองด้านดังแสดงในภาพที่ 4.8 โดยในตำแหน่งที่ $X = 0$ (แกน Y) นั้นเป็นตำแหน่งกึ่งกลาง ซึ่งเป็นตำแหน่งที่เหล็กหัก 2 แท่ง เสียดสีและเชื่อมต่อกัน ใน การวัดความแข็งจะทำการวัดความแข็งตามแกน X (ดูภาพที่ 4.8 (ง)) โดยวัดห่างจากแกน $X = 0$ ไปทางด้านขวา (เรียกว่า X) จุดละ 0.5 mm. และวัดห่างจากแกน $X = 0$ ไปทางด้านซ้าย (เรียกว่า -X) ห่างจากแกน $X = 0$ ไปจุดละ 0.5 mm. เช่นกัน โดยความแข็งที่วัดได้ตามแกน X เป็นความแข็งของแท่งเหล็กส่วนที่หมุน ส่วนความแข็งที่วัดได้ตามแกน -X เป็นความแข็งของแท่งเหล็กส่วนที่บิดอยู่กับที่ ซึ่งจะได้แสดงขั้นตอนและวิธีดังแสดงในภาพที่ 4.8 คือ นำชิ้นงานที่เชื่อมด้วยความเสียดทานดังภาพที่ 4.8 (ก) มาทำการตัดเอาเฉพาะส่วนที่เชื่อมต่อกันความยาว 20 mm. ดังภาพที่ 4.8 (ข) จากนั้นนำมาผ่าครึ่งด้วยวิธีการเลื่อยให้ขาดจากกัน เพื่อไม่ให้ความร้อนจากการตัดมีผลกระแทกับโครงสร้างของรอยเชื่อม ที่จะทำการวิเคราะห์ดังภาพที่ 4.8 (ค) ในขั้นตอนการวัดหาค่าความแข็งของชิ้นงานนั้นจะทำการวัดความแข็งในแนวแกน X ดังภาพที่ 4.8 (ง)



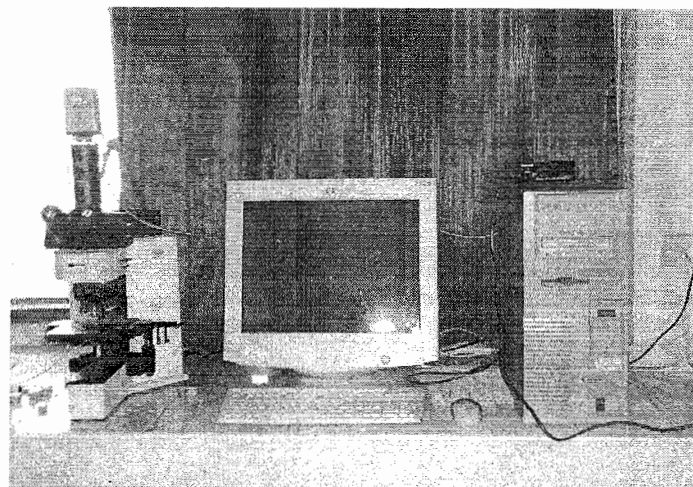
ภาพที่ 4.8 (ก) ชิ้นงานที่ได้จากการเชื่อมด้วยความเสียดทาน (ข) แบบของชิ้นงานที่ตัดเฉพาะส่วนของแนวเชื่อมต่อ (ค) แบบของชิ้นงานที่ผ่าครึ่ง (ง) แบบของชิ้นงานผ่าครึ่งที่กำหนดแนวทดสอบค่าความแข็ง

4.3.3 การวิเคราะห์โครงสร้างจุลภาค

นอกจากการวัดความแข็งของรอยเชื่อมแล้ว ยังทำการศึกษาโครงสร้างจุลภาคของรอยเชื่อมอีกด้วย โดยนำชิ้นงานเชื่อมมาทำการขันตัวเรือนแล้วนำมาขัดให้ผิวน้ำชิ้นงาน เพื่อกำจัดรอยปีกบ่วนหรือร่องรอยที่เกิดจากการตัด และทำการขัดตามกระบวนการ stereolithography และหมายถม

ที่จะนำไปกัดขึ้นรองด้วยไนตอล (กรดไนตริก 2 ml. และเอทานอลหรือเมทานอล 98 ml.) โดยใช้ระยะเวลาในการกัดขึ้นรอย 2 ถึง 3 Sec. จากนั้นนำชิ้นงานที่กัดให้เกิดรอยไปถ่ายภาพด้วยกล้องชุลทรรศน์ ดังแสดงในภาพที่ 4.9

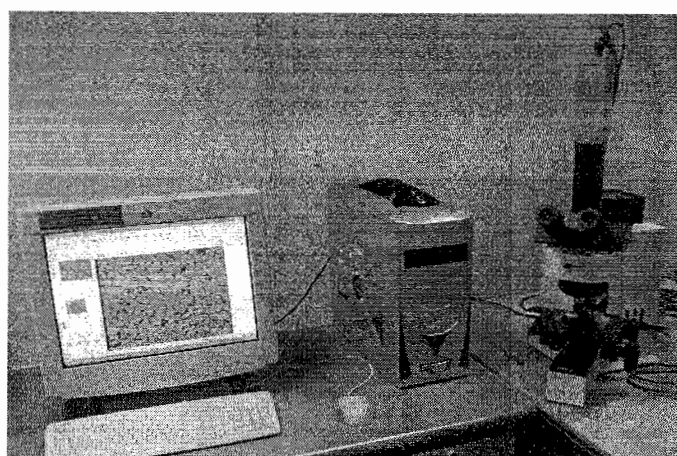
อนึ่งในการถ่ายภาพของเกรนและเฟสที่เกิดขึ้นบริเวณแนวเชื่อม จะทำการถ่ายภาพด้วยกล้องชุลทรรศน์ที่ตำแหน่งกึ่งกลาง ($X = 0$) และที่จุดต่างๆทุกๆระยะ 0.5 mm. ไปทาง X และ -X



ภาพที่ 4.9 กล้องชุลทรรศน์ และอุปกรณ์คอมพิวเตอร์ที่ใช้ในการส่องคูโกรงสร้างของชิ้นงาน และถ่ายภาพเพื่อนำไปใช้ในการวิเคราะห์ผล

4.3.4 การวิเคราะห์ด้วยเครื่อง Image Analyser

จากการถ่ายที่ได้ในระยะต่างๆจากข้อที่ 4.3.3 จะต้องนำภาพที่ได้มามาทำการวิเคราะห์ด้วยเครื่อง Image Analyser ดังภาพที่ 4.10 เพื่อทำการวิเคราะห์หาปริมาณความแตกต่างของเฟส และขนาดของเกรน (G number) ที่เกิดขึ้นบริเวณแนวเชื่อม



ภาพที่ 4.10 เครื่องวิเคราะห์โครงสร้าง ยี่ห้อ Olympus รุ่น Olysys M3

บทที่ 5

ผลการทดสอบและวิเคราะห์ผล

ในบทนี้จะกล่าวถึงผลที่ได้จากการทดสอบโดยเรียงตามลำดับขั้นตอนของวิธีการทดสอบ ซึ่งประกอบด้วย การทดสอบหาส่วนประกอบทางเคมีของเหล็กที่ใช้ในการทดสอบ ผลการทดสอบเหล็กที่ใช้ในการทดสอบ ผลการทดสอบหาตัวแปรที่เหมาะสมในการเชื่อมเหล็กกลมด้วยความเสียดทาน ผลการทดสอบหาค่าความแข็งแรงของเหล็กที่เชื่อมด้วยความเสียดทาน ผลการทดสอบหาค่าความแข็งของรอยเชื่อมที่เชื่อมด้วยความเสียดทาน ผลการวิเคราะห์โครงสร้างจุลภาคของรอยเชื่อมที่เชื่อมด้วยความเสียดทาน โดยมีรายละเอียดดังนี้

5.1 ผลการทดสอบวัสดุที่ใช้ในการทดสอบ

5.1.1 ผลทดสอบหาส่วนประกอบทางเคมี

การทดสอบหาส่วนประกอบทางเคมีของเหล็กครั้งนับอนตัวที่ใช้ในงานวิจัยนี้ โดยนำชิ้นเหล็กจำนวน 5 ชิ้น มาวิเคราะห์หาส่วนประกอบทางเคมีด้วยเครื่อง Spectrometer ตามมาตรฐานของระบบ AISI (American Iron and Steel Institute) ผลที่ได้จากการเฉลี่ยพบว่าเป็นเหล็กชนิด AISI 1015 โดยมีส่วนประกอบต่าง ๆ ดังแสดงในตารางที่ 5.1

ตารางที่ 5.1 ส่วนประกอบทางเคมีของเหล็กที่ใช้ในการทดสอบ

ขั้นที่	% C2	% Si1	% S	% P1	% Mn3	% Ni2	% Cr1
1	0.15590	0.17402	0.01375	0.02847	0.46780	0.00617	0.01082
2	0.13035	0.13647	0.01775	0.01488	0.37647	0.01474	0.02309
3	0.17312	0.14025	0.01968	0.01597	0.36705	0.01516	0.02017
4	0.14193	0.16924	0.02364	0.02302	0.44068	0.00800	0.01261
5	0.13192	0.14995	0.02163	0.02416	0.41221	0.00875	0.01091
เฉลี่ย	0.14664	0.15399	0.01929	0.02130	0.41284	0.01056	0.01552

ตารางที่ 5.1 ส่วนประกอบทางเคมีของเหล็กที่ใช้ในการทดสอบ (ต่อ)

ชั้นที่	% Mo2	% V3	% Cu5	% W	% Ti4	% Sn2	% Co1
1	0.00294	0.00047	0.00373	0.00153	0.00035	0.00098	0.00307
2	0.00362	0.00111	0.00696	0.00202	0.00016	0.00125	0.00445
3	0.00205	0.00091	0.06503	0.00118	0.00020	0.00105	0.00427
4	0.00404	0.00277	0.11376	0.00502	0.00052	0.00176	0.00414
5	0.00209	0.00081	0.07190	0.00230	0.00018	0.00117	0.00356
เฉลี่ย	0.00295	0.00121	0.05228	0.00241	0.00028	0.00124	0.00390

ชั้นที่	% AL7	% Ph6	% B1	% Nb	% Zn5	% N1	% FE
1	0.00133	-0.00023	0.00004	-0.00039	-0.00011	-0.00253	99.13190
2	0.00058	0.00156	0.00011	0.00189	0.00101	-0.00452	99.26600
3	0.00275	0.00005	0.00012	0.00105	0.00055	0.01294	99.15650
4	0.00428	0.00459	0.00027	0.00593	0.00341	0.03999	98.99040
5	0.00112	-0.00006	0.00014	0.00087	0.00048	0.00129	99.15460
เฉลี่ย	0.00201	0.00118	0.00014	0.00187	0.00107	0.00943	99.13988

จากตารางส่วนประกอบทางเคมีของเหล็กที่ใช้ในการทดสอบ จะพบว่าปริมาณคาร์บอน (C2) ที่ได้จากชิ้นงานทดสอบทั้ง 5 ชิ้นงานนั้น มีเปอร์เซ็นต์คาร์บอนอยู่ในช่วง 0.13192 - 0.17312 % เมื่อนำผลที่ได้มาเฉลี่ยพบว่ามีปริมาณคาร์บอน 0.14664 % และเมื่อนำมาเทียบตามมาตรฐานของระบบ AISI พบว่าเป็นเหล็กชนิด AISI 1015

5.1.2 ผลการทดสอบหาคุณสมบัติเชิงกลของเหล็กที่ใช้ในการทดลอง

การทดสอบหาคุณสมบัติเชิงกลของเหล็กที่ใช้ในงานวิจัยนี้ ได้แบ่งการทำการทดสอบออกเป็น 2 ส่วน โดยมีรายละเอียดดังต่อไปนี้

5.1.2.1 ผลการทดสอบหาค่าความแข็งแรง (Tensile Strength Test)

ในการทดสอบหาค่าความแข็งแรงของเหล็กที่จะใช้ในการทดลอง เชื่อมด้วยความเสียดทานนั้น ต้องนำเหล็กที่จะใช้ในการทดสอบมากลึงออกให้เหลือเส้นผ่าศูนย์กลาง 5 mm. จากนั้นนำมาทดสอบหาค่าความแข็งแรงจำนวน 3 ชิ้น ผลที่ได้นำมาเฉลี่ยตั้งแสดงในตารางที่ 5.2

ตารางที่ 5.2 ผลการทดสอบค่าความแข็งแรงของเหล็กที่ใช้ในการทดลอง

ตัวอย่างที่	ชิ้นที่ 1	ชิ้นที่ 2	ชิ้นที่ 3	ค่าเฉลี่ย
ค่าความแข็งแรง (Tensile Strength, MPa)	790	770	780	780

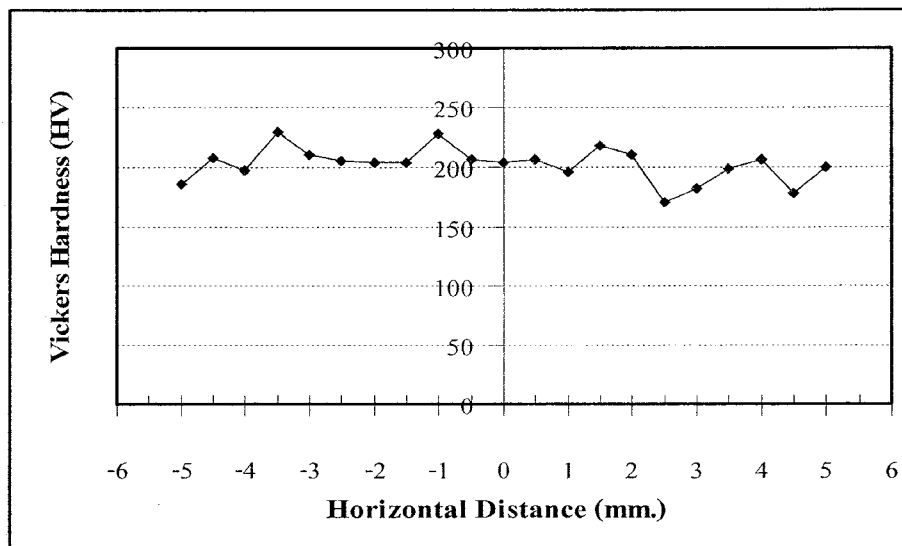
จากตารางแสดงผลการทดสอบค่าความแข็งแรงของเหล็กที่ใช้ในการทดลองจะพบว่าผลที่ได้จากการทดสอบมีแนวโน้มใกล้เคียงกัน โดยมีค่าเฉลี่ยที่ 780 MPa

5.1.2.2 ผลการทดสอบหาค่าความแข็ง Vickers Hardness (HV)

การทดสอบค่าความแข็งของเหล็กก่อนการนำมายึดติดในกระบวนการน้ำยาจะนำเหล็กมาผ่าและนำไปบนตัวเรือน เพื่อที่จะนำมากดด้วยเครื่องวัดความแข็ง โดยทำการวัดค่าความแข็งในแนวแกน X ดังตัวอย่างในภาพที่ 4.8 ผลที่ได้ทั้งหมดนำมาเฉลี่ย ดังตารางที่ 5.3 และภาพที่ 5.1

ตารางที่ 5.3 ผลการทดสอบค่าความแข็งของเหล็กที่ใช้ในการทดลอง

ระยะของจุดกด	-5	-4.5	-4	-3.5	-3	-2.5	-2	-1.5	-1	-0.5	0
ค่าความแข็ง (HV)	186	208	198	230	210	205	204	204	229	207	204
ระยะของจุดกด	0.5	1	1.5	2	2.5	3	3.5	4	4.5	5	-
ค่าความแข็ง (HV)	206	196	218	210	170	183	199	207	179	199	-
ค่าความแข็งเฉลี่ย	202 HV										



ภาพที่ 5.1 กราฟแสดงค่าความแข็งในแนวแกน X ที่จุดต่างๆของเหล็กที่จะนำไปทดลองเชื่อมด้วยความเสียดทาน

จากตารางและภาพที่กล่าวมา เมื่อทำการวัดค่าความแข็งของเหล็กเดิม ก่อนที่จะนำไปทดสอบเชื่อมด้วยความเสียดทาน ด้วยการวัดหาค่าความแข็งหั้งหมุด 21 จุด โดยแต่ละ จุดห่างกัน 0.5 mm. พบว่าค่าความแข็งที่ได้จากการเฉลี่ยมีค่าเท่ากับ 202 HV

5.1.3 ผลการวิเคราะห์โครงสร้างจุลภาค

การวิเคราะห์โครงสร้างจุลภาคจากชิ้นงานเดิมที่ขึ้นตัวเรือนและผ่านกระบวนการ ขัดมันกัดกรด จากนั้นนำมาถ่ายภาพโครงสร้างจุลภาคด้วยเครื่องถ่ายภาพดังแสดงในภาพที่ 4.9 เพื่อที่จะนำมารวิเคราะห์หาปริมาณของเฟส Pearlite และ Ferrite ด้วยเครื่องวิเคราะห์โครงสร้างดัง แสดงในภาพที่ 4.10 จากการวิเคราะห์ทั้ง 10 ภาพ โดยแต่ละภาพถ่ายห่างกันภาพละ 0.5 mm. พบว่า ชิ้นเหล็กเดิมมีปริมาณโดยเฉลี่ยของ Pearlite 10.39 % และ Ferrite 89.62 % ดังแสดงในตารางที่ 5.4

ตารางที่ 5.4 ตารางผลการวัดปริมาณเฟส Pearlite และ Ferrite

ตารางผลการวัดปริมาณเฟส Pearlite และ Ferrite ของเหล็กเดิมด้วยการวัดในแนวแกน X											
Base Iron	0	0.5	1	1.5	2	2.5	3	3.5	4	4.5	ค่าเฉลี่ย
% Pearlite	10.15	10.38	10.24	10.51	10.83	10.66	10.22	10.08	10.05	10.73	10.39
% Ferrite	89.85	89.62	89.76	89.49	89.17	89.34	89.78	89.92	89.95	89.27	89.62

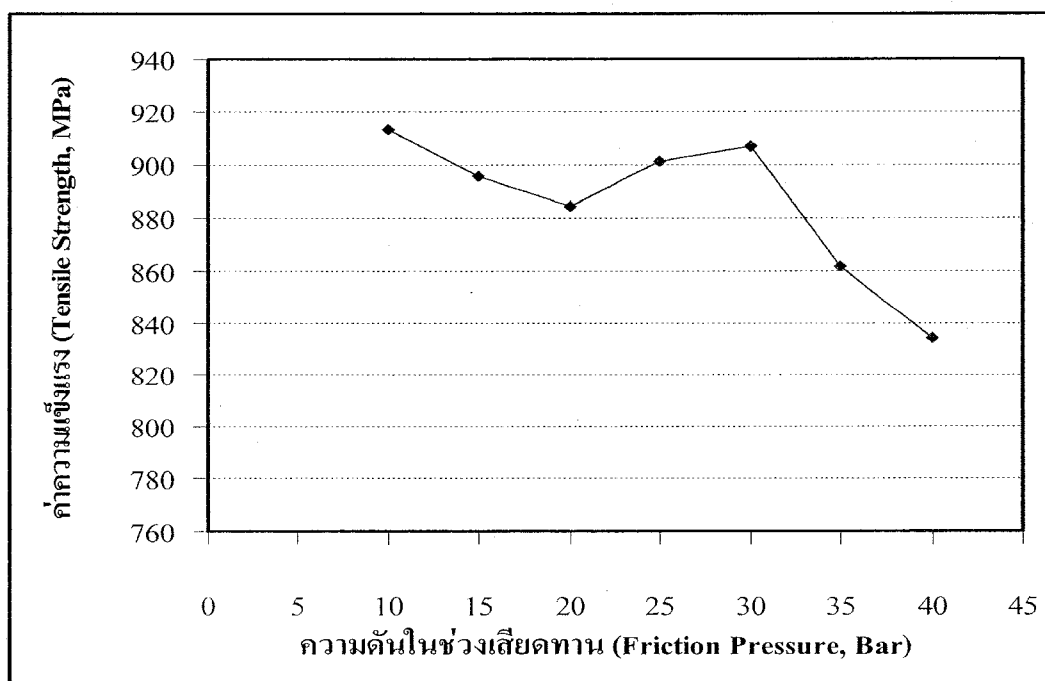
5.2 แรงดันในการเสียดทานและเวลาในการเสียดทานที่เหมาะสมในการทดสอบ

5.2.1 แรงดันในการเสียดทาน

ในงานวิจัยนี้ได้นำชิ้นงานมาทดสอบเชื่อมตามขบวนการที่ได้อธิบายมาแล้วในข้อที่ 4.2.1 โดยในขั้นแรกได้ทำการศึกษาอิทธิพลของแรงดันในการเสียดทาน โดยทำการเชื่อมชิ้นงานที่ แรงดันในการเสียดทานจาก 10 – 40 Bar และปรับเปลี่ยนแรงดันทุกๆ 5 Bar ในขณะที่เงื่อนไขอื่นๆ คงที่แล้วนำชิ้นงานมาทดสอบหาค่าความแข็งแรงดังที่ได้อธิบายมาแล้ว ผลการทดสอบดังตารางที่ 5.5 และนำมาเขียนเป็นกราฟได้ดังภาพที่ 5.2 จากผลการทดสอบในตารางที่ 5.5 และภาพที่ 5.2 จะเห็นว่า เมื่อใช้แรงดันเสียดทานในการเชื่อมสูงขึ้น ค่าความแข็งแรงของชิ้นงานที่ได้มีแนวโน้มลดลง ทั้งนี้อาจเนื่องมาจากเมื่อใช้แรงดันในการเสียดทานมากไปร้อยเชื่อมอาจได้รับความร้อนมากขึ้น ทำให้โครงสร้างอ่อนตัวและความแข็งแรงลดลง จากผลการทดสอบพบว่าที่แรงดันในการเสียดทาน 10 Bar เป็นแรงดันในการเสียดทานที่ทำให้รอยเชื่อมมีค่าความแข็งแรงสูงสุด

ตารางที่ 5.5 ผลการทดลองหาค่าความแข็งแรงของชิ้นงานที่เชื่อมด้วยความเสียดทานภายใต้แรงดันในการเสียดทานต่างๆ

ตัวอย่างที่ (Trial no.)	แรงดันเสียดทาน (Friction Pressure) (Bar)	เวลาเสียดทาน (Friction Time) (Sec)	ค่าความแข็งแรงแต่ละชิ้นงาน (Tensile Strength, MPa)			ความแข็งแรงเฉลี่ย (Tensile Strength) (MPa)
			ชิ้นที่ 1	ชิ้นที่ 2	ชิ้นที่ 3	
1	10	9	910	910	920	913
2	15	9	895	900	892	896
3	20	9	880	885	890	885
4	25	9	900	905	900	901
5	30	9	905	910	907	907
6	35	9	865	860	862	862
7	40	9	835	837	830	834



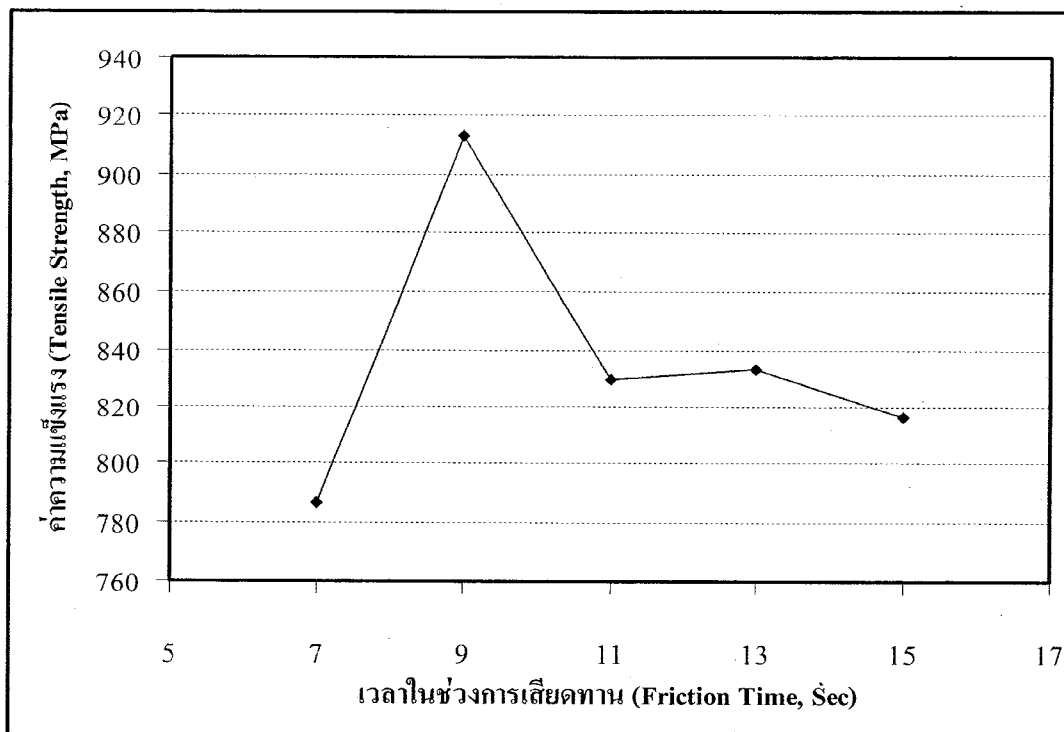
ภาพที่ 5.2 กราฟค่าความแข็งแรงของชิ้นงานที่เชื่อมภายใต้แรงดันในการเสียดทานในช่วงต่างๆ

5.2.2 เวลาในการเสียดทาน

หลังจากได้เงื่อนไขที่เหมาะสมของแรงดันในการเสียดทานแล้ว จึงได้นำเงื่อนไขนี้ มาทดสอบเวลาในการเสียดทานต่อไป โดยการนำชิ้นงานมาเข้ามายังไส้เดี่ยวแรงดันในการเสียดทาน 10 Bar และเข้ามายังไส้เดี่ยวเวลาเสียดทานต่างๆกันคือ 7, 9, 11, 13 และ 15 Sec. โดยให้ตัวแปรอื่นๆคงที่ ได้แก่ แรงดันอัด 60 Bar จากนั้นนำชิ้นงานที่เข้ามายังไส้เดี่ยวทดสอบหาค่าความแข็งแรง ผลที่ได้ แสดงในตารางที่ 5.6 และภาพที่ 5.3 จากข้อมูลในตารางที่ 5.6 และภาพที่ 5.3 จะเห็นว่าเวลาในการเสียดทานที่ให้ค่าความแข็งแรงของรอยเข้ามายังไส้เดี่ยวแรงดัน 10 Bar ที่เหมาะสมคือ 9 Sec. ซึ่งผลที่ได้นี้คล้ายคลึงกับงานวิจัยของ Sahin, M. [2] [15] หากให้เวลาในการเสียดทานสูงหรือน้อยกว่านี้ แนวโน้มความแข็งแรงของชิ้นงานเข้ามายังจะลดลง ดังนั้นจากการทดสอบภายในได้เงื่อนไขดังกล่าวอาจกล่าวได้ว่าเงื่อนไขที่เหมาะสมของ การเข้ามายังความเสียดทานสำหรับการศึกษานี้คือ ใช้แรงดันในการเสียดทาน 10 Bar เวลาในการเสียดทาน 9 Sec. แรงดันในการอัด 60 Bar เวลาในการอัด 3 Sec. และความเร็ว รอบของการเข้ามายัง 1,200 rpm

ตารางที่ 5.6 ผลการทดสอบหาค่าความแข็งแรงของชิ้นงานที่เข้ามายังความเสียดทานภายใต้เวลาในการเสียดทานต่างๆ

ตัวอย่างที่ (Trial no.)	แรงดันเสียดทาน (Bar)	เวลาเสียดทาน (Sec)	ค่าความแข็งแรงแต่ละชิ้นงาน (Tensile Strength, MPa)	ความแข็งแรงเฉลี่ย (Tensile Strength) (MPa)		
				ชิ้นที่ 1	ชิ้นที่ 2	ชิ้นที่ 3
1	10	7	800	770	790	786
2	10	9	900	900	940	913
3	10	11	780	840	870	830
4	10	13	810	830	860	833
5	10	15	800	820	830	816



ภาพที่ 5.3 กราฟค่าความแข็งแรงของชิ้นงานที่เชื่อมภายใต้เวลาในการเสียดทานในช่วงต่างๆ

5.3 ผลการทดสอบค่าความแข็งของรอยเชื่อม

5.3.1 ค่าความแข็งของรอยเชื่อมที่ค่าแรงดันในการเสียดทานแตกต่างกัน

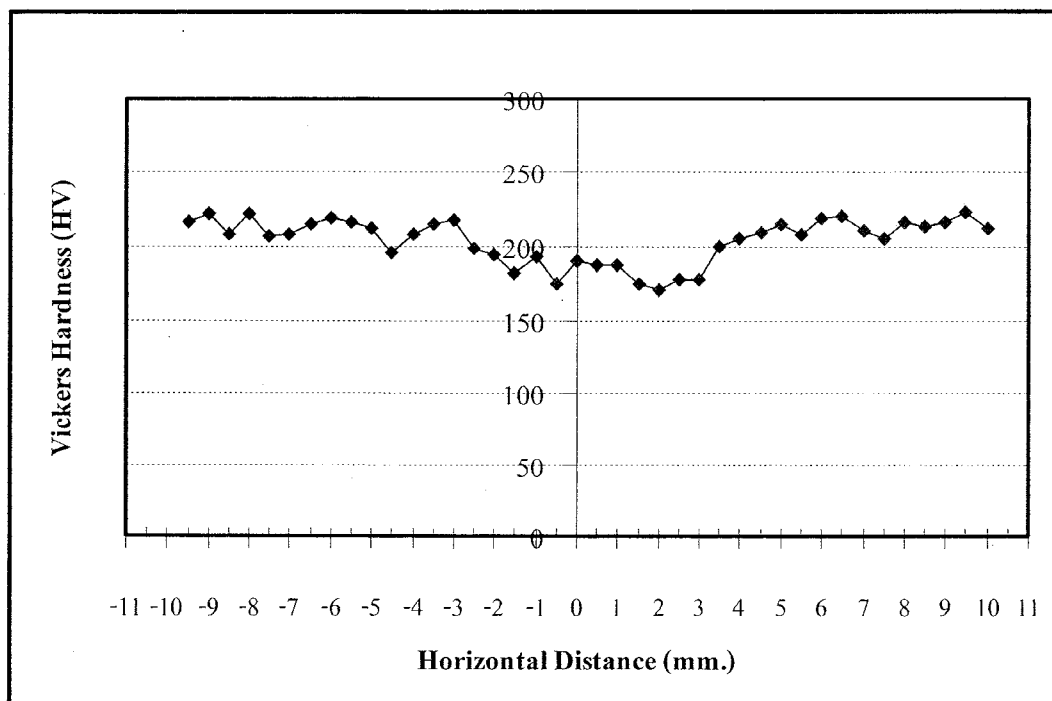
จากการทดสอบหาเงื่อนไขที่เหมาะสมในการเชื่อมด้วยความเสียดทานที่ผ่านมาในข้อที่ 5.2 ในงานวิจัยนี้ได้ทำการทดสอบหาค่าความแข็งของรอยเชื่อมด้วย โดยการนำชิ้นงานที่เชื่อมเงื่อนไขของแรงดันในการเสียดทานที่ 10, 15, 20, 25 และ 30 Bar เวลาในการเสียดทาน 9 Sec. แรงดันในการอัด 60 Bar เวลาในการอัด 3 Sec. และความเร็วในการหมุนชิ้นงานเชื่อม 1,200 rpm อย่างละ 1 ชิ้นงาน มาทำการทดสอบหาค่าความแข็งของรอยเชื่อมและผลของค่าความแข็งที่วัดได้จากชิ้นงานที่เชื่อมตามเงื่อนไขของแรงดันในการเสียดทานต่างๆแสดงไว้ในตารางที่ 5.7 และกราฟแสดงค่าความแข็งของชิ้นงานที่แรงดันในการเสียดทานต่างๆดังภาพที่ 5.4 – 5.9

จากราฟในภาพที่ 5.4 – 5.9 พบว่าความแข็งที่รอยเชื่อมที่เกิดจากเงื่อนไขในการเชื่อมที่แรงดันในการเสียดทานในช่วงต่างๆผลที่เกิดขึ้น กือ ค่าความแข็งที่สูดเชื่อมต่อมีค่าต่ำลงในทุกเงื่อนไขของการเชื่อมด้วยความเสียดทาน จึงต้องทำการวิเคราะห์ถึงสาเหตุที่เกิดขึ้นด้วยการไปวิเคราะห์ในด้านโครงสร้างจุลภาคต่อไป

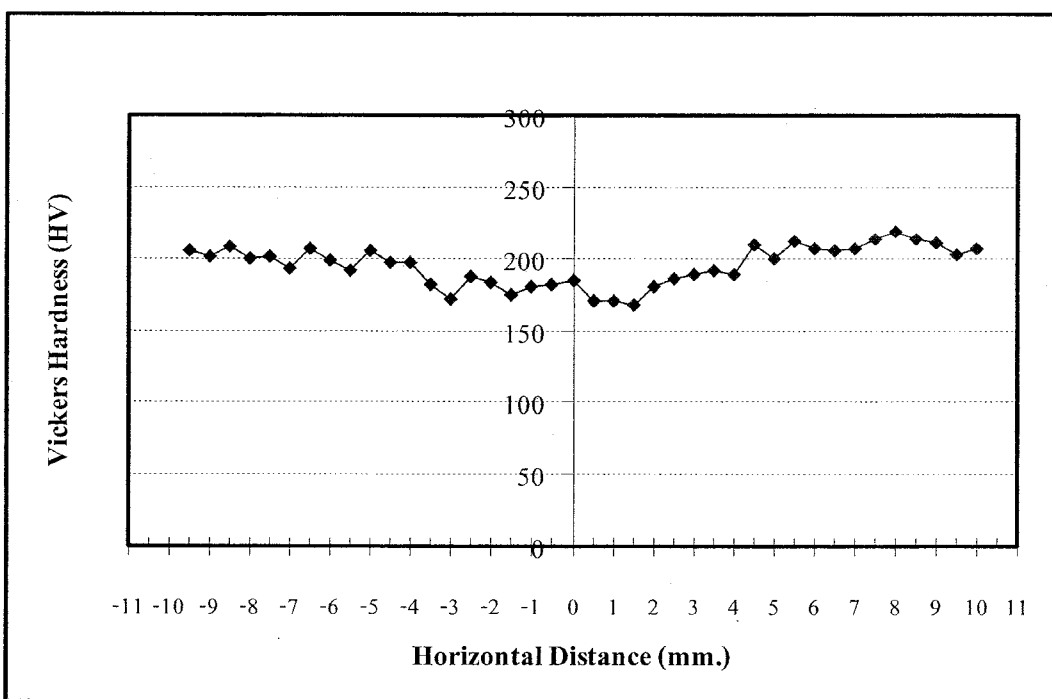
ตารางที่ 5.7 ค่าความแข็งที่เจือนไข้แรงดันการเสียดทานในช่วงต่างๆ เวลาการเสียดทาน 9 Sec.

แรงดันการอัด 60 Bar เวลาการอัด 3 Sec. ความเร็วหมุนชั้นงาน 1,200 rpm

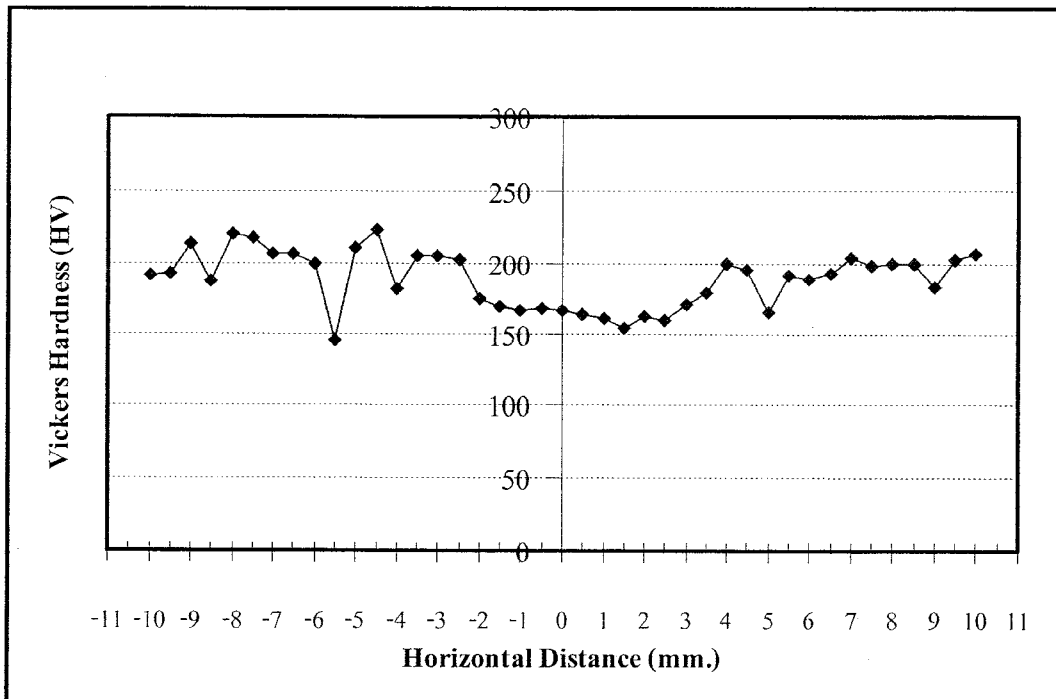
	+ X mm.	แรงดันเสียดทาน 10 Bar	แรงดันเสียดทาน 15 Bar	แรงดันเสียดทาน 20 Bar	แรงดันเสียดทาน 25 Bar	แรงดันเสียดทาน 30 Bar	- X mm.	แรงดันเสียดทาน 10 Bar	แรงดันเสียดทาน 15 Bar	แรงดันเสียดทาน 20 Bar	แรงดันเสียดทาน 25 Bar	แรงดันเสียดทาน 30 Bar
10	212	207	207	-	222	0	189	185	166	176	193	
9.5	224	202	202	-	221	-0.5	175	183	168	165	183	
9	216	212	183	-	217	-1	193	180	165	161	175	
8.5	213	214	200	-	218	-1.5	182	176	169	164	182	
8	215	219	200	-	220	-2	195	183	175	172	180	
7.5	205	214	198	215	224	-2.5	198	188	203	183	182	
7	210	206	204	205	221	-3	217	172	206	194	194	
6.5	221	206	193	190	215	-3.5	214	181	205	191	202	
6	219	207	188	201	223	-4	207	197	182	191	200	
5.5	208	212	192	208	219	-4.5	195	197	223	195	195	
5	214	201	165	205	226	-5	212	206	210	212	215	
4.5	209	209	195	198	208	-5.5	216	192	145	199	203	
4	205	189	199	199	216	-6	219	199	200	198	204	
3.5	200	192	179	193	206	-6.5	214	207	207	209	201	
3	178	189	171	200	221	-7	208	193	207	203	201	
2.5	178	186	159	186	213	-7.5	207	201	218	220	202	
2	171	181	162	182	196	-8	221	200	220	-	223	
1.5	175	168	154	177	190	-8.5	208	208	186	-	213	
1	187	171	160	185	183	-9	221	201	214	-	224	
0.5	187	171	163	181	180	-9.5	215	205	193	-	219	
0	189	185	166	176	193	-10	-	-	192	-	207	



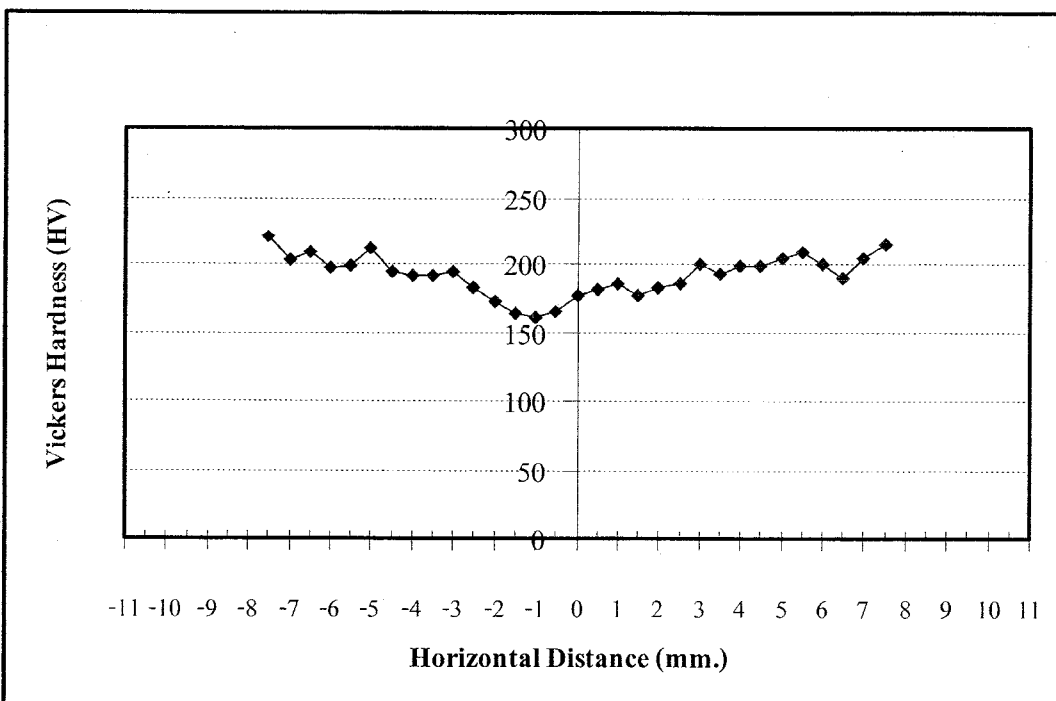
ภาพที่ 5.4 กราฟค่าความแข็งของรอยเชื่อมที่แรงดันในการเสียดทาน 10 Bar



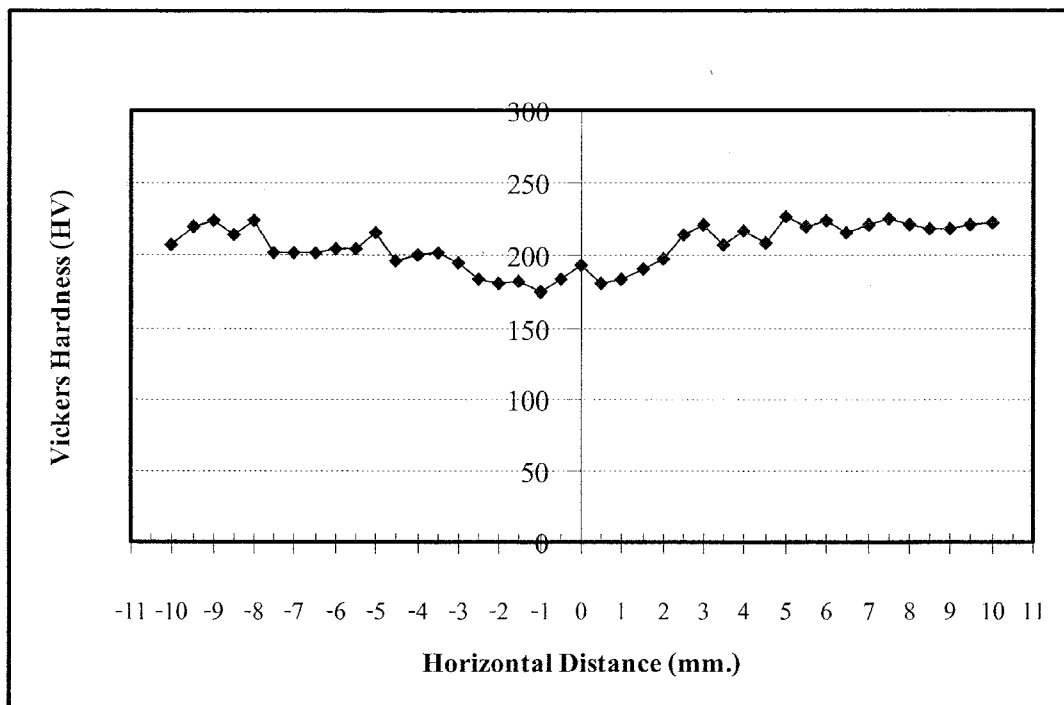
ภาพที่ 5.5 กราฟค่าความแข็งของรอยเชื่อมที่แรงดันในการเสียดทาน 15 Bar



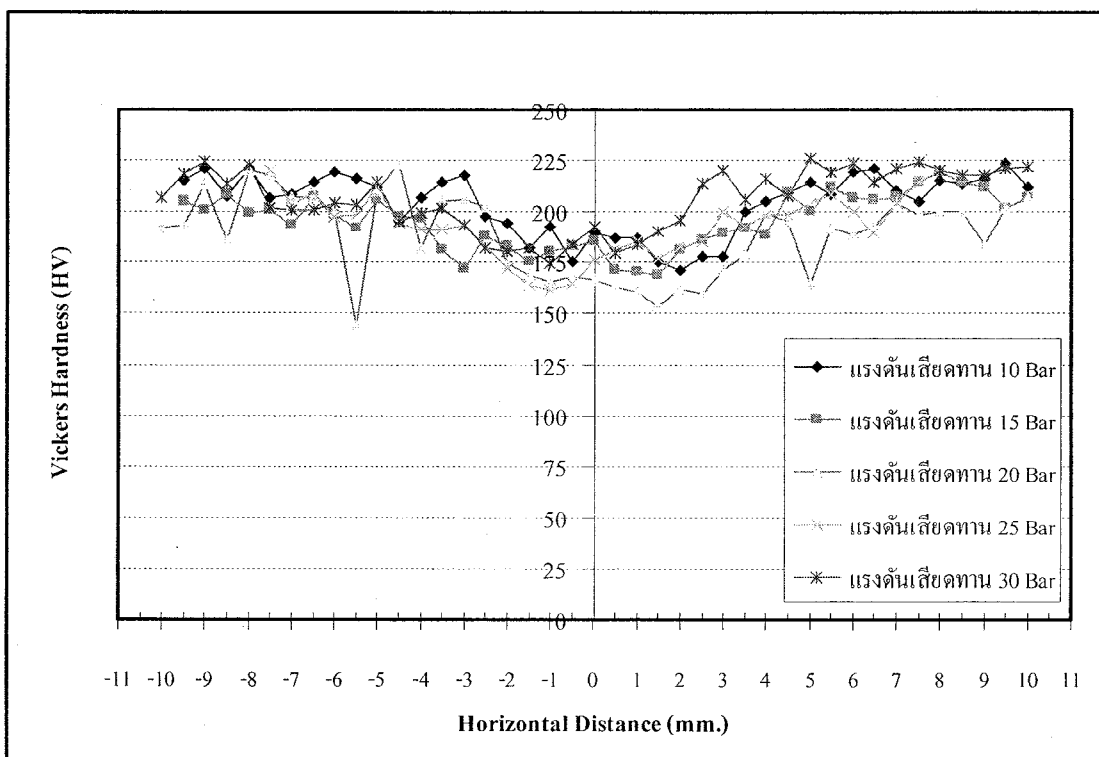
ภาพที่ 5.6 กราฟค่าความแข็งของรอยเชื่อมที่แรงดันในการเดี่ยดทาน 20 Bar



ภาพที่ 5.7 กราฟค่าความแข็งของรอยเชื่อมที่แรงดันในการเดี่ยดทาน 25 Bar



ภาพที่ 5.8 กราฟค่าความแข็งของรอยเชื่อมที่แรงดันในการเสียดทาน 30 Bar



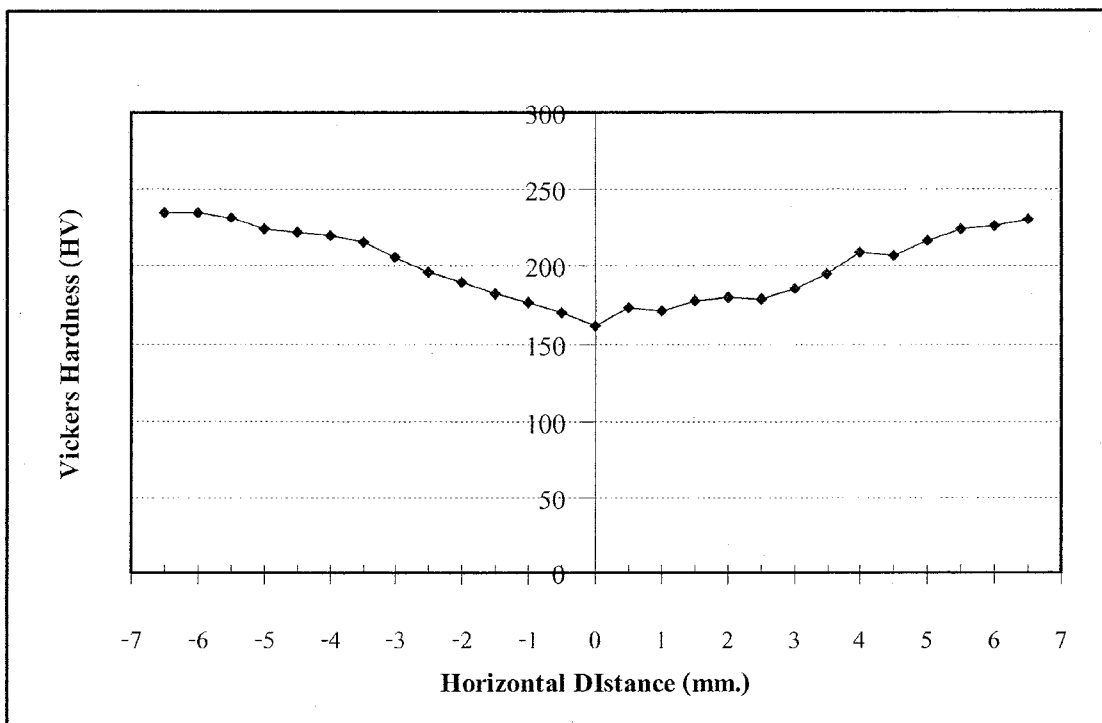
ภาพที่ 5.9 กราฟค่าความแข็งของรอยเชื่อมที่แรงดันในการเสียดทาน 10, 15, 20, 25 และ 30 Bar

5.3.2 ค่าความแข็งของรอยเชื่อมที่แรงดันและเวลาในการเสียดทานที่เหมาะสม

จากการทดสอบหาเงื่อนไขของแรงดันในการเสียดทานและเวลาในการเสียดทานที่เหมาะสมที่สุดที่ได้จากการทดลองในข้อที่ 5.2 พบว่าแรงดันในการเสียดทาน 10 Bar เวลาในการเสียดทาน 3 Sec. แรงดันในการอัด 60 Bar เวลาในการอัด 3 Sec. และความเร็วในการหมุนชิ้นงาน เชื่อม 1,200 rpm เป็นเงื่อนไขที่เหมาะสมของงานวิจัยนี้ จึงได้นำเงื่อนไขที่เหมาะสมนี้มาทำการเชื่อมชิ้นงานจำนวน 5 ชิ้นงาน และนำชิ้นงานทั้ง 5 ชิ้นงานมาทำการทดสอบค่าความแข็งของรอยเชื่อม ในแนวแกน X ตามขั้นตอนที่กล่าวมาแล้ว ผลที่ได้จากการทดสอบค่าความแข็งของรอยเชื่อมน้ำมานเฉลี่ยทั้ง 5 ชิ้นงานได้ผลดังแสดงในตารางที่ 5.8 และภาพที่ 5.10 และพบว่าความแข็งของรอยเชื่อมที่ตำแหน่งที่ชิ้นงานชนสัมผัสกันความแข็งมีค่าต่ำกว่าตำแหน่งอื่น เนื่องจากที่รอยเชื่อมมีเฟสของ Pearlite ที่มีความแข็งมากกว่า Ferrite ลดลงโดยมีลักษณะคล้ายแองกระทะหางย ที่ตำแหน่งใกล้จากจุดชนสัมผัสนี้ออกไปค่าความแข็งจะค่อยๆเพิ่มขึ้นจนมีค่าคงที่เท่ากับชิ้นงานเดิม

ตารางที่ 5.8 ค่าความแข็งที่เงื่อนไข แรงดันการเสียดทาน 10 Bar เวลาการเสียดทาน 9 Sec.

ระยะ (mm.)	ชิ้นงานเชื่อมที่					ค่าเฉลี่ย (HV)	ระยะ (mm.)	ชิ้นงานเชื่อมที่					ค่าเฉลี่ย (HV)
	1	2	3	4	5			1	2	3	4	5	
6.5	230	225	233	240	226	231	0	162	157	159	165	164	162
6	244	223	220	238	205	226	-0.5	176	160	151	181	183	170
5.5	225	242	220	220	214	224	-1	172	166	158	182	205	177
5	223	216	232	201	210	217	-1.5	172	158	189	195	198	182
4.5	220	210	218	200	186	207	-2	169	174	190	188	228	190
4	230	204	213	201	197	209	-2.5	164	178	214	200	225	196
3.5	224	191	187	183	189	195	-3	192	200	199	219	222	206
3	214	183	173	173	185	186	-3.5	214	217	211	219	218	216
2.5	196	173	170	177	178	179	-4	234	221	210	191	241	220
2	181	163	176	193	186	180	-4.5	211	225	212	235	228	222
1.5	177	170	165	190	187	178	-5	214	230	211	-	241	224
1	178	157	168	182	169	171	-5.5	224	233	239	-	-	232
0.5	179	160	173	171	183	173	-6	235	241	229	-	-	235
0	162	157	159	165	164	162	-6.5	250	232	223	-	-	235

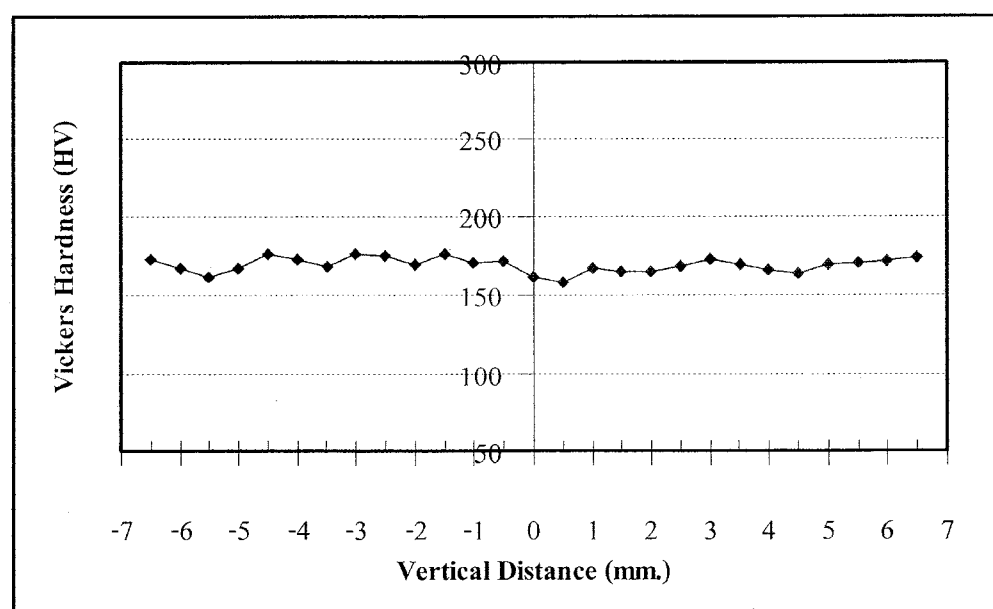


ภาพที่ 5.10 กราฟค่าความแข็งของรอยเชื่อมที่แรงดันในการเสียดทาน 10 Bar เวลาในการเสียดทาน 9 Sec. (เฉลี่ยจากชิ้นงาน 5 ชิ้น)

จากตารางที่ 5.8 และภาพที่ 5.10 ได้ทำการทดสอบหาค่าความแข็งในแนวแกน X ซึ่งพบว่าจุดเชื่อมต่อหรือจุดที่ชิ้นงานเชื่อมทั้งสองชนิดกันนั้น มีค่าความแข็งต่ำกว่าจุดอื่นๆ จึงทำการทดสอบหาค่าความแข็งของจุดเชื่อมต่อในแกน Y ดังแสดงในภาพที่ 4.8 (ง) เพื่อศึกษาถึงผลกระทบที่มีต่อแนวเชื่อมต่อของหน้าสัมผัสทั้งสองของชิ้นงานเชื่อมต่อ กโดยการศึกษาวิจัยนี้ได้ทำการทดสอบค่าความแข็งในแนวแกน Y ด้วยการวัดค่าความแข็งตลอดทั้งหน้าสัมผัสของชิ้นงาน 3 ชิ้นงาน และใช้เงื่อนไขการเชื่อมด้วยความเสียดทานที่เหมาะสมที่สุดดังที่ได้อธิบายมาแล้วในข้อที่ 5.2 ผลที่ได้จากการทดสอบแสดงไว้ในตารางที่ 5.9 และภาพที่ 5.11 จากลักษณะของการเชื่อมด้วยความเสียดทานแนวเชื่อมต่อจะมีขนาดกว้างมากขึ้นกว่าชิ้นงานเดิม เนื่องจากการเชื่อมด้วยความเสียดทานนี้ใช้แรงดันในการอัดเชื่อมชิ้นงานสูงทำให้แนวเชื่อมต่อของชิ้นงานนานออกดังภาพที่ 4.8 เมื่อนำชิ้นงานมาทำการทดสอบค่าความแข็งจะพบว่าระยะที่ทำการวัดมีความกว้างมากกว่าชิ้นงานเดิม (ชิ้นงานเดิมสั้นผ่าสูญยึดกลาง 10 mm.) ผลที่ได้จากการทดสอบค่าความแข็งในแนวแกน Y พบร่วมค่าความแข็งตลอดแนวแกน Y มีค่าต่ำกว่าค่าความแข็งของวัสดุเดิม (เหล็กชานิต AISI 1015)

ตารางที่ 5.9 ผลการทดสอบค่าความแข็งของจุดเชื่อมต่อในแนวแกน Y

ระยะ (mm.)	ชิ้นงานชื่อ M ที่			ค่าเฉลี่ย (HV)	ระยะ (mm.)	ชิ้นงานชื่อ M ที่			ค่าเฉลี่ย (HV)
	1	2	3			1	2	3	
-6.5	171	165	183	173	0	158	159	168	162
-6	159	171	169	167	0.5	159	160	156	158
-5.5	161	165	160	162	1	167	163	172	167
-5	164	169	167	167	1.5	167	166	164	165
-4.5	175	176	178	176	2	168	161	167	165
-4	175	165	179	173	2.5	170	167	167	168
-3.5	169	165	172	168	3	171	177	170	172
-3	165	168	194	176	3.5	174	169	165	169
-2.5	172	171	183	175	4	172	162	163	166
-2	179	158	171	169	4.5	162	166	163	163
-1.5	172	176	180	176	5	166	171	171	169
-1	175	168	169	171	5.5	165	174	172	170
-0.5	173	172	168	171	6	173	176	167	172
0	158	159	168	162	6.5	185	170	169	174

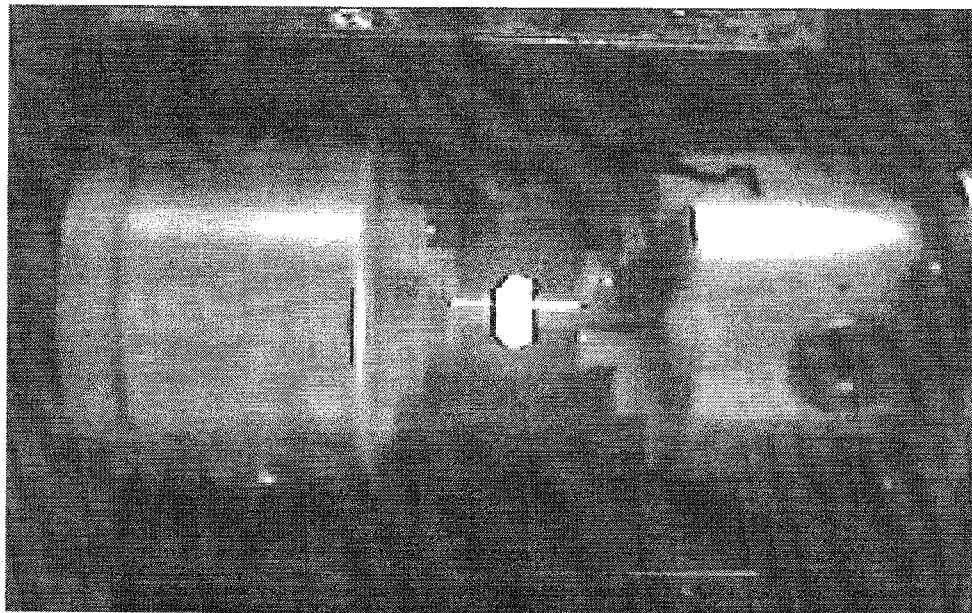


ภาพที่ 5.11 กราฟค่าความแข็งในแนวแกน Y

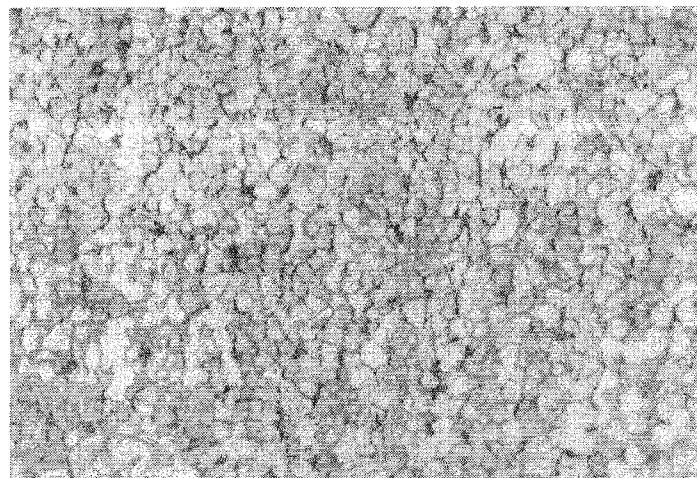
5.4 ผลการวิเคราะห์โครงสร้างจุลภาค

5.4.1 การวิเคราะห์ภาพถ่ายโครงสร้างจุลภาค

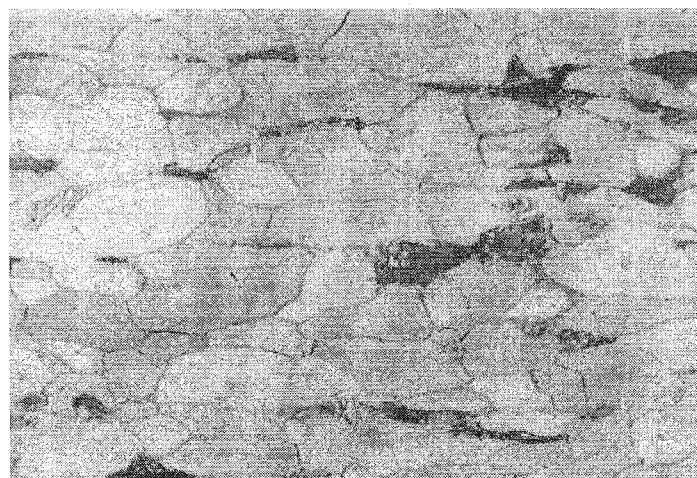
จากผลการทดลองที่ผ่านมา พบว่าที่ตำแหน่งรอยเชื่อมมีค่าความแข็งแรงสูงขึ้น แต่ มีค่าความแข็งลดลง เพื่ออธิบายปรากฏการณ์ดังกล่าว จึงได้ทำการศึกษาโครงสร้างจุลภาคของรอย เชื่อมด้วยการนำชิ้นงานส่วนที่เชื่อมต่อกัน มาถ่ายภาพเพื่อทำการวิเคราะห์จากภาพถ่ายในเบื้องต้น ก่อน ผลการวิเคราะห์จากภาพที่ 5.13 ซึ่งเป็นภาพถ่ายที่จุดเชื่อมต่อของชิ้นงานเชื่อมทั้งสอง พบร่องของเหล็กหลังการเชื่อมด้วยความเสียดทานมีความลักษณะมากกว่าเกรนที่แสดงในภาพที่ 5.14 ซึ่งเป็นภาพถ่ายของเกรนเหล็กเดิมก่อนนำมาทดลองเชื่อมด้วยความเสียดทาน และจากการวิเคราะห์ จากภาพที่ 5.13 และภาพที่ 5.14 สามารถอธิบายถึงค่าความแข็งแรงที่เกิดการเปลี่ยนแปลงที่แนว เชื่อมได้ดังนี้คือ การเชื่อมด้วยความเสียดทานนั้นในระหว่างการเชื่อม ได้ให้แรงดันในการเสียดทาน จนกระแทกหน้าสัมผัสของชิ้นงานเชื่อมทั้งสองเกิดความร้อนไกล์หลอมละลายดังภาพที่ 5.12 จากนั้น จึงให้แรงดันที่สูงมากอัดให้ชิ้นงานทั้งสองเชื่อมติดกัน ซึ่งในขบวนการเชื่อมนี้จะดันให้เกรนของ เหล็กที่เสียดสีกันจนไกล์หลอมละลายถูกอัดเข้าหากันเป็นผลให้เกรนของเหล็กที่แนวเชื่อมถูกอัด แน่นจนมีขนาดที่ละเอียดมากขึ้นกว่าเดิม และจากเกรนที่ละเอียดมากขึ้นกว่าเดิมนั้นส่งผลให้ค่าความ แข็งแรงที่รอยเชื่อมมีความแข็งแรงมากขึ้นกว่าชิ้นงานเดิมดังผลการทดลองที่ได้



ภาพที่ 5.12 ความร้อนที่เกิดขึ้นระหว่างการเสียดสีกันก่อนการดันอัดให้เชื่อมต่อกัน



ภาพที่ 5.13 เกรนที่จุดเชื่อมต่อถ่ายที่กำลังขยาย 50 X และลดขนาดลง 50 %



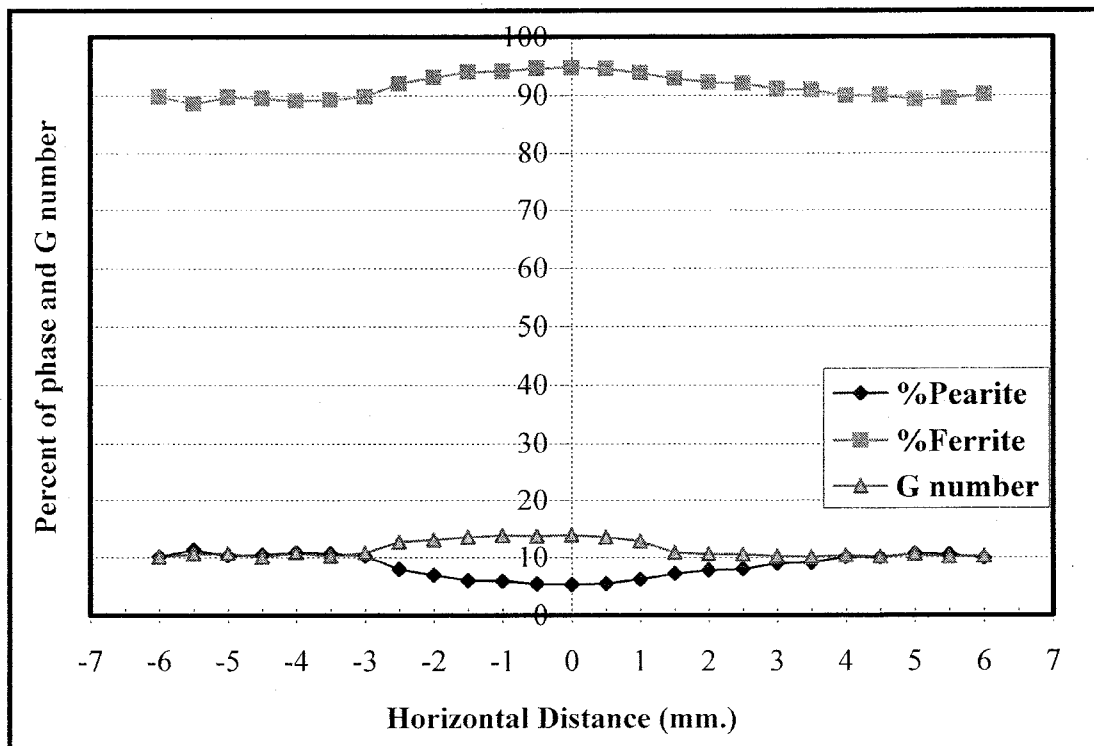
ภาพที่ 5.14 เกรนของเหล็ก AISI 1015 ก่อนการเชื่อมถ่ายที่กำลังขยาย 50 X และลดขนาดลง 50%

5.4.2 การวิเคราะห์เฟสและขนาดของเกรน (G number)

จากผลการทดลองพบว่า ค่าความแข็งแรงที่รอยเชื่อมที่ได้จากการเชื่อมด้วยความเสียดทานมีค่าความแข็งแรงมากขึ้นกว่าชิ้นงานเดิม แต่กลับพบว่าค่าความแข็งแรงที่รอยเชื่อมมีค่าลดลง ซึ่งนำภาพถ่ายโครงสร้างจุลภาคที่รอยเชื่อมมาทำการวิเคราะห์ด้วยเครื่อง Image Analyser เพื่อหาอัตราส่วนความแตกต่างกันของโครงสร้างภายในชิ้นงานเชื่อม ในแนวแกน X ผลที่ได้จากการวิเคราะห์ภาพถ่ายโครงสร้างจุลภาค พบว่าที่รอยเชื่อมมีเฟสของ Pearlite และ ferrite เป็นองค์ประกอบหลักในโครงสร้าง และพบว่าที่รอยเชื่อมจะมีปริมาณของ Pearlite น้อยกว่าจุดที่ห่างออกไป ดังแสดงผลในตารางที่ 5.10 และกราฟในภาพที่ 5.15

ตารางที่ 5.10 ผลการวิเคราะห์ความแตกต่างของ Pearlite และ Ferrite รวมถึงขนาดของเกรน (G number) ที่ระยะต่างๆ

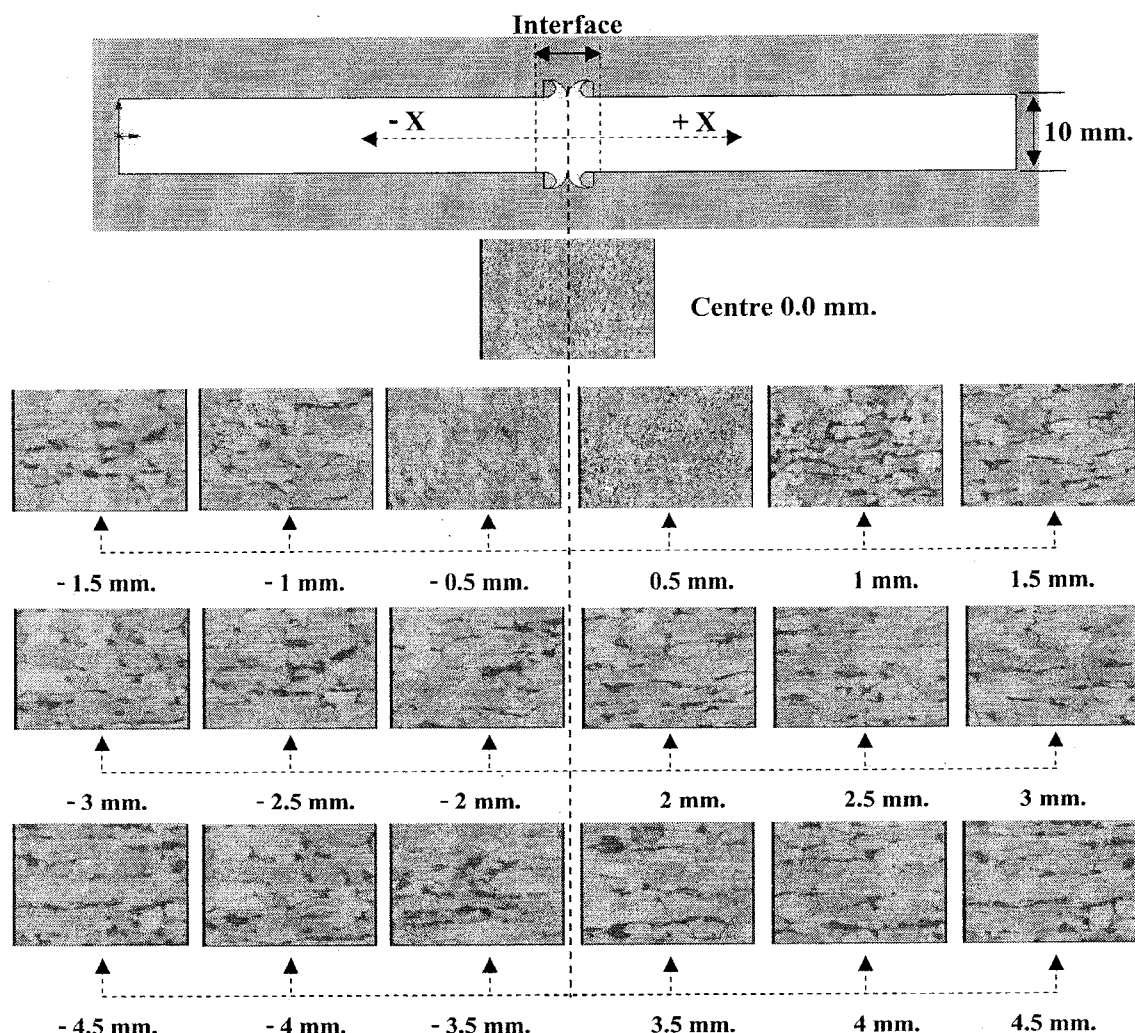
- X mm.	- 6	- 5.5	- 5	- 4.5	- 4	- 3.5	- 3	- 2.5	- 2	- 1.5	- 1	- 0.5	0
%Pearlite	10.13	11.34	10.23	10.50	10.84	10.68	10.18	7.92	6.92	5.99	5.88	5.42	5.27
%Ferrite	89.87	88.66	89.77	89.50	89.16	89.32	89.82	92.08	93.08	94.01	94.12	94.58	94.73
Gnumber	10.05	10.58	10.71	10.05	10.87	10.18	10.78	12.72	13.08	13.58	13.85	13.71	13.87
+ Xmm.	0	0.5	1	1.5	2	2.5	3	3.5	4	4.5	5	5.5	6
%Pearlite	5.27	5.45	6.17	7.19	7.78	7.99	8.91	9.11	10.03	9.98	10.72	10.53	9.86
%Ferrite	94.73	94.55	93.85	92.81	92.22	92.01	91.09	90.89	89.97	90.02	89.28	89.47	90.14
Gnumber	13.87	13.56	12.85	10.88	10.61	10.53	10.23	10.09	10.34	10.17	10.56	10.08	10.28



ภาพที่ 5.15 กราฟการเปลี่ยนแปลงของ Pearlite, Ferrite และ G number บริเวณแนวเชื่อมต่อและส่วนที่ได้รับผลกระทบจากการเชื่อม

ผลที่ได้จากการทดสอบในตารางที่ 5.10 และภาพที่ 5.15 แสดงให้เห็นว่าบริเวณรอยเชื่อมมี ferrite มากขึ้นและ Pearlite ลดลง ซึ่งโดยทฤษฎีแล้ว Pearlite จะมีค่าความแข็งอยู่ในช่วง 175 - 370 BHN และ ferrite มีค่าความแข็งอยู่ในช่วง 70 – 150 BHN เมื่อปริมาณของ Pearlite ลดลงก

จะส่งผลให้รอยเชื่อมมีค่าความแข็งลดลงไปด้วยดังแสดงในภาพที่ 5.10 เมื่อห่างไกลออกจากไปจากการอยู่เชื่อมอิฐพอกของการเสียดทานเริ่มลดลง เป็นผลให้ค่าความแข็งเข้าใกล้ชิ้นงานเดิมมากขึ้นเรื่อยๆ ซึ่งสามารถวิเคราะห์ได้จากภาพถ่ายโครงสร้างชุลภาคริ้วแสดงถึงการเพิ่มขึ้นหรือลดลงของขนาดเกรน และระบบที่เกิดการเปลี่ยนแปลงนี้ได้ดังแสดงไว้ในภาพที่ 5.16



ภาพที่ 5.16 ลักษณะโครงสร้างชุลภาคริ้วชิ้นงานเชื่อมที่ระยะต่างๆ โดยภาพขยายขนาด 50 X

จากภาพที่ 5.16 จะสังเกตเห็นได้ว่าในภาพถ่ายโครงสร้างชุลภาคริ้วที่ขุดกึ่งกลางของรอยเชื่อมจะมีเกรนที่เล็ก หรือละเอียดมากกว่าเกรนในภาพถ่ายที่อยู่ห่างออกไปจากการอยู่เชื่อม ซึ่งจะสามารถเปรียบเทียบได้จากค่า G number ในตารางที่ 5.9 และภาพแสดงผลในภาพที่ 5.15 โดยค่าตัวเลข G number จะบ่งบอกถึงขนาดของเกรนจากตารางที่กล่าวมาค่าตัวเลขมากแสดงว่าเกรนมีขนาดเล็กและค่าตัวเลขน้อยเกรนจะมีขนาดใหญ่ ในส่วนของเฟสที่เกิดขึ้นจากภาพถ่ายโครงสร้าง

จุลภาค พบว่า Pearlite ซึ่งจะมองเห็นเป็นสีดำ และ ferrite ที่จะมองเห็นเป็นสีขาวหรือเทา มีความแตกต่างให้เห็นอย่างชัดเจน โดยภาพที่ชุดกึ่งกลางของรอยเชื่อมมีเกรนที่ละเอียดและเป็นสีเทา – ขาว ซึ่งแสดงให้เห็นว่ามีปริมาณของ Pearlite น้อย และเมื่อออกห่างจากชุดกึ่งกลางไปเรื่อยๆ จะเห็นว่ามีเกรนที่เป็นสีดำปะปนอยู่ แสดงว่ามีปริมาณของ Pearlite เพิ่มมากขึ้น โดยเทียนจากตารางที่ 5.9 และกราฟแสดงผลในภาพที่ 5.15 จากผลการทดลองที่ผ่านเกรนที่รอยเชื่อมมีความละเอียดมากกว่าชุดอื่นๆ ที่ห่างออกไปสักผลให้รอยเชื่อมมีความแข็งแรงมากขึ้นกว่าเดิม และการที่ปริมาณของ Pearlite ที่รอยเชื่อมมีน้อยลงจะส่งผลให้ค่าความแข็งที่รอยเชื่อมมีค่าลดลง ดังแสดงในผลการทดลองที่ผ่านมา

บทที่ 6

สรุปผลการศึกษา และข้อเสนอแนะ

6.1 สรุปผลการศึกษา

6.1.1 ผลจากการพัฒนาเครื่องเชื่อมด้วยความเสียดทาน

จากการพัฒนาเครื่องเชื่อมด้วยความเสียดทานที่จะนำมาใช้ในงานวิจัยนี้ พบว่า เครื่องเชื่อมที่ทำการพัฒนาใหม่ สามารถทำงานได้ตีตามเงื่อนไขที่กำหนด ซึ่งขั้นตอนการทำงาน ค้างๆ ที่เครื่องเชื่อมด้วยความเสียดทานสามารถทำงานได้แสดงไว้ในภาพที่ 3.14

อนึ่งจากการทดลองที่ผ่านมาเครื่องเชื่อมด้วยความเสียดทานที่ได้รับการพัฒนา ขึ้นมานี้ยังสามารถเชื่อมชิ้นงานที่มีขนาดเส้นผ่าศูนย์กลางที่ใหญ่กว่า หรือเล็กกว่าขนาดของชิ้นงานที่ใช้ในการทดลองนี้ (ชิ้นที่ใช้ในการทดลองขนาดเส้นผ่าศูนย์กลาง 10 mm.) และสามารถนำไปใช้ในการศึกษาวิจัยเกี่ยวกับตัวแปรต่างๆ ที่จะมีผลกระทบต่อการเชื่อมวัสดุชนิดต่างๆ ต่อไปได้

6.1.2 ผลการศึกษาเกี่ยวกับคุณสมบัติของชิ้นงานที่เชื่อมด้วยความเสียดทาน

6.1.2.1 จากการทดลองเชื่อมเหล็กชนิด AISI 1015 พบว่ารออยเชื่อมที่เชื่อมด้วยความเสียดทาน ตามเงื่อนไขการเชื่อมที่แรงดันในการเสียดทาน 10 Bar เวลาในการเสียดทาน 9 Sec. แรงดันในการอัด 60 Bar เวลาในการอัด 3 Sec. และความเร็วรอบในการหมุนชิ้นเชื่อมที่ 1,200 rpm ให้ผลการเชื่อมที่เหมาะสมที่สุดคือ มีค่าความแข็งแรงของรอยเชื่อมที่ 913 MPa ซึ่งเป็นค่าความแข็งแรงที่มากกว่าชิ้นงานเดิม 17.09 % (ค่าความแข็งแรงของชิ้นงานเดิม 780 MPa) และผลของค่าความแข็งแรงของรอยเชื่อม ที่ได้จากการเชื่อมด้วยวิธีการนี้ เกิดจากแรงดันในการอัดเชื่อมชิ้นงาน อัดให้เกรนบริเวณรอยเชื่อมมีความละเอียด หรือมีจำนวนมากขึ้น จึงส่งผลให้รอยเชื่อมมีความแข็งแรงมากขึ้นกว่าเดิม

6.1.2.2 ผลจากการทดสอบค่าความแข็งที่เกิดขึ้นที่รอยเชื่อมด้วยเครื่อง Vickers Hardness (HV) พบว่าค่าความแข็งที่รอยเชื่อมมีค่าความแข็งลดลง ซึ่งค่าความแข็งที่ลดลงนี้ เกิดจากความร้อนที่เกิดขึ้นในระหว่างการเชื่อมทำให้เปอร์เซ็นต์ของ Pearlite ลดน้อยลง และมี Ferrite เพิ่มขึ้น และเมื่อระยะห่างจากรอยเชื่อม ผลกระทบจากความร้อนในการเชื่อมไม่ส่งอิทธิพลถึง จึงส่งผลค่าความแข็งกลับเข้าใกล้ค่าความแข็งเดิมของวัสดุ

6.2 ข้อเสนอแนะ

6.2.1 ในส่วนของเครื่องซื้อมด้วยความเสียดทานที่พัฒนา

6.2.1.1 เครื่องซื้อมด้วยความเสียดทานที่พัฒนา ยังมีอาการสั่นของเครื่องในขณะที่ เครื่องทำการซื้อมอยู่ ความมีการแก้ไขในส่วนของโครงสร้างให้มีความแข็งแรงมากขึ้นกว่าเดิม

6.2.1.2 ในส่วนของหัวจับชิ้นงานซื้อมที่มีขนาดเล็ก และเป็นหัวจับแบบ 3 ทาง ทำ ให้การจับชิ้นงานซื้อมได้ไม่แน่น และจับชิ้นงานทรงกลมได้ลักษณะเดียว ซึ่งเป็นส่วนที่น่าจะแก้ไข ให้มีขนาดใหญ่ขึ้น และเป็นหัวจับแบบ 4 ทิศทาง เพื่อที่จะสามารถจับงานได้อย่างแน่นหนาและ ชิ้นงานซื้อมที่มีรูปทรงลักษณะอื่นๆ ได้

6.2.1.3 ระยะห่างของหัวจับชิ้นงานซื้อมที่ 2 ด้าน มีระยะห่างน้อยเนื่องจาก ระบบออกไสocr อิกส์มีระยะหักสั้น ความมีการแก้ไขให้มีระยะหักที่ยาวมากกว่า เพื่อที่จะสามารถนำ ชิ้นงานเข้าออกได้ง่าย

6.2.2 ในส่วนของผลการทดลอง

6.2.2.1 จากผลการทดลองหาค่าความแข็งแรงที่ได้จากการศึกษาวิจัยนี้ มาจากการ ทดสอบในเบื้องต้นของตัวแปรที่เปลี่ยนแปลงเพียง 2 ตัวแปรเท่านั้นคือ แรงดันในการเสียดทานที่ 10, 15, 20, 25 และ 30 Bar และเวลาในการเสียดทานที่ 7, 9, 11, 13 และ 15 Bar ซึ่งผลที่ได้ถือว่าเป็น ผลที่ได้จากเงื่อนไขที่เหมาะสมของ 2 ตัวแปรนี้เท่านั้น ควรที่จะทำการศึกษาผลการซื้อมด้วยความ เสียดทาน ในเชิงสถิติจากเงื่อนไขของตัวแปรต่างๆ เช่น แรงดันในการอัด เวลาในการอัด และ ความเร็วของในการหมุนชิ้นงานซื้อม

6.2.2.2 จากผลการทดสอบค่าความแข็งของรอยซื้อมสิ่งที่พบคือ ค่าความแข็งที่ รอยซื้อมลดลงนั้น ควรที่จะมีศึกษาถึงอุณหภูมิที่รอยซื้อม ซึ่งเป็นตัวแปรที่อาจส่งผลถึงคุณสมบัติ ของวัสดุ และวิธีการที่จะทำให้ค่าความแข็งที่รอยซื้อมเพิ่มขึ้น ซึ่งเป็นเงื่อนไขที่น่าจะทำการศึกษา วิจัยต่อไป

6.2.2.3 จากผลการทดลองจะเห็นว่าที่แรงดันเสียดทาน 10 Bar ให้ค่าความแข็งแรง สูงสุด แต่ยังคงแสดงแนวโน้มที่อาจจะสูงขึ้นได้อีก ดังนั้นจึงอาจทำการศึกษาที่แรงดันเสียดทานน้อย กว่า 10 Bar เพิ่มเติม เพื่อให้ได้ข้อมูลที่ชัดเจนขึ้น

เอกสารอ้างอิง

ເອກສາຣອ້າງອີງ

- [1] Sahin, M. and Akata, H.E. “Joining with friction welding of plastically deformed steel”, Journal of Materials Processing Technology. 142: 239-246, 2003.
- [2] Sahin, M. (a) “Evaluation of the joint – interface properties of austenitic – stainless steels (AISI304) joined by friction welding”, Materials and Design. 28: 2244-2250, 2007.
- [3] Ates, H., Turker, M. and Kurt, A. “Effect of friction pressure on the friction-welded MA956 iron-based superalloy”, Materials and Design. 28: 948-953, 2007.
- [4] Ozdemir, N., Sarsilmaz, F. and Hascalik, A. “Effect of rotational speed on the interface properties of friction-welding AISI 304L to 4340 steel”, (Short communication) Materials and Design. 28: 301-307, 2007.
- [5] Sathiya, P., Aravindan S. and Haq, A.N. “Some experimental investigation on friction welded stainless steel joints”, Materials and Design. 29: 1099-1109, 2008.
- [6] Hascalik A. and Orhan, N. “Effect of particle size on friction welding of Al₂O₃ reinforced 6160 Al alloy composite and SAE 1020 steel”, Materials and Design. 28: 313-317, 2007.
- [7] Jayabharath, K., and et al. “Investigations on the continuous drive friction welding of sintered powder metallurgical (P/M) steel and wrought copper parts”, Materials Science and Engineering. 454-455: 114-123, 2007.
- [8] Meshram, S.D., Mohandas T. and Reddy, G.M. “Friction welding of dissimilar pure metals”, Journal of Materials Processing Technology. 184: 330-337, 2007.
- [9] Ma, T.J., Li, w.-Y. and Yang, S.Y. “Impact toughness and fracture analysis of linear friction welded Ti – 6Al – 4V alloy joints”, Materials and Design. 2008.
- [10] Noh, M.Z., Hussain, L.B. and Ahmad, Z.A. “Alumina – mild steel friction welded at lower rotational speed”, Journal of Materials Processing Technology. 204: 279-283, 2008.
- [11] Shin, H.S., Jeong, Y.J. and Choi, H.Y. “Joining of Zr-based bulk metallic glasses using the friction welding method.”, Journal of Alloys and Compounds. 434-435: 102-105, 2007.

เอกสารอ้างอิง (ต่อ)

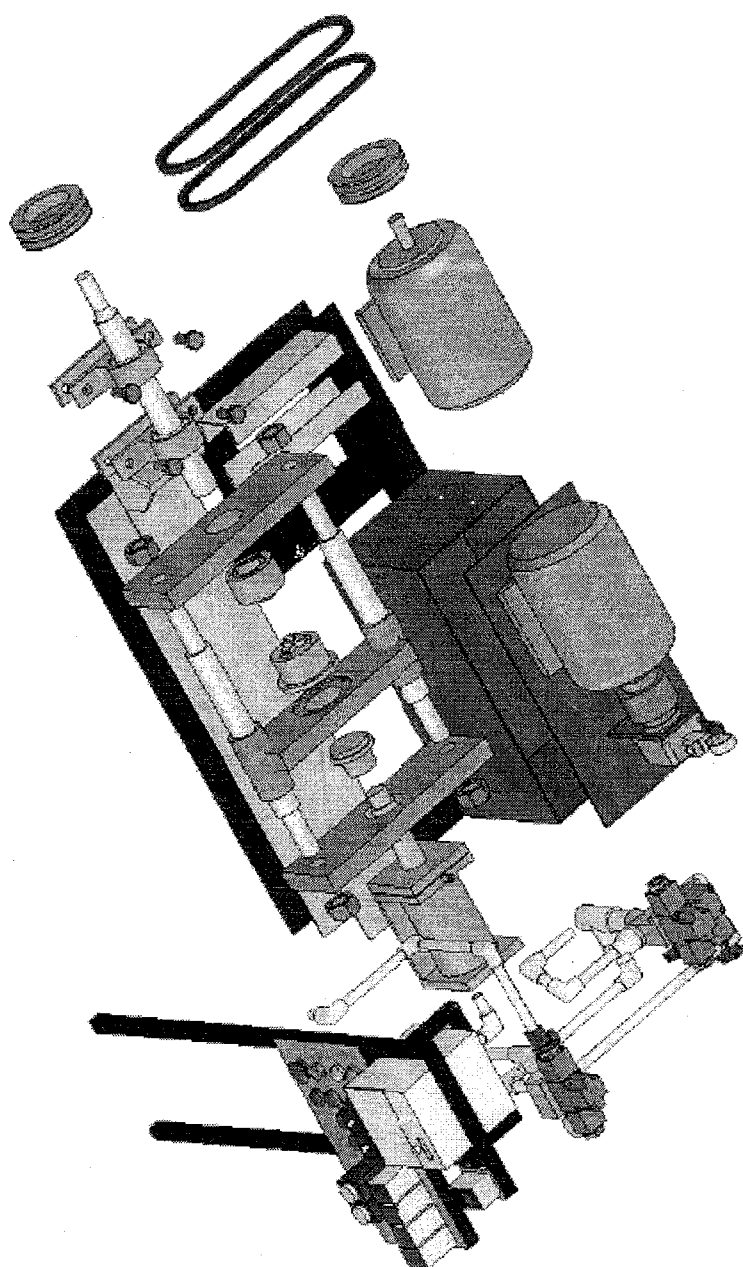
- [12] Uwada, T.,and et al. “Properties of friction welds between 9Cr-ODS martensitic and ferritic-martensitic steel”, Journal of Nuclear Materials. 367-370: 1213-1217, 2007.
- [13] Sahin, M. (b) “Characterization of properties in plastically deformed austenitic – stainless steels joined by friction welding”, Materials and Design. 30: 135-144, 2009.
- [14] Luo, J., and et al. “A new mixed – integrated approach to control welded flashes forming process of damping – tude – gland in continuous drive friction welding”, Materials and Design. 30: 353-358, 2009.
- [15] Li, W.-Y., and et al. “Effect of friction time on flash shape and axial shortening of linear friction welded 45 steel”, Materials Letters. 62: 293-296, 2008.
- [16] Karadge, M., and et al. “Texture development in ti-6Al-4V linear friction welds”, Materials Science and Engineering. A459: 182-191, 2007.
- [17] Balasubramanian, V. “Reletionship between base metal properties and friction stir welding process parameters”, Materials Science and Engineering. 480 : 163-175, 2008.
- [18] G.Precision Engineering Ltd.,Part. www.gprecision.net/steel-Ternary-System.html. 18 พฤศจิกายน, 2551.
- [19] ณรงค์ศักดิ์ ธรรมโชติ. วัสดุวิศวกรรม. กรุงเทพฯ : ชีเอ็คยูเคชั่น, 2549.
- [20] วีระบุษ นนท์ชนะ และอำนาจ บุณยะวัน. การศึกษาและออกแบบเบื้องต้นสำหรับระบบการเชื่อมด้วยความเสียดทาน. ปริญญาโทวิศวกรรมศาสตรบัณฑิต : มหาวิทยาลัยอุบลราชธานี, 2550.

ภาคผนวก

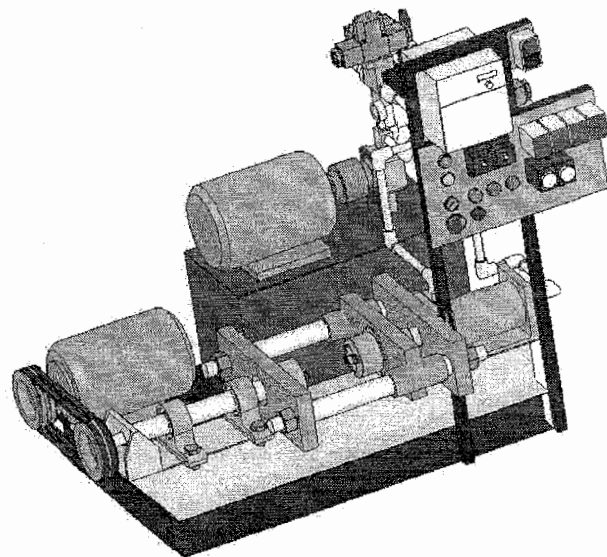
ภาคผนวก ก
แบบเครื่องเขียนด้วยความเสียดทาน

ภาคผนวก ก
แบบเครื่องเขี่ยมด้วยความเสียดทาน

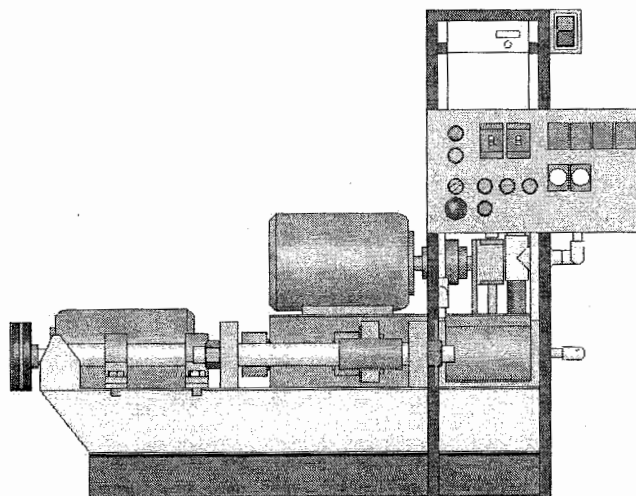
1. ภาพแบบของเครื่องเขี่ยมด้วยความเสียดทานต้นแบบที่ได้รับการพัฒนา



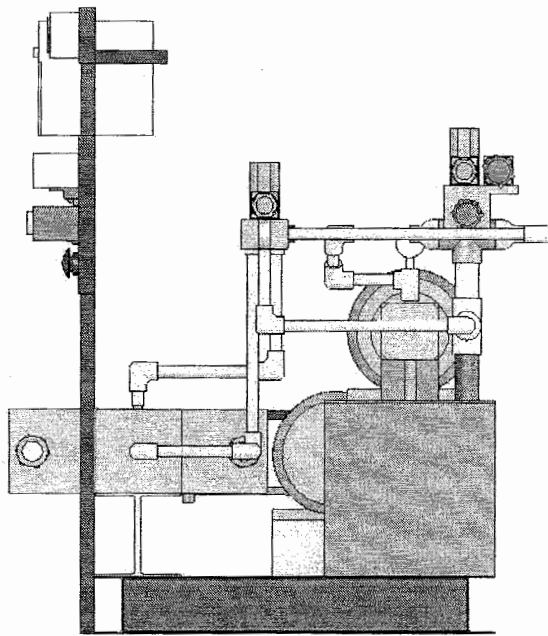
ภาพที่ ก.1 ภาพแยกชิ้นส่วนของเครื่องเขี่ยมด้วยความเสียดทานต้นแบบที่ได้รับการพัฒนา



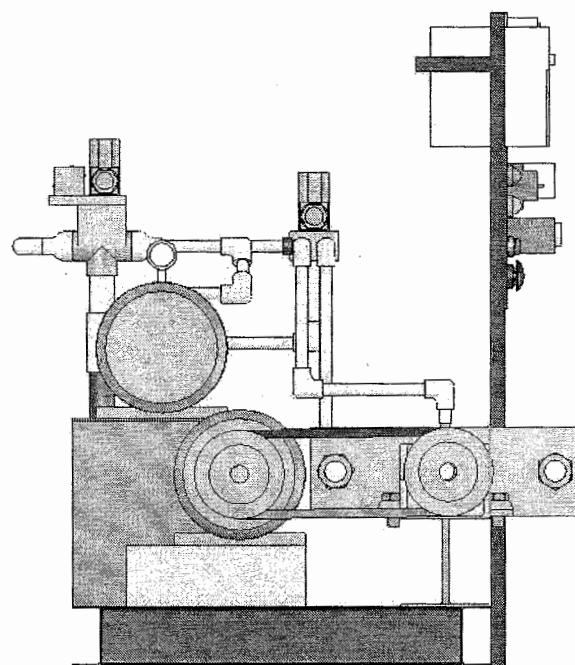
ภาพที่ ก.2 ภาพมุมอ้างของเครื่องเชื่อมด้วยความเสียดทานตันแบบที่ได้รับการพัฒนา



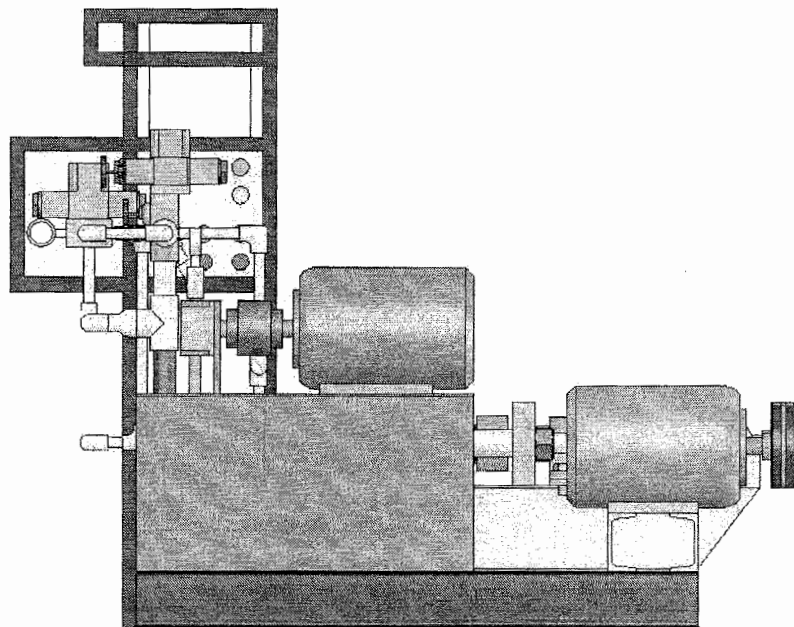
ภาพที่ ก.3 ภาพด้านหน้าของเครื่องเชื่อมด้วยความเสียดทานตันแบบที่ได้รับการพัฒนา



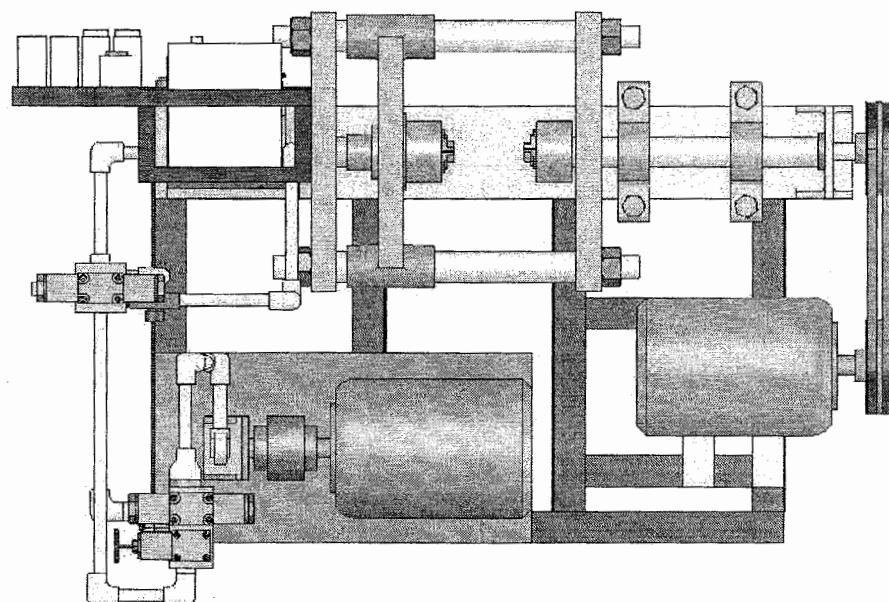
ภาพที่ ก.4 ภาพด้านข้าง (ขวา) ของเครื่องเชื่อมด้วยความเสียดทานตันแบบที่ได้รับการพัฒนา



ภาพที่ ก.5 ภาพด้านข้าง (ซ้าย) ของเครื่องเชื่อมด้วยความเสียดทานตันแบบที่ได้รับการพัฒนา



ภาพที่ ก.6 ภาพด้านหลังของเครื่องเชื่อมด้วยความเสียดทานตันแบบที่ได้รับการพัฒนา



ภาพที่ ก.7 ภาพด้านบนของเครื่องเชื่อมด้วยความเสียดทานตันแบบที่ได้รับการพัฒนา

ภาคผนวก ข

ตารางวิเคราะห์ส่วนประกอบทางเคมีของชิ้นงานก่อนการเชื่อมและหลังการเชื่อม

ภาคผนวก ข
ตารางวิเคราะห์ส่วนประกอบทางเคมีของชิ้นงานก่อนการเชื่อมและหลังการเชื่อม

1. ผลการวิเคราะห์ส่วนประกอบทางเคมีของวัสดุก่อนทำการเชื่อมด้วยความเสียดทาน

ตารางที่ ข.1 ผลการวิเคราะห์ส่วนประกอบทางเคมีชิ้นงานเดิมชิ้นที่ 1 โดยทำการทดสอบ 5 ครั้ง

ผลการ Spectrometer ชิ้นงานเดิมที่ 1 (Base Iron 1)							
ครั้งที่	% C2	% Si1	% S	% P1	% Mn3	% Ni2	% Cr1
1	0.12887	0.16183	0.02212	0.01884	0.37911	0.01723	0.02259
2	0.12468	0.16429	0.02277	0.01919	0.38284	0.01771	0.02307
3	0.13353	0.15994	0.02138	0.01866	0.38002	0.01800	0.02249
4	0.14200	0.16663	0.02272	0.01907	0.38025	0.01722	0.02257
5	0.15211	0.17902	0.02251	0.01714	0.39498	0.01723	0.02400
เฉลี่ย	0.13624	0.16634	0.02230	0.01858	0.38344	0.01748	0.02294

ครั้งที่	% Mo2	% V3	% Cu5	% W	% Ti4	% Sn2	% Co1
1	0.00391	0.00255	0.13929	0.00806	0.00054	0.00241	0.00566
2	0.00409	0.00261	0.14377	0.00855	0.00058	0.00250	0.00571
3	0.03397	0.00236	0.14280	0.00816	0.00050	0.00264	0.00561
4	0.00420	0.00278	0.14705	0.00857	0.00062	0.00255	0.00571
5	0.00577	0.00392	0.18667	0.01038	0.00098	0.00311	0.00608
เฉลี่ย	0.01039	0.00284	0.15192	0.00874	0.00064	0.00264	0.00575

ครั้งที่	% AL7	% Ph6	% B1	% Nb	% Zn5	% N1	% Fe
1	0.00324	0.00494	0.00045	0.00655	0.00356	0.00591	99.0623
2	0.00331	0.00497	0.00044	0.00679	0.00363	0.00837	99.0501
3	0.00318	0.00424	0.00046	0.00636	0.00309	0.00164	99.0610
4	0.00359	0.00550	0.00043	0.00703	0.00402	0.17185	98.8656
5	0.00529	0.00865	0.00060	0.01048	0.00610	0.02702	98.9180
เฉลี่ย	0.00372	0.00566	0.00048	0.00744	0.00408	0.04296	98.9914

ตารางที่ ข.2 ผลการวิเคราะห์ส่วนประกอบทางเคมีชิ้นงานเดิมชิ้นที่ 2 โดยทำการทดสอบ 5 ครั้ง

ผลการ Spectrometer ชิ้นงานเดิมที่ 2 (Base Iron 2)							
ครั้งที่	% C2	% Si1	% S	% P1	% Mn3	% Ni2	% Cr1
1	0.14716	0.17901	0.02303	0.02604	0.43234	0.00988	0.01270
2	0.13801	0.16452	0.02176	0.02628	0.41554	0.01000	0.01160
3	0.15467	0.16872	0.02115	0.02349	0.41473	0.00937	0.01144
4	0.15451	0.17157	0.02200	0.02555	0.42077	0.00953	0.01171
5	0.15664	0.16941	0.02246	0.02563	0.41626	0.00962	0.01145
เฉลี่ย	0.15020	0.17065	0.02208	0.02540	0.41993	0.00968	0.01178

ครั้งที่	% Mo2	% V3	% Cu5	% W	% Ti4	% Sn2	% Co1
1	0.00363	0.00231	0.13331	0.00762	0.00050	0.00239	0.00466
2	0.00240	0.00119	0.10574	0.00483	0.00023	0.00181	0.00422
3	0.00219	0.00125	0.09488	0.00426	0.00027	0.00172	0.00410
4	0.00261	0.00151	0.10603	0.00437	0.00035	0.00184	0.00432
5	0.00225	0.00118	0.10018	0.00456	0.00025	0.00167	0.00415
เฉลี่ย	0.00262	0.00149	0.10803	0.00513	0.00032	0.00189	0.00429

ครั้งที่	% AL7	% Ph6	% B1	% Nb	% Zn5	% N1	% FE
1	0.00254	0.00408	0.00046	0.00584	0.00328	0.00808	98.9911
2	0.00118	0.00140	0.00031	0.00279	0.00154	0.01715	99.0675
3	0.00173	0.00144	0.00028	0.00276	0.00158	0.03619	99.0438
4	0.00212	0.00207	0.00031	0.00339	0.00211	0.07601	98.9773
5	0.00224	0.00142	0.00032	0.00264	0.00151	0.16656	98.8996
เฉลี่ย	0.00196	0.00208	0.00034	0.00348	0.00200	0.06080	98.9959

ตารางที่ ข.3 ผลการวิเคราะห์ส่วนประกอบทางเคมีชินงานเดิมชิ้นที่ 3 โดยทำการทดสอบ 5 ครั้ง

ผลการ Spectrometer ชิ้นงานเดิมที่ 3 (Base Iron 3)							
ครั้งที่	% C2	% Si1	% S	% P1	% Mn3	% Ni2	% Cr1
1	0.13426	0.16651	0.02126	0.01801	0.38626	0.01715	0.02312
2	0.13624	0.17230	0.02166	0.01885	0.39149	0.01742	0.02336
3	0.15359	0.18138	0.02083	0.01655	0.39795	0.01730	0.02408
4	0.13318	0.16476	0.01958	0.01870	0.38410	0.01742	0.02278
5	0.17032	0.17266	0.02213	0.02530	0.41892	0.01010	0.01172
เฉลี่ย	0.14552	0.17152	0.02109	0.01948	0.39574	0.01588	0.02101

ครั้งที่	% Mo2	% V3	% Cu5	% W	% Ti4	% Sn2	% Co1
1	0.00459	0.00290	0.15464	0.00828	0.00067	0.00261	0.00566
2	0.00481	0.00307	0.16573	0.00930	0.00079	0.00274	0.00571
3	0.00612	0.00406	0.19775	0.01171	0.00113	0.00332	0.00611
4	0.00472	0.00295	0.16344	0.00860	0.00068	0.00283	0.00575
5	0.00254	0.00135	0.10971	0.00544	0.00035	0.00186	0.00424
เฉลี่ย	0.00456	0.00287	0.15825	0.00867	0.00072	0.00267	0.00549

ครั้งที่	% AL7	% Ph6	% B1	% Nb	% Zn5	% N1	% FE
1	0.00375	0.00570	0.00048	0.00776	0.00433	0.00475	99.0273
2	0.00483	0.00634	0.00054	0.00821	0.00457	0.00172	99.0003
3	0.00648	0.00928	0.00061	0.01113	0.00657	0.00042	98.9236
4	0.00393	0.00610	0.00052	0.00804	0.00435	-0.00014	99.0277
5	0.00307	0.00205	0.00034	0.00315	0.00201	0.00000	98.2035
เฉลี่ย	0.00441	0.00589	0.00050	0.00766	0.00437	0.00135	98.8365

ตารางที่ ข.4 ผลการวิเคราะห์ส่วนประกอบทางเคมีชิ้นงานเดิมชิ้นทั้ง 3 ชิ้น โดยนำผลที่ได้จากการ
ที่ ข.1 – 3 มาทำการเฉลี่ย

ผลการเฉลี่ยส่วนประกอบทางเคมีของชิ้นงานเดิมทั้ง 3 ชิ้นงาน							
ชิ้นที่	% C2	% Si1	% S	% P1	% Mn3	% Ni2	% Cr1
1	0.13624	0.16634	0.0223	0.01858	0.38344	0.01748	0.02294
2	0.1502	0.17065	0.02208	0.0254	0.41993	0.00968	0.01178
3	0.14552	0.17152	0.02109	0.01948	0.39574	0.01588	0.02101
เฉลี่ย	0.14399	0.16950	0.02182	0.02115	0.39970	0.01435	0.01858

ชิ้นที่	% Mo2	% V3	% Cu5	% W	% Ti4	% Sn2	% Co1
1	0.01039	0.00284	0.15192	0.00874	0.00064	0.00264	0.00575
2	0.00262	0.00149	0.10803	0.00513	0.00032	0.00189	0.00429
3	0.00456	0.00287	0.15825	0.00867	0.00072	0.00267	0.00549
เฉลี่ย	0.00586	0.00240	0.13940	0.00751	0.00056	0.00240	0.00518

ชิ้นที่	% AL7	% Ph6	% B1	% Nb	% Zn5	% N1	% FE
1	0.00372	0.00566	0.00048	0.00744	0.00408	0.04296	98.9914
2	0.00196	0.00208	0.00034	0.00348	0.002	0.0608	98.9959
3	0.00441	0.00589	0.0005	0.00766	0.00437	0.00135	98.8365
เฉลี่ย	0.00336	0.00454	0.00044	0.00619	0.00348	0.03504	98.9413

2. ผลการวิเคราะห์ส่วนประกอบทางเคมีของรอยเชื่อม

ตารางที่ ข.5 ผลการวิเคราะห์ส่วนประกอบทางเคมีของรอยเชื่อมชิ้นที่ 1 โดยทำการทดสอบ 5 ครั้ง

ผลการ Spectrometer ที่รอยเชื่อมของชิ้นงานที่ 1 (Welding 1)							
ครั้งที่	% C2	% Si1	% S	% P1	% Mn3	% Ni2	% Cr1
1	0.12572	0.15029	0.01904	0.02019	0.36910	0.01625	0.01991
2	0.10948	0.15206	0.01854	0.02198	0.37971	0.01521	0.01890
3	0.13199	0.16534	0.01752	0.02648	0.40838	0.01261	0.01594
4	0.10918	0.15297	0.01875	0.02202	0.38151	0.01526	0.01894
5	0.12508	0.15720	0.01790	0.02310	0.38935	0.01444	0.01796
เฉลี่ย	0.12029	0.15557	0.01835	0.02275	0.38561	0.01475	0.01833

ครั้งที่	% Mo2	% V3	% Cu5	% W	% Ti4	% Sn2	% Co1
1	0.00235	0.00112	0.09500	0.00525	0.00031	0.00170	0.00489
2	0.00218	0.00105	0.09254	0.00509	0.00028	0.00169	0.00467
3	0.00216	0.00112	0.09393	0.00488	0.00045	0.00170	0.00440
4	0.00233	0.00113	0.09833	0.00536	0.00032	0.00181	0.00466
5	0.00233	0.00113	0.09743	0.00586	0.00037	0.00172	0.00460
เฉลี่ย	0.00227	0.00111	0.09545	0.00529	0.00035	0.00172	0.00464

ครั้งที่	% AL7	% Ph6	% B1	% Nb	% Zn5	% N1	% FE
1	0.00256	0.00152	0.00029	0.00245	0.00163	0.03682	99.1236
2	0.00198	0.00117	0.00028	0.00223	0.00140	0.01991	99.1496
3	0.00293	0.00107	0.00032	0.00232	0.00142	0.01726	99.0878
4	0.00204	0.00139	0.00030	0.00260	0.00165	0.01954	99.1399
5	0.00231	0.00149	0.00030	0.00246	0.00167	0.01695	99.1163
เฉลี่ย	0.00236	0.00133	0.00030	0.00241	0.00155	0.02210	99.1234

ตารางที่ ข.6 ผลการวิเคราะห์ส่วนประกอบทางเคมีของรอยเชื่อมชิ้นที่ 2 โดยทำการทดสอบ 5 ครั้ง

ผลการ Spectrometer ที่รอยเชื่อมของชิ้นงานที่ 2 (Welding 2)							
ครั้งที่	% C2	% Si1	% S	% P1	% Mn3	% Ni2	% Cr1
1	0.12451	0.14881	0.02123	0.01860	0.36118	0.01732	0.02066
2	0.13633	0.15066	0.02003	0.01749	0.36368	0.01707	0.02065
3	0.10950	0.15191	0.01997	0.01792	0.36596	0.01689	0.02141
4	0.11011	0.15041	0.02013	0.01811	0.36546	0.01707	0.02096
5	0.10957	0.14969	0.02013	0.01812	0.36323	0.01767	0.02061
เฉลี่ย	0.11800	0.15030	0.02030	0.01805	0.36390	0.01720	0.02086

ครั้งที่	% Mo2	% V3	% Cu5	% W	% Ti4	% Sn2	% Co1
1	0.00248	0.00116	0.09924	0.00549	0.00027	0.00187	0.00503
2	0.00266	0.00133	0.10484	0.00516	0.00032	0.00187	0.00503
3	0.00289	0.00151	0.10858	0.00603	0.00038	0.00193	0.00512
4	0.00286	0.00146	0.11112	0.00653	0.00033	0.00200	0.00514
5	0.00291	0.00144	0.11018	0.00616	0.00028	0.00208	0.00517
เฉลี่ย	0.00276	0.00138	0.10679	0.00587	0.00032	0.00195	0.00510

ครั้งที่	% AL7	% Ph6	% B1	% Nb	% Zn5	% N1	% FE
1	0.00257	0.00163	0.00030	0.00260	0.00178	0.03397	99.1293
2	0.00311	0.00203	0.00034	0.00322	0.00189	0.01942	99.1229
3	0.00268	0.00245	0.00034	0.00374	0.00217	0.01638	99.1422
4	0.00256	0.00233	0.00034	0.00355	0.00219	0.01628	99.1411
5	0.00235	0.00233	0.00034	0.00338	0.00205	0.01796	99.1443
เฉลี่ย	0.00265	0.00215	0.00033	0.00330	0.00202	0.02080	99.1360

ตารางที่ ข.7 ผลการวิเคราะห์ส่วนประกอบทางเคมีของรอยเชื่อมชิ้นที่ 3 โดยทำการทดสอบ 5 ครั้ง

ผลการ Spectrometer ที่ร้อยชื่อมของชิ้นงานที่ 3 (Welding 3)							
ครั้งที่	% C2	% Si1	% S	% P1	% Mn3	% Ni2	% Cr1
1	0.12544	0.16164	0.02425	0.02752	0.46843	0.06234	0.05700
2	0.12801	0.16286	0.02505	0.02845	0.47557	0.06736	0.06190
3	0.12881	0.16101	0.02565	0.02868	0.47770	0.07020	0.06422
4	0.12900	0.16106	0.02575	0.02851	0.47492	0.06844	0.06200
5	0.12969	0.16243	0.02512	0.02835	0.48065	0.06983	0.06410
เฉลี่ย	0.12819	0.16180	0.02516	0.02830	0.47545	0.06763	0.06184

ครั้งที่	% Mo2	% V3	% Cu5	% W	% Ti4	% Sn2	% Co1
1	0.01145	0.00201	2.49653	0.00787	0.00052	0.01475	0.00803
2	0.01246	0.00215	2.79210	0.00797	0.00059	0.01614	0.00843
3	0.01295	0.00211	2.95280	0.00832	0.00058	0.01703	0.00866
4	0.01263	0.00207	2.83793	0.00791	0.00058	0.01656	0.00849
5	0.01299	0.00224	2.94780	0.00785	0.00060	0.01692	0.00860
เฉลี่ย	0.01250	0.00212	2.80543	0.00798	0.00057	0.01628	0.00844

ครั้งที่	% AL7	% Ph6	% B1	% Nb	% Zn5	% N1	% FE
1	0.00290	0.00258	0.00040	0.00397	0.00334	0.01714	96.5019
2	0.00305	0.00286	0.00039	0.00416	0.00383	0.02043	96.1762
3	0.00320	0.00281	0.00039	0.00396	0.00379	0.02255	96.0046
4	0.00306	0.00285	0.00039	0.00387	0.00374	0.02282	96.1274
5	0.00307	0.00300	0.00041	0.00439	0.00385	0.02009	96.008
เฉลี่ย	0.00306	0.00282	0.00040	0.00407	0.00371	0.02061	96.16362

ตารางที่ ๑.๘ ผลการวิเคราะห์ส่วนประกอบทางเคมีของรอยเชื่อมทั้ง ๓ ชิ้น โดยนำผลที่ได้จากตารางที่ ๑.๕ – ๗ มาทำการเฉลี่ย

ผลการเฉลี่ยส่วนประกอบทางเคมีของชิ้นงานเชื่อมทั้ง ๓ ชิ้นงาน							
ชิ้นที่	% C2	% Si1	% S	% P1	% Mn3	% Ni2	% Cr1
1	0.12029	0.15557	0.01835	0.02275	0.38561	0.01475	0.01833
2	0.11800	0.15030	0.02030	0.01805	0.36390	0.01720	0.02086
3	0.12819	0.16180	0.02516	0.02830	0.47545	0.06763	0.06184
เฉลี่ย	0.12216	0.15589	0.02127	0.02303	0.40832	0.03319	0.03368

ชิ้นที่	% Mo2	% V3	% Cu5	% W	% Ti4	% Sn2	% Co1
1	0.00227	0.00111	0.09545	0.00529	0.00035	0.00172	0.00464
2	0.00276	0.00138	0.10679	0.00587	0.00032	0.00195	0.00510
3	0.01250	0.00212	2.80543	0.00798	0.00057	0.01628	0.00844
เฉลี่ย	0.00584	0.00154	1.00256	0.00638	0.00041	0.00665	0.00606

ชิ้นที่	% AL7	% Ph6	% B1	% Nb	% Zn5	% N1	% FE
1	0.00236	0.00133	0.00030	0.00241	0.00155	0.02210	99.1234
2	0.00265	0.00215	0.00033	0.00330	0.00202	0.02080	99.1360
3	0.00306	0.00282	0.00040	0.00407	0.00371	0.02061	96.1636
เฉลี่ย	0.00269	0.00210	0.00034	0.00326	0.00243	0.02117	98.1410

ภาคผนวก ค
ผลงานตีพิมพ์เนื่องจากวิทยานิพนธ์นี้ (ฉบับเต็ม)

ผลงานตีพิมพ์เนื่องจากวิทยานิพนธ์นี้

- [1] สุรสิงห์ อารยางกูร, อดิศักดิ์ บุตรวงษ์ และ ชวลิต ถินวงศ์พิทักษ์. 2551. การศึกษาคุณสมบัติของรอยเข็อมของเหล็กกลมที่เข็อมด้วยความเสียดทาน. วารสารวิชาการ ม.อบ. ปีที่ 11 ฉบับที่ 1 ประจำเดือน มกราคม – เมษายน 2552. หน้า 83-98.
- [2] สุรสิงห์ อารยางกูร, ชวลิต ถินวงศ์พิทักษ์ และ อดิศักดิ์ บุตรวงษ์. 2551. การเข็อมเหล็กกลมด้วยความเสียดทาน. การประชุมวิชาการเครือข่ายวิศวกรรมเครื่องกลแห่งประเทศไทย ครั้งที่ 22; 15-17 ตุลาคม 2551; ปทุมธานี. มหาวิทยาลัยธรรมศาสตร์ ศูนย์รังสิต. Paper no. AMM024
- [3] สุรสิงห์ อารยางกูร และ ชวลิต ถินวงศ์พิทักษ์. อิทธิพลของแรงดันเสียดทานต่อคุณสมบัติของเหล็กที่เข็อมด้วยความเสียดทาน. 2551. การประชุมวิชาการมหาวิทยาลัยอุบลราชธานี ครั้งที่ 2; 28-29 กรกฎาคม 2551; หน้า 153-161
- [4] สุรสิงห์ อารยางกูร, กฤณา วาหาโร, ภานุวัฒน์ วงศ์ประทุม และ ชวลิต ถินวงศ์พิทักษ์. 2551. อิทธิพลของเวลาและแรงดันในการเข็อมเหล็กกลมด้วยความเสียดทาน. การประชุมวิชาการระดับบัณฑิตศึกษา คณะวิศวกรรมศาสตร์ มหาวิทยาลัยอุบลราชธานี ครั้งที่ 1; 13-14 กุมภาพันธ์ 2551

การศึกษาคุณสมบัติของรอยเชื่อมของเหล็กกลมที่เข้ามด้วยความเสียดทาน
The study on properties of joint of round steel rods welded by friction welding

สุรัสิงห์ อารายางกูร อดิศักดิ์ บุตรวงษ์ และ ชาลิต ถินวงศ์พิทักษ์
 ภาควิชาวิศวกรรมเครื่องกล คณะวิศวกรรมศาสตร์ มหาวิทยาลัยอุบลราชธานี

Surasing Arayangkun, Adisak Bootarawong, and Chawalit Thinvongpituk

Faculty of Engineering, Ubon Ratchathani University

บทคัดย่อ

การเข้ามด้วยความเสียดทาน เป็นการเข้ามที่กำลังได้รับการศึกษาอย่างแพร่หลาย และกำลังได้รับการพัฒนาอย่างต่อเนื่อง เมื่อจากนี้ข้อดีหลายประการ เช่น สร้างรอยเชื่อมที่มีคุณภาพดี ความแข็งแรงสูง มีรอยเชื่อมเพียงพื้นที่ ไม่มีฟองอากาศ เป็นต้น อย่างไรก็ตามในขั้นตอนการเข้ามด้วยความเสียดทานนั้น จะเกิดความร้อนขึ้นที่บริเวณศูนย์เสียดสัมผัส ส่งผลให้เกิดการเปลี่ยนแปลงทางสาระเชิงคุณภาพของเหล็กขึ้นและส่งผลต่อค่าความแข็งแรงของรอยเชื่อม การศึกษานี้มุ่งศึกษาการเปลี่ยนแปลงทางสาระเชิงคุณภาพของรอยเชื่อมของเหล็กที่เข้ามด้วยความเสียดทาน เพื่อขอรับการเปลี่ยนแปลงค่าความแข็งและความแข็งแรงของรอยเชื่อม ในกระบวนการได้ทำการสร้างและพัฒนา เครื่องเข้ามด้วยความเสียดทานนี้ และทำการทดสอบเข้ามของเหล็กกลมชนิด AISI 1015 ขนาดเส้นผ่าศูนย์กลาง 10 มน. โดยทดลองเข้ามภายใต้เงื่อนไขการทดสอบคือ แรงดันในการเสียดทาน 10 บาร์ เวลาในการเสียดทาน 9 วินาที แรงดันในการอัด 60 บาร์ เวลาในการอัด 3 วินาที และความเร็วรอบในการหมุน 1,200 รอบต่อนาที แล้วนำมา ศึกษาคุณสมบัติของรอยเชื่อม พนว่าร้อยเชื่อมที่ได้มีค่าความแข็งแรง (Strength) เพิ่มมากขึ้น ในขณะที่ค่าความแข็ง (Hardness) นั้นลดลง นอกจากนี้การวิเคราะห์โครงสร้างเชิงคุณภาพของรอยเชื่อมยังพบว่าที่บริเวณกลางของรอยเชื่อมมี สักส่วนของ เพิลไลท์ (Pearlite) ลดลง แต่สักส่วนของ เฟอร์ไรท์ (Ferrite) กลับเพิ่มมากขึ้น ซึ่งเป็นสาเหตุที่ทำให้ ความแข็งของรอยเชื่อมลดลงนั่นเอง นอกจากนี้ยังพบอีกว่าจำนวนเกรนที่บริเวณกลางของรอยเชื่อมมีมากกว่าที่ ส่งผลให้ร้อยเชื่อมมีความแข็งแรงสูงขึ้น

คำสำคัญ การเข้ามด้วยความเสียดทาน โครงสร้างเชิงคุณภาพของรอยเชื่อม

Abstract

Friction welding is a welding technique that has been studied and developed continuously. This is due to its advantages, such as it provides high quality of joint, high strength of joint. It can make welded zone through out the whole section without any bubbles. However, there is heat generated in the welding process that can change the phase of materials. Hence, the hardness and strength of joint are affected. This paper is aimed to investigate

the property of joint welded by friction welding. In order to explain the variation of strength and hardness of joint. The welding machine was constructed for this study. The experiment was conducted with AISI 1015 steel rods of 10 mm. diameter. The testing conditions used in this study were friction pressure of 10 bar, friction time of 9 sec, upset pressure of 60 bar, upset time of 3 sec and speed of 1,200 rpm. The welded specimens were tested for strength, hardness and microstructure. It was revealed that the strength of welded element is higher but the hardness is lower. The microstructure investigation found that, at the center of welded section, number of pearlite was decreased while the number of ferrite was increased. This was the reason of hardness reduction in welded zone. In addition, it was also found that number of grain at the center of welded zone was higher and, hence, increasing in the strength of welded element.

Keywords: *friction welding, micro structure of joint*

મની

ในปัจจุบันมีการนำเทคโนโลยีการเชื่อมด้วยความเสียดทานมาใช้ในการอุดสาหร่ายข้อหักห隼 เพื่อจัดการเชื่อมด้วยความเสียดทานสามารถเชื่อมชิ้นงานที่มีคุณภาพมีความแข็งแรงสูง สามารถเชื่อมวัสดุต่างชนิดกันได้ การเชื่อมด้วยความเสียดทานมีข้อดีหลายประการ เช่น ให้เวลาในการเชื่อมสั้น ไม่จำเป็นต้องใช้ช่างฝีมือ ชิ้นงานที่เชื่อมมีการคอมแพต์ทั่วทั้งพื้นที่หน้าตัดของแนวเชื่อม ในทำเป็นต้องใช้วัสดุช่วยสนับสนุน ซึ่งเมื่อเพียงกับการเชื่อมด้วยไฟฟ้าโดยใช้ธูปเชื่อมเป็นตัวเชื่อมพานพ่วงการใช้ธูปเชื่อมนั้นมีลักษณะเหมือนการเผา เหราเป็นการเชื่อมด้วยเครื่องพิวด้านนอกของชิ้นงานมากกว่าโดยเฉพาะเมื่อชิ้นงานมีพื้นหน้าตัดมากขึ้นความแข็งแรงของแนวเชื่อมยังน้อยลง ซึ่งต่างจาก การเชื่อมด้วยความเสียดทานเป็นอย่างมาก เพราะการเชื่อมด้วยความเสียดทานนั้นให้คุณภาพของชิ้นงานที่เชื่อมหัวทั้งหน้าตัดของแนวเชื่อม ด้วยข้อได้เปรียบดังกล่าว จึงได้มีผู้ศึกษาวิจัยเกี่ยวกับการเชื่อมแบบนี้อย่างต่อเนื่องและกว้างขวาง ได้แก่ การศึกษาทดลองเชื่อมเหล็กเพลาขาวที่มีเมอร์เซ็นต์การร้อน 0.17 – 0.23 เมอร์เซ็นต์ โดยใช้วัสดุที่มีขนาดพื้นที่หน้าตัดเท่ากันและต่างขนาดกัน ซึ่งพบว่า การใช้แรงดันเสียดทาน 30 เมกะปัลลัสต์ และ เวลาเสียดทาน 5 วินาที ส่งผลให้ร้อยเชื่อมมีความแข็งแรงมากที่สุด (Sahin and Akata, 2003) นอกจากนี้ยังมีการศึกษาถูกสมบัติของรอยเชื่อมที่มีผลต่อคุณภาพเชิงแรงดัน โครงสร้าง ข้อต่อของวัสดุ Austenitic-Stainless steels (AISI304) ขนาดเส้นผ่าศูนย์กลาง 10 มม. จากการศึกษาพบว่า การให้แรงดันเสียดทานที่ 60 เมกะปัลลัสต์ และเวลาเสียดทานที่ 9 วินาที ส่งผลให้ร้อยเชื่อมมีความแข็งแรงมากที่สุด และค่าความแข็งแรงวิภาคแนวเชื่อมมีค่าลดลง (Sahin, 2007) ใน การศึกษาความเร็วอบในการหมุนชิ้นงานเชื่อมซึ่งมีผลกระทบต่อโครงสร้างของรอยเชื่อม และความแข็งของชิ้นงานเชื่อมต่างชนิดกันระหว่างเหล็กบอนด์ AISI 304L และเหล็กบอนด์ AISI 4340 ขนาดเส้นผ่าศูนย์กลาง 12 มม. จากการศึกษาพบว่า การใช้ความเร็วอบ 1500 รอบต่อนาที มีผลกระทบต่อโครงสร้างน้อยที่สุด และค่าความแข็งแรงวิภาคแนวเชื่อมต่อเมื่อกำหนดว่าเดิม (Ozdemir, et

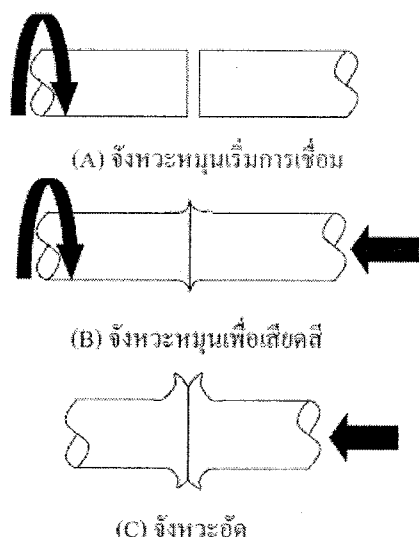
al., 2007) ในส่วนของการศึกษาแรงดันในการเสียดทานของชิ้นงานที่เชื่อมด้วยความเสียดทาน โดยใช้โลหะชุบโครลัลลอยด์ ชนิด MA956 ขนาดเส้นผ่าศูนย์กลาง 9 มม. เป็นวัสดุในการศึกษาวิธีซึ่ง พบว่าแรงดันในการเสียดทานที่ 50-100 เมกะบาร์สัต๊ส เป็นตัวแปรที่เหมาะสมในการเสียดทาน (Ales, et al., 2007) ใน การศึกษาการเชื่อมวัสดุต่างชนิดกันระหว่างเหล็กแสตนเลสชนิด AISI 304L และชนิด AISI 430 ด้วยวิธีการเชื่อมด้วยความเสียดทาน พบว่าชิ้นงานเชื่อมมีค่าความแข็งแรงโดยเฉลี่ยต่ำกว่าชิ้นเดิมโดยได้ถูกน้ำหนักเพิ่มแรงประมาณ 95.52 เปอร์เซ็นต์ ของ ความแข็งแรงเดิม (Sathiya, et al., 2008) ใน การศึกษาการเชื่อมด้วยวิธีการเสียดทานด้วยการสัมผัสร่อง (Linear friction welding (LFW)) ที่มีผลต่อชิ้นงานเชื่อมที่มีรูปทรงสี่เหลี่ยม พนวณการเปลี่ยนแปลงไฟฟ้าของโครงสร้าง ชุดภาคในแต่ละส่วนของแนวเชื่อมต่อไม่เหมือนกัน (Li, et al., 2008) ในกรณีของอัลลอยด์มีการศึกษาด้วยการทดสอบผสน Al₂O₃ ในอัตราส่วนที่แตกต่างกันที่ทดสอบกับอุปกรณ์เชื่อมอัลลอยด์ เบอร์ 6160 จากนั้นนำมาเชื่อมกับเหล็ก AISI 1020 ด้วยวิธีการเชื่อมด้วยความเสียดทาน ผลที่ได้จากการศึกษาพบว่าบริเวณรอยเชื่อมที่เกิดจากการเชื่อม วัสดุต่างชนิดกันนี้ทำให้ได้รอยเชื่อมที่มีความแข็งเพิ่มขึ้น (Hascalik and Orhan, 2007) ใน การศึกษาเก็บว่า โครงสร้างของวัสดุ Sintered ที่เชื่อมกับทองแดง (Cu) ขึ้นรูป ด้วยการเชื่อมด้วยความเสียดทาน พนวณสามารถ เชื่อมต่อให้เกิดกันได้แข็ง健 โครงสร้างอุอกาศใหม่ที่ทำให้ได้ความแข็งที่รอยเชื่อมเพิ่มมากขึ้น (Jayabharath, et al., 2007) ใน การศึกษาความเร็วอนและความเร็วในการเคลื่อนของหัวหมุนเชื่อมที่เชื่อมด้วยวิธีการเชื่อมแบบ Friction Stir Welding โดยการทดสอบเชื่อมชิ้นงานด้วยการเบรชิ่นเพื่อบรรจุการเชื่อมอุปกรณ์เชื่อมอัลลอยด์ชนิดเบอร์ AA 1050, AA 6061, AA 2024, AA7039 และ AA 7075 พบว่าต้องใช้ความเร็วอนในการหมุนและเวลาในการเคลื่อนที่เชื่อม แตกต่างกัน เพื่อให้ได้รอยเชื่อมที่สมบูรณ์ (Balasubramanian, 2008) ใน การศึกษาชิ้นงานด้วยการเบรชิ่นเพื่อบรรจุ โครงสร้างอุอกาศของ Oxide-Dispersion-Strengthened-Steel (ODS) ที่เชื่อมด้วยวัสดุที่มีกราน Ferritic-Martensitic-Steel (PNC-FMS) ด้วยวิธีการเชื่อมด้วยความเสียดทาน พนวณว่าเวลาการหล่อเย็นของชิ้นงานเชื่อมที่ ช่วงเวลาแตกต่างกันส่งผลให้มีการเปลี่ยนแปลงไฟฟ้าของชิ้นงานเชื่อมที่บริเวณรอยเชื่อม (Uwada, et al., 2007) และ ใน การศึกษาชิ้นงานที่เชื่อมด้วยความเสียดทานกับวัสดุต่างชนิดต่างกัน โดยทำการทดสอบเชื่อมเหล็ก (Fe), ไททาเนียม (Ti), ทองแดง (Cu) และนิกเกิล (Ni) ด้วยวิธีการเชื่อมสลับวัสดุที่แยกต่างกัน พบว่าวัสดุที่ต่างกันมีอิเล็กทรอนิกส์ที่เชื่อมด้วยความเสียดทานก็จะได้รอยเชื่อมที่มีโครงสร้างที่เกิดขึ้นใหม่แตกต่างกันไป (Meshram, et al., 2007)

งานวิจัยนี้มีวัตถุประสงค์เพื่อศึกษาการเปลี่ยนแปลงโครงสร้างชุดภาคของเหล็กการ์บอนต่อที่เชื่อมด้วยความเสียดทาน เพื่อขอรับการเปลี่ยนแปลงความแข็ง และความแข็งแรงของรอยเชื่อม ทั้งนี้ในการศึกษานี้จึงไม่ได้ ศึกษาอิทธิพลของตัวแปรต่างๆที่อาจมีผลกระทบต่อการเชื่อม

เกรียงไกรและวิธีการศึกษา

แนวคิดเบื้องต้นของการเชื่อมด้วยความเสียดทาน

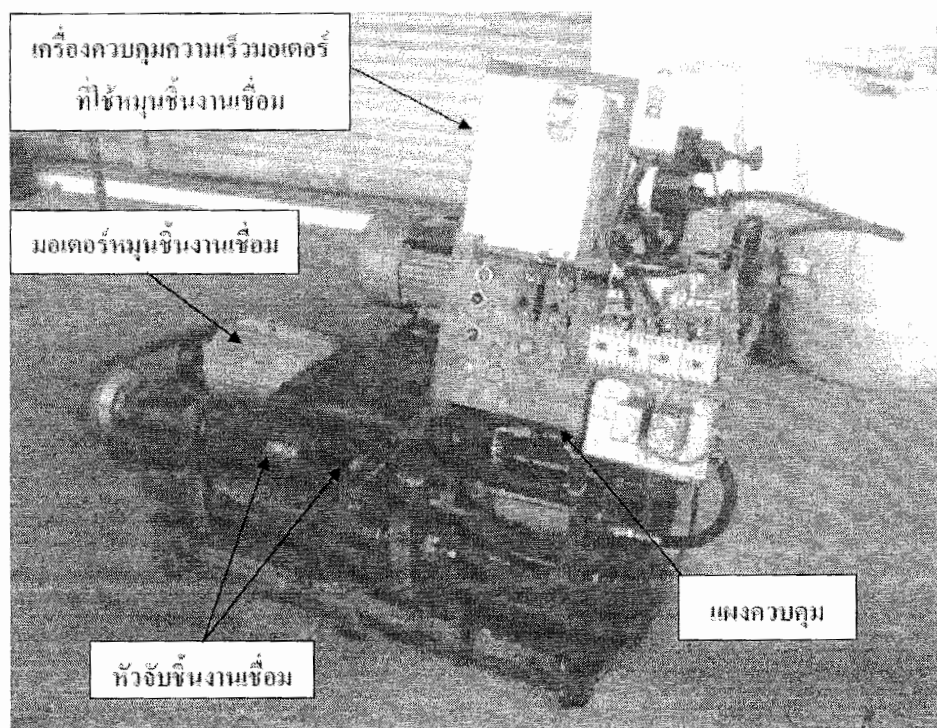
ระบบการเชื่อมด้วยความเสียดทาน อาศัยหลักการเปลี่ยนแรงเสียดทานเป็นพัฒนาการร้อนในการเชื่อม ชิ้นงานให้ติดกัน ในการเชื่อมนั้นทำได้โดยการหมุนชิ้นงานหนึ่งด้วยความเร็ว และบรรบัดค่าหนึ่งดังภาพที่ 1 (A)



ภารที่ 1 การเขียนหัวข้อการนำเสนอสืบค้นในหน่วยงานให้พร้อมอัพเดตข้อมูล

การประเมินค่าผลิตภัณฑ์อาหาร

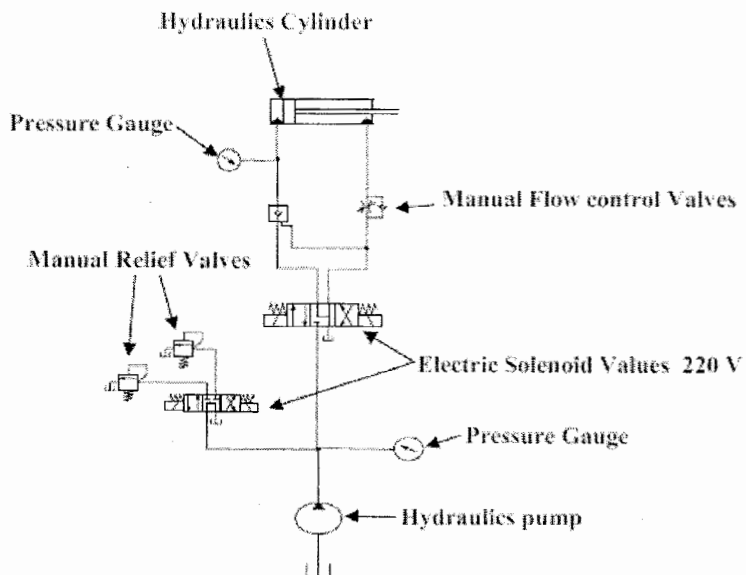
เกี่ยวของซึ่งกันด้วยความเสียดทานต้นแบบ ได้ถูกสร้างขึ้นตามแนวคิดข้างต้นโดยมีมอเตอร์ขนาด 5 แรงม้า เป็นต้น กำลังในการหุงน้ำซึ่งงาน ในส่วนของการควบคุมความเร็วของเครื่องหุงของที่จะทำการเชื่อมนั้นใช้ เครื่องควบคุมความเร็วรอย (Inverter) ขนาด 7.5 แรงม้า ใน การควบคุมความเร็วของเครื่องหุงทำงาน โดยสร้างที่กําหนดของ เครื่องเชื่อมสร้างบนฐานเหล็กของตัวย่างเพื่อทดสอบปัญหาการสั่นสะเทือนดังแสดงในภาพที่ 2 ซึ่งแสดงเครื่องเชื่อม ด้วยแบบที่สร้างสำหรับแล้วและใช้ในการทดลอง หัวนัดระบายน้ำที่ 1 แสดงรายการการอุปกรณ์และคุณสมบัติของอุปกรณ์ ประกอบด้วย เครื่องเชื่อมด้วยความเสียดทานต้นแบบ และในภาพที่ 3 แสดงวงจรของระบบไอลาร์กส์ในการสร้าง แรงดันอัดซึ่งงานเพื่อเชื่อม เครื่องเชื่อมนี้ทำ้งานโดยใช้ระบบ Electric Solenoid Valve ควบคุมแรงดัน ส่วนของการ ปรับเปลี่ยนแรงดันใช้ Manual Relief Valves และใช้ Timer ควบคุมเวลาการทำงาน ซึ่งสามารถปรับตามค่าตัวแปรต่างๆ ตามที่กำหนด



ภาพที่ 2 เครื่องซื้อมห้ามความเสียดทาน (Friction Welding Machine) ที่สร้างขึ้นเพื่อการทดลอง

ตารางที่ 1 ข้อมูลและคุณสมบัติของอุปกรณ์ประกอบเครื่องซื้อมห้ามความเสียดทาน

รายการ	อุปกรณ์/คุณสมบัติ
มอเตอร์ปั๊มไฮดรอลิกส์	220 V / 3 Hp
มอเตอร์ที่ใช้ในการซื้อม	380 V / 5 Hp
ระบบวาล์วความคุ้มไฮดรอลิกส์	Manual Relief Valves
ระบบวาล์วควบคุมการ เปิด-ปิด ไฮดรอลิกส์	Electric Solenoid Valves 220 V.
กระบอกไฮดรอลิกส์	Diameter 4 inches
ระบบควบคุมความเร็วของกระบอกไฮดรอลิกส์	Manual Flow control Valves
ระบบควบคุมเวลาในการทำงาน	Timer
แรงดันปั๊มไฮดรอลิกส์	100 Bar
ระบบควบคุมความเร็วในการหมุนของมอเตอร์ในการซื้อม	Inverter 7.5 Hp



ภาพที่ 3 วงจรควบคุมการทำงานด้วยไฮดรอลิกส์ (Hydraulics Control) ของเครื่องเชื่อมด้วยความเสียดทานที่สร้างขึ้นเพื่อการทดสอบ

วัสดุที่ใช้ในการทดสอบ

วัสดุที่ใช้ในงานวิจัยนี้ ใช้เหล็กคาร์บอนดำที่มีข�性ลามห้องคลอด ซึ่งเรียกว่าเหล็กเพลาขาว ขนาดเส้นผ่าศูนย์กลาง 10 ม.m. ยาว 100 ม.m. โดยได้นำชิ้นงานไปทดสอบเพื่อหาส่วนประกอบทางเคมี ตามมาตรฐานของระบบ AISI (American Iron and Steel Institute) และจากการตรวจสอบหาส่วนประกอบทางเคมีพบว่าเป็นเหล็กชนิด AISI 1015 มีส่วนประกอบดังแสดงในตารางที่ 2

ตารางที่ 2 ส่วนประกอบทางเคมีของวัสดุที่ใช้ในการทดสอบ

Material	%C	%P	%S	%Mn	%Si	%Cr	Tensile Strength (MPa)
AISI 1015	0.15	0.03	0.01	0.47	0.17	0.01	195

วิธีการทดสอบ

ในงานวิจัยนี้จะใช้เครื่องเชื่อมด้วยความเสียดทานที่แสดงในภาพที่ 2 ทำการเชื่อมชิ้นงานก้อนที่มีขนาดเส้นผ่าศูนย์กลาง 10 ม.m. ยาวท่อนละ 100 ม.m. จำนวน 2 ท่อน ให้ติดกันโดยอาศัยหลักการเชื่อมพังที่ให้อิฐนาบ นานแล้ว โดยถ้าหันคว่ำไว้ในการทดสอบดังแสดงในตารางที่ 3 จากนั้นนำชิ้นงานที่เชื่อมตามเงื่อนไขที่กำหนดไปทดสอบหาความแข็งแรง และนำชิ้นงานที่เชื่อมไปทำการทดสอบหาค่าความแข็งของแนวเชื่อมและส่วนอื่นๆของชิ้นงานที่ได้รับผลกระทบจากการเชื่อม โดยใช้เครื่อง Micro Hardness Test และถ่ายภาพโครงสร้างชุดภาคเพื่อ

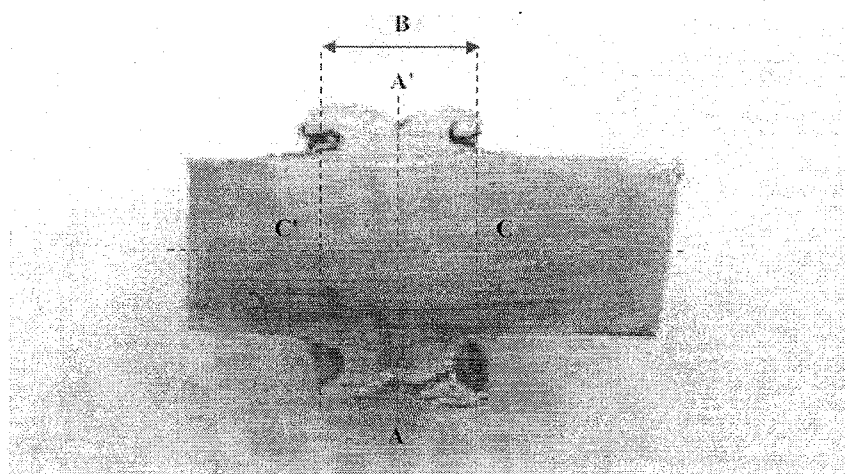
นำไปวิเคราะห์โครงสร้างด้วยเครื่องวิเคราะห์โครงสร้าง (Image analysis) เพื่อหาส่วนประกอบของโครงสร้าง จุลภาคและหากจำนวนเท่ากัน

ตารางที่ 3 ผู้อ่อนไหวต่อการทดสอบ

รายการ	คุณสมบัติ
1. แรงดันในการเสียดทาน (Friction Pressure)	10 Bar
2. เวลาในการเสียดทาน (Friction Time)	9 sec.
3. แรงดันในการอัด (Upset Pressure)	60 Bar
4. เวลาในการอัด (Upset Time)	3 sec.
5. ความเร็วรอบในการหมุน (Rotational Speed)	1200 rpm

ตารางทดสอบหาค่าความแข็งและความต้านทานของโครงสร้างจุลภาค

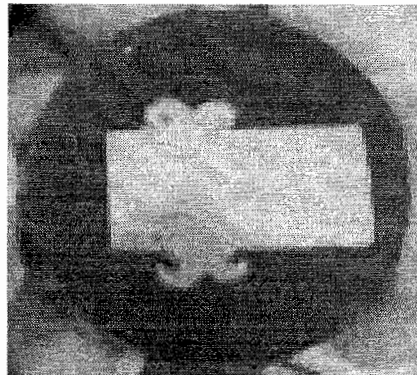
ในการทดสอบค่าความแข็งของรอยเชื่อมทำได้โดยนำชิ้นงานบริเวณส่วนที่เชื่อมติดกันความกว้าง 20 มม. มาผ่าตามแนววงกลมเพื่อให้เห็นรอยเชื่อมตลอดหน้าตัดดังแสดงในภาพที่ 4



ภาพที่ 4 ชิ้นงานเชื่อมที่ผ่านเพื่อทดสอบความแข็ง A-A' คือ แนวเชื่อมต่อของชิ้นงาน B คือ บริเวณพื้นที่ได้รับผลกระทบจากการเชื่อม C-C' คือ แนวเส้นที่วัดค่าความแข็งและถ่ายภาพวิเคราะห์โครงสร้างจุลภาค

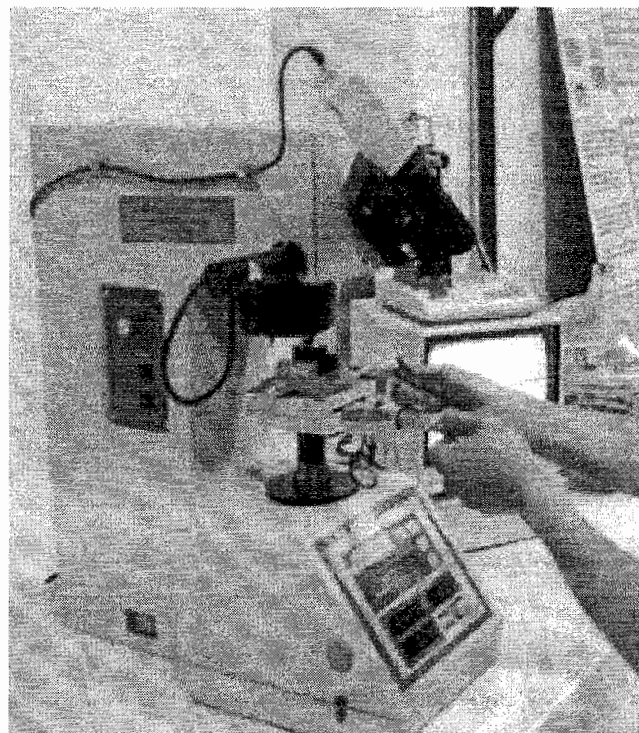
เมื่อผ่านชิ้นงานที่จะทดสอบเสร็จแล้ว ต้องนำชิ้นงานไปทำการรีบอนทูมเพื่อความสะดวกในการเตรียมพื้นที่รวมทั้งการวัดค่าความแข็งของชิ้นงาน โดยรีบอนทูมจะมีความหนามากกว่าความหนาของชิ้นทดสอบเล็กน้อย ทั้งนี้

เพื่อที่จะสามารถดูดขึ้นงานได้ดี จากนั้นจะนำขึ้นงานไปขัดเครื่องพิเศษมัน โดยขึ้นงานที่ผ่านกระบวนการการทำเรือนหุ่มและขัดเคลือบแล้วจะมีลักษณะดังภาพที่ 5



ภาพที่ 5 ขึ้นงานที่ผ่านการทำเรือนหุ่มแล้ว

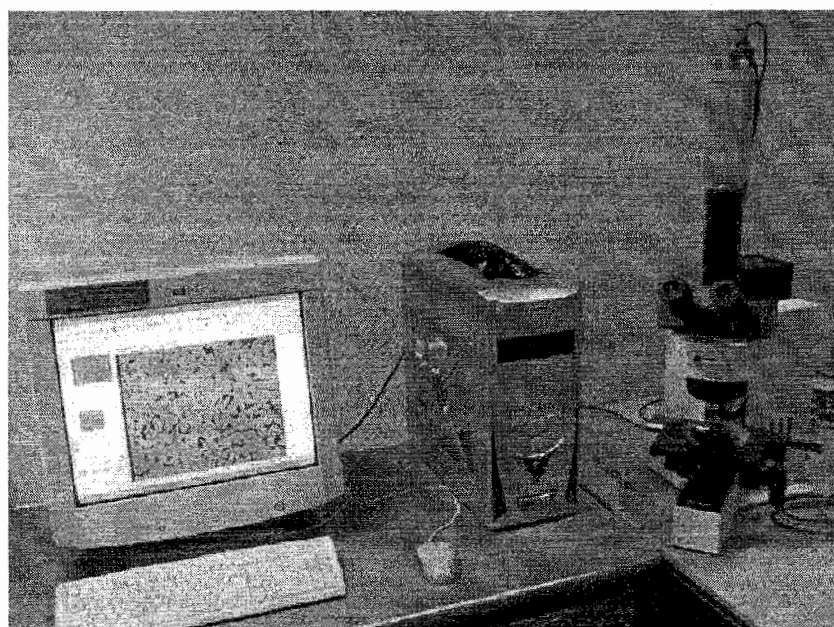
เมื่อผ่านกระบวนการเครื่องพิเศษขึ้นงานเรียบร้อยแล้ว นำขึ้นงานไปตรวจสอบว่าโครงสร้างจากภาคด้านนอกถูกต้องตามที่ระบุไว้แล้วบันทึกภาพที่ทำเหมือนเดิมๆ เพื่อที่จะนำไปวิเคราะห์โครงสร้างจากภาคให้มีความสัมพันธ์กับค่าเหมือนที่จะวัดความแข็ง จากนั้นนำไปวัดค่าความแข็ง (Hardness Test) โดยใช้เครื่อง Micro Hardness ดังภาพที่ 6



ภาพที่ 6 เครื่องวัดความแข็ง ของ Multitoyo รุ่น MVK-H1 Micro Hardness Test

การวิเคราะห์โครงสร้าง

ในการวิเคราะห์โครงสร้างทางโลหะวิทยาได้ใช้อุปกรณ์คอมพิวเตอร์ในการวิเคราะห์ (Image Analysis) ซึ่งเป็นวิธีที่สะดวก และมีประสิทธิภาพ โดยผลที่ได้จากการวิเคราะห์ได้แก่ การหาขนาดเม็ด (Grain Size Number) การวิเคราะห์เปลือกชั้นต์ฟีริต Ferrite และ Pearlite เป็นต้น ใน การวิเคราะห์ครั้งนี้ได้ใช้กล้องวิเคราะห์โครงสร้างอย่าง Olympus รุ่น Olysia M3 ดังแสดงในภาพที่ 7

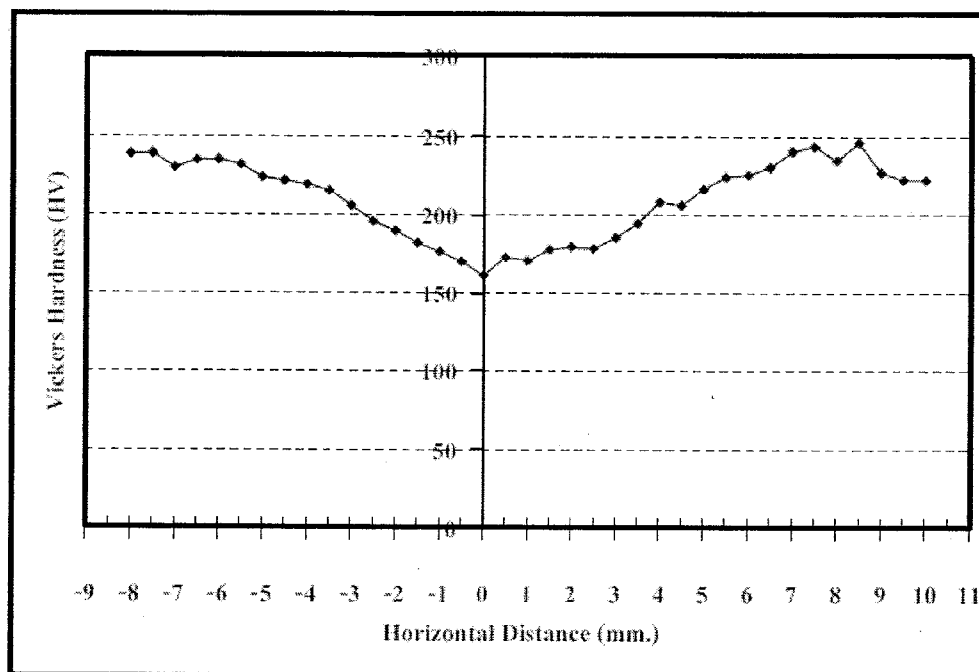


ภาพที่ 7 เครื่องวิเคราะห์โครงสร้าง (Image Analysis) ยี่ห้อ Olympus รุ่น Olysia M3

ผลการทดสอบทดสอบค่าความแข็งที่คำแนะนำต่างๆของรอยเชื่อม

ความแข็งแรงและค่าความแข็งที่คำแนะนำต่างๆของรอยเชื่อม

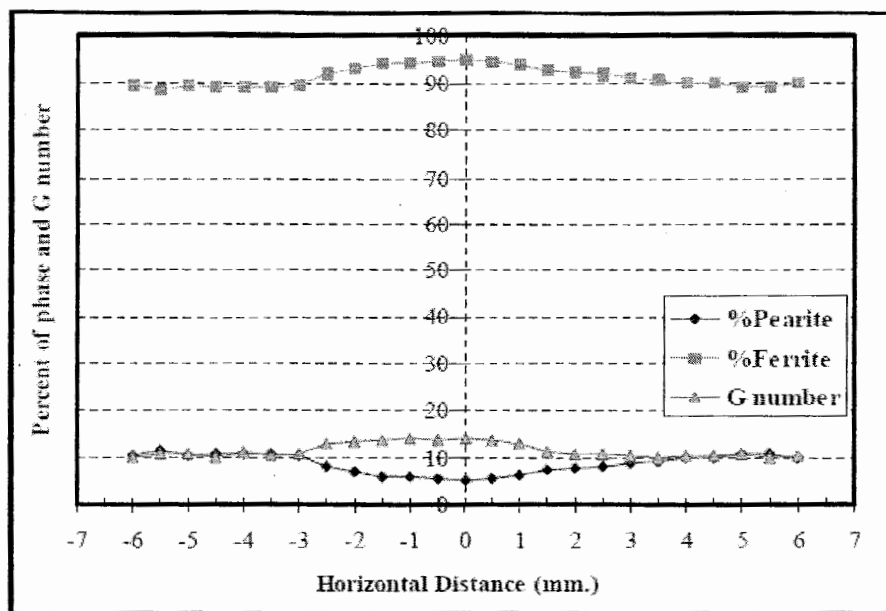
ในการทดสอบความแข็งแรงของรอยเชื่อม ทำได้โดยการตีร่องขึ้นงานชื่อว่า ขาคนเดินเรียบร้อยเชื่อม ซึ่งจากการทดสอบ พบว่าร่องเชื่อมมีค่าความแข็งแรง 228 เมกะปานตัน ซึ่งเพิ่มขึ้นจากเดิมประมาณ 17 เมอร์เช่นต์ (เดิมมีค่าความแข็งแรง 195 เมกะปานตัน) ส่วนในการทดสอบความแข็งที่บัวร่องต่างๆของรอยเชื่อม โดยใช้เครื่องทดสอบความแข็งแบบ Vickers Hardness วัดความแข็งจากคำแนะนำอ้างถึงกางลอนของรอยเชื่อม หรือคำแนะนำที่ชื่นงานชนสัมผัสกัน และวัดตามแนวแกนของชื่นงานไปทางด้านขวา และข้างของแนวเชื่อม โดยมีระยะห่างจุดละ 0.5 มม. และทำการทดสอบความแข็งที่วิวยการเฉลี่ยจาก 5 ชื่นงาน ผลการทดสอบได้ค่าความแข็งที่คำแนะนำต่างๆ ดังแสดงในภาพที่ 8



ภาพที่ 8 ค่าความแข็งของขั้นงานโดยเฉลี่ยภายใต้เงื่อนไขการเชื่อมที่กําหนดเหมือนกัน 5 ขั้นงาน

จากภาพที่ 8 จะเห็นว่าที่ตำแหน่งจุดอย่างที่ขั้นงานสัมผัสกันนั้นความแข็งของรอยเชื่อมมีค่ากว่าตำแหน่งอื่น โดยมีลักษณะคล้ายๆ ของกระแทกงาช ที่ตำแหน่งร่อง kapschuk ซึ่งมีอุปกรณ์ที่ต้องไปถูกความแข็งจะถูกสูงขึ้นจนกว่า กําหนดที่มีอยู่ที่ขั้นงานเดิม ผลที่ได้จากการในภาพที่ 8 แสดงให้เห็นว่าค่าความแข็งบริเวณรอยเชื่อมต่อ มีค่าลดลง เพื่อขอร่างปรากฏการผัดตัวไว้ในขั้นงานไปวิเคราะห์โครงสร้างจุลภาคเพื่อหาสาเหตุด้วยเครื่อง Image Analysis จากการวิเคราะห์ได้ร่องกรน และสัดส่วนของ Pearlite และ Ferrite ตัวสอดในตารางที่ 4 และแสดงเป็นกราฟได้ดังภาพที่ 9 ซึ่งแสดงให้เห็นว่าที่บริเวณกึ่งกลางรอยเชื่อมสัดส่วนของ Pearlite มีค่าน้อยลง ในขณะที่ สัดส่วนของ Ferrite ก้อนมีค่ามากขึ้น ซึ่งส่งผลให้ค่าความแข็งของรอยเชื่อมลดลง (เนื่องจากกรนของ Pearlite นี้ค่า ความแข็งอยู่ในช่วง 184 – 390 HV ซึ่งมากกว่าค่าความแข็งของ Ferrite ที่มีค่าความแข็งอยู่ในช่วง 74 – 158 HV) ส่วนสาเหตุที่สัดส่วนของ Pearlite ลดลงนั้นอาจเกิดจากการเชื่อมด้วยความเร็วคาดคะเนนี้เป็นการเชื่อมทึ้งหน้าตัด ดังนั้นการเชื่อมด้วยจุดอย่างจังกิ็ตอย่างข้าวๆ ใจดูเหมือนบริเวณรอยเชื่อมเป็นตัวแทนที่วัดความแข็ง ซึ่งส่งผลให้จ้านวนของ Pearlite ลดลง และจ้านวนของ Ferrite ที่จ้านวนมากขึ้น

นอกจากนี้ข้อมูลในภาพที่ 9 บันทึกให้เห็นว่าจ้านวนกรน (G number) ที่ร้อยเชื่อมมีจ้านวนมากขึ้น ซึ่งอาจ เกิดจากแรงดันในขณะอัดหัวไฟฟ้ามีจ้านวนมากอีกด้วย การที่จ้านวนของกรนมีมากขึ้นนี้ส่งผลให้ค่าความแข็งบรรลุ ของรอยเชื่อมมีค่าสูงขึ้น

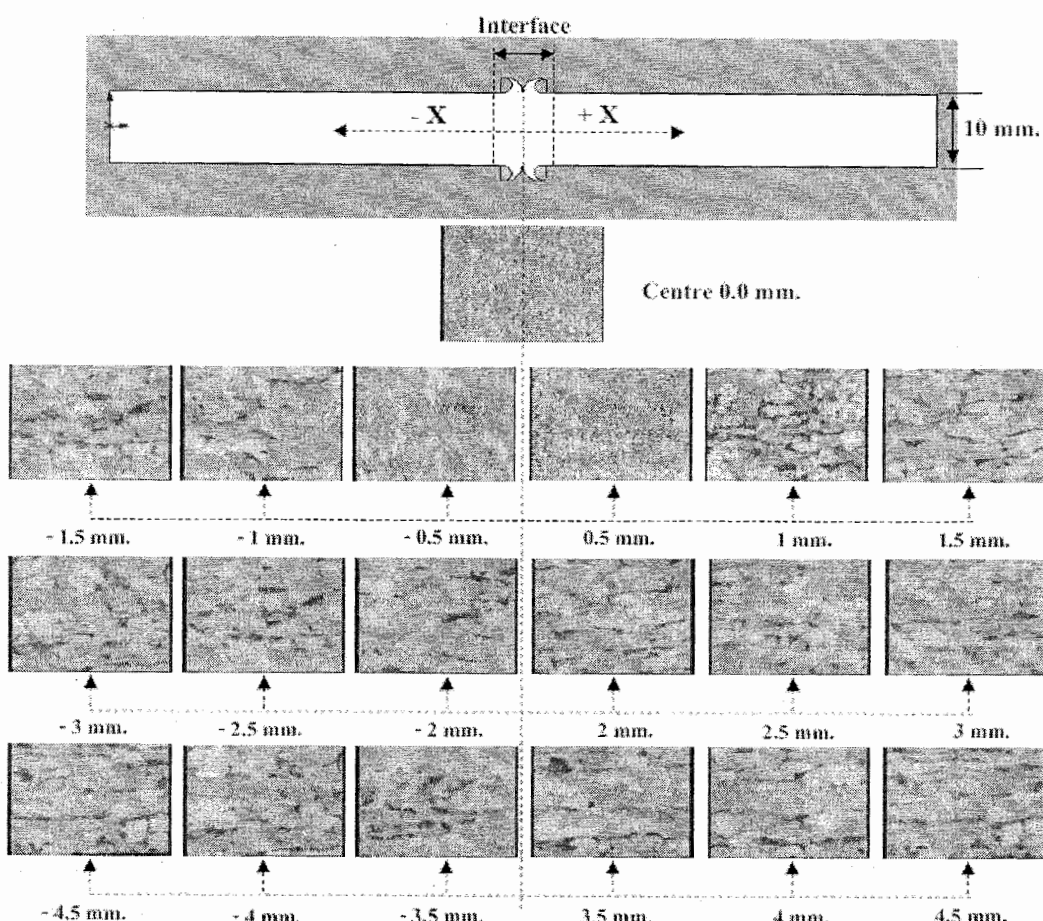


ภาพที่ 9 กราฟการเปลี่ยนแปลงของ Pearite, Ferrite และ G number บริเวณแนวข้อむดลและส่วนที่ได้รับผลกระทบจากการเชื่อม

ตารางที่ 4 ผลการวิเคราะห์ความคงต่อของ Pearite และ Ferrite รวมถึงขนาดของกาว (G number) ที่ระบุต่อไปนี้

-X mm.	-6	-5.5	-5	-4.5	-4	-3.5	-3	-2.5	-2	-1.5	-1	-0.5	0
%Pearite	10.13	11.34	10.23	10.50	10.84	10.68	10.18	7.92	6.92	5.99	5.88	5.42	5.27
%Ferrite	89.87	88.66	89.77	89.50	89.16	89.32	89.82	92.08	93.08	94.01	94.12	94.58	94.73
G number	10.05	10.58	10.71	10.05	10.87	10.48	10.78	12.72	13.08	13.58	13.85	13.71	13.87
+X mm.	0	0.5	1	1.5	2	2.5	3	3.5	4	4.5	5	5.5	6
%Pearite	5.27	5.45	6.17	7.19	7.78	7.99	8.91	9.11	10.03	9.98	10.72	10.53	9.86
%Ferrite	94.73	94.55	93.85	92.81	92.22	92.01	91.09	90.89	89.97	90.02	89.28	89.47	90.14
G number	13.87	13.56	12.85	10.88	10.61	10.53	10.23	10.09	10.34	10.17	10.56	10.08	10.28

ดักยละเอียดโครงสร้างจุลภาคที่ดำเนินการต่อจากของการอบเชื่อม



ภาพที่ 10 ดักยละเอียดโครงสร้างจุลภาคของชิ้นงานเชื่อมที่ระยะต่างๆโดยภาพขยายขนาด 50 X

จากภาพที่ 10 ซึ่งแสดงรูปอ่ายโครงสร้างจุลภาคของการอบเชื่อมที่ดำเนินการต่อๆ กันว่าบริเวณรอยเชื่อม (Interface) มีลักษณะกรนที่ละเอียดมากกว่ากรนที่เกิดขึ้นนอกบริเวณรอยเชื่อม ลักษณะที่เกิดกับบริเวณรอยเชื่อมนี้เกิดจากการให้แรงดันในการอัด (Upset Pressure) เพื่อเชื่อมชิ้นงานให้ดีดีกัน ซึ่งการที่เกรนมีความละเอียดมากขึ้นจะส่งผลให้รอยเชื่อมมีความแข็งแรงมากขึ้นกว่าสแตนเลส nonductile ทางภาพด้านหลังแสดงถึงการเปลี่ยนแปลงของฟลิต Pearite และ Ferrite โดยบริเวณรอยเชื่อมจะเห็นว่ากรนของเหล็กมีลักษณะที่เป็นฟลิตของ Ferrite ทั่วไปของ Ferrite ซึ่งมีลักษณะเป็นสีดำ และมีจำนวนลดลงส่วนของฟลิตจะหายไปและเปลี่ยนเป็นสีขาว

สรุปผลการศึกษาวิจัยและข้อเสนอแนะ

1. เทคโนโลยีที่มีความเสียดทานดีนั้นแบบที่สร้างสามารถทำงานได้ดีและสามารถนำไปใช้ในการศึกษาวิจัย เกี่ยวกับตัวแปรต่างๆ ที่จะมีผลกระทบต่อการเชื่อมวัสดุชนิดต่างๆ ต่อไปได้
2. ชิ้นงานที่เชื่อมด้วยความเสียดทานภายใต้เงื่อนไขการทดสอบที่กำหนด มีความแข็งแรงมากกว่าวัสดุเดิม ประมาณ 17 เท่าตัวที่เดิม ซึ่งอาจเกิดจากแรงดันในการอัดทำให้เก็นนบริเวณรอยเชื่อมมีความละเอียด และมีขนาดมากขึ้น ส่วนผลให้บริเวณรอยเชื่อมมีความแข็งแรงมากขึ้นกว่าเดิม
3. ภายใต้เงื่อนไขการทดสอบที่กำหนด พบว่าบริเวณกลางของรอยเชื่อมมีค่าความหนืดสูง ซึ่งการที่ก่อ ความแข็งของรอยเชื่อมมีค่าลดลงนั้น เกิดจากความร้อนที่เกิดขึ้นในระหว่างการเชื่อมทำให้เปลือกชั้นต์ของ Pearlite แตกเมื่อบด และมี Ferrite เพิ่มขึ้น จึงส่งผลให้บริเวณแนวเชื่อมต่อมีความนุ่มนากขึ้นกว่าเดิม
4. ในการศึกษาวิจัยนี้ไม่ได้ทำการศึกษาถึงอิทธิพลของตัวแปรอื่น ๆ เช่น แรงดัน เวลา ใน การเสียดทาน และในการอัด ความเร็วของในการหมุน และอุณหภูมิจุดเชื่อมต่อ ซึ่งเป็นตัวแปรที่อาจส่งผลถึงคุณสมบัติของวัสดุ และเป็นเงื่อนไขที่ม่าจะทำการศึกษาวิจัยต่อไป

กิตติกรรมประกาศ

ขอขอบคุณภาควิชาวิศวกรรมเครื่องกล คณะวิศวกรรมศาสตร์ มหาวิทยาลัยอุบลราชธานี ที่สนับสนุนทุนในการวิจัยนี้ และขอขอบคุณ พศ.สุริยา ใจสวัสดิ์ และพศ.ดร.สุขชัยกฤษ ลี อาจารย์ประจำภาควิชาวิศวกรรมอุตสาหการ คณะวิศวกรรมศาสตร์ มหาวิทยาลัยอุบลราชธานี ที่ให้การสนับสนุนเครื่องมือ และกำเนิดน้ำท่อ งานวิจัย

บรรณานุกรม

- Ates, H., Turker, M. and Kurt, A. 2007. "Effect of friction pressure on the friction-welded MA956 iron-based superalloy" *Materials and Design* 28 : 948-953
- Balasubramanian, V. 2008. "Relationship between base metal properties and friction stir welding process parameters" *Materials Science and Engineering* 480 : 163-175
- Hascalik A. and Orhan, N. 2007. "Effect of particle size on friction welding of Al_2O_3 reinforced 6160 Al alloy composite and SAE 1020 steel" *Materials and Design* 28 : 313-317
- Jayabharath, K., Ashfaq, M., Venugopal, P. and Achar, D.R.G. 2007. "Investigations on the continuous drive friction welding of sintered powder metallurgical (P/M) steel and wrought copper parts" *Materials Science and Engineering* 454-455 : 114-123

- Li, W.-Y., Ma, T.J., Xu, S.Q., Zhang, Y., Li J.L. and Liao, H.L. 2008. "Effect of friction time on flash shape and axial shortening of linear friction welded 45 steel" *Materials Letters* 62 : 293-296
- Meshram, S.D., Mohandas T. and Reddy, G.M. 2007, "Friction welding of dissimilar pure metals" *Journal of Materials Processing Technology* 184 : 330-337
- Ozdemir, N., Sarsilmaz, F. and Hascalik, A. 2007. "Effect of rotational speed on the interface properties of friction-welding AISI 304L to 4340 steel" (*Short communication*) *Materials and Design* 28 : 301-307
- Sahin, M. and Akata, H.E. 2003. "Joining with friction welding of plastically deformed steel" *Journal of Materials Processing Technology* 142 : 239-246
- Sahin, M. 2007. "Evaluation of the joint – interface properties of austenitic – stainless steels (AISI304) joined by friction welding" *Materials and Design* 28 : 2244-2250
- Sathiya, P., Aravindan S. and Haq, A.N. 2008. "Some experimental investigation on friction welded stainless steel joints" *Materials and Design* 29 : 1099-1109
- Uwada, T., Ukai, S., Nakai, T. and Fujiwara, M. 2007. "Properties of friction welds between 9Cr-ODS martensitic and ferritic-martensitic steel" *Journal of Nuclear Materials* 367-370 : 1213-1217

การประชุมวิชาการเครื่องข่ายวิศวกรรมเครื่องกลแห่งประเทศไทยครั้งที่ 22
15-17 กันยายน 2551 มหาวิทยาลัยธรรมศาสตร์ ศูนย์ปีงสีต

การเชื่อมเหล็กกลมด้วยความเสียดทาน Friction Welding for Round Steel Rods

อุรัสสิงห์ อารยานุรุํ ชวัลลิต ทิมวงศ์พิทักษ์ และ อดิษฐ์ บุตรวงศ์
ภาควิชาวิศวกรรมเครื่องกล คณะวิศวกรรมศาสตร์ มหาวิทยาลัยอุบลราชธานี อ.วารินช้าราก
จ.อุบลราชธานี 34190
โทรศัพท์ 045-353381-2 โทรสาร 045-353333, email: nok_arayangkoor@hotmail.com

บทคัดย่อ

การเชื่อมด้วยความเสียดทานเป็นวิธีการเชื่อมอีกวิธีหนึ่งที่กำลังได้รับความสนใจศึกษาในวงกว้าง และเป็นอีกเทคโนโลยีที่นิยมใช้ในอุตสาหกรรมชั้นส่วนยานยนต์ เนื่องจาก การเชื่อมด้วยความเสียดทานสามารถเชื่อมได้ตลอดทั้งหน้าตัด ไม่เกิดฟองอากาศ และความแข็งแรงของรอยเชื่อมดูดี ซึ่งต่างจาก การเชื่อมแบบปกติที่หัวไม่ปะซึ่งเชื่อมไม่เฉพาะรอบๆ อย่างเดียว นอกจากนี้ การเชื่อมด้วยแรงเสียดทานยังใช้เวลาในการเชื่อมที่สั้นมากและคุณภาพรอยเชื่อมคงที่ เนื่องจากไม่มีข้อกับฝาไม้ข้างเชื่อม ด้วยข้อได้เปรียบดังกล่าว จึงมีศูนย์ศึกษาเกี่ยวกับการเชื่อมแบบนี้อย่างต่อเนื่องและกว้างขวาง ทั้งในเมือง外ประเทศรวมถึงในประเทศไทย ความต้นที่ใช้ในการเชื่อม เวลาที่เหมาะสมในการเชื่อม และคุณสมบัติของรอยเชื่อม ทั้งในระดับอุตสาหกรรม และมหาวิทยาลัย เป็นหัวข้อที่นักวิจัยและนักวิศวกรให้ความสนใจอย่างมาก เพื่อสร้างเครื่องเชื่อมด้วยความเสียดทานขึ้น และทำการทดสอบเพื่อหาคุณภาพและของรอยเชื่อมที่เกิดขึ้น ทั้งในเมืองไทยและต่างประเทศ และความแข็งแรง

การศึกษานี้ได้สร้างและพัฒนาเครื่องเชื่อมด้วยความเสียดทานโดยอาศัยหลักการหมุน ขึ้นลงให้เข้าสกัดกันภายใต้แรงดัน เก่าๆ ที่เหมาะสมกับความร้อนไก่ชุดทดลองเหลว และรัดให้เข้าหากันเชื่อมติดกัน โดยใช้มอเตอร์ขนาด 5 แรงม้า เป็นตัวขับ(หมุนขึ้นงาน) และระบบไฮดรอลิกส์ เป็นต้นกำลังในการขับขึ้นงาน ซึ่งได้ทำภาระทดลองเชื่อมแท่งเหล็กกลมทั้ง ขนาดเด่น派สูญญากาศ 3/8 นิ้ว ที่ปั่นไปการเชื่อมต่ำๆ กัน จากนั้นนำขึ้นงานที่ได้ปักขอบหัวค่าความเร็วแรง และค่าความแข็งแรงแบบวิศวกรรม ผลการทดลองพบว่าเครื่องเชื่อมด้วยความเสียดทานสามารถสร้างรอยเชื่อมต่อที่มีคุณภาพดี เนื้อร่องดูกระชับ หลอดติดกันติดหัวตัดอย่าง严紧 ความแข็งแรงของแนวเชื่อมต่อ มีค่าใกล้เคียงกับข้องานเดิม ผลการทดสอบความแข็งแรงพบว่าความแข็งแรงเบนบริเวณแนวเชื่อมต่อ มีค่าลดลง หรือมีความนุ่มนวลมากขึ้น ซึ่งอาจเป็นผลมาจากการร้อนที่ในระหว่างการเสียดทาน อย่างไรก็ตามผลของการร้อนนี้มีระดับไม่ใกล้เคียงกับอุณหภูมิมากนัก (ผลการศึกษาพบที่จะประมาณ 6 mm.) นอกจากนี้ยังได้เปรียบเทียบและวิเคราะห์โครงสร้างจุลภาคของข้อเชื่อมที่น้ำหนักต่อหน่วยต้องเท่ากันและเท่ากัน

การประชุมวิชาการเพื่อขับเคลื่อนการพัฒนาประเทศไทยครั้งที่ 22
15-17 ตุลาคม 2551 มหาวิทยาลัยธรรมศาสตร์ ศูนย์รังสิต

การเชื่อมเหล็กกลมด้วยความเสียดทาน Friction Welding for Round Steel Rods

อุรัสจิ้ง อารยะกุรุ ชวติษฐ นิ่นวงศ์พิพากษ์ และ อติศักดิ์ มุหะมัด
ภาควิชาวิศวกรรมเครื่องกล คณะวิศวกรรมศาสตร์ มหาวิทยาลัยอุบลราชธานี อ.วารินชำราบ จ.อุบลราชธานี 34190
โทรศัพท์ 045-353381-2 โทรสาร 045-353333, email: nok_arayangkoor@hotmail.com

บทคัดย่อ

ปัจจุบันการศึกษาวิจัยเทคโนโลยีการเชื่อมด้วยแรงเสียดทานมีการพัฒนาไปในทิศทางของการเชื่อมด้วยความเสียดทานนั้นมาถือเป็นการเชื่อมที่ดีที่สุด ซึ่งต้องใช้เวลาในการเชื่อมที่น้อยกว่าการเชื่อมอื่นๆ แต่ต้องใช้แรงดันอัตราส่วนที่สูงกว่าการเชื่อมอื่นๆ อย่างมาก แต่ในทางด้านความเสียดทานนั้นได้มีการพัฒนาให้สามารถเชื่อมงานนี้ได้ดีกว่า การเชื่อมด้วยความเสียดทานนั้นมีข้อดีหลายอย่าง เช่น สามารถต่อติดหัวทั้งที่หน้าตัดของชิ้นงานเชื่อมและมีความแข็งแรงของแนวเชื่อมสูง ซึ่งเป็นส่วนหนึ่งของการพัฒนาสร้างเครื่องเชื่อมด้วยความเสียดทาน โดยกำหนดให้เครื่องเชื่อมด้วยความเสียดทานดันแบบต่อตัวสามารถเชื่อมชิ้นงานที่เป็นเหล็กกลมชนิด AISI 1015 ได้ และด้วยการที่งานได้อ่านต่อเนื่องในช่วงการเชื่อมจะไม่เกิดรอยต่อของจั๊บเปร่งต่างๆ

จากการศึกษาวิจัยและพัฒนาเครื่องเชื่อมด้วยระบบ พบร่างเครื่องเชื่อมดันแบบสามารถที่สามารถลดเวลาเชื่อมต่อชิ้นงานได้ตามเงื่อนไขที่กำหนด โดยเลือกใช้ของดักแปลปร่างๆ กันที่เครื่องเชื่อมด้วยความเสียดทานดันแบบที่ได้ดี สามารถปฏิรูปตัวโครงสร้างในการเสียดทาน (Friction Pressure) ตั้งแต่ 10-80 นาที แรงดันในการเชื่อม (Upset Pressure) ตั้งแต่ 20-100 บาร์ ความเร็วของแรงเสียดทาน (Friction Speed) ตั้งแต่ 0-2500 รอบต่อนาที และสามารถดับรับตัวเวลาในการเสียดทาน (Friction Time) เวลาในการเชื่อม (Upset Time) ได้ จากการทดลองเชื่อมเหล็กกลมชนิด AISI 1015 พบว่า ตัวความแข็งแรงของแนวเชื่อมต่อมีค่าความแข็งแรงเพิ่มมากกว่าชิ้นงานเดิม (Base Iron) ในส่วนของการวิเคราะห์ความแข็งของชิ้นงานที่เชื่อมด้วยความเสียดทานนั้นพบว่าความแข็งของแนวเชื่อมต่อมีค่าความแข็งลดลง ซึ่งเป็นผลมาจากการร้อนที่เกิดขึ้นระหว่างการเชื่อมทำให้เปอร์เซ็นต์ของ pearlite ลดลง ในส่วนของความแข็งแรงที่เพิ่มมากขึ้นนั้นจากการวิเคราะห์โครงสร้างของเกราะเหล็กด้วย Microphotograph พบว่าบัวหัวแหลมแนวเชื่อมต่อมีการขยายของเหล็กที่ลดลงมากกว่าบัวหัวแหลมที่ไม่ได้รับผลกระทบจากเชื่อม ส่วนผลที่ได้รับผลกระทบเชื่อมต่อมีความแข็งแรงมากขึ้น

Abstract

Friction welding is an alternative welding technique which has been developed for decades. It forms the joint by frictional force between the interface of specimens. In the welding process, the specimens are in contact and rotated, so that, heat is generated until the contact faces are in semi-solid state. Subsequently, the specimens are pushed to bond together. Friction welding provides many advantages such as the joint is speeded through the whole section and high strength of joint.

In this paper, a friction welding machine was constructed to perform a study on welding of round steel rods of AISI 1015. The machine was designed to work with friction pressure from 10-60 bar, upset pressure from 20-100 bar and friction speed from 0-1550 rpm. Friction time and upset time can also be varied as desired. The machine was tested to weld AISI 1015 round steel rods under some conditions. It was found that the strength of welded specimen is higher than the base iron. This is because the finer grains of welded some after welding.

It addition, it was also found that, the hardness of the welding zone is decreased, especially in the center of joint. This is due to the percentage of pearlite is decreased while the percentage of ferrite is increased in the heating process of friction.

1. บทนำ

ในปัจจุบันมีการนำไปใช้ในโลกใบใหม่ในการเชื่อมด้วยความเสียดทานมาใช้ในวงการอุตสาหกรรมอย่างหลากหลายเนื่องจากการเชื่อมด้วยความเสียดทานสามารถเชื่อมชิ้นงานที่มีคุณภาพความแข็งแรงสูง สามารถเชื่อมวัสดุต่างๆ ได้ การเชื่อมด้วยความเสียดทานมีข้อดีหลายประการ เช่น ใช้เวลาในการเชื่อมสั้น ไม่จำเป็นต้องใช้ช่างฝีมือ ชิ้นงานที่เชื่อมมีการลดน้ำหนักที่น้อยกว่าการเชื่อมด้วยความเสียดทาน ไม่จำเป็นต้องใช้วัสดุชั่วคราว ซึ่งเมื่อเทียบกับการเชื่อมด้วยไฟฟ้าโดยใช้ชุดวิ่งเชื่อม

เป็นตัวเรื่องที่สอนพูดว่าการใช้อุปกรณ์นี้มีลักษณะเหมือนการพอก เหราจะเป็นการซื้อติดบิวท์ไว้เพื่อความคุ้มครองของชิ้นงานมากกว่า ไออกเดียมเมื่อชิ้นงานมีพิษหากได้สัมผัสกับชิ้นความแข็งแกร่งของเหลวเช่น มีนีบบลส ซึ่งต่างจากการซื้อติดบิวท์ความเสียดทานเป็นอย่างมาก หากการซื้อติดบิวท์ความเสียดทานนั้นให้ถูกภาพของชิ้นงานที่ซื้อมา ทั่วทั้งฟันได้ดีของเหลวเช่น ล้ำช้อร์ไดบีร์บัคตัลล์ ซึ่งมีผู้วิจัย ศึกษาเกี่ยวกับการซื้อติดบิวท์ที่ซื้อมาบานน์ต่อสัมผัสนี้เองและภาระของชิ้นงาน ได้แก่ Mumtin Sahin และ H. Erol Akata [1] ได้ทำการศึกษาการซื้อติดบิวท์เพื่อตรวจสอบความเสียดทานที่มีอยู่ที่ชิ้นงาน 0.17 – 0.23 เมตรชิ้นต์ โดยใช้วัสดุที่มีขนาดพื้นที่ฟ้าได้ตัดเท่ากันและต่างขนาดกัน จากการศึกษาพบว่าการใช้แรงดันเลี้ยงหก 30 MPa และ เวลาสักดักหก 5 วินาที มีผลทำให้ห้ามใช้ซื้อติดบิวท์มีความเสียดทานที่สูง นอกจากนี้ Mumtin Sahin [2] ยังได้ทำการศึกษาของซื้อติดบิวท์ที่มีผลต่อความเสียดทานและ โครงสร้างของวัสดุในระดับอุตสาหกรรม ของวัสดุ austenitic – stainless steels (AISI304) N. Ozdemir, F. Sarsilmaz และ A. Hascalik [3] ทำการศึกษาความเร็วในการหดหุนชิ้นงานซื้อติดบิวท์ที่มีผลกระทบต่อ โครงสร้าง ความแข็ง และความเสียดทานของชิ้นงานซื้อติดบิวท์ที่มีผล กันระหว่างเหล็ก AISI 304L และเหล็ก AISI 430 Hakam Atas, Mehmet Turker และ Adem Kurt [4] ทำการศึกษาแรงดันในการ เพื่อดูผลของการซื้อติดบิวท์ที่มีผลกระทบต่อโครงสร้าง ความแข็ง และ ความเสียดทานของชิ้นงานซื้อติดบิวท์ MA956 Iron – Based Superalloy เป็นวัสดุในภาคศึกษาวิจัย และ P. Sathiya, S. Aravindan, A. Noorul Haq [5] ยังได้ทำการศึกษาซื้อติดบิวท์ของชิ้นงาน AISI 304L และ AISI 430 ที่ซื้อติดบิวท์ความเสียดทานซึ่งรองรับต่อสัมผัสนี้เอง ที่มีผล ต่อโครงสร้างของวัสดุในระดับอุตสาหกรรม

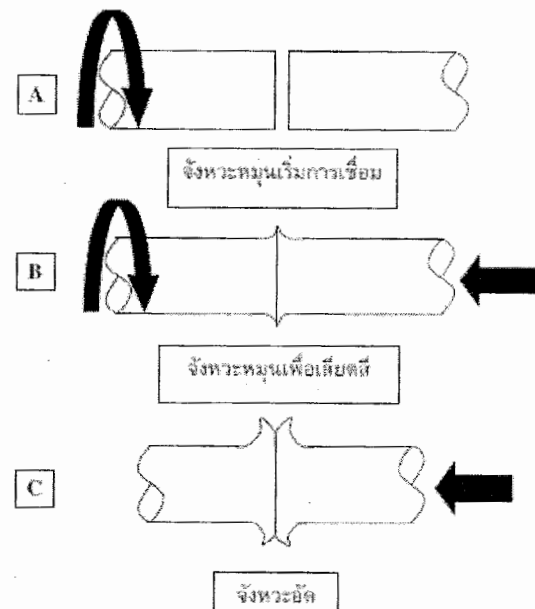
ในงานวิจัยนี้ ได้ทำการสร้างเครื่องซื้อติดบิวท์ความเสียดทาน ตามแบบที่สามารถปรับตั้งค่าได้และทำงานได้อย่างต่อเนื่องเพื่อใช้ใน การศึกษาวิจัยเกี่ยวกับผลกระทบที่เกิดจากการซื้อติดบิวท์ความเสียดทานโดยมุ่งความสนใจไปที่การเปลี่ยนแปลงความเสียดทานของชิ้นงานที่ซื้อติดบิวท์และโครงสร้างของวัสดุเป็นหลัก การวิเคราะห์ผลการทดลองด้วย เครื่อง Micro Hardness (HV) และทำการวิเคราะห์โครงสร้างอุตสาหกรรมขนาดเล็ก (Grain Size Number) การวิเคราะห์ปอร์ชินต์ฟล์ ferrite และ pearlite อย่างไรก็ตามยังมีลักษณะที่ซับซ้อนที่อาจมีผลกระทบต่อการซื้อติดบิวท์ความเสียดทาน เช่น แรงดันและเวลาในการซื้อติดบิวท์ ความยาวของชิ้นงานที่หายไป และลักษณะของผิวลับบีบีนลัน ซึ่งตัวแปรเหล่านี้จะทำการศึกษาเพื่อไปในอนาคต

2. เครื่องซื้อติดบิวท์และการศึกษา

2.1 แนวคิดเบื้องต้นของระบบการซื้อติดบิวท์ความเสียดทาน

ระบบการซื้อติดบิวท์ความเสียดทานนี้ อาศัยหลักการปั๊มน้ำแรง เสียดทานเป็นหลักงานความร้อนในการซื้อติดบิวท์ที่ซื้อติดกัน ใน การซื้อติดกันที่ได้โดยการหดหุนชิ้นงานที่ซื้อติดกันและแรงบิดตัว หนึ่งตัวรูปที่ 1 A จากนั้นล้วงแรงดันทุ่นให้ชิ้นงานนั้นไปลิมพ์สัมและหดหุน เสียดติดกับชิ้นงานอีกชิ้นหนึ่งที่ซื้อติดกับที่ซื้อติดกันที่หดหุนแรงดัน ให้เกิดการเสียดติดกันจนเกิดความร้อนหดหุนให้หน้าลิมพ์สัมทั้งสอง

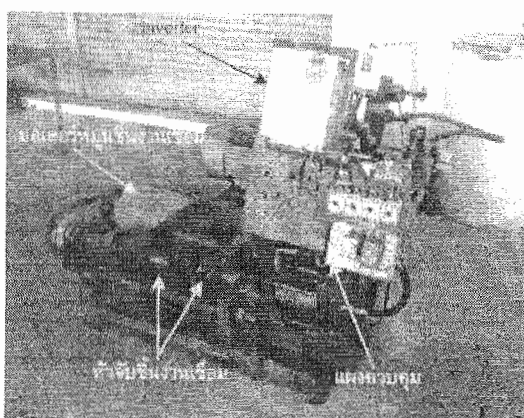
เข้าสู่กระบวนการซื้อติดบิวท์ 1 B จึงให้บรรลุนั้นลักษณะในวิธีการหดหุนที่ได้ซื้อติดบิวท์ให้ติดกันที่รูปที่ 1 C โดยหลังจากความร้อนหดหุนที่ซื้อติดกันแล้วได้รับน้ำที่ซื้อติดกับวัสดุเปรียบเทียบตัว ได้แก่ แรงบิด ความเร็วของ ระบบหดหุนในการให้แรงในขณะหดหุน สำหรับแรงดันในขณะหดหุนต่อ ช่วงของการซื้อติด เป็นลักษณะ



รูปที่ 1 การซื้อติดบิวท์ความเสียดทานในขณะหดหุนให้บรรลุนั้นลักษณะเดียว

2.2 เครื่องซื้อติดบิวท์ความเสียดทาน

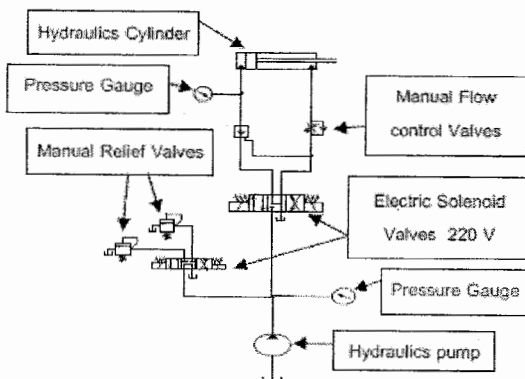
เครื่องซื้อติดบิวท์ความเสียดทานที่ซื้อติดกันได้ถูกสร้างขึ้นด้วยแม่พิมพ์ ชั้นต้นโดยมีแรงดันตัว 5 MPa เมื่อตัดกับตัวในการหดหุนชิ้นงาน ในส่วนของการควบคุมความเร็วของกระบวนการหดหุนของชิ้นงานที่จะหดหุน ซึ่งมีน้ำให้ Inverter ขนาด 7.5 Hp ในการควบคุมความเร็วของ การหดหุน โครงสร้างทั้งหมดของเครื่องซื้อติดบิวท์จะสร้างบนฐานเหล็กของตัว ยานที่ต้องดูแลการสั่นสะเทือนตัวและรูปที่ 2 ซึ่งแสดงเครื่องซื้อติดบิวท์ที่ซื้อติดกันด้วยแม่พิมพ์ที่ตั้งไว้ในห้องทดลอง ส่วนตารางที่ 1 แสดงรายการอุปกรณ์และคุณสมบัติของอุปกรณ์ประจำอยู่เครื่องซื้อติด ด้วยความเสียดทานต้นแบบ และใช้ระบบไฮดรอลิกส์ในการหดหุน แรงดันตัวชิ้นงานที่ซื้อติด เครื่องซื้อติดนี้ทำงานโดยใช้ระบบ Electric Solenoid Valve ควบคุมแรงดัน สำหรับการบีบตัวกระแทกให้ใช้ Manual Relief Valves และใช้ Timer ควบคุมเวลาการหดหุน ซึ่ง สามารถปรับตามตัวแปรต่างๆ ตามที่กำหนดได้ รูปที่ 3 แสดงรูป ค่าคุณภาพของระบบไฮดรอลิกส์ของเครื่องซื้อติดบิวท์ความเสียดทานที่สร้างขึ้นเพื่อการทดสอบ



รูปที่ 2 เครื่องซึ่งมีความต้องการเสียดทาน (Friction Welding Machine) ที่สร้างขึ้นเพื่อการทดสอบ

ตารางที่ 1 อุปกรณ์และอุปกรณ์ชั้งเครื่องซึ่งมีความต้องการเสียดทาน

รายการ	อุปกรณ์/คุณสมบัติ
บันเดร์ปั๊มไฮดรอลิกส์	220 V / 3 Hp
วงจรต่อไฟในการซึ่ง	380 V / 5 Hp
ระบบควบคุมคุณภาพด้วยมือ	Manual Relief Valves
ระบบควบคุมคุณภาพ อัตโนมัติ	Electric Solenoid Valves 220 V
ระบบออกไฮดรอลิกส์ Ø	4 inches
ระบบควบคุมความเร็วของ	Manual Flow control Valves
ระบบควบคุมเวลาในการทำงาน	Timer
แรงดันปั๊มไฮดรอลิกส์	100 Bar
ระบบควบคุมความเร็วในการหมุน	Inverter 7.5 Hp
ของมอเตอร์ที่ใช้ในการซึ่ง	



รูปที่ 3 วงจรควบคุมการทำงานด้วยไฮดรอลิกส์ (Hydraulics Control) ของเครื่องซึ่งมีความต้องการเสียดทานที่สร้างขึ้นเพื่อการทดสอบ

2.3 วัสดุที่ใช้ในการทดสอบ

วัสดุที่ใช้ในการซึ่งนี้ ใช้เหล็กกล้าคาร์บอนสำหรับห้องทดลอง เป็นก้านเหล็กเพลาขนาดเส้นผ่าศูนย์กลาง 10 มิลลิเมตร ยาว 100 มิลลิเมตร และใช้ตัวเรือนงานไปทดแทนเพื่อพารามิเตอร์ของห้องทดลอง โดยใช้มาตรฐานของรัฐ SAE-AISI (American Iron and Steel Institute) และจากตารางจะเห็นว่าประเภทของเหล็กที่ใช้ AISI 1015 มีส่วนประกอบดังแสดงในตารางที่ 2

ตารางที่ 2 ส่วนประกอบของเหล็กที่ใช้ในการทดสอบ

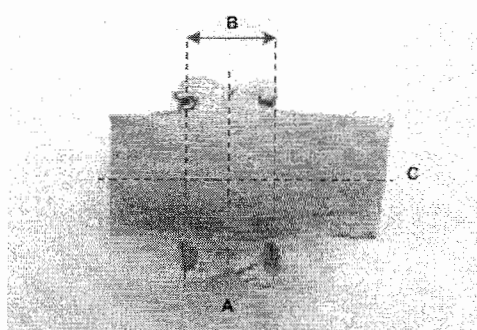
Material	%C	%P	%S	%Mn	%Si	%Cr
AISI 1015	0.15	0.03	0.01	0.47	0.17	0.01

2.4 การทดสอบเพื่อเชื่อมตันแบบ

เพื่อเป็นการทดสอบเบื้องต้นเชื่อมตันแบบ ใช้ไฟฟ้าเครื่องซึ่งมีความต้องการเสียดทานที่มีขนาดเส้นผ่าศูนย์กลาง 10 มิลลิเมตร ยาว 100 มิลลิเมตร ให้ติดกันโดยอาศัยหลักการซึ่งมีลักษณะที่ได้รับมาแล้ว โดยในปัจจุบันได้มีการใช้เชื่อมตันไฟฟ้าซึ่งมีการซึ่ง 1 เส้นไฟฟ้า ให้แรงดันในการเสียดทาน 10 บาร์ เวลาในการซึ่ง 9 วินาที แรงดันไฟฟ้าซึ่ง 60 บาร์ เวลาในการซึ่ง 3 วินาที ความเร็วของห้องหมุน 1200 รอบต่อนาที เป็นเชื่อมไฟฟ้าในห้องทดสอบ อาจฉันน้ำเข้ามาที่ที่ซึ่งมีแรงดันไปทดแทน เพื่อทดสอบความแข็งของเนื้อเยื่อและอ่อนหุ้นของชิ้นงานที่ได้ผล กระบวนการของการซึ่ง โดยใช้เครื่อง Micro Hardness Test และถ่ายภาพ Microphotograph นำไปอ่านไปร่วมกับไฟฟ้าอุปกรณ์ด้วย Image analysis เพื่อหาปริมาณที่ต้องการซึ่งตัวอย่าง เช่น ความหนาต่างกันของรูป ferrite และ pearlite

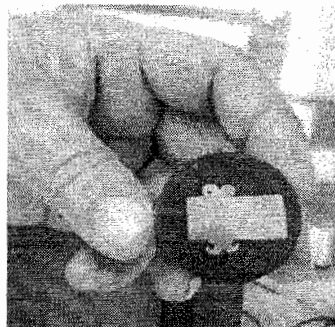
2.5 การทดสอบหาตัวแปรมีน้ำและตรวจสอบโครงสร้างอุบลาก

ในการทดสอบความแข็งที่ได้โดยการซึ่งมีความต้องการเสียดทานที่ซึ่งมีติดกันมากจากความแข็งของเนื้อเยื่อไฟฟ้าซึ่งต้องทดสอบในรูปที่ 4



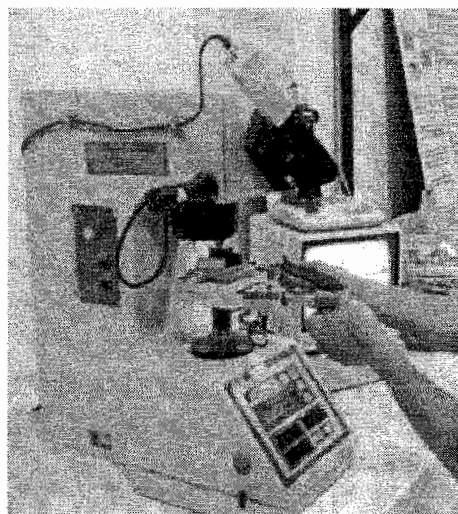
รูปที่ 4 ชิ้นงานซึ่งที่ผ่านไปทดสอบความแข็ง A คือแนวซึ่งต้องการซึ่งชิ้นงาน B คือบริเวณพื้นที่ที่ได้รับผลกระทบจากการซึ่ง C คือแนวที่วัดค่าความแข็งและถ่ายภาพวิเคราะห์โครงสร้างอุบลาก

เมื่อฝ่าขึ้นงานที่จะทดสอบเครื่องค้า ต้องนำขึ้นงานไปห้าเรือหุ้ม เพื่อความสะอาดในการเตรียมพื้นผิว รวมทั้งการวัดค่าความแข็งของ ขึ้นงาน โดยเรียนรู้จะมีความหมายกว่าความหนาของชิ้นทดสอบ เส้นน้อย ที่ได้โดยที่จะสามารถเดินขึ้นงานได้ดี จากนั้นนำไปปั๊บ ซัดหรือยันกับหัวหมุน โดยขึ้นงานที่สำคัญกระบวนการห้าเรือหุ้มและขึ้น แล้วจะมีดักแด้ลังกุปที่ 6



รูปที่ 5 ขั้นตอนที่ผ่านการห้าเรือนหุ้มแล้ว

เมื่อผ่านกระบวนการห้าเรือนหุ้มแล้วขึ้นงานเรียบร้อยแล้ว จะนำไป ตรวจสอบริบบิ้งเกณฑ์ด้วยกล้องจุลทรรศน์ และบันทึกภาพที่ดำเนินการ ต่างๆ ให้มีความถูกต้องกับขั้นตอนที่จะวัดความแข็ง จากนั้นนำไปวัด ค่าความแข็ง (Hardness Test) โดยใช้เครื่อง Micro Hardness ดังรูปที่ 6

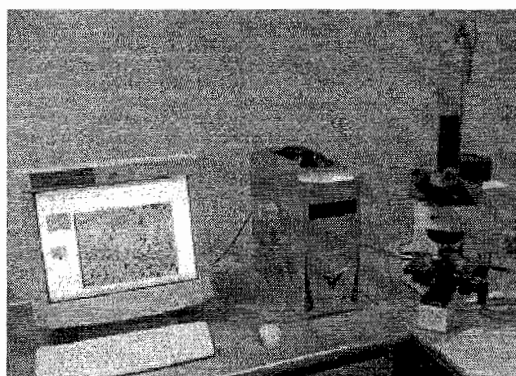


รูปที่ 6 เครื่องวัดความแข็ง ของ Multitoyo รุ่น MVK-H1 Micro Hardness Test

2.7 การวิเคราะห์โครงสร้าง

ในการวิเคราะห์โครงสร้างทางไมโครวิทยานั้นต้องใช้ Software ทางคอมพิวเตอร์ในการวิเคราะห์ (Image analysis) ซึ่งเป็นเครื่องมือที่สะดวก และมีประสิทธิภาพ ขณะนี้ Image analysis จึงเป็นกระบวนการที่จะใช้

ในการวิเคราะห์โครงสร้างรูปลักษณ์ ให้แก่ การหาขนาดเกรน (Grain Size Number) การวิเคราะห์แบบริบบิ้งเพรส ferrite และ pearlite เป็นต้น ใน การวิเคราะห์ที่ห้องนี้ได้อธิบายไว้ในหัวข้อ Image Analysis ที่ห้อง Olympus M3 สังและรูปที่ 7

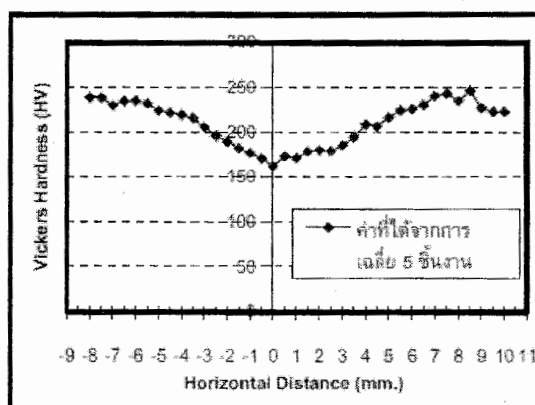


รูปที่ 7 เครื่อง Image Analysis ยี่ห้อ Olympus รุ่น Olysys M3

3. ผลการทดสอบและปัจจัยผลกระทบ

3.1 ค่าความแข็งที่ดำเนินการต่างๆ ของรอยเชื่อม

ในการทดสอบความแข็งที่บาร์เวนเดลชุดของรอยเชื่อม โดยใช้ เครื่องทดสอบความแข็งแบบ Vickers Hardness วัดความแข็งจาก ลักษณะนิ่วกล่องของรอยเชื่อม หรือดำเนินการที่ขึ้นงานชนิดตัดกับและ วัดความแข็งภาคของรอยเชื่อมมาเป็นการดำเนินการและข้อของเนื้อเชื่อม โดย ทำการทดสอบความแข็งที่วิ่งการเดี่ยวจาก 5 ขั้นงาน ผลการทดสอบ ได้ค่าความแข็งที่ดำเนินการต่างๆ ดังแสดงในรูปที่ 8 และผลการวิเคราะห์ โครงสร้างรูปลักษณ์ได้รั้งตัวห้องที่ประกอบช่องร่องงานที่อยู่ติดกับ ขั้นงานเดิม ดังแสดงในตารางที่ 3 นอกจากนี้ภาพถ่ายโครงสร้าง อุลกาคของขึ้นงานก่อนและหลังการเชื่อมยังแสดงในรูปที่ 9 และรูปที่ 10 ตามลักษณะ

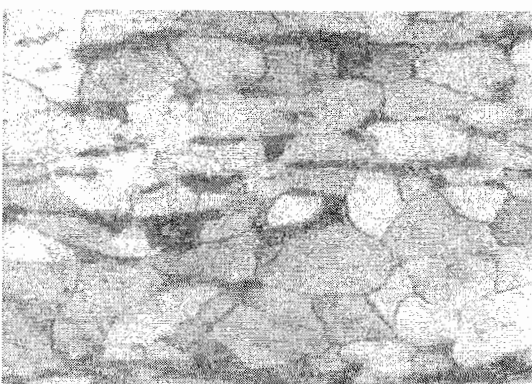


รูปที่ 8 กราฟค่าความแข็งของขั้นงานภายใต้แรงดันในการสีกด้าน 10 นาที เวลาในการสีกด้าน 9 วินาทีแรงดันในการเชื่อม 60บาร์ เวลาในการเชื่อม 3 วินาที ความเร็วเชื่อมในกรอบ 1200 รอบต่อนาที

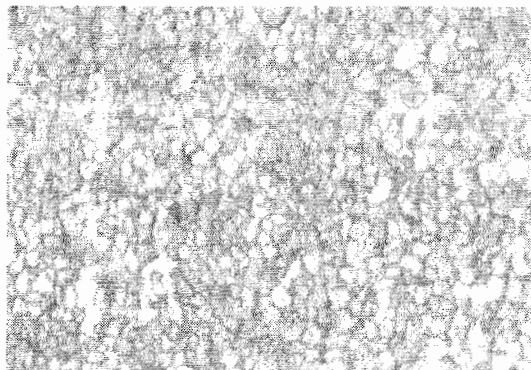
จากกรุปที่ 8 จะเห็นว่าที่ตัวหินมีรอยเชื่อมที่ใช้เงามันคั่งกันนั้น ความแข็งจะถูกร้าบล้าหักหงื่น โดยมีลักษณะคล้ายๆ เมล็ดข้าวสาร ที่ถูกหักนั้นไปต่อกันเป็นตัวความแข็งซึ่งจะอยู่ดูรูดูซึ่งนั้นนี่ ค่าองที่เมื่อเวลาสู่ชั้นงานเดิม ผลที่ได้จากการหินรูปที่ 8 แสดงให้เห็นว่าตัวความแข็งซึ่งบวัดตามแนวเชื่อมต่อหักลง ซึ่งต้องใช้เคราะห์หินมาลอกที่เก็บขึ้นแล้วเบรเช่ Image Analysis พบว่าการที่ความแข็งที่ถูกหักหงื่นอยู่นี้มีค่าต่ำลงนั้น เกิดจากการเปลี่ยนแปลงโครงสร้างของเหล็กซึ่งเป็นผลมาจากการความร้อนที่เกิดขึ้นจากการเผาไหม้กันในไฟฟากะที่เครื่องห้าการ เชื่อมด้วยความร้อนของไฟฟากะ ผลกระทบการหักหักด้วยเหล็ก วิเคราะห์โครงสร้าง พบว่ามีปอร์เซนต์ของ Pearlite ที่บัวดูดแน่นเชื่อมลดลงอย่าง ลดลงเปอร์เซนต์ของ Ferrite เพิ่มขึ้นดังและในตารางที่ 3 กลับรูปที่ 9 - 10 ที่กันนี้เรื่องจากค่าความแข็งของ Ferrite (เกรดรูป Ferrite บี) ต่ำกว่าความแข็งอยู่ในช่วง 74 - 158 HV) มีค่าความแข็งน้อยกว่าค่าความแข็งของ Pearlite (เกรดรูป Pearlite มีค่าความแข็งอยู่ในช่วง 184 - 390 HV) การลดลงของจำนวน Pearlite ดังกล่าวทำให้ขาดง่ายขึ้น แทนกับการหักหักของเชื่อม ในการเย็นผ้าว้า (การเชื่อมด้วยความเสียดทานนี้เป็นการเชื่อมชิ้นงานทึ่งหน้าตัดไม่ໄวดีเชื่อมเฉพาะบริเวณพื้นที่เมื่อตนการเชื่อมทั่วไป) จึงส่งผลให้ตัวความแข็งต้องลดลงเหลือเพียงไก่ลอกการอย่างมีผลต่อการหักหักของอุดหนูที่มีร่องรอยน้อยลง เป็นผลให้ตัวความแข็งมีค่าเข้มข้นมากขึ้นไปต่อชั้นงานเดิมมากขึ้นเรื่อยๆ นอกจากนี้ยังพบว่าอัตราการกวน (G กวนต่อช.) ของแนวเชื่อมต่อมีจ้านงานมากขึ้น หรือมีความละเอียดมากขึ้น ซึ่งส่งผลให้แนวเชื่อมต่อมีความแข็งแรงมากขึ้นกว่าชั้นงานเดิม

ตารางที่ 3 คุณสมบัติโครงสร้างจุลภาคของเหล็กงานที่ใช้เม็ดพิษกับ
เหล็กงานเริ่ม (Base Iron) ชั้นเมลติ่งให้เท่านี้จะหมายความว่า (G
number) และการแข็งแกร่งที่ต้อง Pearlite และ Ferrite

Materials	G number	%Pearlite	%Ferrite
Base Iron	10.19	10.68	89.32
After Welding	13.31	5.27	94.73



รุ่ปที่ 8 เกสรเนื้อสีเทาอมเข้มกว่าการเชื่อม (Base Iron) ซึ่งจะพบว่ามีขนาดของเกสรน้ำเงินใหญ่กว่า และเป็นปริมาณ Péridite มากกว่ารากหัวต้นแนวเชื่อมตัวที่แสดงในรุ่ปที่ 10 (ขยาย 50 X)



รูปที่ 10 เกرنเหล็กมีวิวัฒนาชีอนต์ ซึ่งมีเกرانท์ลับเบ็ค และมีเปลือกซินค์ของ Pearlite ขนาดอย่าง (ขยาย 50 X)

4. สรุปผลการศึกษาวิจัย

จากการพัฒนาครัวเรือนเชื่อมต่อความสัมพันธ์ทางสังคมการ
วิเคราะห์ที่ได้รับจากการทดสอบพบว่าเครื่องเชื่อมต่อความสัมพันธ์ทางสังคมการ
ดั่งแบบที่สร้างขึ้นมาเพื่อสามารถทำางได้ดีและสามารถนำไปใช้ใน
การศึกษาจิตใจได้ดีกว่าแบบปัจจุบันที่จะมีผลลัพธ์ทางที่ของการเชื่อมต่อสูญ
เสียต่ำลงๆ ได้

ในส่วนของการเชื่อมเหล็กชนิด AISI 1015 ที่ใช้ในการก่อสร้างนี้ พนักงานก่อสร้างบังเอิญพบแนวเข็มท่อที่มีความเรียบราบเนียนเกิดมา จากความร้อนที่เกิดขึ้นในระหว่างการเชื่อมทำให้เปอร์เซ็นต์ของ Pearlite ลดลงอย่าง ซึ่งส่วนใหญ่ที่บังเอิญพบแนวเข็มท่อมีความนุ่มนวลมากขึ้น กว่าเดิม หลักจากนี้หากาพารถายหัวเพลาก่อนห้องเหล็กที่บังเอิญพบแนวเข็มท่อันนี้มีความละเอียดลึกซึ้งกว่าเดิมมาก หรือมีจุดนวนก erning point ซึ่งส่วนใหญ่ไม่แน่นอนที่มีความเรียบราบลงทันท่วงที

ในการศึกษาวิจัยนี้ยังไม่ได้ทุกการศึกษาเรื่องเชิงประพันธ์และ
เวลาในการเขียนและ การอัด ความเร็วของโน้ตการ์ทมุน และอุดมคุณ
ที่ดีที่สุดเพื่อ ซึ่งเป็นเด็กปาร์ที่ถูกสร้างมาโดยทุกคนบังคับต้องเรียนรู้ และเป็น
เรื่องไปที่ควรจะห้ามการศึกษาเรื่องเชิงประพันธ์

๕. กิจกรรมประจำวัน

ขอขอบคุณภาครัฐวิสาหกรรมที่ออกกฎหมายให้ความคุ้มครองผู้บริโภคที่ดีที่สุดในประเทศไทย

ขอขอบคุณ พล.สุริยา โชคชัยส์ต์ และ พล.ต.ดร.สุรัชวิชญาน ที่
อาจารย์ปراسีดาภิวารีทักษิราภรณ์อุตสาหกรรม ศูนย์ทักษิราภรณ์
มหาวิทยาลัยอุบลราชธานี ที่ได้การสนับสนุนเชื่อมโยง และดำเนิน
โครงการนี้ขึ้น

เอกสารอ้างอิง

- [1] Mumin Sahin and H. Erol Akata "Joining with friction welding of plastically deformed steel" Journal of Materials Processing Technology 142 (2003), pp. 239-246

- [2] Mumin Sahin "Evaluation of the joint – interface properties of austenitic – stainless steels (AISI304) joined by friction welding" Materials and Design (2006).
- [3] N. Ozdemir, F. Sarsilmaz, A . Hascalik "Effect of rotational speed on the interface properties of friction-welding AISI 304L to 4340 steel" (Short communication) Materials and Design 28 (2007), pp. 301-307
- [4] Hakan Ates, Mehmet Turker, Adem Kurt "Effect of friction pressure on the friction-welded MA956 iron – based superalloy" Materials and Design 28 (2007), pp. 948-953
- [5] P. Sathiya, S. Aravindan, A. Noorul Haq "Some experimental investigation on friction welded stainless steel joints" Materials and Design (2007),

อิทธิพลของแรงดันเลี้ยดกานต่อคุณสมบัติของเหล็กที่เชื่อมด้วยความเสียดทาน Effect of Friction Pressure on The Property of Round Steele Joined by Friction Welding

สุรัsingห์ อารยะภูรณะ¹ และ ชวรัตน์ กีรติกาญจน์²

¹ นักศึกษาระดับปริญญาโท ภาควิชาวิศวกรรมเครื่องกล คณะวิศวกรรมศาสตร์ มหาวิทยาลัยอุบลราชธานี อ.วารินชาราม

จ.อุบลราชธานี 34190 โทรศัพท์ 045-353381-2 โทรสาร 045-353 333, email: surasing_1111@thaimail.com

² ผู้ช่วยศาสตราจารย์ ภาควิชาวิศวกรรมเครื่องกล คณะวิศวกรรมศาสตร์ มหาวิทยาลัยอุบลราชธานี อ.วารินชาราม

จ.อุบลราชธานี 34190 โทรศัพท์ 045-353381-2 โทรสาร 045-353 333, email: chawalit@rocketmail.com

บทติดย่อ

การเชื่อมด้วยแรงเสียดทานนั้นเป็นวิธีการเชื่อมอิเล็กทรอนิกส์ที่กำลังได้รับความสนใจที่มากขึ้นในวงกว้าง เนื่องจากการเชื่อมด้วยความเสียดทานสามารถเชื่อมได้ตลอดทั้งหน้าตัด ในขณะที่การเชื่อมด้วยแบบปกติทั่วไป เชื่อมได้เฉพาะรอบตัวรอยต่อเท่านั้น นอกจากนี้การเชื่อมด้วยแรงเสียดทานเป็นไปได้เวลาในการเชื่อมที่ต้นขากและคุณภาพของเชื่อมคงที่ (เนื่องจากไม่ใช่ก้อนพิษิชชางเรือน ตัวข้อได้เปรียบดังกล่าว จึงมีศักยภาพทางวิชาการเกี่ยวกับการเชื่อมแบบนี้อย่างต่อเนื่องและกว้างขวาง ทั้งในแง่ของความเร็วของในการเชื่อม ความตันที่ได้ใน การเชื่อม เหล็กที่เหมาะสมในการเชื่อม และคุณสมบัติของรอยเชื่อม ทั้งในระดับอุลกาค และขนาด) งานวิจัยนี้จึงวิจัยถูกประสงค์เพื่อที่จะหาอิทธิพลของเวลาและแรงดันในการเชื่อมเหล็กกลม ซึ่งรวมไปถึงส่วนมีผลต่อความแข็ง (Hardness) และความแข็งแรง (Strength) ของรอยเชื่อม ทดสอบโครงสร้างของเหล็กที่ได้รับผลกระทบจากความร้อนที่เกิดจาก การเชื่อม

งานวิจัยนี้เป็นการเชื่อมเหล็กกลมชนิด AISI 1015 โดยทำการทดสอบเพื่อเป็นค่าตัวแปรต่างๆ ได้แก่ แรงดันในการเสียดทาน (Friction Pressure) ที่ 10,15,20,25,30,35 และ 40 บาร์ ตามลำดับ โดยกำหนดค่าตัวคงที่ได้แก่ เวลาในการเสียดทาน (Friction Time) ที่ 9 วินาที แรงดันในการเชื่อม (Upset Pressure) ที่ 60 บาร์ เวลาในการเชื่อม (Upset Time) ที่ 3 วินาที ความเร็วของในการหมุน (Rotational Speed) ที่ 1200 รอบต่อนาที เป็นเงื่อนไขในการทดลองผลที่ได้จากการทดสอบเพื่อรับต้นที่ในการเสียดทาน (Friction Pressure) ที่ 10 บาร์ และเวลาในการเสียดทาน (Friction Time) ที่ 9 วินาที ให้มีผลในการเชื่อมที่ดีที่สุด โดยรอบเชื่อมมีความต้านทานแรงตึงเท่ากับ 1826.67 Kg-f ซึ่งมากกว่าขั้นมาตรฐาน 17.09 %

Abstract

Friction welding has been widely used in many engineering applications. This is because friction welding can join materials

through the whole cross section while the conventional welding can do only around the edge of section. Furthermore, friction welding requires shorter welding time and offer very constant welding quality because it is independent from human skill.

Therefore, this welding technique has been studied widely and continuously, focusing on many parameters such as friction speed, friction time, friction pressure, micro and macro structures of welding zone. This research is also aimed to investigate the influence of friction time and friction pressure on hardness and strength of welded elements as well as its micro structure.

A number of AISI 1015 round steels was welded by friction welding. Friction pressure was varied from 10, 15, 20, 25, 30, 35 and 40 bar. Friction time: 9 seconds. Upset pressure, Upset time and welding speed were fixed at 60 bar, 3 seconds and 1,200 rpm respectively.

The optimum condition obtained from this study is friction pressure at 10 bar, friction time of 9 seconds. Archived maximum tensile force is 1,826.67 Kg-f which is 17.09 % higher than the mother piece.

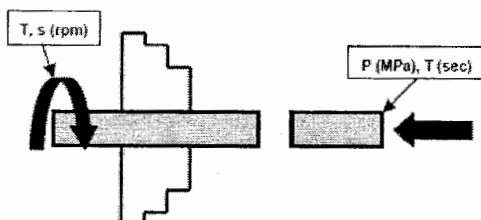
1. ตัวนำ

ในปัจจุบันมีการนำเทคโนโลยีการเชื่อมด้วยความเสียดทานมาใช้ในวงการอุตสาหกรรมอย่างหลากหลายเนื่องจาก การเชื่อมด้วยความเสียดทานสามารถเชื่อมชิ้นงานที่มีคุณภาพความแข็งแรงสูง สามารถเชื่อมรัศมีตัวซึ่งนิดเดียว การเชื่อมด้วยความเสียดทานมีข้อดีหลายประการ เช่น ใช้เวลาในการเชื่อมสั้น ไม่จำเป็นต้องใช้ชิ้นส่วนที่เชื่อมมีการลดแรงดันที่ต้องใช้ในกระบวนการเชื่อม ไม่จำเป็นต้องใช้วัสดุที่ราคาแพง ซึ่งเมื่อเทียบกับการเชื่อมด้วยไฟฟ้าโดยใช้รูปปั๊มเชื่อม เป็นตัวเชื่อมผลงานพบว่าการใช้รูปปั๊มเชื่อมมีลักษณะเหมือนการเผา

ในงานวิจัยนี้ ได้ทำการศึกษาเรื่องเกี่ยวกับอัตราผลของการลากและแรงต้านในการลื่นขึ้นบนพื้นผิวน้ำทรายความเร็วเดียวกัน โดยทำการทดสอบ เป็นสี่รุ่นค่าตัวแปรต่างๆ ได้แก่ แรงต้านในการลื่นขึ้นบนพื้นผิวน้ำทราย(friction pressure) เวลาในการลื่นขึ้นบนพื้นผิวน้ำทราย(friction time) เพื่อให้ผลการ測เมื่อที่ต้องการ อย่างไรก็ตามยังมีรัฐประดิษฐ์อุปกรณ์ที่อาจมีผลต่อความแม่นยำของผลอย่างเช่นความเร็วเดียวกัน การลากในช่วงเวลาที่ต้องการ แรงต้าน ความเร็วของชิ้นงานที่ทำไป และลักษณะของผิวสัมผัสเป็นต้น ซึ่งตัวแปรเหล่านี้จะทำการศึกษาต่อไปในอนาคต

2. เครื่องมือและวิธีการศึกษา

2.1 แนวคิดเบื้องต้นของระบบการเข้ามدد้วยความเสียดทาน

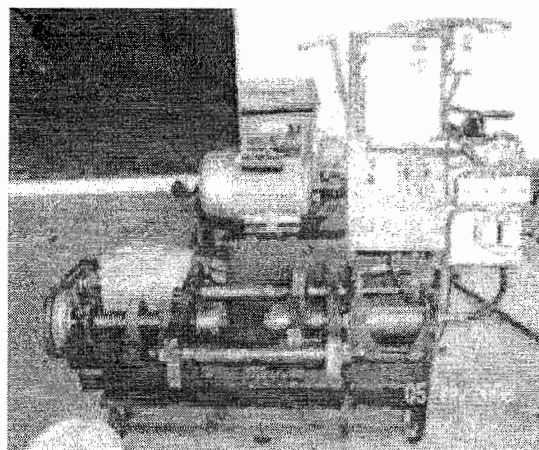


รูปที่ 1 ระบบการเข้าถึงตัวชี้วัดความเสี่ยงทาง

ระบบการเรียนรู้ด้วยความเสี่ยงทางน้ำหนัก อาทิตย์พูลกิาร์บีปีลีนและเสี่ยง
ภัยเป็นเพลส่วนความร้อนในการเรียนรู้ที่มีต่อเด็กนักเรียน ในการเรียน
นั้นทำได้โดยการหมุนเวียนหมุนเวียนระหว่างความเร็ว และแรงบิดค่าหัวใจ
จากนั้นเริ่มร้าวและดัน (Fitting Pressure) ลูกไก่เรียนงานนี้ไปร่วมมือ
และหมุนเวียนด้วยกันเช่นเดียวกันที่มีเบ็ดเตล็ดกับที่แล้วปล่อยให้กีดกัน
เสี่ยงกีดกันจนเกิดความร้อนเหลอมให้เด็กนักเรียนเสี่ยงที่จะออกซิเจนหายใจ
เร็วไปและเสียดัน (Upset Pressure) เพื่อขัดขืนงานนี้ให้ต้องกัน รูปที่ 1
แสดงภาพกระบวนการเรียนรู้ด้วยความเสี่ยงทางน้ำหนัก โดยพัฒนาความร้อนที่
ชึ้นงานหันกลับไปรับน้ำจมน้ำอยู่กับด้านประสาทตัว ได้แก่ แรงบิด
ความเร็วของระบบทางเดินอาหารในแนวแกน สำหรับในแนวแกนใน
ผู้คนช่วงของการเรียนรู้ เป็นต้น

2.2 ເຄື່ອງເນື້ອມດີວຍພາກສະໝັກ

เกี่ยวข้องซึ่งตัวบ่งชี้ความเร็วของการดันแบบได้แก่กรรษาระดับความหนาแน่น
ของส่วนได้ปริมาณของอรุณาชาด 5 Hp เป็นต้นก้าวสู่ในกระบวนการพิมพ์ที่เรียกว่า
และนำไปใช้ระบบปั๊มน้ำโดยอิเล็กทริกส์ในการสร้างแรงดันอัตราระดับเพื่อเชื่อม เกี่ยวข้อง
เชื่อมนี้ควบคุมการทำงานโดยใช้ระบบ Solenoid Valve และรีเซอร์ฟเวอร์
อย่างคุณภาพเยี่ยมเป็นปัจจัยเพื่อการกำกับดูแลให้ได้แก่ Inverter ขนาด 5 Hp
ในการควบคุมความเร็วของภาระการทำงาน โครงสร้างทั้งหมดของเครื่อง
เชื่อมร่วมกับฐานที่วางบนพื้นหินจะช่วยให้เกิดการป้องกันการลื่นหล�และการเสียหาย รวมที่ 2
และจุดที่ต้องระวังคือการเชื่อมต่อที่ต้องมีความต้านทานที่ต่ำและต้องมีการติดต่ออย่าง
ส่วนตัวทางที่ 1 ทดสอบรายการอุปกรณ์และคุณสมบัติของอุปกรณ์
ประยุกต์เครื่องเชื่อมตัวบ่งชี้ความเร็วของการดันแบบ



รูปที่ 2 เครื่องเชื่อมร้าบความเสียดทาน (Friction Welding Machine) ที่ใช้ร้าบความเสียดทานเพื่อการเชื่อมต่อ

ตารางที่ 1 อุปกรณ์และคุณสมบัติของเครื่องซีอิ้มด้วยความเสียดทาน

รายการ	อุปกรณ์/คุณสมบัติ
モเตอร์บีบไชลด์รอลิกส์	220 V / 3 Hp
モเตอร์ที่ใช้ในการซีอิ้ม	380 V / 5 Hp
ระบบวาล์วความคุ้มไฮดรอลิกส์	Manual Relief Valves
ระบบควบคุมความเร็วของกรอบ	Solenoid Valves 220 V ไฮดรอลิกส์
กระบอกไฮดรอลิกส์	4 inches
ระบบควบคุมความเร็วของ	Manual Flow control
กระบอกไฮดรอลิกส์	Valves
ระบบควบคุมเวลาในการหัก	Timer
แรงดันบีบไชลด์รอลิกส์	100 Bar
ระบบควบคุมความเร็วในการหัก	Inverter
モเตอร์ที่ใช้ในการซีอิ้ม	

2.3 วัสดุที่ใช้ในการทดสอบ

วัสดุที่ใช้ในงานนี้เป็นเหล็กกล้าคาร์บอนตามท้องถังเสียก้าวเหล็กเพลาขนาดเส้นผ่าศูนย์กลาง 10 มิลลิเมตร ยาว 100 มิลลิเมตร และได้มาขึ้นรูปเป็นหัวส่วนประกอบหักโดยใช้มาตรฐานของระบบ SAE-AISI (American Iron and Steel Institute) และจากการตรวจสอบหัวส่วนประกอบหักจะพบว่าเป็นเหล็กชนิด AISI 1015 มีส่วนประกอบดังแสดงในตารางที่ 2

ตารางที่ 2 ส่วนประกอบหักโดยใช้หัวสุดที่ใช้ในการทดสอบ

Material	%C	%P	%S	%Mn	%Si	%Cr
AISI 1015	0.15	0.03	0.01	0.47	0.17	0.01

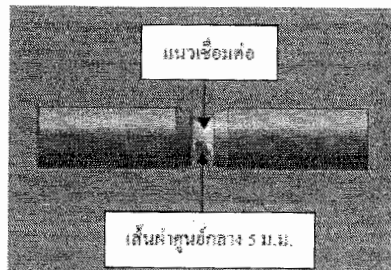
2.4 วิธีการทดสอบ

ในงานนี้จะใช้เครื่องซีอิ้มด้วยความเสียดทานเดิมที่แสดงในรูปที่ 2 ทำการซีอิ้มหัวกลมที่เข้ามาสัมผัสด้วยหัวกล้อง 10 มิลลิเมตร ยาวหกและ 100 มิลลิเมตร จำนวน 2 ท่อนให้ติดกันโดยอาศัยหลักการซีอิ้มที่ได้อธิบายมาแล้ว โดยกำหนดค่าตัวแปรต่างๆ ลงต่อไปนี้ ให้แรงดันในการเสียดทาน (Friction Pressure) ที่ 7 ถึง 10, 15, 20, 25, 30, 35 และ 40 บาร์ ให้เวลาในการเสียดทาน (Friction Time) ที่ 9 วินาที และกำหนดค่าตัวคงที่ให้แรงดันในการซีอิ้ม (Upset Pressure) ที่ 60 บาร์ เวลาในการซีอิ้ม (Upset Time) ที่ 3 วินาที ความเร็วรอบในการหัก (Rotational Speed) ที่ 1200 รอบต่อนาที เป็นเรื่องที่สำคัญที่สุดคือหัวส่วนที่ซีอิ้มเสร็จแล้วไม่สามารถหักต่อไปได้

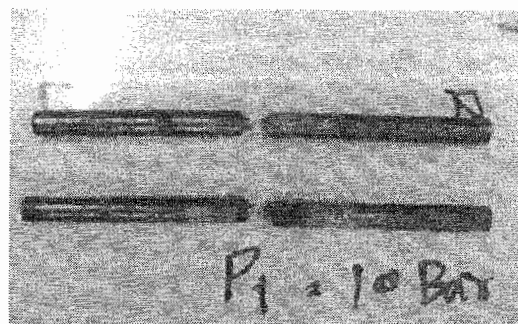
2.5 การทดสอบหาค่าความแข็งแรงของรอยซีอิ้ม

ซึ่งสามารถได้จากการซีอิ้มด้วยความเสียดทานแล้ว จะถูกนำมายกและทดสอบหาค่าความแข็งแรงโดยใช้เครื่องทดสอบการหัก อย่างไรก็ตาม

เพื่อให้ข้อมูลเกี่ยวกับรายการที่ได้แนะนำข้างต้น จึงจำเป็นต้องหักการกลึงบากซึ่งเป็นหัวเม็ดของรอยซีอิ้ม โดยทำการกลึงให้รอยซีอิ้มมีขนาดเส้นผ่าศูนย์กลาง 6 มิลลิเมตร ตั้งแต่ตรงในรูปที่ 3 จากนั้นนำหัวที่ซีอิ้มไว้ไปทดสอบความแข็งแรงโดยการหัก (Tensile Test) และตัวอย่างขั้นตอนที่ดำเนินการทดสอบการหัก ตั้งแต่ตรงในรูปที่ 4



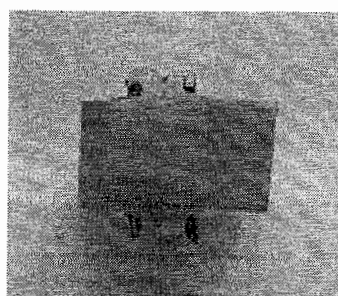
รูปที่ 3 แบบชิ้นงานที่นำไปทดสอบหากลึงบากของรอยซีอิ้ม



รูปที่ 4 ชิ้นงานที่กลึงบากแล้วเมื่อนำไปทดสอบหาค่าความแข็งแรงด้วยหัวจุดที่ขาดจากกันเป็นจุดเดียว ซึ่งจะให้ค่าความแข็งแรงของแบบซีอิ้มที่ตั้งแต่ตรงและแสดงในตารางที่ 3 และรูปที่ 8

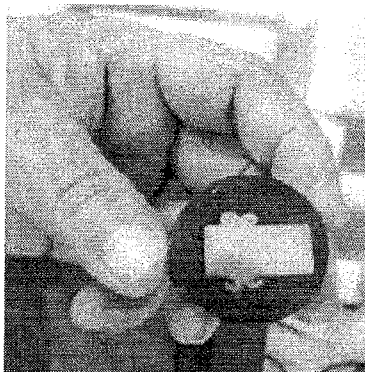
2.6 การทดสอบหาค่าความแข็ง

ชิ้นงานจะถูกนำมายกและทดสอบหาค่าความแข็งของรอยซีอิ้ม โดยนำชิ้นงานเดียวส่วนที่ซีอิ้มติดกันมาพิจารณาตามแบบที่อ้างอิงหรือซึ่งแสดงในรูปที่ 5

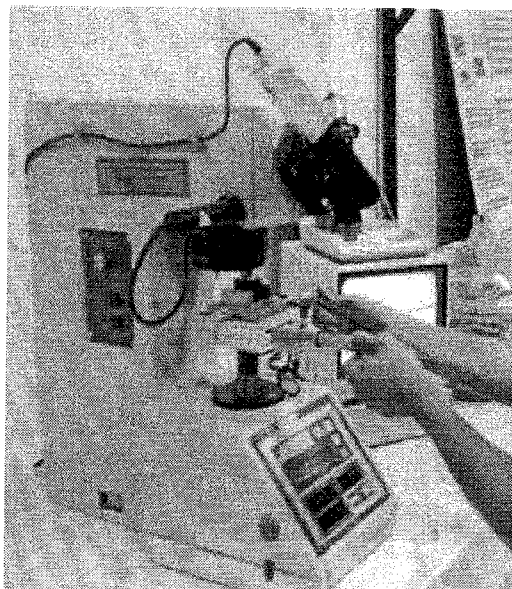


รูปที่ 5 ทดสอบชิ้นงานซีอิ้มที่นำไปเพื่อทดสอบความแข็ง

เมื่อผ้าชิ้นงานที่จะทดสอบอย่างแล้ว ต้องนำชิ้นงานไปปั่นให้อุ่นหมุน เพื่อความสะดวกในการเรียนที่แม่นย วนทั้งการวัดค่าความแข็งของชิ้นงาน โดยเรือนหุ้ยจะมีความหนาหากว่าความหนาของชิ้นทดสอบ เล็กน้อย หัวนีบือกีบจะสามารถดึงชิ้นงานได้ จากนั้นจะนำชิ้นงานไปซัดและเรียบเรียบแล้วบัน โดยชิ้นงานที่ผ่านกระบวนการที่ได้รับหุ้ยและซัดบันแล้วจะมีลักษณะดังรูปที่ 6



รูปที่ 6 แสดงชิ้นงานที่ผ่านการที่ได้รับหุ้ยแล้ว
เมื่อผ่านกระบวนการเรียบเรียบชิ้นงานเรียบร้อยแล้ว จะนำไปตรวจคุณภาพร่วมกับเครื่องจุลทรรศน์ และบันทึกภาพที่ดำเนินการที่ดำเนินการทั้งๆ ให้มีความสัมพันธ์กับค่าแข็งแรงที่จะได้รับความแข็ง จากนั้นนำไปวัดค่าความแข็ง(Hardness Test) โดยใช้เครื่อง Micro Hardness ดังรูปที่ 7



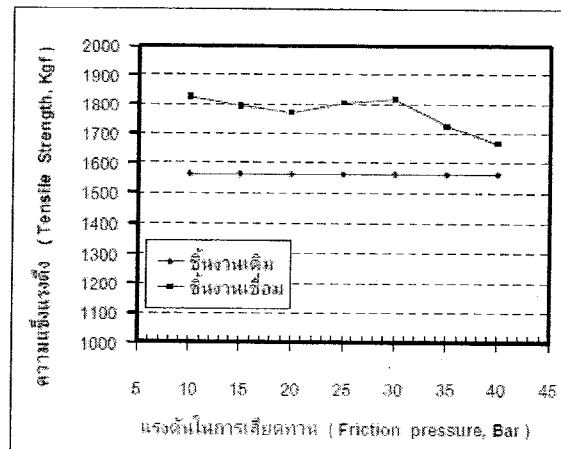
รูปที่ 7 แสดงเครื่องวัดความแข็งชนิด Micro Hardness Test ของ Multitoyo

3. ผลการทดสอบทดสอบร้ายของการทดสอบ

3.1 วิธีทดสอบแรงดันเสียดทาน (Friction Pressure) ต่อธรรมชาติและการดึงหุ้ย

ในงานวิจัยนี้ได้ปั่นชิ้นงานมาทดสอบเชื่อมความเข้มข้นของวิธีการที่ได้รับหุ้ยตามลักษณะ โดยนีบหุ้ยมาได้ทำการเก็บขนาดและตรวจสอบค่าแรงเสียดทาน โดยที่การเรื่องชิ้นงานที่นำมาดูมีความถูกต้อง 10 – 40 บาร์ และปรับเปลี่ยนแรงดันหุ้ยก 5 บาร์ ในขณะที่เชื่อมปืนอิเล็กทรอนิกส์ที่เข้าบ่ายแล้วนำชิ้นงานมาทดสอบแรงเสียดทานที่ต่อไปนี้ รูปที่ 8 แสดงผลการทดสอบทางแรงดันการดึงของชิ้นงานที่เชื่อม ภายใต้แรงดันเสียดทานต่างๆ

ตัวอย่างที่ Trial no.	แรงดันการเสียดทาน Friction Pressure (Bar)	เวลาการเสียดทาน Friction Time (วินาที)	แรงด้านการ扯裂 Tensile Force (Kg-f)
1	10	9	1826
2	15	9	1792
3	20	9	1769
4	25	9	1803
5	30	9	1815
6	35	9	1724
7	40	9	1867

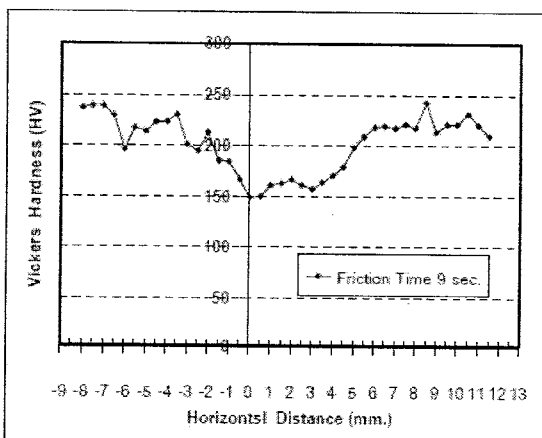


รูปที่ 8 การแสดงผลความถ่วงงานการดึงของชิ้นงานที่เชื่อมภายใต้แรงดันในการเสียดทานในรูปที่ 7

จากผลการทดสอบในรายการที่ 3 และรูปที่ 8 จะเห็นว่าเมื่อใช้สิ่งดังนี้มาช่วยในการซ้อมสูตรหิน แรงด้านการดึงของสิ่งที่มันไว้มีผลลดน้อยลง ทั้งนี้อาจเนื่องมาจากเมื่อใช้แรงดันสิ่งเดียวกันมากกว่าไปร้อยละของความต้านทานของหิน ทำให้หินครุ่นควายอย่างตัวและค่าความตึงแรงดึง扯 จำกัดการทดสอบพบว่าที่มีแรงดันสิ่งเดียวกัน 10 บาร์ เป็นแรงดันสิ่งเดียวกันที่ก่อให้หินออกซิเมล์ค่าความต้านทานการดึง

3.2 ลักษณะเมืองที่คำนวณง่ายต่อ ทุกอย่างเช่น

และจากภารกิจทดสอบค่าความต้านทานการตีระเบิดวัสดุงานที่เรียกว่า
แมลล์วัชซอกน์ในปี พ.ศ. ๒๔๘๖ ความเร็วที่บีบเร็วแรงต่างๆ ของชุดระเบิดนี้ ได้รับการตี
เที่ยงตรงทดสอบความเร็วของ Vickers ได้โดยได้วัดความเร็วจากค่าทดแทน
ที่ถูกกล่าวของระเบิดนี้เช่นเดียวกัน หรือด้วยหน่วยที่ชื่องานนั้นคือมิลลิเมตรและวินาทีตาม
แบบแผนของชุดวัสดุงานปีกราวด้านขวาและข้างบนนี้เช่นเดียวกัน ผลการ
ทดสอบได้ค่าความเร็วของระเบิดที่บีบเร็วแรงต่างๆ ที่ต้องแสดงไว้ในงานที่ ๑



รูปที่ 9 ภาพนี้แสดงถึงความเหลื่อมล้ำของ 3 ชั้นงานภายใต้แรงดันใน การเสียดทานที่ 10 บาร์และค่าในการเสียดทานที่ 9 วินาที ซึ่งเป็นคุณสมบัติของการดึงดูดที่แสดงตัวที่แสดงในตารางที่ 3

จักรศรีที่ ๙ ระบุเด่นแก่ที่ตัวแผ่นรองรอยเชื่อมธีร์ชั้นนานสืบสกัดกันเนื่น
ความเมืองวงศ์ต่าก้าว่าตัวแผ่นนี้เป็นครู โดยมีลักษณะคล้ายๆ รอยเท้าหัวหนาวย
ที่ตัวแผ่นนี้ไม่ใช่จากอุดมเชื่อมที่ออกไปสำคัญความแข็งจะต่ออยู่รากฐานนั้น
สำคัญที่เมืองชุมชนชั้นนานดิน การที่ความแข็งที่ตัวแผ่นนี้รองรอยเชื่อมมีค่า
สำคัญ อาจเป็นผลมาจากการร้อนท่อนที่เกิดขึ้นที่รอยเชื่อม ก่อให้เกิด
กระบวนการขยายตัวของรอยเชื่อมที่บริเวณรอยเชื่อมนั้น ส่องผลให้ตัวความแข็งหลังลง
และเปลี่ยนจากไว้กล่าวจักกรอบอย่างอุดมเชื่อมที่ปั๊วที่พิเศษของอุดมภูมิที่เรียกว่า
น้องล่อง เป็นผลให้ตัวความแข็งที่เรียกว่าเข้าใกล้ชั้นนานดินมากขึ้นเรื่อยๆ

4. สรุปผลการศึกษาวิจัย

เหล็กพลาญา AISI 1015 ที่เชื่อมด้วยความร้อนเชิงกาน โดยใช้แรงตันในการเชิงกาน (Friction Pressure) ที่ 100 kgf/mm² กระบวนการ

ເຊື້ອການ (Friction Time) ທີ່ 9 ວິນາທີ ໂຮງອັນໃນການເຂົ້ມ (Upset Pressure) ທີ່ 60 ບາຣ໌ ເວລາໃນການເຂົ້ມ (Upset Time) ທີ່ 3 ວິນາທີ ຄວາມເງົ່າຮອບໃນກາຮຽນ (Rotational Speed) ທີ່ 1200 ລອບ ຜົນນາທີ ໃຫດໄນກາຮືອນທີ່ເຖິງ ໂຍບອຍຂອງເຂົ້ມມີຄວາມເງົ່າຮອບ ເກົ່າກົມ 1826.67 Kg-f ສູ່ສົກການເຂົ້ມມາແລ້ວ 17.09 %

อัชญาไม่สามารถในการตีกีบชาเรียบมีปัจจัยไปได้ก้าวการตีกีบชาเรียบ ประดับน้ำในการเรียบ (Upset Pressure) เวลาในการเรียบ (Upset Time) ความเร็วรอบในการหมุน (Rotational Speed) และอุณหภูมิร้อนเรียบ ต่อ ซึ่งเป็นตัวแปรที่อาจส่งผลเสื่อมถอยกุญแจบันปั๊กของวัสดุ และเป็นเรื่องสำคัญที่ผู้ตรวจสอบการตีกีบชาเรียบต้องไม่忽視

๕. กิจกรรมการสอนภาษาไทย

๗๘๙ อยู่รุ่งานาจารีชาติสังฆารามและเชื้อสาย ก.๘
วิศวกรรมศาสตร์ มหาวิทยาลัยขอนแก่น ที่สนใจศึกษาในภูมิภาค

เอกสารเข้าร่วม

- [1] Mumin Sahin and H. Erol Akata "Joining with friction welding of plastically deformed steel" Journal of Materials Processing Technology 142 (2003), pp. 239-246
 - [2] Mumin Sahin "Evaluation of the joint - interface properties of austenitic - stainless steels (AISI304) joined by friction welding" Materials and Design (2006).
 - [3] N. Ozdemir, F. Sarsilmaz, A . Hascalik "Effect of rotational speed on the interface properties of friction-welding AISI 304L to 4340 steel" (Short communication) Materials and Design 28 (2007), pp. 301-307
 - [4] Hakan Ates, Mehmet Turker, Adem Kurt "Effect of friction pressure on the friction-welded MA956 iron - based superalloy" Materials and Design 28 (2007), pp. 948-953
 - [5] P. Sathiya , S. Aravindan , A. Noorul Haq "Some experimental investigation on friction welded stainless steel joints" Materials and Design (2007).

การประเมินวิชาการระดับบัณฑิตศึกษา คณวิสากรรบสางเครื่องมหาวิทยาลัยอุบลราชธานี ครั้งที่ ๑

อิทธิพลของเวลาและแรงดันในการเชื่อมเหล็กกลมด้วยความเสียดทาน

The influence of time and pressure on steel rod welded by friction welding

¹ นักศึกษาที่รับบทบาทนักวิชาการที่ “นักศึกษาระดับมัธยมศึกษาปีที่ ๕” ที่ช่วยก้าวสู่อาชญากร ภาคเรียนวิชาการจริยธรรมหรืออื่นๆ ก่อให้เกิดความเสียหาย

มหาวิทยาลัยอุบลราชธานี จ.อุบลราชธานี 34190

โทร. 045-353381-2 โทรสาร 045-353 333 *อีเมลล์ susasing_1111@thaimail.com

Surasing Arayangkun¹, Krissada Waharo¹, Panuwat Wongpratoom², and Chawalit Thimvongspituk¹

¹ Master Degree Student ² Bachelor Degree Student ³ Assistant Professor, Department of Mechanical Engineering, Faculty of Engineering,

Ubonratchathani University, Wat Phachamrab, Ubonratchathani, Thailand 34190

Tel: 045-353381-2, Fax: 045-353333 email: surasine_1111@thaimail.com

หน้า ๑๖

การเขื่อมตัวแรงเสียดทานนั้นเป็นวิธีการเขื่อมอิควิตี้ที่สำคัญได้รับความสนใจที่ก้านในวงกว้าง เนื่องจากการเขื่อมตัวของความเสียดทานสามารถเพื่อนได้ก็ต้องทิ้งหน้าที่ ในขณะที่การเขื่อมแบบปกติที่ว่าไปใช้อีกเพียงรอบๆ ก็ต้องเปลี่ยนตัวเองนั้น นอกจากนี้การเขื่อมตัวแรงเสียดทานยังใช้เวลาในการเขื่อมที่สั้นมากและคุณภาพของชิ้นงานที่ได้ออกจากไม้ขึ้นกับมือขึ้นมาซึ่งต้องใช้เวลาระหว่างช่วงๆ ให้มีปริมาณถูกกล่าว จึงมีผู้ใช้ชี้ว่ากานการเขื่อมแบบนี้อย่างต่อเนื่อง และก่อภัยทางชาร์ช ทั้งในเรื่องของความเร็วของอุปกรณ์ในการเขื่อม ความตันที่ใช้ในการเขื่อม เวลาที่เหมาสมในการเขื่อม และคุณสมบัติของรอยเชื่อม ทั้งในระดับอุตสาหกรรม และบนภาค งานวิจัยนี้จึงมีวัตถุประสงค์เพื่อศึกษาถึงวิธีการเขื่อมตัวของวัสดุและกระบวนการเขื่อมเหล็กกลม ซึ่งด้วยประวัติศาสตร์ของความแข็ง (Hardness) และ ความแข็งแกร่ง (Strength) ของรอยเชื่อม ตลอดจนไครสตัลของเหล็กที่ได้รับผลกระทบจากความร้อนที่เกิดจากการเขื่อม

งานวิจัยนี้เป็นการศึกษาหลักกอกน้ำบี AISI 1015 โดยใช้การทดสอบ
เปลี่ยนค่าอัตราการต่อต้านแรง (F) และเวลาในการเสียดทาน (T_f) ที่
10,15,20,25,30,35 และ 40 นาที เวลาในการเสียดทาน (T_f) ที่
7,9,11,13 และ 15 วินาที ความเร็วตัวหมุน (ω) ที่ 4000 รอบต่อนาที
แรง (P_u) ที่ 60 บาร์ เวลาในการเสียด (t_u) ที่ 3 วินาที ความเร็วน้ำวน (V) ที่ 1200 ลบ.ม./ชม.
หน้าที่ เป็นเพื่อนไปในการทดสอบ ผลที่ได้จากการทดสอบพบว่าแรงต้านในการ
เสียดทาน (F) ที่ 10 บาร์ และเวลาในการเสียดทาน (T_f) ที่ 9 วินาที ให้ผลในการเสียดที่ดีที่สุด โดยจะลดเวลาในการเสียดทาน
ความต้านทานแรงตึงตัวที่ 1826.67 Kg-f ซึ่งมากกว่าช่วงงานอิฐ 17.09 %

Abstract

Friction welding has been widely used in many engineering applications. This is because friction welding can join materials through the whole cross section while the conventional welding can do only around the edge of section. Furthermore, friction welding requires shorter welding time and offer very constant welding quality because it is independent from human skill.

Therefore, this welding technique has been studied widely and continuously, focusing on many parameters such as friction speed, friction time, friction pressure, micro and macro structures of welding zone. This research is also aimed to investigate the influence of friction time and friction pressure on hardness and strength of welded elements as well as its micro structure.

A number of AISI 1015 round steel was welded by friction welding. Friction pressure was varied from 10, 15, 20, 25, 30, 35 and 40 bar. Friction time was also varied from 7, 9, 11, 13 and 15 seconds. Upset pressure, Upset time and welding speed were fixed at 60 bar, 3 seconds and 1,200 mm respectively.

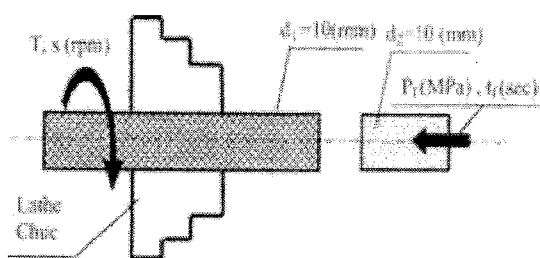
The optimum condition obtained from this study is friction pressure at 10 bar, friction time of 9 seconds. Archived maximum tensile force is 1,836.67 Kg-f which is 17.09 % higher than the mother piece.

1. 緒論

ในงานวิจัยนี้ ให้ท่าการศึกษาเรียนเกี่ยวกับข้อพิสูจน์ของความต่อ
แรงดันในการเชื่อมเหล็กกลมด้วยความเสียดทาน โดยท่าการทดสอบ
เปรียบเทียบความประทุมๆ ได้นั่น แรงดันในการเสียดทาน(friction pressure)
เวลาในการเสียดทาน(friction time) เพื่อให้ผลการเรียนที่ดีที่สุด อย่างไร
ก็ตามนั้นตัวบ่งชี้อุปกรณ์ก่อสร้างต้องท้าท้วงความต่อแรงดันของร่อง
เชื่อมด้วยความเสียดทาน เช่น แรงดันในการเชื่อมช่วงแรกอีกด้วยการ
ขอจึงงานที่ทำอยู่ และลักษณะของผิวสัมผัสเป็นดังนี้ ซึ่งตัวบ่งชี้ที่สำคัญที่สุด
จะต้องการศึกษาอ่อนในอนาคต

๒. เครื่องหมายและวิธีการอักษร

2.1 บทบาทหน้าที่ของผู้ดูแลระบบและการติดตามความก้าวหน้า



รูปที่ 1 ระบบการซื้อขายด้วยความเสี่ยงทาง [2]

ระบบการซื้อขายตราสารเสี่ยงทุกชนิดนั้น อาศัยหนี้สินการเปลี่ยนแปลงเสี่ยงทุกชนิดเป็นหลักและความร้อนในการซื้อขายซึ่งงานนี้ให้ก็ต้องใน การซื้อขายที่ได้โดยการหมุนซึ่งงานนี้ด้วยความเร็ว และแรงเรียกค่าท่าหนึ่งจากงานนี้สร้างแรงดัน (Friction Pressure) ล้วนให้ชื่นงานนี้ไปสัมผัสด้วยหมุนเสียงสีกับซึ่งงานอีกชั้นหนึ่งที่เกี่ยวดีกับที่เดิมส่อให้เกิดการเสียงดีกับชั้นเดิมด้วยความร้อนของให้หน้าเข้าสัมผัสที่จะสองเข้าสู่ภาวะหนึ่งที่จึงได้แรงดันขัด (Upset Pressure) ที่อีกดีซึ่งงานให้ติดกัน รูปที่ ๑ แสดงภาพระบบการซื้อขายด้วยตราสารเสี่ยงทุกชนิด โดยพลังงานความร้อนที่ซึ่งงานที่สองได้รับนั่นของซึ่งอยู่กับตัวของตัวเองด้วย ได้แก่ แรงบิด ความเร็วของระบบเวลาในการให้ได้รับในแบบเด่น ตัวแรงในแบบเด่นในแต่ละช่วงของ การซื้อขาย เป็นลักษณะที่จะซึ่งงานความร้อนกับตัวเปลี่ยนท่าหนึ่งที่ความดันที่บันทึก

$$P = 2\pi m \bar{T} \quad (2.4)$$

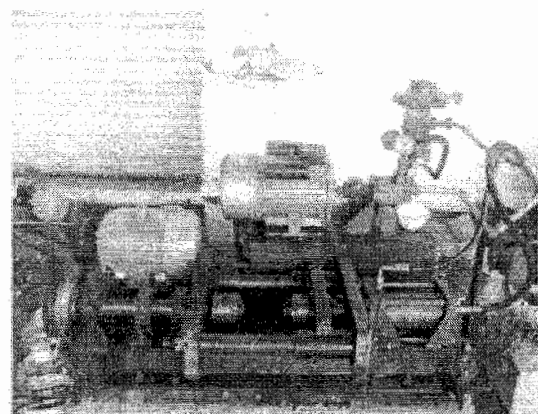
卷之三

- P* ก็ต้องก้าวตามที่เป็นไปได้ที่สุดในกระบวนการผลิต (Watt)
H ก็ต้องความเร็วของอนุกอศว์ที่ใช้ขับเคลื่อนในการเรียน (Hour)
T อีกหนึ่งอย่างที่ต้องดูแลคือความรวดเร็วและมีประสิทธิภาพของผู้สอน (Time)

2.2 บทเรื่องที่สอนทั้งความคิดเห็นและ

เก้าอี้นั่งช้อนด้วยความเรียบหรูทันสมัย ให้ลูกค้ารู้สึกว่าใช้ชีวิตอย่างมั่นคง
ข้างหน้า โดยมีขนาดหน้าตัก 5 Hp เว็บเก็บกําลังในการหมุนชั้นงาน และ²
ใช้ระบบปิโตรลิค Steinleak ในการถอดรั้วทางเดินอัลตร้าชั้นงานเพื่อช่อง เก้าอี้นั่งช้อน
นี้ควบคุมการทํางานโดยใช้ระบบ Solenoid Valve และมีระบบควบคุม³
เวลาเปิดปิดเพื่อทำการหล่อลงได้ใช้ Inverter ขนาด 5 Hp ในการควบคุม⁴
ความเร็วของกระดาษงาน ไกรซ์สวิงท์ที่หมุนด้วยเครื่องขึ้นลงสวิงกระดาษ⁵
ค่อนกรีดเพื่อสอดปิ啾ๆ การสับกระดาษ รูปที่ 2 แสดงรูปของเครื่องช้อนช่อง
ตัวแบบที่สร้างสำหรับแล้วแต่ใช้ในการผลิต ส่วนกระดาษที่ 1 แสดง

รายการอุปกรณ์และอุปกรณ์ที่ของอุปกรณ์ประกอบเครื่องซึ่งมีข้อความ เพื่อสักงานห้ามแบบ



รูปที่ 2 เครื่องซึ่งมีข้อความห้ามแบบที่ห้ามการเสียดทาน (Friction Welding Machine) ที่สร้างขึ้นเพื่อการทดสอบ

ตารางที่ 1 อุปกรณ์และอุปกรณ์ที่ของเครื่องซึ่งมีข้อความห้ามเสียดทาน

รายการ	อุปกรณ์/อุปกรณ์
เกดเครื่องซึ่งไม่ใช้เครื่องดึง	220 V / 3 Hp
หมอน้ำท่อที่ใช้ในการซื้อม	380 V / 5 Hp
ระบบมาล์วต้านภัยไฟฟ้าอิเล็กต์	Manual Relief Valves
ระบบมาล์วต้านภัยไฟฟ้า เปิด-ปิดไฟฟ้าอิเล็กต์	Solenoid Valves 220 V
กระบอกไฟฟ้าอิเล็กต์	4 inches
ระบบควบคุมความเร็วของ	Manual Flow control
กระบอกไฟฟ้าอิเล็กต์	Valves
ระบบควบคุมเวลาในการทำงาน	Timer
แรงดันน้ำที่ใช้ไฟฟ้าอิเล็กต์	100 Bar
ระบบควบคุมความเร็วในการทำงาน	Inverter
หมอน้ำท่อที่ใช้ในการซื้อม	

2.3 วัสดุที่ใช้ในการทดสอบ

วัสดุที่ใช้ในการวิจัยนี้ ใช้เหล็กกล้าคาร์บอนตามที่อธิบายไว้ ณ จุดทดสอบความต้านทานเดินผ่านภัยคุกคาม 10 มิลลิเมตร ยาว 100 มิลลิเมตร และได้นำเข้าในปั๊มทดสอบเพื่อทดสอบความต้านทานของเหล็ก โดยใช้มาตรฐานของประเทศ SAE-AISI (American Iron and Steel Institute) และข้อควรทราบคือว่าส่วนประกอบทาง化學มีบริเวณที่มีลักษณะ AISI 1015 มีส่วนประกอบตัวเดียวในตารางที่ 2

ตารางที่ 2 ส่วนประกอบทางเคมีของวัสดุที่ใช้ในการทดสอบ

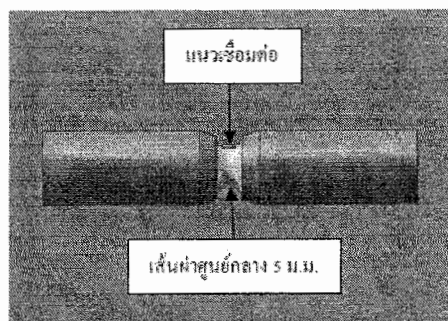
Material	%C	%P	%S	%Mn	%Si	%Cr	%Ni
AISI 1015	0.15	0.028	0.014	0.463	0.17	0.011	0.006

2.4 วิธีการทดสอบ

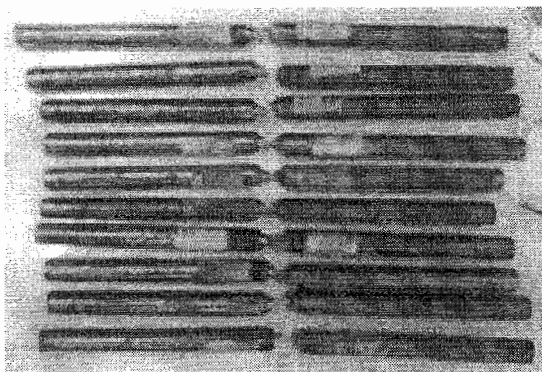
ในงานวิจัยนี้ จะใช้เครื่องซึ่งมีข้อความห้ามเสียดทานที่ที่แสดงในรูปที่ 2 นำค่าเดิมซึ่งงานทดสอบที่ใช้ขนาดเส้นผ่านศูนย์กลาง 10 มิลลิเมตร ยาว 100 มิลลิเมตร จำนวน 2 ชิ้น ให้ติดกันโดยอุ่นให้หลักการซึ่งดังที่ได้ระบุข้างหน้าแล้ว ให้ยกหัวน็อกค่าตัวแปรต่างๆดังต่อไปนี้ ให้บรรลุนในการเสียดทาน (Friction Pressure) ที่ 7 ค่าที่ 10, 15, 20, 25, 30, 35 และ 40 บาร์ ให้เวลาในการเสียดทาน (Friction Time) ที่ 3 ค่าที่ 7, 9, 11, 13 และ 15 วินาที และกำหนดค่าตัวแปรที่ใช้แก่ แรงดันในการซื้อม (Upset Pressure) ที่ 60 บาร์ เวลาในการซื้อม (Upset Time) ที่ 3 วินาที ความเร็วรอบในการหมุน (Rotational Speed) ที่ 1200 รอบ ต่อนาที เนื่องจากในกระบวนการนี้ต้องเสียดทานเพื่อให้เกิดการทดสอบ เพื่อหาค่าความเสียดทานและค่าความแข็งของชิ้นงานที่ซึ่งมีลักษณะเป็นไป

2.5 การทดสอบหัวตัวความเสียดทานของชิ้นงาน

ชิ้นงานที่ผ่านการซึ่งมีข้อความห้ามเสียดทานแล้ว จะถูกนำไปทดสอบ หาค่าความเสียดทานโดยใช้เครื่องทดสอบการซึ่ง อย่างไรก็ตามเพื่อให้ได้ข้อมูลซึ่งน่าเชื่อถือ จึงจำเป็นต้องทำการ กดลึกลงไปในชิ้นงานที่ทำหนังสือรองซึ่งร่องซึ่ง โดยทำการกดลึกลงไปในชิ้นงานที่ทำหนังสือรองซึ่งร่องซึ่ง ขนาดเส้นผ่านศูนย์กลาง 5 มิลลิเมตร ที่แสดงในรูปที่ 3 จากนั้นนำชิ้นงานไปทดสอบความเสียดทานโดยการดึง (Tensile Test) และด้วยว่า ชิ้นงานที่ทำการทดสอบการซึ่ง ลักษณะในรูปที่ 4



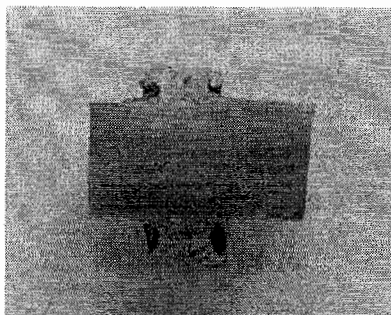
รูปที่ 3 แบบชิ้นงานที่นำไปทดสอบความเสียดทาน



รูปที่ 4 ชิ้นงานที่ถูกดึงแยกออกจากโครงสร้างเดิม

2.6 การทดสอบทางการค้าเพื่อ

ชั้นงานจะถูกนำมายกคือสอนหาก้าวความเข้มของเรื่องเชื่อม โดยนำ
ชั้นงานเด็กพ่างานที่เชื่อมติดกันมาทำตามแบบเกณฑ์ให้ใช้เพื่อเรื่องเชื่อม
ผลลัพธ์เนี้ยติดกับผลลัพธ์ในรูปที่ ๒



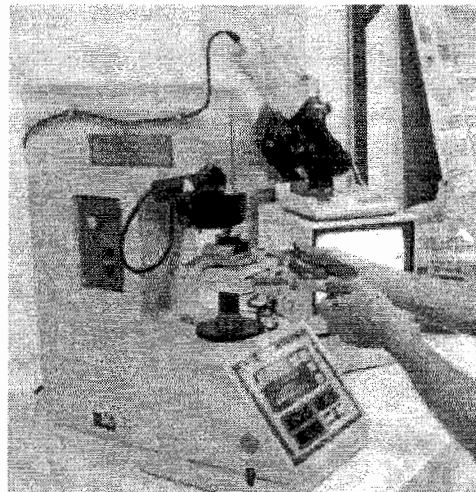
ปีที่ 5 แสดงรั้นงานชื่อว่าที่ก้าหนื้อกศบกความเร็ว

เมื่อผู้รับงานที่จะทดลองเสร็จแล้ว ต้องนำขั้นงานไปท่าเรือนทุ่ม เพื่อความสะดวกในการเก็บน้ำเพื่อวิเคราะห์การรักษาความแข็งของชิ้นงาน โดยเรือนทุ่มนี้ก็เป็นภาระหนักกว่าราษฎรของชั้นทดลองเปลือกไม้ ห้องนี้ต้องท่องเที่ยงทางการค้าด้วยต้นงานได้ดี หากนั่งจะนำขั้นงานไปปัจจัดเตรียมเพิ่ม จนมัน ໂโคชั้นงานที่ได้ก่อสร้างบนการท่าเรือนทุ่มและขั้กตัวแล้วจะมีลักษณะดังรูปที่ ๖



รุ่นที่ 6 ประกอบด้วยงานที่ผ่านการทํางานอีกหนึ่งรอบ

เมื่อผ่านกระบวนการเครื่องคิดวิ่งงานเรียบข้อต่อตัว จะนำไปตรวจดู โครงสร้างเก็บไว้ยกล้ออยู่บนกระนั้น แล้วบันทึกภาพที่ได้มาเพื่อต่างๆ ให้มี ความสัมพันธ์กับค่าหนาแน่นที่จะวัดความแข็ง จากนั้นนำไปรีดค่าความแข็ง (Hardness Test) โดยใช้หัวตัวอย่าง Micro Hardness ดังรูปที่ 7



รูปที่ 7 ผลการวัดความแข็งชนิด Micro Hardness Test Vickers

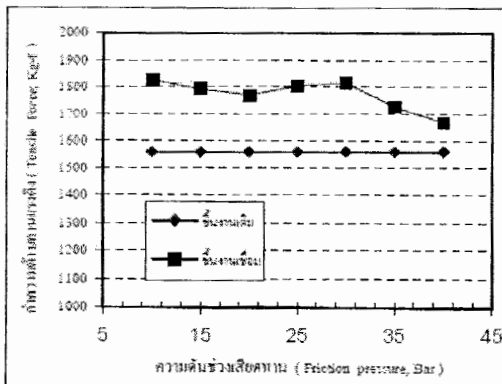
๓. หมายเหตุที่น่าสนใจ

3.1 วิธีการของแรงต้านที่สืบต่อ (Friction Pressure) ต่อการดำเนินการ
ด้านอุตสาหกรรม

ในงานวิจัยนี้ได้นำรั้งงานนาฬกสองเชือกมาควบคุมการที่เกิดขึ้นของนาฬกแล้ว โดยในชั้นแรกได้ทำการศึกษาอิทธิพลของแรงดึงการเสียดทานโดยทำการเชือกที่รั้งงานที่มีแรงดึงเสียดทานมาก 10 – 40 บาร์ และปรับเปลี่ยนแรงดึงต่ำๆ 5 บาร์ ในขณะที่เพื่อนำใช้อัตราสูงที่เก้าอ่อนรั้นงานนาฬกสองของแรงดึงแล้วให้เกิดขึ้นนาฬกแล้ว ผลการทดลองดังตารางที่ 3 แสดงถึงนาฬกที่มีน้ำหนักต่างกัน

ค่าวาเงินที่ 3 แสตดิลกการทางด้วยหัวเราะถ้าหากว่าที่ร้องขอเรื่องงานที่เข้มงวดให้บรรลุความสำเร็จทางด้านล่าง

พัสดุอุปกรณ์	แรงดันการเสียดสี	เวลาการเสียดสี	แรงต้านการ扯ด
Trial no.	Friction Pressure (Bar)	Friction Time (วินาที)	Tensile Force (Kg-f)
1	10	9	1826
2	15	9	1792
3	20	9	1769
4	25	9	1803
5	30	9	1815
6	35	9	1724
7	40	9	1667



รูปที่ 8 กราฟแสดงค่าความด้านงานการดึงของชั้นงานที่ใช้อุบ嘉ไกให้แรงดันในการเสียดทานในช่วงต่างๆ

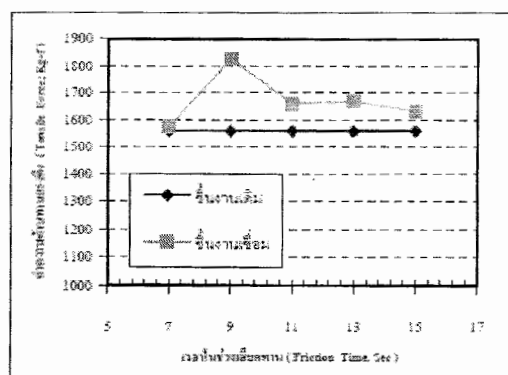
จากผลการทดลองในตารางที่ 3 และรูปที่ 8 จะเห็นว่าเมื่อใช้แรงดันเสียดทานในการดึงสูงขึ้น แรงด้านงานการดึงของชั้นงานที่ใช้อุบ嘉ไกจะลดลงอย่างต่อเนื่อง ทั้งนี้อาจเป็นมาจากการที่อุบ嘉ไกมีความตึงตัวต่ำ อาจได้รับความร้อนมากขึ้น ทำให้โครงสร้างของวัสดุและความแข็งแรงลดลง จากผลการทดลองพบว่าเมื่อเดินเสียดทาน 10 นาที เป็นแรงดันเสียดทานที่ทำให้ร่องรอยซึ้งมีลักษณะด้านงานการดึงสูงสุด

3.2 อิทธิพลของเวลาเสียดทาน (Friction Time) ต่อแรงด้านงานการดึงของชั้นงาน

หลังจากได้ร่องรอยซึ้งที่ดีที่สุดของแรงดันเสียดทานแล้ว จึงได้นำร่องรอยซึ้งนี้ไปทดสอบความตึงตัวของวัสดุ สำหรับการนำร่องรอยซึ้งนี้ไปทดสอบความตึงตัวของวัสดุ ต้องใช้แรงดันเสียดทาน 10 นาที และเรื่องเวลาเสียดทาน 9, 11, 13 และ 15 วินาที โดยให้ร่องรอยซึ้งนี้ติดกับ แรงดันอีก 60 นาที จากนั้นนำชั้นงานที่ดึงให้ไปทดสอบหาค่าความด้านงานการดึง ผลที่ได้แสดงในตารางที่ 4 และรูปที่ 9

ตารางที่ 4 แสดงผลการทดลองหาแรงด้านงานการดึงของชั้นงานที่ใช้อุบ嘉ไกให้เวลาเสียดทานต่างๆ

ตัวอย่างที่ Trial no.	แรงดันการเสียดทาน Friction Pressure (Bar)	เวลาการเสียดทาน Friction Time (วินาที)	แรงด้านการดึง Tensile Force (kg-f)
1	10	7	1573.33
2	10	9	1826.67
3	10	11	1660
4	10	13	1666.67
5	10	15	1633.33



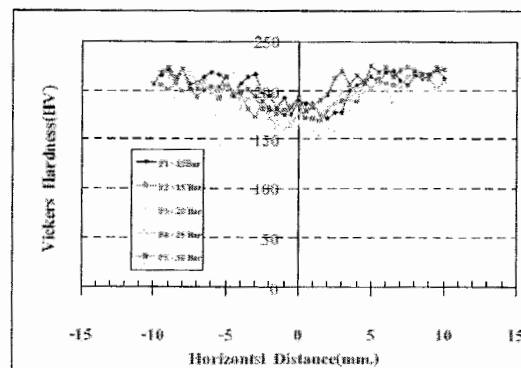
รูปที่ 9 กราฟแสดงค่าความด้านงานการดึงของชั้นงานที่ใช้อุบ嘉ไกให้แรงดันในการเสียดทานในช่วงต่างๆ

จากข้อมูลในตารางที่ 4 และรูปที่ 9 จะเห็นว่าเวลาเสียดทานที่ให้ค่าความด้านงานการดึงของชั้นงานที่ดีที่สุด คือ 9 วินาที หากเวลาเสียดทานสูงหรือต่ำกว่านี้ แนวโน้มความด้านงานการดึงของชั้นงานจะลดลง

ดังนั้นจากผลการทดลองหากได้ร่องรอยซึ้งที่ดีที่สุดของวัสดุจะต้องให้เวลาเสียดทานที่ดีที่สุดของชั้นงานที่ดีที่สุด คือ 9 วินาที แรงดันอีก 60 นาที เวลาเสียดทาน 9 วินาที แรงดันอีก 60 นาที เวลาอีก 3 วินาที และความกว้างของร่องรอยซึ้ง 1,200 รอบต่อนาที

3.3 ค่าความแข็งที่ตามหน้างานของร่องรอยซึ้ง

นอกจากการทดสอบความด้านงานการดึงแล้ว ยังถูกนำไปทดสอบความแข็งที่บริเวณร่องรอยซึ้ง โดยใช้เครื่องทดสอบความแข็งแบบ Vickers โอลิฟ ให้ได้รับความแข็งของตัวงานหนังสือก่อกร ของร่องรอยซึ้ง บริเวณที่ชั้นงานชนกันด้วยกันและวัดความแข็งแทน ของชั้นงานไปทางด้านขวาและซ้ายของร่องรอยซึ้ง ผลการทดสอบได้ค่าความแข็งที่ต่างๆกันตามที่แสดงในรูปที่ 10



รูปที่ 10 กราฟที่แสดงค่าความแข็งของชั้นงานภายใต้แรงดันในการเสียดทานในช่วงต่างๆและเวลาในการเสียดทานที่ 9 วินาที

จากกรุ๊ปที่ 10 จะเห็นว่าที่ก้มหน่านร้อยชื่อเรื่มซึ่งขันงานสำทัศน์นั้น
ความเมี้ยงคงคล่องตัวกว่าทำหนาเนื่นอื่นๆ โดยมีสัดส่วนของถ้วยตามลงจะมากกว่า ที่
ทําหนานเงินโภคจอกถูกชื่อเรื่มน้อออกไปทํากิจกรรมที่จะก่ออย่างสูงเขียนบนมือถือที่มี
เมื่อเข้าสู่ชั้นงานเดิม การที่ความเมี้ยงคงคล่องตัวก็เป็นไปได้ ถ้าบุคคลเป็น
ผู้มาจากการรับสอนที่เกิดขึ้นที่ร้อยชื่อ ก็โน้นให้เกิดกระบวนการสอนอ่อนชันนี้ที่
บริเวณร้อยชื่อนั้น ส่งผลให้ก้าวกระโดดแข็งแกร่งและมีอิทธิพลต่อไปในชั้นเรียนต่อไป
เช่นเดียวกับที่กล่าวไว้ในหัวข้อที่รับสอนน้อลง เป็นผลให้ก้าวกระโดดเข้าสู่ชั้น
นักเรียนต่อไปได้เรียบร้อยตามที่คาดการณ์ไว้

4. สรุปเม็ดการตีกษะไว้อัย

เหล็กพลาสติก AISI 1015 ที่ใช้ข้อตัวความเสียดทาน โดยที่แรงดันในการเสียดทาน (Friction Pressure) ที่ 10 บาร์ เวลาในการเสียดทาน (Friction Time) ที่ 9 วินาที แรงดันในการเขื่อน (Upset Pressure) ที่ 60 บาร์ เวลาในการเขื่อน (Upset Time) ที่ 3 วินาที ความเร็วของใบการหมุน (Rotational Speed) ที่ 1200 รอบต่อนาที ให้ผลในการเขื่อนที่ กว่าสูงสุด โดยอัตราเขื่อนมีความแม่นยำเท่ากับ 1826.67 Kg-f ซึ่งมากกว่า ช่วงมาตรฐาน 17.09 %

อัจฉริภัยด้านในการศึกษาวิจัยนี้จึงไม่ได้ทำการศึกษาเชิง ผลกระทบใน การเชื้อม (Upset Pressure) เวลาในการเชื้อม (Upset Time) ความเร็ว รอบในการหมุน (Rotational Speed) และอุณหภูมิอุปกรณ์ที่ซึ่งเป็น หัวประเพรที่อาจส่งผลตึงคุณสมบัติของวัสดุ แต่จะเป็นเงื่อนไขที่มีผล ต่อการศึกษาวิจัยดังไป

๕. บีบอัดกาวมป้องกัน

ขอขอบคุณภาควิชาการและอาจารย์ที่ปรึกษา ภาควิชากรรมศาสตร์ มหาวิทยาลัยขอนแก่น ที่สนับสนุนงานในการวิจัยนี้

ເອກສານວິຊາຂອງມີນ

- [1] Mumun Sahin and H. Erol Akata "Joining with friction welding of plastically deformed steel" Journal of Materials Processing Technology 142 (2003), pp. 239-246
 - [2] Mumun Sahin "Evaluation of the joint-interface properties of austenitic - stainless steel (AISI304) joined by friction welding" Materials and Design (2006),
 - [3] N. Ozdemir, F. Sarilmaz, A . Hascalik "Effect of rotational speed on the interface properties of friction-welding AISI 304L to 4340 steel" (Short communication) Materials and Design 28 (2007), pp. 301-307
 - [4] Hakan Atez, Mehmet Tucker, Adem Kurt "Effect of friction pressure on the friction-welded MA956 iron - based superalloy" Materials and Design 28 (2007), pp. 948-953

